

รายงานฉบับสมบูรณ์ โครงการวิจัย

ISBN: 974-656-072-7

การพัฒนาและการทดสอบแบบจำลอง การเจริญเติบโตของอ้อยในประเทศไทย

บรรณาธิการ จันท์ ลูกีฟ์ เจานส์ แลนด์ฟอร์ด และ เฉลิมพล ไนลุ่งเรือง
ภาณุวดนทร์

สนับสนุนโดยสำนักงานกองทุนสนับสนุนการวิจัย (สกอ.)

Supported by Thailand Research Fund (TRF)



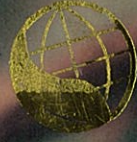
มหาวิทยาลัยเชียงใหม่



มหาวิทยาลัยขอนแก่น



กรมวิชาการเกษตร



ชมรมนานาชาติในการวิจัยเชิงระบบ

ICASA

สารบัญ

| | |
|------------------------------|---|
| คำนำ..... | ๓ |
| บทนำ..... | ๔ |
| คำนิยม..... | ๕ |
| คณบัญชี..... | ๖ |
| คำย่อ..... | ๗ |
| สุปภawanawasamrakphuwiwat | ๘ |
| CHIANGMAI UNIVERSITY LIBRARY | ๙ |
| คำถกในการวิจัย..... | ๙ |

ส่วนที่ 1: การประเมินผลผลิตอ้อยโดยใช้แบบจำลอง

| | |
|---|-----|
| แนวคิดและหลักการ | 2 |
| โครงสร้างงานทดลองวันปลูกอ้อยชุดที่หนึ่งและสอง | 16 |
| การทดลองวันปลูกอ้อยชุดที่หนึ่งและสอง ศูนย์วิจัยพืชไร่สุพรรณบุรี | 20 |
| การทดลองวันปลูกอ้อยชุดที่หนึ่งและสอง มหาวิทยาลัยขอนแก่น | 32 |
| การทดลองวันปลูกอ้อยชุดที่หนึ่งและสอง มหาวิทยาลัยเชียงใหม่ | 44 |
| พัฒนาการของอ้อย | 56 |
| ความสัมพันธ์ระหว่างสภาพแวดล้อมและพัฒนาการของอ้อย | 66 |
| การตอบสนองของอ้อยที่มีต่อความหนาแน่นของพืช | 76 |
| ชนิดของเชื้อที่ติดมากับห่อนพันธุ์อ้อย | 88 |
| PCR-RAPD: A GENETIC TOOL FOR SUGARCANE RESEARCH | 96 |
| การวิเคราะห์หาบูรณาญาณูโกรส (SUCROSE) ในน้ำอ้อย | 98 |
| แบบจำลองอ้อย THAICANE 1.0 | 102 |

ส่วนที่ 2: การทำแผนที่ปลูกอ้อยโดยใช้ข้อมูลดาวเทียม

| | |
|---|-----|
| แนวคิดและหลักการ | 114 |
| วิธีการวิจัย | 120 |
| กรณีศึกษาวางแผนน้ำพอง จังหวัดขอนแก่น | 128 |
| กรณีศึกษาวางแผนอุ่ทอง จังหวัดสุพรรณบุรี | 132 |
| ระบบการผลิตอ้อยในตำบลโนนท่อน | 152 |

สารบัญ (ต่อ)

ส่วนที่ 3: การประเมินผลผลิตอ้อยในพื้นที่ขนาดใหญ่โดยใช้โปรแกรม THAISIS 1.0

แนวคิดและหลักการ 162

ระบบฐานข้อมูล THAISIS 1.0 166

ส่วนที่ 4: การขยายหลักการ

หลักการของขั้นชาร์สัมพันธ์และสนับสนุน 172

สนับสนุนการอ้อย CANEOPEDIA 176

โครงสร้างการฝึกอบรม THAISIS 1.0 182

เอกสารอ้างอิง 187

ภาคผนวก 191

คำนำ

องค์กรวิจัยจำเป็นต้องมีโครงสร้างพื้นฐานที่สนับสนุนให้กิจกรรมการวิจัยได้ดำเนินการอย่างต่อเนื่องในทิศทางที่กำหนดขึ้น โครงสร้างพื้นฐานที่สำคัญประกอบด้วยโครงสร้างทางกายภาพและคุณภาพทางวิชาการและจริยธรรมของทรัพยากรบุคคลในองค์กร โครงสร้างพื้นฐานนี้เป็นพลังขับเคลื่อนที่สำคัญต่อประสิทธิภาพและประสิทธิผลของงานวิจัยต่อสังคมในช่วงเวลาที่กำหนด

ศูนย์วิจัยเพื่อเพิ่มผลผลิตทางเกษตร มหาวิทยาลัยเชียงใหม่ ได้ปรับใช้แนวทางระบบศาสตร์ในการวิจัยเกี่ยวกับระบบพืช ระบบฟาร์มและระบบเกษตร ตลอดจนการจัดการทรัพยากรธรรมชาติเพื่อพัฒนาการเกษตรตามลำดับ กลุ่มนักวิจัยภายในศูนย์วิจัยฯ ได้ร่วมกันปรับใช้และพัฒนาวิธีการใหม่ ๆ ที่จะตอบคำถามซึ่งจะนำไปสู่การปฏิบัติทั้งแนวโน้มนโยบายและขั้นตอนการดำเนินงานได้ หนึ่งในวิทยาการนี้คือ การนำเอาเทคโนโลยีสารสนเทศมาใช้ในการวิจัยและพัฒนาการเกษตร ซึ่งศูนย์วิจัยได้เริ่มพัฒนางานนี้มาตั้งแต่ปลายศตวรรษที่ 80 และได้เติบโตจนสามารถก้าวนำไปใช้ในการเรียนการสอนระดับปริญญาโท ตลอดจนการวิจัยเพื่อพัฒนา หลังจากปี 1992 เป็นต้นมา เมื่องานวิจัยที่เกี่ยวกับระบบการสนับสนุนการตัดตินใจได้รวมตัวเป็นหน่วยวิจัยย่อยเกิดขึ้นในศูนย์วิจัยฯ

โครงการวิจัย “การพัฒนาและการทดสอบแบบจำลองการเจริญเติบโตของอ้อยในประเทศไทย” เป็นโครงการแรกภายใต้การดำเนินงานของศูนย์วิจัยฯ ที่ได้รับการสนับสนุนจากสำนักงานกองทุนสนับสนุนการวิจัยเพื่อใช้แก้ปัญหาการคาดการณ์ของผลผลิตอ้อยในระดับต่าง ๆ ตั้งแต่แปลงจนถึงภูมิภาคและประเทศไทยย่างเป็นระบบ โดยวิธีการแบบจำลองพืช ระบบข้อมูลระยะไกล และสารสนเทศทางภูมิศาสตร์ โดยมีสถาบันวิจัยในประเทศดำเนินการร่วมกันได้แก่ ศูนย์วิจัยพืชไอลูส์พรอมบูรี สังกัดสถาบันวิจัยพืชไอลูส์ กรมวิชาการเกษตร คณะเกษตรศาสตร์ มหาวิทยาลัยขอนแก่น และมหาวิทยาลัยเชียงใหม่

ความสำคัญของโครงการนี้ ประการแรกได้แก่ การแก้ไขปัญหาการคาดการณ์ผลผลิตอ้อยด้วยแนวทางระบบศาสตร์โดยปรับใช้เทคโนโลยีสารสนเทศ ซึ่งเป็นทางเลือกใหม่ของการวิจัยเกษตรไทย ประการที่สองคือ การพัฒนาเครือข่ายวิจัยระหว่างสถาบันการศึกษาและกรมวิชาการเกษตรอย่างเป็นรูปธรรมมาก อีกทั้ง นอกจากนี้ โครงการวิจัยนี้ยังได้สนับสนุนงานวิจัยของนักศึกษาระดับปริญญาโทในสาขาวิชาเกษตรศาสตร์ซึ่งระบบและสาขาวิชาพืชไอลูส์ ซึ่งทั้งหมดเป็นกระบวนการทำการเรียนรู้ในด้านพัฒนาศาสตร์ทางวิชาการ พัฒนาเครือข่ายงานวิจัยและเพิ่มทักษะการวิจัยด้วย

ศูนย์วิจัยเพื่อเพิ่มผลผลิตทางเกษตรมีความภูมิใจที่ได้มีส่วนร่วมในกระบวนการสร้างสรรค์พัฒนางานวิจัย แนวทางใหม่นี้ด้วย

พฤกษ์ อินมันต์สิริ
รองผู้อำนวยการศูนย์วิจัยเพื่อเพิ่มผลผลิตทางเกษตร
มหาวิทยาลัยเชียงใหม่

บทนำ

รายงานฉบับสมบูรณ์ฉบับนี้เป็นรายงานเล่มแรกในประเทศไทยที่เสนอแนวคิด หลักการ และผลการวิจัย ตามวิธีการของแบบจำลองพืชและกำลังสถานะการณ์ (crop modeling & simulation) เทคนิคข้อมูลระยะไกล (remote sensing) และสื่อ (multimedia) เป็นรายงานที่รวมผลการวิจัยของคณะวิจัยจาก กรมวิชาการเกษตร มหาวิทยาลัยขอนแก่น และมหาวิทยาลัยเชียงใหม่ คณะผู้วิจัยเชื่อว่าผลการวิจัยนี้จะเป็นก้าวเด็ก ๆ ก้าวนี้สำหรับการวิจัยทางเกษตรในประเทศไทย เป็นก้าวของการนำเทคโนโลยีสารสนเทศมาใช้เพื่อช่วยเพิ่มประสิทธิภาพและประสิทธิผลของงานวิจัยทางเกษตร ที่จะทำให้งานวิจัยมีความแม่นยำมากขึ้น สามารถตรวจสอบได้ และประกาศสำคัญเป็นการวิจัยเพื่อมุ่งแก้ปัญหานอกทางปฏิบัติของอุตสาหกรรมข้ออย่างน้ำตาล เพื่อการประมาณการผลผลิตข้ออยในระดับต่าง ๆ ของการผลิตอย่างเป็นระบบ โดยการรวมอิทธิพลของสภาพดินฟ้าอากาศที่มีต่อการผลิตข้ออยให้อยู่ในรูปแบบเชิงปริมาณให้มากที่สุด

รายงานฉบับนี้แบ่งออกเป็นสี่ส่วน ส่วนแรกรายงานผลการทดลองที่ทำการจัดเก็บข้อมูลสำหรับการพัฒนาการทดลองแบบจำลองข้ออย ส่วนที่สองรายงานผลการศึกษาวิธีการทำแผนที่แบบ digital จากข้อมูลดาวเทียม ส่วนที่สามเกี่ยวกับระบบเขื่อมโยงฐานข้อมูลเชิงพื้นที่ เทิงօราดา และแบบจำลองข้ออยเพื่อสนับสนุนการประมาณการผลผลิตข้ออยในพื้นที่ขนาดใหญ่ และส่วนที่สี่เกี่ยวกับการขยายเนื้อความคิด วิธีการวิจัย และผลการวิจัยโดยแนว modeling & simulation, remote sensing, และ multimedia ในประเทศไทย

บรรณาธิการ

อรรถชัย จินตะเวช
ภาควิชาปฐพีศาสตร์และอนุรักษศาสตร์
คณะเกษตรศาสตร์ มหาวิทยาลัยเชียงใหม่

สุวิทย์ เลาหศิริวงศ์

ภาควิชาพืชไร่ คณะเกษตรศาสตร์
มหาวิทยาลัยขอนแก่น

เฉลิมพล ไห德拉รุ่งเรือง

ศูนย์วิจัยพืชไร่สุพรรณบุรี จังหวัดสุพรรณบุรี

ลิขสิทธิ์มหาวิทยาลัยเชียงใหม่
Copyright © by Chiang Mai University
All rights reserved

คำนิยม

คณะผู้วิจัยขอขอบคุณสำนักงานกองทุนสนับสนุนการวิจัย (สกว.) ที่พิจารณาเห็นความสำคัญของการวิจัยโดยวิธีการแบบ system modeling & simulation ทางเกษตร และขอขอบคุณสำนักงานคณะกรรมการวิจัยแห่งชาติที่ให้ความอนุเคราะห์ข้อมูลดาวเทียม

ในระดับนโยบาย คณะผู้วิจัยได้รับการสนับสนุนเป็นอย่างดีจาก ดร. วิจิตร เบญจศลี อธิบดี-กรรมวิชาการเกษตร และคุณณรงค์ศักดิ์ เสนานรงค์ ผู้อำนวยการสถาบันวิจัยพืชไอล์ กรมวิชาการเกษตร รศ. ดร. อารันต์ พัฒโนทย์ คณบดีคณะเกษตรศาสตร์ มหาวิทยาลัยขอนแก่น รศ. ดร. พงษ์ศักดิ์ อังกสิทธิ์ คณบดีคณะเกษตรศาสตร์ มหาวิทยาลัยเชียงใหม่ และ อ.พฤกษ์ ยิบมันตะสิริ รองผู้อำนวยการศูนย์วิจัยเพื่อเพิ่มผลผลิตทางเกษตร มหาวิทยาลัยเชียงใหม่

ในระดับแปลงทดลอง คณะผู้วิจัยได้รับการสนับสนุนเป็นอย่างดี และขอขอบคุณ เจ้าหน้าที่ฝ่ายไร่ของศูนย์วิจัยพืชไอล์ สุพรรณบุรี กรมวิชาการเกษตร เจ้าหน้าที่ฝ่ายไร่ของหมวดพืชไอล์ คณะเกษตรศาสตร์ มหาวิทยาลัยขอนแก่น สถานีวิจัยและฝึกอบรมแม่เหียะ คณะเกษตรศาสตร์ มหาวิทยาลัยเชียงใหม่ และ เจ้าหน้าที่ฝ่ายไร่สถานีวิจัยเกษตรชลประทาน ศูนย์วิจัยเพื่อเพิ่มผลผลิตทางเกษตร มหาวิทยาลัยเชียงใหม่

ในวิชาการและอุปกรณ์คอมพิวเตอร์บางส่วน คณะผู้วิจัย ได้รับการสนับสนุนเป็นอย่างดีจาก อ.ดร.เมธี เอกะสิงห์ และเจ้าหน้าที่ของหน่วยวิจัยระบบสนับสนุนการตัดสินใจทางเกษตร ศูนย์วิจัยเพื่อเพิ่มผลผลิตทางเกษตร มหาวิทยาลัยเชียงใหม่ ได้แก่ คุณพนมาศักดิ์ พรหมบุรุษ คุณจิราพร แก้วทิพย์ และคุณมณฑนา หมายน้อย

ในระดับส่วนตัว กิจกรรมที่ผ่านมาได้รับการสนับสนุนเป็นอย่างดีจากครอบครัวของคณะผู้วิจัย เจ้าหน้าที่โครงการฯ คุณภาวดี สุดใจ และเจ้าหน้าที่ในสำนักงานเลขานุการของศูนย์วิจัยเพื่อเพิ่มผลผลิตทางเกษตร มหาวิทยาลัยเชียงใหม่ทุกท่าน

ในระดับนานาชาติ คณะผู้วิจัยได้รับการสนับสนุนด้านวิชาการจาก Drs. Goro Uehara และ Gordon Y.Tsunji มหาวิทยาลัย skaaway ประเทศสหรัฐอเมริกา

คณะผู้วิจัยโครงการ พทอ.

กรกฎาคม 2540

คณบัญชีจัย

| | |
|--------------------------|---|
| เฉลิมพูล ไนคลรุ่งเรือง | นักบริหาร ผู้อำนวยการ ศูนย์วิจัยพืชไตรสุพรรณบุรี อ.อู่ทอง จ.สุพรรณบุรี |
| ดาวา อ่อนประไฟ | นักวิชาการสำราญข้อมูลระยะไกล ภาควิชาปั้นพืชศาสตร์และอนุรักษศาสตร์ คณะเกษตรศาสตร์ มหาวิทยาลัยเชียงใหม่ |
| พินกร กลมสะอาด | นักวิจัยโครงการ ประจำสำนักงานมหาวิทยาลัยขอนแก่น (กศ 2537 - กย 2539) |
| นิพนธ์ เอี่ยมสุกาษิต | นักปรับปรุงพันธุ์พืช ศูนย์วิจัยพืชไตรสุพรรณบุรี อ.อู่ทอง จ.สุพรรณบุรี |
| บุญมี ศิริ | นักศึกษาวิทยาของพืช ภาควิชาพืชไตรสุพรรณบุรี คณะเกษตรศาสตร์ มหาวิทยาลัยเชียงใหม่ |
| ปรัชญา นาสุริวงศ์ | นักศึกษาปริญญาโท สาขาเกษตรศาสตร์เชิงระบบ มหาวิทยาลัยเชียงใหม่ |
| ปรีชา พราหมณ์ย์ | นักวิชาการปั้นพืช ศูนย์วิจัยพืชไตรสุพรรณบุรี อ.อู่ทอง จ.สุพรรณบุรี |
| ผ้าสุข ล้มรุ่งเรืองรัตน์ | นักวิจัยโครงการ ประจำสำนักงานมหาวิทยาลัยเชียงใหม่ |
| ภาวดา สุดใจ | เลขาธุการโครงการ พทอ. (ตั้งแต่ กศ 2538) |
| ศักดิ์ดา จงแก้ววัฒนา | นักวิชาการนิเวศนวิทยาของพืชและอาหารจำลองระบบ ภาควิชาพืชไตรสุพรรณบุรี คณะเกษตรศาสตร์ มหาวิทยาลัยเชียงใหม่ |
| ศิรินทิพย์ พรมฤทธิ์ | นักศึกษาปริญญาโท สาขาเกษตรศาสตร์เชิงระบบ มหาวิทยาลัยเชียงใหม่ |
| สุวิทย์ เลานศิริวงศ์ | นักปรับปรุงพันธุ์พืชและอาหารจำลองระบบ ภาควิชาพืชไตรสุพรรณบุรี คณะเกษตรศาสตร์ มหาวิทยาลัยเชียงใหม่ |
| อรรถร้อย จินดาเจช | นักวิชาการแบบจำลองพืชและอาหารจำลองระบบ ภาควิชาปั้นพืชศาสตร์และอนุรักษศาสตร์ คณะเกษตรศาสตร์ มหาวิทยาลัยเชียงใหม่ (หัวหน้าโครงการฯ) |
| อ้อยทัน จันทร์เมือง | นักศึกษาปริญญาโท สาขาพืชไตรสุพรรณบุรี มหาวิทยาลัยเชียงใหม่ |
| อัปสร เปลี่ยนสินไชย | นักวิชาการโภคพืช ศูนย์วิจัยพืชไตรสุพรรณบุรี อ.อู่ทอง จ.สุพรรณบุรี (ตั้งแต่ พย 2539) |
| อิสรี เก่งนกอก | นักวิจัยโครงการ ประจำสำนักงานมหาวิทยาลัยขอนแก่น (ตั้งแต่ มค 2540) |
| Geirrit Hoogenboom | System Agronomist and Assoc. Prof., University of Georgia at Griffin, USA |
| Danial T. Imamura | Programmer/Computer specialist, University of Hawaii, USA |
| N. Geoff Inman-Bamber | Senior Agronomist, South African Sugar Association Experiment Station, South Africa. |
| Jim W. Jones | Professor of Agricultural Engineer, University of Florida, USA. |
| Gregory A. Kiker | Agronomist, Dept. of Agricultural Engineering, University of Natal, Republic of South Africa |
| Richard M. Ogoshi | System Agronomist, University of Hawaii, USA. |
| Phillip Thornton | Farm economist, International Fertilizer Development Center., USA. |
| Gordon Y. Tsuji | Soil Science & IBSNAT Project Manager, University of Hawaii, USA. |
| Paul K. Wilkens | International Fertilizer Development Center, USA. |

คำย่อ

| | |
|--------------|--|
| ศ.วช. | ศูนย์วิจัยพืชไร่ กรมวิชาการเกษตร |
| พทอ. | โครงการวิจัย การพัฒนาและการทดสอบแบบจำลองการเจริญเติบโตของอ้อยในประเทศไทย |
| ดร.กม. | ตารางกิโลเมตร |
| CCT | Computer Compatible Tape |
| CD-ROM | Compact disc Read Only Memory |
| CERES | Crop-Environment Resource Synthesis |
| CMU | Chiang Mai University |
| DAE | Days after emergence |
| DoD | The US. Department of Defense |
| DSSAT | Decision Support System for Agrotechnology Transfer |
| EDP | Electronic Data Processing |
| GCP | Ground Control Points |
| GDD | Growing Degree Days |
| GIS | Geographic Information System |
| GPS | Global Positioning System |
| HRV | High Resolution Visible |
| iBSNAT | International Benchmark Site Network for Agrotechnology Transfer |
| ICASA | International Consortium for Agricultural Systems Applications |
| IT | Information Technology |
| K | K 84-200 sugarcane cultivar |
| KKU | Khon Kaen University |
| MMS | Multiplespectral |
| NAVSTAR | NAVigation, Satellite, Timing And Ranging (NAVSTAR) |
| PPS | Precise Positioning Service |
| RADAR | Radio detector and ranging |
| RMS Error | Root Mean Square Error |
| RS | Remote sensing |
| SARP | Simulation and systems analysis for rice production |
| SP | Suphan Buri Field Crop Research Center |
| SPS | Standard Positioning Service |
| TBASE | Base temperature |
| ThaiCane 1.0 | Thailand sugarcane growth model |
| ThaiSIS 1.0 | Thailand Sugarcane Information System |
| TM | Thematic mapper |
| U | U-Thong 2 sugarcane cultivar |

สรุปความก้าวหน้า (15 ก.ค. 2537 - 14 ก.ค 2540)

ปัญหาที่โครงการเน้น

การประเมินผลผลิตอ้อยในประเทศไทยในปัจจุบันยังมีความคลาดเคลื่อนจากการรายงานผลผลิตจริง จึงเน้นการใช้เทคโนโลยีสารสนเทศมาประยุกต์ใช้แก้ปัญหาดังกล่าว

แนวการวิจัย และ ผลการวิจัย

ส่วนที่ 1: การพัฒนาและก่อตั้งสถาบันฯ

- ติดตามและเก็บข้อมูลงานทดลองข้อยุทธที่หนึ่งและสุดที่สองในสามสถานี
- ติดตามและเก็บข้อมูลงานทดลองเรื่องพัฒนาการของใบอ้อย
- ดำเนินการปลูกติดตามและเก็บข้อมูลงานทดลองเรื่อง fan design
- ศึกษาความสมพันธ์ของสภาพแวดล้อมและพัฒนาการของอ้อย
- ได้แบบจำลองอ้อย ThaiCane1.0

ส่วนที่ 2: พัฒนาวิธีการในการแปลภาษาถ่ายดาวเทียม

- พัฒนาวิธีการแปลข้อมูลจากดาวเทียมเพื่อผลิตแผนที่พื้นที่การปลูกอ้อย
- สำรวจพื้นที่การปลูกอ้อยในตำบลโนนห่อน อำเภอเมือง จังหวัดขอนแก่น และตำบลกระจัน อำเภออยุธยา จังหวัดสุพรรณบุรี ด้วยระบบ GPS
- ได้วิธีการแปลภาษาดาวเทียมและระบบฐานข้อมูลเชิงพื้นที่ในสองพื้นที่ดังกล่าว

ส่วนที่ 3: พัฒนาโปรแกรมคอมพิวเตอร์ต้นแบบชื่อ ThaiSIS 1.0 เพื่อเชื่อมโยงฐานข้อมูล

- พัฒนาโปรแกรมเชื่อมโยงฐานข้อมูลเชิงพื้นที่และฐานข้อมูลเชิงบรรณกับแบบจำลองอ้อย ThaiCane 1.0
- พัฒนาและได้คู่มือแบบการใช้งานโปรแกรม ThaiSIS 1.0 เพื่อคาดการณ์ผลผลิตอ้อย
- พัฒนาและได้คู่มือขั้นตอนการใช้งานโปรแกรม ThaiSIS 1.0 เพื่อคาดการณ์ผลผลิตอ้อย

ส่วนที่ 4: พัฒนารูปแบบและจัดฝึกอบรม

- พัฒนาเอกสารบางส่วนเพื่อใช้ประกอบการบรรยายในโครงสร้างการฝึกอบรม ระบบสนับสนุนการตัดสินใจ เพื่อการผลิตอ้อยในประเทศไทย
- พัฒนาโครงสร้างของสนธิ (multimedia) สำหรับໂຄอ้อย พันธุ์อ้อย และการจัดการ
- จัดทำ homepage ของโครงการเพื่อให้ผู้ใช้งานระบบ internet WWW ทั่วโลกสามารถ access ความก้าวหน้าของงานโครงการได้ที่ URL <http://mcc.aggie.cmu.ac.th/Cane1.html>

คำถ้ามในการวิจัย

อ้อย (*Saccharum officinarum L.*) เป็นพืชเศรษฐกิจหลักของประเทศไทย ในแต่ละปีหน่วยงานที่เกี่ยวข้องกับการคาดคะเนผลผลิตอ้อยได้พยายามคาดการณ์ผลผลิตอ้อยของประเทศไทย ด้วยวิธีการทางสถิติต่าง ๆ แต่พบว่ามีความเหลื่อมล้ำระหว่างตัวเลขที่ได้จากการประมาณและตัวเลขการผลิตจริง ปัญหาหลักปัญหานั่นของวิธีการคำนวณทางสถิติ คือไม่ได้นำปัจจัยด้านสภาพแวดล้อมการผลิตพืช เช่น พัฒนาการของพืช ปริมาณน้ำฝน การเปลี่ยนแปลงของปริมาณน้ำในดิน การระบาดของโรคและแมลง เป็นต้น เข้ามาประกอบการคำนวณ ปัจจัยเหล่านี้เป็นปัจจัยที่มีอิทธิพลโดยตรงต่อการให้ผลผลิตและน้ำตาลของอ้อย และเป็นปัจจัยที่มีความแปรปรวนสูง

นอกจากนี้ วิธีการคาดการณ์ผลผลิตอ้อยที่ใช้อยู่ในปัจจุบันนี้ใช้เทคโนโลยีสารสนเทศขั้นสูงในการจัดเก็บข้อมูลและการประมวลผล คือเทคโนโลยีสารสนเทศประเภท EDP ซึ่งเน้นการจัดเก็บและการใช้ข้อมูลเป็นกิจกรรมหลักของเทคโนโลยี ในทางตรงกันข้าม การคาดการณ์ผลผลิตอ้อยต้องการเทคโนโลยีสารสนเทศที่เน้นความต้องการของผู้ใช้งานเป็นหลัก นั่นคือเอื้อให้ผู้ใช้งานสามารถใช้ข้อมูลที่มีอยู่ประกอบการจัดการทรัพยากรและสนับสนุนการตัดสินใจในการผลิตอ้อย โดยที่มีความยืดหยุ่นเพื่อ适应ต่อการปรับปรุงระบบฐานข้อมูลที่เกี่ยวข้องกับการผลิตอ้อยซึ่งมีข้อมูลในเชิงเวลาและเชิงพื้นที่ รวมทั้งต้องเป็นเทคโนโลยีสารสนเทศที่รวมแบบจำลองการเจริญเติบโตของอ้อยซึ่งได้รับการพัฒนาจากการวิจัยพื้นฐาน แบบจำลองอ้อยจะเอื้อให้ผู้ใช้งานระบบสามารถประเมินผลผลิตอ้อยในแต่ละฤดูกาลและแต่ละพื้นที่โดยมีพื้นฐานจากข้อมูลดิน ข้อมูลภูมิอากาศเกษตรฯ ข้อมูลการผลิตอ้อย และข้อมูลเฉพาะของพื้นที่อ้อย ซึ่งจะทำให้การประเมินผลผลิตอ้อยของผู้ผลิตอ้อยในแต่ละระดับ มีความแม่นยำมากขึ้น สามารถตรวจสอบความผิดพลาดได้ และสามารถปรับปรุงแก้ไขได้ทันทีได้อย่างเป็นระบบ ตามความต้องการของผู้ใช้ในอนาคต

คำถ้ามแรกที่โครงการ พทอ. เม้นคือจะนำปัจจัยการผลิตที่ได้ก่อร่วมมาแล้วประกอบการคาดการณ์ผลผลิตอ้อยได้อย่างไร ในระยะแรกเน้นความสามารถที่จะคาดการณ์ผลผลิตอ้อยในแต่ละฤดูกาลการผลิตของพื้นที่อ้อยหลัก บางพื้นที่ การตอบคำถ้ามส่วนนี้โครงการ พทอ. ได้ให้ความสนใจที่จะพัฒนาและทดสอบแบบจำลองอ้อยที่มีพื้นฐานจากความเข้าใจที่มาเรียนรู้ความต้องการของผู้ผลิตเพื่อเอื้อต่อการประเมินผลผลิตอ้อยในพื้นที่การผลิตจริง

คำถ้ามส่วนที่สอง คือ จะประมาณพื้นที่การผลิตอ้อยในแต่ละฤดูกาลและแต่ละพื้นที่ได้อย่างไร โครงการฯ ได้ให้ความสนใจการใช้ข้อมูลดาวเทียม และเน้นพัฒนาวิธีการที่มีประสิทธิภาพในการผลิตแผนที่ปุกอ้อยจากภาพดาวเทียม และเป็นแผนที่ที่ผู้ใช้สามารถนำไปประกอบการประเมินผลผลิตอ้อยในพื้นที่ ที่น่าจะก่อให้เกิดความแม่นยำและรวดเร็ว

แนวทางการวิจัย

แนวทางการวิจัยของโครงการ พทอ. ได้ออกแบบเพื่อนำมาใช้ในการแก้ปัญหาที่ได้ก่อร่วมมาแล้วในตอนต้นนั้น ประกอบไปด้วยกิจกรรมสี่ส่วน (รูปที่ 1) คือ

ภารกิจที่ 1: แนวการวิจัยของโครงการ พทอ. (Project's research framework)



ศูนย์วิจัยเพื่อเพิ่มผลผลิตทางเกษตร มหาวิทยาลัยเชียงใหม่

- 1) การพัฒนาและทดสอบแบบจำลองพัฒนาการและการเจริญเติบโตของอ้อย
 - 2) การพัฒนาวิธีการในการแปลสภาพถ่ายดาวเทียมเพื่อผลิตแผนที่การปลูกอ้อยในพื้นที่ที่สนใจ
 - 3) การพัฒนาโปรแกรมเชื่อมโยงระหว่างแบบจำลองอ้อยและฐานข้อมูลเชิงพื้นที่
 - 4) การเผยแพร่ผลงานการวิจัยและการขยายหลักการวิจัยแบบ modeling
- แนววิจัยของโครงการฯ ยังมีการใช้เทคโนโลยีคอมพิวเตอร์เพื่อสนับสนุนการวิจัย

ส่วนที่ 1: การพัฒนาและการทดสอบแบบจำลองอ้อย

โครงการฯ เม้นการใช้เทคโนโลยีคอมพิวเตอร์เพื่อพัฒนาโปรแกรมแบบจำลองการเจริญเติบโตของอ้อย โดยให้ความสนใจการพัฒนาการของปะเด็นต่าง ๆ ในกรณีพัฒนาอย่าง การอธิบายความสัมพันธ์ระหว่างปัจจัยการผลิตต่าง ๆ โดยสมการคณิตศาสตร์ และอธิบายในระดับกระบวนการ (process-oriented) ทั้งนี้ให้ความสนใจผลงานเหล่านี้ของหน่วยงานทั้งในและต่างประเทศ งานย่อยส่วนหนึ่งคือการประสานงานกับนักวิชาการอ้อยในและต่างประเทศเพื่อสืบค้นให้ทราบถึงความก้าวหน้าและพัฒนาการของการสร้างแบบจำลองอ้อย โดยมีหน่วยเชื่อมอยู่ที่มหาวิทยาลัยเชียงใหม่ โครงการฯ ได้ตัดสินใจร่วมพัฒนาและทดสอบแบบจำลองอ้อย CANEGRO ซึ่งโปรแกรมด้านแบบได้รับการพัฒนาโดย Dr. Inman-Bamber เพื่อใช้ในการจัดการน้ำชลประทานของอ้อยในประเทศไทยได้ซึ่งมีลักษณะใกล้เคียงกับการผลิตอ้อยในประเทศไทยมาก รวมทั้งเป็นแบบจำลองที่สามารถปรับปรุงให้สามารถใช้งานร่วมกับระบบ DSSAT 3.0 ได้อย่างสะดวก ดังนั้นงานที่เกี่ยวกับพัฒนาการของแบบจำลองจึงก้าวหน้าไป

มาก ปัจจุบันแบบจำลอง CANEGRO มีโครงการสร้างแฟ้มข้อมูลมาตรฐานเช่นเดียวกันกับแบบจำลองพืชอีก 12 พืช กิจกรรมหลักอีกประการในส่วนการทดลองแบบจำลองอ้อย CANEGRO คือการพิสูจน์ว่าแบบจำลองสามารถคาดการณ์การผลิตอ้อยในระดับแปลงปลูกอ้อยได้ คณะวิจัยได้ดำเนินงานติดตั้งงานทดลองอ้อยมาตรฐาน โดยมีหน่วยงานร่วมกิจกรรมทั้งสามหน่วยงาน พัฒนาตนนี้ได้พัฒนาระบบงานวิจัยมาตรฐานเพื่อการสร้างฐานข้อมูลการวิจัยอ้อยอย่างเป็นระบบ รวมไปถึงการสร้างเครือข่ายของงานทดลองร่วมที่จะสามารถแลกเปลี่ยนข้อมูลและประสบการณ์ระหว่างผู้ปฏิบัติงานของแต่ละหน่วยงาน งานทดลองนี้ใช้อ้อยสองพันธุ์คือ K และ U โดยปลูกเป็นสองงานทดลอง คือ ปลูกต้นฤดูฝน และปลายฤดูฝน งานทดลองปลูกต้นฤดูฝนมีวันปลูกต้นเดือนมีนาคมและต้นเดือนพฤษภาคม 2538 สำหรับงานทดลองปลูกปลายฤดูฝนดำเนินการเพาะกล้าอ้อยในระหว่างเดือนพฤษภาคม 2538 และทำการย้ายปลูกประมาณปลายเดือนธันวาคม 2538

งานวิจัยอีกงานหนึ่งที่คณะผู้วิจัยสนใจและได้ดำเนินการ คือ การศึกษาการแยกพันธุ์อ้อยโดยวิธีการ genetic engineering ของอ้อยทั้งสองพันธุ์ คือ K และ U โดย ดร. วัลล่า ดิชูพงษ์พิญช์ แห่งภาควิชาโภคพีวิทยา คณะเกษตรศาสตร์ มหาวิทยาลัยขอนแก่น เพื่อเป็นพื้นฐานในการแยกความแตกต่างของพันธุ์อ้อยโดยเฉพาะในด้านพัฒนาการ (development) และการเจริญเติบโต (growth) ซึ่งเป็นข้อมูลสำคัญต่อการใช้แบบจำลองอ้อยเพื่อการคาดการณ์ผลผลิตในพื้นที่ขนาดต่าง ๆ ปัจจุบันได้มีการบรรจุความแตกต่างของพันธุ์อ้อยใน CANEGRO และ ThaiCane เนื่องจากความแตกต่างในด้านพัฒนาการของใบอ้อย

ส่วนที่ 2: การพัฒนาวิธีการทำแผนที่การปลูกอ้อย

ให้เทคโนโลยีคอมพิวเตอร์เพื่อพัฒนาวิธีการทำแผนที่เหมาะสมในการทำแผนที่การปลูกอ้อยโดยใช้ข้อมูลจากดาวเทียม ปัจจุบันมีสถานีรับสัญญาณดาวเทียมซึ่งมีกำหนดดวงดาวจรัฟเคนพื้นที่ประเทศไทยทุก 16 วัน ข้อมูลแสดงประเภทของการใช้ที่ดินผืนที่ได้ถูกเก็บไว้อย่างต่อเนื่องโดยหน่วยงานภายใต้การดูแลของสภาพวิจัยแห่งชาติ ในทางปฏิบัติแล้วสามารถนำข้อมูลเหล่านี้มาประกอบการใช้งานในหลายรูปแบบ และการใช้เพื่อประเมินพื้นที่การปลูกอ้อยเป็นการใช้งานแบบหนึ่งที่มีความเป็นไปได้สูง และเชื่อว่ามีความแม่นยำกว่าเดิม

ส่วนที่ 3: การพัฒนาโปรแกรมเชื่อมโยง

การพัฒนาโปรแกรมเชื่อมโยงฐานข้อมูลเชิงพื้นที่และแบบจำลองอ้อยสำหรับภาคอุปสงค์การประเมินผลผลิตอ้อยในพื้นที่ขนาดใหญ่เป็นกิจกรรมหลักของงานในส่วนนี้ โปรแกรมเชื่อมโยงได้รับการออกแบบเพื่อเอื้อให้ผู้ใช้งานเลือกพื้นที่ที่จะทำการประเมินผลผลิตอ้อยโดยใช้ชื่อตำบล หรือหมู่บ้าน หรือชื่อบนเขตแปลงอ้อย จากนั้นผู้ใช้งานสามารถเลือกรูปแบบการผลิตอ้อย พันธุ์อ้อย วันปลูก การใส่ปุ๋ยเคมี ฯลฯ โปรแกรมเชื่อมโยงชื่อ ThaiSIS 1.0 ได้รับการพัฒนาต้นแบบเป็นที่เรียบร้อย โดยได้รับการสนับสนุนจาก IFDC ซึ่งมี Dr. P.K. Thornton และ Dr. P.W. Wilkens เป็นผู้ผลักดัน คณะผู้วิจัยได้นำเสนอโปรแกรมเชื่อมโยงนี้ในรายงานความก้าวหน้าครั้งที่ 5 ต้นปี 2540

ส่วนที่ 4: การขยายผลการวิจัยโดยแนว modeling ในประเทศไทย

การเข้าร่วมประชุมกับผู้อยู่ในวงการอ้อย การพิมพ์เอกสารเผยแพร่ การพัฒนาคู่มือการวิจัยสาขาเกษตรที่สามารถใช้เทคโนโลยีคอมพิวเตอร์เพื่อการศึกษาวิจัยและการใช้ประโยชน์ในเชิงพาณิชย์ และการจัดอบรมปฏิบัติการให้แก่เจ้าหน้าที่ของรัฐ ฝ่ายโรงเรียนช่างอ้อยระดับแนวหน้า คณะผู้วิจัยมั่นใจว่าการฝึกอบรมจะมีส่วนเสริมให้การเผยแพร่และประสบการณ์ของผู้วิจัยเป็นไปอย่างคุ้มค่า งานในส่วนนี้เป็นกิจกรรมต่อเนื่อง ผู้ร่วมวิจัยในโครงการทุกท่านได้ปฏิบัติน้ำที่ในส่วนนี้อย่างสม่ำเสมอ แนวทางวิจัยของโครงการเป็นแนวใหม่ในวงการเกษตรไทยโดยเฉพาะความใหม่ในด้านการปฏิบัติจริง ในระดับโครงการคณะผู้วิจัยได้ร่วมหารือกับผู้ร่วมโครงการจากศูนย์วิจัยพืชไร่สุพรรณบุรีเพื่อดำเนินการประชุมนักวิชาการอ้อยในประเทศไทยเพื่อสังเคราะห์องค์ความรู้ในด้านการผลิตอ้อย โดยมีจุดมุ่งหวังเพื่อประมวลสถานะภาพองค์ความรู้ในแต่ละประเด็นของการผลิตอ้อย รวมทั้งซึ่งจะประดิษฐ์แนวปะเด็นที่นำเสนอให้กับผู้สนใจเพื่อการวิจัยเพิ่มเติม

ลิขสิทธิ์มหาวิทยาลัยเชียงใหม่
Copyright © by Chiang Mai University
All rights reserved

ส่วนที่ 1 การประเมินผลผลิตอ้อยโดยใช้แบบจำลองพัฒนาการและ
การเจริญเติบโตของอ้อย

แนวคิดและหลักการ (principles & concepts)

อรรถชัย จินตะเวช สุวิทย์ เลาหศิริวงศ์
เฉลิมพล ไนลรุ่งเรือง และ ศักดีดา จงแก้ววัฒนา

ลิขสิทธิ์มหาวิทยาลัยเชียงใหม่
Copyright © by Chiang Mai University
All rights reserved

ส่วนที่ 1

การประมาณผลผลิตอ้อยโดยใช้ แบบจำลองพัฒนาการและ การเจริญเติบโตของอ้อย

- แนวคิดและหลักการ (principles & concepts)
- โครงสร้างงานทดลองวันปฐก
 - ◆ การทดลองศูนย์วิจัยพีชไรสุพรรณบุรี
 - ◆ การทดลองมหาวิทยาลัยขอนแก่น
 - ◆ การทดลองมหาวิทยาลัยเชียงใหม่
- พัฒนาการของอ้อย
- ความสัมพันธ์ของสภาพแวดล้อมและพัฒนาการอ้อย
- การตอบสนองของอ้อยต่อความหนาแน่น
- ชนิดของเชื้อที่ดีมากับท่อนพันธุ์อ้อย
- PCR-RAPD: A genetic tool for sugarcane research
- การวิเคราะห์ปริมาณ sucrose ในน้ำอ้อย
- แบบจำลองอ้อย ThaiCane 1.0

การประมาณผลผลิตอ้อยเป็นกิจกรรมที่มีความสำคัญต่อการกำหนดราคาอ้อยขั้นต่ำของประเทศไทย กิจกรรมนี้ดำเนินการอย่างต่อเนื่องในหลายองค์กรทั้งของภาครัฐและของภาคเอกชน วิธีการที่ใช้ส่วนใหญ่มีพื้นฐานจากการสำรวจภาคสนามและจากข้อมูลการผลิตในปีที่ผ่านมา เป็นวิธีการที่ยังไม่สะดวกต่อการผนวกปัจจัยด้านสภาพภูมิอากาศเกษตร ลักษณะทางพันธุกรรมของอ้อย ความชื้นดิน ระดับความอุดมสมบูรณ์ของดิน พัฒนาการ และการเจริญเติบโตของอ้อยแต่ละพันธุ์ในระดับการจัดการที่แตกต่างกันตามสภาพพื้นที่และเศรษฐกิจของเกษตรกร ซึ่งปัจจัยเหล่านี้เป็นปัจจัยที่มีความสำคัญต่อการให้ผลผลิตของอ้อยเป็นอย่างมาก

โครงการ พทอ. วิจัยเพื่อพัฒนาและทดสอบแบบจำลองพัฒนาการและการเจริญเติบโตของอ้อยมุ่งหวังที่จะนำปัจจัยดังกล่าวประมวลกันอย่างเป็นระบบ และสามารถนำแบบจำลองอ้อยไปใช้ประมาณการผลผลิตอ้อยได้ โดยใช้หลักการของแนวคิดและวิธีการแบบจำลองและการจำลองสถานะการณ์ ร่วมกับเทคโนโลยีสารสนเทศ ทางภูมิศาสตร์ และเทคโนโลยีข้อมูลระยะใกล้

หลักการของแบบจำลองและใช้แบบจำลอง (modeling and simulation)

การเผยแพร่แนวคิด หลักการ และวิธีการวิจัยแบบนี้เริ่มต้นโดยกลุ่มนักวิทยาศาสตร์เกษตรชาว Dutch นำโดย Dr.Penning de Vries และคณะ ได้จัดการฝึกอบรมครั้งแรกที่เมืองวากคานิงเก็น (Wageningen) ระหว่างปี 2529 (1986) จากนั้นมีนักวิทยาศาสตร์เกษตรจากประเทศไทยได้เข้าร่วมกิจกรรมมากขึ้น ทั้งจากมหาวิทยาลัยและกรมวิชาการเกษตร โดยเฉพาะในช่วงที่กลุ่ม Dr.Penning de Vries และคณะ ได้จัดตั้งเครือข่ายวิจัยแนวโน้มที่สถาบันวิจัยข้าวนานาชาติ การเผยแพร่ในประเทศไทยมีการฝึกอบรมโดยกลุ่มคณะกรรมการยุทธิ์มหาวิทยาลัยเชียงใหม่ และอนแก่น และภายใต้โครงการจำลองสถานะการณ์และวิเคราะห์ระบบการผลิตข้าว (Simulation and Systems Analysis for Rice Production: SARP)

การพัฒนาหลักสูตรการเรียนการสอนในระดับมหาวิทยาลัยในยุโรปก้าวหน้าไปมาก มหาวิทยาลัยเกษตรแห่งเมืองวากคานิงเก็นได้ตั้งวิทยาลัยบันดิตศึกษาโดยเน้นการเรียนการสอนตามหลักการและวิธีการ modeling มีการสร้างที่มีงานในด้าน modeling ขึ้นร่วมกับ IRRI มีผลงานการวิจัยในภาคพื้นเอเชียหลายฉบับ ในประเทศไทยยังไม่มีการเปิดสอนในระดับมหาวิทยาลัยอย่างจริงจัง ส่วนใหญ่ยังอยู่ในระดับปริญญาโท (Jongkaewwat-Isaka, 1995) มีเพียงคนกลุ่มน้อยเท่านั้น Ekasingh et al (1992) ได้เสนอโครงสร้างงานวิจัย modeling ของมหาวิทยาลัยเชียงใหม่ในการประชุมทางวิชาการของกรมวิชาการเกษตร นอกจากนี้กลุ่มวิจัยที่ภาควิชาพืชไร่ คณะเกษตรศาสตร์ มหาวิทยาลัยขอนแก่นได้ใช้วิธีการดังกล่าวเช่นกัน

หลักการใหญ่ของงานวิจัยทางเกษตรที่ใช้หลักการทางวิทยาศาสตร์เพื่อกำกับสร้างความเข้าใจ (understanding) ในระดับกระบวนการ (process) หรือกลไก (mechanisms) ที่สำคัญของพืช และ/หรือ สัตว์ ที่มีอยู่เพื่อเพิ่มพูนความสามารถในการคาดการณ์ (predict) การตอบสนองของพืช และ/หรือ สัตว์ เมื่อมีการเพิ่มหรือลดปริมาณของปัจจัยการผลิต และสุดท้ายผลประโยชน์ของภารภารกิจคือการนำความเข้าใจที่ได้ในการคาดการณ์ เพื่อเพิ่มขีดความสามารถในการจัดการ (management) ทรัพยากรการเกษตร และทรัพยากรธรรมชาติเพื่อการผลิตทั่วโลกที่มีประสิทธิภาพ (Dent and Blackie, 1979)

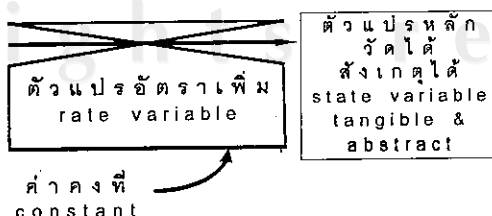
ลักษณะเฉพาะของวิธีการ modeling

ในวงการวิทยาศาสตร์และเทคโนโลยีด้านอื่น เช่น การพัฒนา yanayn ใหม่หรือยานอวกาศแบบใหม่ นักวิทยาศาสตร์และวิศวกรได้ใช้แบบจำลองในการศึกษาวิจัยเพื่อสร้างองค์ความรู้แทนการทดลองกับระบบจริง วิธีการวิจัยนี้มีคำศัพท์เกี่ยวข้องอยู่ 3 คำ (Penning de Vries, 1982) ได้แก่ ระบบ (system) แบบจำลองระบบและการพัฒนาแบบจำลองระบบ (model and modeling) และ การจำลองสถานะการณ์ (system simulation) คำจำกัดความในเชิงปฏิบัติงานของคำว่าระบบ (system) หมายถึง ส่วนหนึ่งของสภาพธรรมชาติจริงประกอบไปด้วยองค์ประกอบที่สมพันธ์กัน มีขอบเขตจำกัดที่ให้รับอิทธิพลจากการเปลี่ยนแปลงของสภาพธรรมชาติรอบด้าน แต่การทำงานตามกระบวนการของระบบไม่ได้ส่งผลกระทบถึงสภาพธรรมชาติ เช่น ระบบการผลิตอ้อยในฟาร์ม เป็นส่วนหนึ่งของระบบมนุษย์ภาคเหนือ ประกอบไปด้วยที่ดิน ต้นอ้อย แรงงาน เครื่องจักร ระบบการผลิตนี้ไม่ได้มีผลต่อสภาพอากาศ หรืออุตุกาล คือสภาพอากาศไม่ได้เป็นส่วนหนึ่งของการผลิตอ้อย ในทางตรงกันข้าม ถ้าพิจารณาการทดลองผลิตอ้อยในเรือนทดลอง จะเห็นได้ว่าสมมุติฐาน เช่น ที่กล่าวมาแล้วต้องได้รับการปรับปูน คือสภาพอากาศเป็นส่วนหนึ่งของระบบการผลิต เนื่องจากระบบการผลิตอ้อยสามารถเปลี่ยนแปลงสภาพอากาศได้ Model หรือ แบบจำลองระบบเป็นตัวแทนระบบธรรมชาติเท่าที่เรามีความเข้าใจอยู่ในขณะนั้น อาจเป็นแบบจำลองกายภาพ (physical model) ของพื้นที่กลุ่มน้ำแม่แม่น้ำ หรืออาจจะเป็นแผนที่ เช่น แผนที่โลหะซึ่งเป็นตัวแทนของระบบโลกหั้งหมัด เป็นต้น System simulation หรือ การจำลองสถานะการณ์ หมายถึง การใช้แบบจำลองที่มีอยู่หรือที่พัฒนาได้ในการศึกษาการตอบสนองของระบบที่มีต่อการเปลี่ยนแปลงสภาพแวดล้อมต่างๆ

หลักการสำคัญประการหนึ่งของการวิจัยแนวนี้คือการสร้างแบบจำลองระบบและแสดงความสัมพันธ์ระหว่างตัวแปรต่าง ๆ โดยใช้ Forrester diagram ตามหลักการของ state variable approach (รูปที่ 2) ซึ่งแสดงความสัมพันธ์ระหว่างตัวแปรหลัก (state variables) และตัวแปรอัตราเพิ่ม (rate variables) ของระบบที่สนใจ ตัวอย่างของตัวแปรหลักในระบบการผลิตอ้อยได้แก่ น้ำหนักใบ น้ำหนักลำต้น ปริมาณน้ำ และปริมาณธาตุอาหาร ในชั้นดินต่าง ๆ เป็นต้น และตัวอย่างของตัวแปรอัตราเพิ่มคือค่าคงที่ที่จะกำหนดการเพิ่มขึ้นของตัวแปรหลักตั้งกางานในระยะเวลาหนึ่ง (DELTA หรือ DURATION) ดังนั้นน้ำหนักลำต้นอ้อยในหนึ่งวันเท่ากับ $\text{DELTA} \times \text{rate}$ ปัจจัยภายนอกจะเป็นตัวกำหนดค่าตัวแปรอัตราเร่ง เช่น ในสภาพอุณหภูมิอากาศสูงพืชเมืองตราชารายใจและอัตราการคายน้ำสูงกว่าในสภาพอุณหภูมิอากาศต่ำ

รูปที่ 2:

Forrester diagram ของตัวแปรหลักและตัวแปรอัตราเพิ่ม



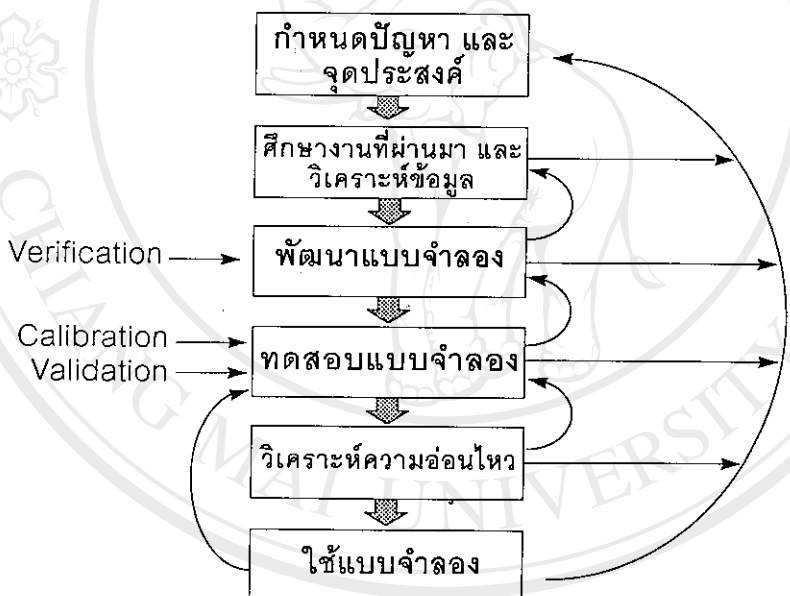
ขั้นตอนการดำเนินงานของการใช้แบบจำลอง

ขั้นตอนการดำเนินงานของวิธีการวิจัย modeling แสดงได้ในรูปที่ 3 (Dent and Blackie, 1979) เป็นกระบวนการการส่องขั้นตอน คือ กระบวนการออกแบบและพัฒนาแบบจำลองของระบบที่ศึกษา และกระบวนการการใช้แบบจำลองระบบในการจัดการทรัพยากรในระบบจริง

ขั้นตอนแรก เป็นการกำหนดปัญหาที่จะทำการศึกษาว่ามีโอกาสในการแก้ปัญหาด้วยแบบจำลองหรือไม่? (system definition and objectives of modeling) โดยการกำหนดขอบเขตของเรื่องที่ทำการศึกษา เช่น ศึกษาการตอบสนองของอ้อยที่มีต่อระดับปุ๋ยใน⼟รายเจนในระดับปั่นป่วน หรือ ในระดับต้นอ้อย เป็นต้น การกำหนดขอบเขตจะช่วยให้การจัดเก็บข้อมูลที่เกี่ยวข้องเป็นไป

รูปที่ 3:

กระบวนการวิจัยตามแนว modeling (Dent and Blackie, 1979)



อย่างมีประสิทธิภาพ หลักใหญ่ขั้นตอนนี้คือการแยกให้ชัดว่าจะใช้แนวทางนี้เพื่อ 1) ช่วยปรามากความหมายหรือผลการทดลองโดยใช้แบบจำลอง 2) ใช้แบบจำลองในการกำหนดพื้นที่ทางในการวิจัยของหน่วยงาน และ 3) ใช้แบบจำลองในการสนับสนุนการตัดสินใจจัดสรรทรัพยากรการผลิต

ขั้นตอนที่สอง เป็นการศึกษาเพื่อทราบองค์ความรู้และวิเคราะห์ข้อมูลที่มีอยู่ (analysis of data) เป็นขั้นตอนที่สำคัญเนื่องจากจะเป็นการกำหนดความต้องการของข้อมูลและความสามารถของแบบจำลอง ในเบื้องต้น อาจจะสามารถสร้างแบบจำลองประเภท empirical เมื่อมีความเข้าใจดีแล้วจึงจะสามารถสร้างแบบจำลองประเภท process-based ได ซึ่งต้องการข้อมูลปริมาณมากและมีขีดความสามารถสามารถในการคาดการณ์ได้ดีกว่าแบบแรก แต่ต้องการข้อมูลแนวลึกเป็นปริมาณมากกว่าแบบจำลองแบบ empirical

ขั้นตอนที่สาม เป็นการสร้างแบบจำลองคอมพิวเตอร์จากข้อมูลที่ได้ (model development) การพัฒนาแบบจำลองต้องคำนึงถึงโครงสร้างของแบบจำลอง ภาษาคอมพิวเตอร์ที่ใช้พัฒนา ปริมาณข้อมูลที่ต้องการในการใช้งาน ความแม่นยำในการใช้งาน และความสะดวกในการใช้งาน ในขั้นตอนนี้จำเป็นต้องทดสอบแบบจำลองว่าสามารถคำนวณค่าตัวแปรต่าง ๆ ได้ถูกต้องตามที่คิดไว้หรือไม่ (model verification)

ขั้นตอนที่สี่ เป็นส่วนที่สำคัญและใช้เวลาไม่นานมากกว่ากิจกรรมอื่น เป็นช่วงที่ต้องทำการทดสอบว่าแบบจำลองคาดการณ์สิ่งที่เกิดขึ้นกับระบบจริงเพียงใด (model validation) มีวิธีการทดสอบหลายวิธี (Xingming, 1995) ในทางปฏิบัติ จะทำการเปรียบเทียบข้อมูลที่ได้จากแปลงทดลอง (observed values) กับข้อมูลที่ได้จากแบบจำลอง (simulated values) การทดสอบแบบจำลองพืชในระบบ DSSAT 3.0 ต้องการข้อมูลภูมิอากาศ เกษตรรายวัน ข้อมูลดินตามขั้นดิน ข้อมูลดินเมื่อเริ่มนิ่งงานทดลอง และข้อมูลการเจริญเติบโตของพืชในระหว่างฤดูปลูกและช่วงการเก็บเกี่ยว

ขั้นตอนที่ห้า เป็นการทดสอบความอ่อนไหวของตัวแปรในแบบจำลองต่อการเปลี่ยนแปลงปัจจัยการผลิต (sensitivity analysis) จะดำเนินการเมื่อแบบจำลองได้ผ่านขั้นตอนที่สามและสี่มาแล้ว ตัวแปรที่มีความอ่อนไหวมากเป็นจุดที่เราสามารถจัดการได้มากเพื่อประสิทธิภาพในการผลิต หรือช่วยกำหนดทิศทางในการวิจัย

ขั้นตอนที่หก เป็นขั้นตอนสำคัญของวิธีการวิจัยแนวนี้ เป็นการใช้งานแบบจำลองเพื่อใช้คาดการณ์ระดับการผลิตเมื่อผู้ผลิต (เกษตรกร) ปรับเปลี่ยนระดับของปัจจัยการผลิต เช่น การเปลี่ยนพันธุ์อ้อย การปรับระดับน้ำ ชลประทาน และระดับการให้น้ำยั่วเม็ด ผลกระทบของ global warming ต่อการผลิตพืช เพื่อประโยชน์สูงสุดในการตัดสินใจจัดสรรทรัพยากรากการผลิต (decision support with model) งานวิจัยโดยใช้แนวทางนี้ส่วนใหญ่มีการกลับไปกลับมาระหว่างขั้นตอนที่สามถึงขั้นตอนที่หก

ผลลัพธ์ของการใช้แบบจำลอง

ผลลัพธ์หรือผลลัพธ์ของวิธีการวิจัยแบบ modeling มีสองส่วน ส่วนแรกได้แก่ความเข้าใจกระบวนการกราฟิกพืช รวมทั้งเทคโนโลยีการผลิตพืชที่ได้จากการรวมมองค์ความรู้ และส่วนที่สองได้แก่แบบจำลองคอมพิวเตอร์การเจริญเติบโตและพัฒนาการกราฟิกพืช และ/หรือ กระบวนการที่สนใจศึกษา ทำให้นักวิจัยสามารถประสาน (integrate) ผลงานวิจัยและองค์ความรู้ของแต่ละสาขาวิชาได้ดีขึ้น แบบจำลองก็คือตัวแทนองค์ความรู้ แทนนี้ เป็นตัวแทนที่ดีที่สุด ตามหลักการทางวิทยาศาสตร์ เป็น intermediate product ของกระบวนการวิจัย เรายสามารถใช้แบบจำลองที่ได้เพื่อการคาดการณ์ (predict) สภาพของระบบตามกระบวนการที่มีที่แบบจำลองว่าระบบจะเปลี่ยนแปลงอย่างไร? ให้ผลลัพธ์เป็นมากน้อยเพียงไร ภายใต้การจัดการต่าง ๆ

ข้อเสียเบี่ยงเบนของการใช้แบบจำลอง

วิธีการนี้มีข้อเสียเบี่ยงเบนอยู่มากโดยเฉพาะในบ้านเรา เนื่องจากเป็นวิธีการที่ใหม่มาก ยังไม่ได้รับการบรรจุเข้าในหลักสูตรการเรียนการสอนในระดับปริญญาตรีสาขาเกษตร เป็นวิธีการที่ต้องใช้แนวทางเชิงปริมาณ (quantitative approach) ในการทำงานทดลอง และต้องการความเข้าใจเรื่องคอมพิวเตอร์อีกด้วย

นอกจากนี้ เรายังไม่แน่ใจว่าจะมีผู้ใดใช้แบบจำลองพืชสำเร็จอย่างมากกว่าผู้ที่จะพัฒนาแบบจำลองพืช ดังนั้นโปรแกรมแบบจำลองพืชจึงมีอัตราการเกิดค่อนข้างต่ำ ยกตัวอย่างเช่น ระบบสนับสนุนการตัดสินใจเพื่อสนับสนุนการถ่ายทอดเทคโนโลยีทางเกษตร DSSAT 3.0 มีแบบจำลองพืชเพียง 15 พืช (Tsujii et al, 1994) ทำให้ศักยภาพของการใช้แบบจำลองพืชเพื่อคาดการณ์ระบบการผลิตจริงจึงมีอุปสรรคมาตามาย เนื่องระบบการผลิตจริงแม้จะเป็นเพียงในระดับไร่นาเกษตรกรก็มีองค์ประกอบมากมายหลายชนิด เป็นภาระมากที่จะสร้างแบบจำลองของทุกองค์ประกอบได้ ยกเว้นแต่เรา_rum ที่มีกันพัฒนาอย่างจริงจังโดยมีกรอบ (research framework) เดียวกัน และโปรแกรมแบบจำลองพืชที่มีอยู่ในวงการปัจจุบันนั้นยังเป็นระบบที่ให้ความสนุกเมื่อใช้งาน คือ เป็นโปรแกรมที่ยากต้องรู้เรื่องมากมายเหลือเกินจึงจะสามารถ master โปรแกรมเหล่านี้ได้

อันตรายที่อาจจะเกิดจากการใช้แนวทางนี้ในการวิจัยมีได้มาก เช่น กัน นักวิจัยที่ทำงานทดลองอยู่ในแปลงทดลองกล้ายเป็นผู้เก็บข้อมูลให้แก่นักพัฒนาแบบจำลอง ในบางสถานะการณ์การดำเนินงานวิจัยแบบเป็นทีมอาจจะไม่ได้ผลลัพธ์ที่เด่นชัดเลย หรือไม่ทราบว่าจะเริ่มต้นที่ใด เงินทุนวิจัยส่วนหนึ่งต้องใช้เพื่อการพัฒนาเครื่องไม้เครื่องมือ hi-tech และผลลัพธ์ที่ได้ส่วนใหญ่เป็นโปรแกรมคอมพิวเตอร์มากกว่าการค้นพบสิ่งใหม่ ๆ หรือค้นพบองค์ความรู้ใหม่ทางเกษตร สุดท้ายคือศัพท์แสงของทาง modeling เป็นศัพท์ที่ไม่คุ้นเคยอาจจะทำให้เกิดความเข้าใจผิดพลาด

ถ้าจะนำวิธีการนี้มาใช้จริง จะต้องพิจารณาทำให้การจัดสรรงบประมาณและทรัพยากรที่มีอยู่อย่างจำกัด ให้เกิดความสมดุลย์ระหว่างงานวิจัยเดิมกับงานวิจัยแนว modeling นอกจากนี้อาจจะมีคำถามว่าจะร่วมมือกันดำเนินงานวิจัยแบบ active อย่างไรระหว่างผู้เชี่ยวชาญในแต่ละสาขาวิชาที่

ลำดับขั้นระบบการผลิตพืชของการใช้แบบจำลอง

ขั้นตอนการวิจัยโดยใช้วิธีการ modeling มีลักษณะใกล้เคียงกับขั้นตอนงานวิจัยเชิงระบบอื่น เช่น งานวิจัยระบบการปลูกพืช งานวิจัยระบบการทำฟาร์ม (อารณ์ พัฒโนทย, 2528) เป็นต้น เริ่มต้นด้วยการกำหนดประเด็นปัญหาที่จะทำการวิจัย ออกแบบการแก้ปัญหา ทดสอบการแก้ปัญหา และสิ้นสุดด้วยการขยายผลรูปแบบการแก้ปัญหาที่ได้ผลลัพธ์ที่สูงกว่ากระบวนการเดิม อย่างไรก็ตาม ข้อแตกต่างอย่างหนึ่งของวิธีการ modeling กับวิธีการวิจัยเชิงระบบอย่างอื่นคือในขั้นตอนการออกแบบเพื่อแก้ปัญหานั้นมีผลลัพธ์เป็นแบบจำลองคอมพิวเตอร์ของระบบที่ทำการแก้ปัญหาอยู่ นอกจากนี้แบบจำลองที่พัฒนาได้จะเป็นเครื่องมือสำคัญในการทดสอบวิธีการแก้ปัญหาของระบบ การออกแบบเพื่อแก้ปัญหาของวิธีการวิจัยระบบการทำฟาร์มหรือการวิจัยระบบการปลูกพืช เป็นขั้นตอนที่นักเกษตรคิดค้นระบบการปลูกพืช และ/หรือ ระบบการผลิตสัตว์ กำหนดเป็นชุดงานทดลอง มีตัวรับการทดลอง มีจำนวนชั้น ดำเนินการทดลองในสภาพจริงเพื่อทราบผลของการแก้ปัญหา

ในวงการ modeling ขั้นตอนที่สำคัญมากที่สุดได้แก่ขั้นตอนการออกแบบและการพัฒนาแบบจำลองของระบบที่สนใจ เนื่องจากเป็นขั้นตอนในการกำหนดโครงสร้างและการอภิవัจย์ โครงการวิจัยบางโครงการเน้นการพัฒนาแบบจำลอง บางโครงการเน้นการทดสอบแบบจำลอง หรือบางโครงการดำเนินเน้นทั้งสองกิจกรรม ในด้านการพัฒนาแบบจำลองระบบบัน្តเป็นที่ยอมรับกันในวงการว่ากรอบการวิจัยแบ่งออกตามลำดับขั้นของระบบการผลิตพืช (Penning de Vries, 1982) โดยแบ่งเป็น 4 ระบบการผลิต ได้แก่

1. ระบบการผลิตพืชขั้นสูงสุด (potential crop production systems)
2. ระบบการผลิตพืชที่มีน้ำเป็นปัจจัยจำกัด (water limited crop production systems)
3. ระบบการผลิตพืชที่มีไนโตรเจนเป็นปัจจัยจำกัด (nitrogen limited crop production systems)
4. ระบบการผลิตพืชที่มีธาตุอาหารอื่น ศัตรูพืช และปัจจัยสังคมเป็นปัจจัยจำกัด (other plant nutrients, pest, and social factors limited crop production systems)

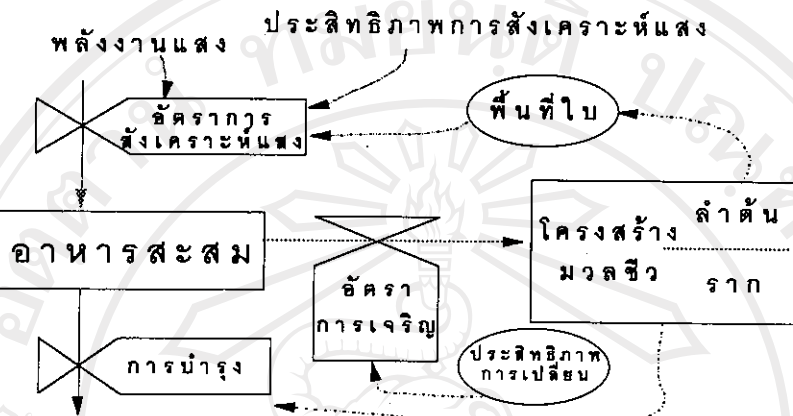
นักวิจัยแยกวิจัยเพื่อทำความเข้าใจกระบวนการพัฒนาการของพืช (crop development) และการเจริญเติบโตของพืช (crop growth) โดยให้ความสนใจวิจัยกระบวนการทั้งสองมากกว่ากระบวนการพัฒนาด้านโครงสร้างของพืช (crop morphology) การศึกษาที่ผ่านมาเน้นการตอบสนองของพืชต่อระดับการจัดการทรัพยากรการผลิต นอกจากนี้การแบ่งระบบการผลิตตามลำดับขั้นการผลิตทำให้การพัฒนาแบบจำลองพืชและผู้เชี่ยวชาญสามารถใช้ประโยชน์ได้สูงสุด ทำให้ผู้ปฏิบัติงานทราบข้อมูลของปัจจัยที่ประสบอยู่และทำให้การแก้ไขปัญหาดำเนินไปอย่างมีระบบไม่ซ้ำซ้อน ทำให้ผู้ปฏิบัติงานทราบข้อมูลของปัจจัยที่ประสบอยู่และทำให้การแก้ไขปัญหาดำเนินไปอย่างมีประสิทธิภาพ

ระบบการผลิตพืชขั้นสูงสุด (potential crop production system)

ในระบบการผลิตพืชระบบนี้ กระบวนการการเจริญเติบโตและกระบวนการพัฒนาการของพืชได้รับปัจจัยการผลิตอย่างเต็มที่ หมายถึงมีปริมาณน้ำและระดับธาตุอาหารของพืชเกินความต้องการแต่ไม่เป็นพิเศษต่อพืช พืชมีอัตราการเจริญเติบโตอยู่ในช่วง 24-56 กิโลกรัมแห้ง/ไร่/วัน เมื่อมีพื้นที่ใบครอบคลุมพื้นที่ดินอย่างสมบูรณ์ และเป็นอัตราที่ขึ้นอยู่กับสภาพอากาศเกษตรโดยเฉพาะพัฒนาการแสงอาทิตย์ และในบางสถานะการณ์ขึ้นอยู่กับอุณหภูมิโดยเฉพาะในพื้นที่ที่มีอากาศหนาว แบบจำลองพัฒนาการและการเจริญเติบโตของพืชในระดับนี้สามารถคำนวณการเปลี่ยนแปลงค่าตัวแปรหลักซึ่งเป็นองค์ประกอบที่สำคัญของพืชได้แก่ ใบ ลำต้น ราก เมล็ด ตามกระบวนการพัฒนาสังเคราะห์แสง การบำรุงรักษาส่วนต่างๆ และการกระจายสารสังเคราะห์ (อุปที่ 4)

ตัวอย่างของระบบการผลิตนี้สามารถสร้างได้ในห้องปฏิบัติการ ในสภาพการผลิตจริงก็มี เช่น ระบบการผลิตข้าวในพื้นที่ภาคกลางของประเทศไทย การผลิตข้าวสาลีและมันฝรั่งในประเทศไทยและเมียนมาร์ เป็นต้น

รูปที่ 4: ระบบการผลิตพืชขั้นสูงสุด (*potential crop production system*) (ดัดแปลง
จาก Penning de Vries , 1982 และ J.T. Ritchie, 1991)



ระบบการผลิตพืชที่มีน้ำเป็นปัจจัยจำกัด (*water limited crop production systems*)

การเจริญเติบโตของพืชในระบบการผลิตนี้มีข้อจำกัดเรื่องน้ำในบางช่วงของการพัฒนาการของพืช แต่อัตราการเจริญเติบโตสามารถดำเนินได้อย่างเต็มที่เมื่อในระบบการผลิตที่หนึ่งมีปริมาณน้ำเพียงพอต่อความต้องการของพืช (รูปที่ 5) กระบวนการเพิ่มเติมในระบบการผลิตนี้ได้แก่ พลวัตของน้ำในดินและพืช การสูญเสียน้ำในกระบวนการ runoff และ drainage ที่ต้องให้ความสำคัญเป็นพิเศษในระบบการผลิตนี้ได้แก่การถ่ายเทพลังงาน ความร้อนระหว่างอากาศ พืช และดิน แบบจำลองพัฒนาการและการเจริญเติบโตของพืชในระดับนี้สามารถคำนวณการเปลี่ยนแปลงค่าตัวแปรหลักเพิ่มเติมขึ้นจากแบบจำลองระดับแรกคือสามารถคำนวณการเปลี่ยนแปลงของปริมาณน้ำในชั้นดินต่าง ๆ ได้ รวมทั้งคำนวณการลดลงของพืชในแต่ละช่วงของการพัฒนาการ

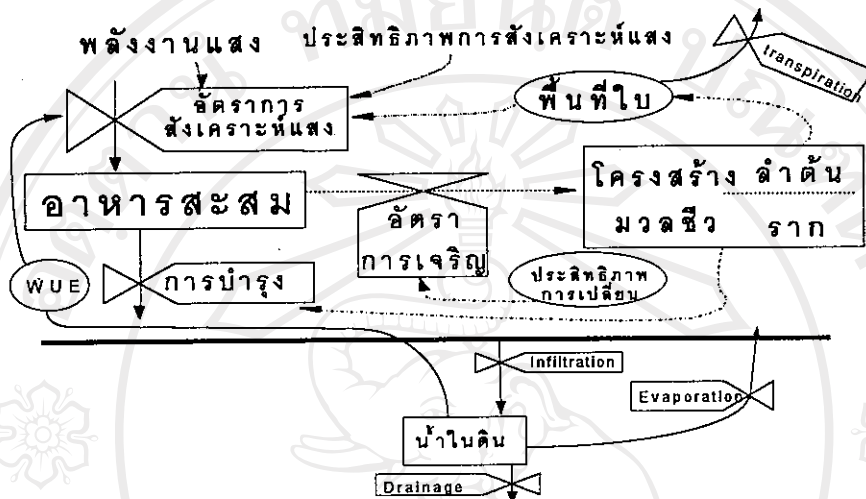
ตัวอย่างของระบบการผลิตนี้มีมากมายในพื้นที่เขตต้อนร้อนอย่างเช่นในประเทศไทย และการผลิตในเขตทึ่งร้อนกึ่งหนาว

ระบบการผลิตพืชที่มีไนโตรเจนเป็นปัจจัยจำกัด (*nitrogen limited crop production systems*)

การเจริญเติบโตของพืชในระบบการผลิตนี้มีข้อจำกัดเพิ่มเติมจากเรื่องน้ำในบางช่วงของการพัฒนาการของพืช คือระดับของธาตุไนโตรเจนต่ำกว่าความต้องการของพืชในบางช่วงของการพัฒนาการ โดยเฉพาะในช่วงปลายฤดูการผลิตพืช (รูปที่ 6) กระบวนการเพิ่มเติมในระบบการผลิตนี้ได้แก่พลวัตของธาตุไนโตรเจนในดินและในพืช การสูญเสียของธาตุไนโตรเจนในกระบวนการ leaching และ denitrification การตอบสนองของพืชต่อธาตุไนโตรเจน และการเคลื่อนย้ายธาตุไนโตรเจนจากส่วนที่มีอยู่มากไปยังส่วนของพืชที่เกิดใหม่

รูปที่ 5:

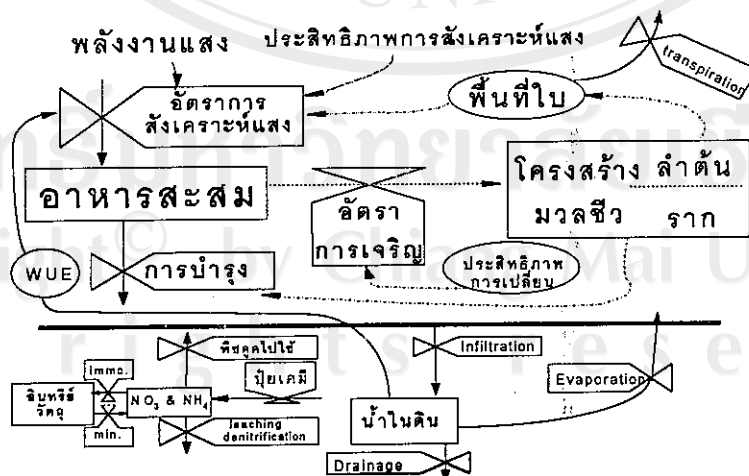
ระบบการผลิตพืชที่มีน้ำเป็นปัจจัยจำกัด (water limited crop production systems) (ดัดแปลงจาก Penning de Vries , 1982 และ J.T. Ritchie, 1991)



ตัวอย่างของระบบการผลิตนี้มีมากมายในพื้นที่เขตร้อนอย่างเช่นในประเทศไทย และการผลิตในเขตที่ร้อนกึ่งหนาว หลักการทำงานวิจัยในระดับกระบวนการเพื่อสร้างแบบจำลองสำหรับระดับการผลิตทั้งสามที่กล่าวแล้ว มีผู้พัฒนาไว้แล้วมากมาย (ตารางที่ 1) เป็นความเข้าใจที่ได้ทำการรวบรวมในรูปแบบจำลองพื้นฐานเพื่อ

รูปที่ 6:

ระบบการผลิตพืชที่มีไนโตรเจนเป็นปัจจัยจำกัด (ดัดแปลงจาก Penning de Vries , 1982 และ J.T. Ritchie, 1991)



ระบบการผลิตพืชที่มีธาตุอาหารอื่น ศั้ตว์พืช และปests จำกัด (other plant nutrients, pest, and social factors limited crop production systems)

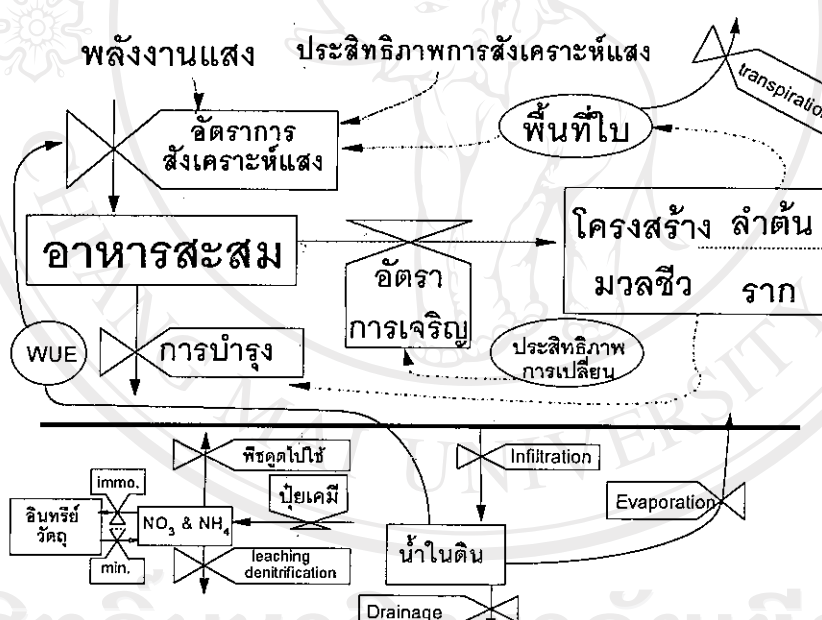
การเจริญเติบโตของพืชในระบบการผลิตนี้มีข้อจำกัดเพิ่มเติมจากเรื่องน้ำและเรื่องธาตุใน⼟⼟壤คือการขาดธาตุฟอสฟอรัส (phosphorus) ธาตุโพแทสเซียม (potassium) ในบางช่วงของการพัฒนาการของพืช การขาดธาตุฟอสฟอรัสมีความเกี่ยวข้องกับ metabolism ของธาตุใน⼟⼟壤 (รูปที่ 7) อัตราการเจริญเติบโตของพืชมีเพียง 1.6-8.0 กิโลกรัมแห้ง/ไร/วัน ในช่วงการเจริญเติบโตน้อยกว่า 100 วัน

ด้วยร่างของระบบการผลิตนี้มีมากมายในพืชนี้ เช่นในประเทศไทย และการผลิตในเขตที่น้ำออกน้ำ

รูปที่ 7:

ระบบการผลิตพืชที่มีฟอสฟอรัสเป็นปัจจัย (ดัดแปลงจาก Penning de Vries ,

1982 และ J.T. Ritchie, 1991)



สัมประสิทธิ์พันธุกรรมพืช (crop genetic coefficients)

แบบจำลองพืชของกลุ่มนักวิทยาศาสตร์เกษตรในประเทศไทยเสนอเมธิรามีข้อแตกต่างจากแบบจำลองของกลุ่มชอลแลนเดอร์ที่แบบจำลองของกลุ่มแรกบรรยายความแตกต่างระหว่างสายพันธุ์ของพืชต่าง ๆ โดยใช้ค่าสัมประสิทธิ์พันธุกรรมพืช (crop genetic coefficients) (Hunt et al, 1989) โดยแบ่งค่าสัมประสิทธิ์ฯ ออกเป็นสองกลุ่ม คือ กลุ่มที่ใช้บรรยายความแตกต่างด้านพัฒนาการของพืช และกลุ่มที่ใช้บรรยายความแตกต่างด้านการเจริญเติบโตของพืช

ค่าสัมประสิทธิ์พัฒนาการของพืช (*crop phenology coefficients*)

เป็นค่าคุณภาพมิสะสมในแต่ละช่วงพัฒนาการของพืชดังแต่ปลูกถึงเก็บเกี่ยว บางค่าแสดงความอ่อนไหวของพันธุ์พืชต่อช่วงแสงซึ่งเป็นปัจจัยหนึ่งในการควบคุมการออกดอก ในกรณีของแบบจำลองข้าว CERES-rice มีค่าสัมประสิทธิ์พัฒนาการอยู่สี่ค่า (ตารางที่ 1) ค่าสัมประสิทธิ์เหล่านี้หาได้ทั้งจากแปลงทดลอง (field experiment) และจากห้องทดลองควบคุมสภาพแวดล้อม (growth chamber) ความเข้าใจที่ได้จากค่าสัมประสิทธิ์เหล่านี้มีผลในทางปฏิบัติมาก many ในอ้อยเป็นตัวอย่างหนึ่ง การทดลองของโครงการ พทอ. ระหว่างปี 2538 พบร่องลงจากที่อ้อยสองพันธุ์พัฒนาการถึงใบที่ 18-25 อ้อยมีการลดหนอกทึบและเริ่มเข้าสู่ระยะที่มีจำนวนลำอ้อยต่อกองค่อนข้างคงที่ ระยะนี้เป็นระยะที่อ้อยมีการยืดปลั้งและมีความต้องการธาตุอาหารเป็นปริมาณมากเพื่อการสร้างส่วนต่างๆ

ตารางที่ 1:

สัมประสิทธิ์รวมพันธุ์ข้าวในระบบ CERES

| รหัส | ความหมาย |
|-----------------------------------|--|
| สัมประสิทธิ์พัฒนาการ | |
| P1 | GDD จากโกลพันผิดนิ่ง ถึง สิ้นสุดระยะแตกกอ ที่อุณหภูมิพื้นฐาน 8°C ค่า P1 อยู่ในระหว่าง 350-900 GDD. |
| P5 | GDD จากระยะออกดอก ถึง สิ้นสุดระยะเมล็ดโตเต็มที่ ที่อุณหภูมิพื้นฐาน 8°C ค่า P5 อยู่ในระหว่าง 430-550 GDD. |
| P2O | ความยาววันวิกฤตต่อการออกดอก อยู่ระหว่าง 10-13 ชั่วโมง |
| P2R | สัมประสิทธิ์ความไวต่อแสง 50-250 GDD |
| สัมประสิทธิ์การเจริญเติบโต | |
| G1 | จำนวนเมล็ดสูงสุดต่อต้น |
| G2 | น้ำหนักเมล็ดเดียวสูงสุด (กรัม) |
| G3 | การแตกกอ (0.6-1.0) |
| G4 | การทนความร้อน |

ค่าสัมประสิทธิ์การเจริญเติบโตของพืช (*crop growth coefficients*)

เป็นค่าคงที่แสดงอัตราการเจริญเติบโตของแต่ละส่วนของพืช ในกรณีของแบบจำลองข้าวมีค่าสัมประสิทธิ์การเจริญเติบโตสี่ค่า (ตารางที่ 2) ค่าสัมประสิทธิ์เหล่านี้หาได้ทั้งจากแปลงทดลอง (field experiment) และจากห้องทดลองที่สามารถควบคุมสภาพ (growth chamber) ในกรณีของอ้อยต้องมีการศึกษาในประเด็นนี้อีกมาก การกำหนดความแตกต่างระหว่างพันธุ์พืชที่พร้อมจะระยะเวลาสู่เกษตรกร หรือการทดลองในหลายพันธุ์ที่เป็นประโยชน์ต่องานปรับปรุงพืช (Hunt et al., 1989) นักวิจัยสามารถประเมินระดับการผลิตของสายพันธุ์พืชใหม่ได้ถ้ามีสัมประสิทธิ์รวมพันธุ์

ตารางที่ 2: ผังการกระจายสารสังเคราะห์ในแบบจำลองช้าๆ CERES-Rice

| รหัส | ระยะพัฒนาการ | ส่วนของพีซ |
|------|---------------------------------|---------------------|
| 7 | เติบโตมีนิ่ง ปลูก | |
| 8 | ปลูก ถึง งอก | เมล็ด راك |
| 9 | งอก ถึง ผลพันผ้าดิน | راك ใบ |
| 1 | งอก ถึง หมวดระยะหนุ่มสาว | راك ใบ ลำต้น |
| 2 | หมวดระยะหนุ่มสาว ถึง แห้งช่อดอก | راك ใบ ลำต้น |
| 3 | แห้งช่อดอก ถึง ออกรดออก | راك ใบ ลำต้น ช่อดอก |
| 4 | ออกรดออก ถึง เริ่มสร้างเมล็ด | راك ใบ ลำต้น ช่อดอก |
| 5 | เริ่มสร้างเมล็ด ถึง เมล็ดเต็ม | راك ช่อดอก เมล็ด |
| 6 | เมล็ดเต็ม ถึง ลูกแก่ทางสรีระ | راك ลำต้น เมล็ด |

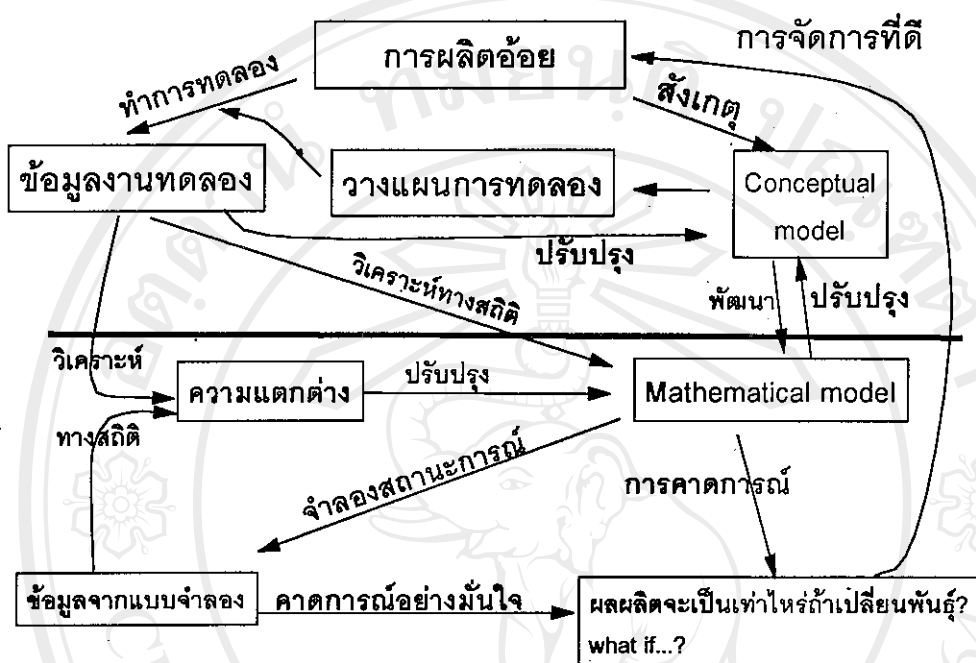
แบบจำลองพีซช่วยเสริมงานวิจัยปัจจุบันได้อย่างไร?

การสร้างหัวข้อวิจัยของงานวิจัยสายศึกษาภาพหรืองานวิจัยสายสังคมเกษตรมีพื้นฐานจากการสังเกตระบบจริงที่สนใจ (ในกรณีของเราก็อยู่เป็นระบบที่สนใจ รูปที่ 8) และสร้างแบบจำลองเชิงความคิดเห็น กำหนดสถานะต่าง ๆ ของระบบ และกำหนดความสมมั่นใจ แบบจำลองเชิงความคิดนำไปสู่การพัฒนาแผนงานวิจัยและสามารถวางแผนงานทดลองเพื่อแก้ไขปัญหาของระบบการผลิตได้อย่างมีประสิทธิภาพ เมื่องานทดลองได้รับการออกแบบตามหลักการทางสถิติและได้ลงมือทดลองจริงในสนามทำให้กู้มผู้วิจัยสามารถสร้าง รวมทั้งปรับปรุงข้อมูลและแบบจำลองเชิงความคิดให้ดีขึ้น และสามารถใช้ประกอบการอธิบายพฤติกรรมของระบบได้ดีกว่าระยะเดิมแรก

แนววิจัยด้วยแบบจำลองจะสนับสนุนและเพิ่มประสิทธิภาพงานวิจัยที่กล่าวมาข้างต้นได้โดยนำผลการศึกษาและฝึกการวิเคราะห์ตามวิธีการทางสถิติมาประยุกต์ในการพัฒนาแบบจำลองทางคณิตศาสตร์ของพีซ และ/สตอร์ (mathematical model) นอกจากนี้ข้อมูลที่ได้จากการทดลองที่มีอยู่ทั่วประเทศสามารถใช้ประกอบการเปรียบเทียบกับแบบจำลองฯ ได้หากมีการจัดเก็บข้อมูลตามความต้องการของแบบจำลองฯ ทำให้การปรับปรุงแบบจำลองเป็นไปอย่างกว้างขวางและรวดเร็ว สามารถคาดการณ์ระบบจริงได้มากขึ้นในทุกสภาพการผลิตแบบ-จำลองที่สามารถคาดการณ์ได้ใกล้เคียงกับระบบการผลิตจริงสามารถนำไปประกอบการแก้ไขปัญหาการผลิตทางเกษตรได้หลายแบบ (Jintrawet, 1991)

ดังนั้นงานวิจัยอ้อยที่จะเกิดใหม่ควรพิจารณาใช้แนวทางวิจัยโดยใช้แบบจำลองเป็นกรอบเพื่อวางแผน การวิจัยโดยเฉพาะในประเด็นของการจัดเก็บข้อมูลการทดลองในสนามเพื่อทดสอบแบบจำลองพีซที่มีอยู่แล้ว ในท่านองเดียว กัน สำหรับงานทดลองที่กำลังจะดำเนินการในฤดูเพาะปลูกที่จะถึง เราสามารถใช้วิธีการ modeling เข้าสนับสนุนการจัดเก็บข้อมูลได้

รูปที่ 8: ความสัมพันธ์ของการวิจัยโดยใช้แบบจำลองและการวิจัยอื่น



สรุป

บทนี้กล่าวถึงความต้องการผลงานวิจัยทางเกษตรในสถานะการณ์การผลิตที่มีอัตราการเปลี่ยนแปลงสูง และโอกาสในการสร้างผลงานวิจัยโดยนักวิจัยไทยด้วยวิธีการใช้แบบจำลอง โดยการพัฒนาองค์กรที่มีองค์ประกอบที่เหมาะสมในการสนับสนุนการใช้วิธีการวิจัยดังนี้

การเกษตรเป็นกิจกรรมที่เกี่ยวข้องกับระบบชีวภาพของธรรมชาติมากที่สุดกิจกรรมหนึ่ง ผู้ทำการศึกษา ทำความเข้าใจระบบชีวภาพส่วนใหญ่ถูกฝึกให้มองภาพของระบบเป็นโครงสร้างที่มีลำดับขั้นต่าง ๆ ตั้งแต่ระดับ ยีน เฮคต ต้นพืช สัตว์ แหล่งพืช ป่าไม้ และระบบบินเวียน ในแต่ละส่วนมีพฤติกรรมเป็นผลจากพฤติกรรมร่วม ระหว่างองค์ประกอบในระดับขั้นที่เล็กกว่าโดยได้รับอิทธิ-พลจากปัจจัยภายนอกหลายปัจจัย การศึกษาระบบชีวภาพโดยวิธีการง่ายที่สุดคือการแยกศึกษาส่วนต่าง ๆ โดยอิสระ การใช้แบบจำลองเป็นแนวทางหนึ่งและเครื่องมือ ชนิดหนึ่งในการวิจัยเกษตรสมควรได้รับการพิจารณาลองใช้ในระบบงานวิจัยการผลิตอ้อยในประเทศไทยในอนาคตค่อนไปแล้ว ในกรณีที่เป็นผู้ใช้แบบจำลองควรที่จะต้องทำความเข้าใจสมมติฐานของแบบจำลองที่ตนเองใช้อยู่

หลักการสำคัญของการวิจัยอย่างเป็นระบบคือต้องมีความเข้าใจของระบบทั้งหมดเท่าที่จะทำได้ อาจจะ โดยการรวมองค์ความรู้ทั้งในและต่างประเทศในสาขาวิชาที่เกี่ยวข้อง เพื่อนำความเข้าใจนั้น ๆ ไปประกอบ การคาดการณ์การตอบสนองของระบบเมื่อมีการเปลี่ยนแปลงของปัจจัยการผลิต ความเข้าใจระบบมีความแตกต่างกันตามลำดับขั้นของระบบ ซึ่งต้องมีความถูกต้องและความคงเด tam ในเวลา (temporal

dimension) และระยะทาง (spatial dimension) เช่นความลับเฉียดและมาตรฐานของระบบผลวัตถุของน้ำในดิน อาจจะมีความลับเฉียดในด้านเวลาเป็นรายชั่วโมง ในขณะที่ระบบการเพิ่มน้ำของน้ำหนักพื้นที่มีความลับเฉียดเป็นรายวัน เป็นต้น ในบางโอกาสสามารถพิจารณาความลับเฉียดของแปลงปลูกอ้อยที่มีขนาดคล้ายพื้นที่ไม่มีความสม่ำเสมอเปลี่ยนแปลงตัวอย่างตัวเดียว กัน และในทางตรงกันข้ามตัวอย่างก่อเดียวที่มีความลับเฉียด ก็จะระดับเซลล์และยีน นักพัฒนาแบบจำลองระบบสามารถพัฒนาแบบจำลองให้มีความลับเฉียดได้ในทุกระดับ ขึ้นอยู่กับฐานข้อมูลงานทดลองที่นำมาประกอบการพัฒนาแบบจำลอง อย่างไรก็ตาม ถ้าพิจารณาจากมุมมอง การใช้งานแบบจำลองเพื่อการคาดการณ์ผลลัพธ์ของระบบจะเห็นได้ว่าเรามีข้อมูลรวมชาติให้สร้างแบบจำลองที่มีความลับเฉียดเฉพาะส่วนที่จำเป็นเท่านั้น

การปฏิบัติงานให้เป็นระบบ สามารถประสานผลงานวิจัยของแต่ละส่วนได้นั้นมีความจำเป็นอย่างยิ่งที่ต้องใช้ผู้ช่วยงานจากหลายสาขาวิชา (inter and multidisciplinary approach) ทุกสาขาวิชาจะมีส่วนร่วมในการพัฒนาองค์ความรู้หรือมีส่วนร่วมในการแก้ปัญหาอย่างเท่าเทียมกัน ในระดับที่เล็กกว่าตัวนี้นักวิชาการศิริ-ระบบทิพย์พิช แนะนำวิชาการชีวเทคโนโลยีมีส่วนในการค้นหาคำตอบมากกว่านักเขตกรรม หรือนักปฐปศาสตร์ ในขณะที่นักเศรษฐศาสตร์มีส่วนมากกว่าสาขาวิชาอื่นถ้าเกี่ยวข้องกับการวางแผน การตลาดของสินค้าการเกษตร แบบจำลองพื้นที่ที่กล่าวมาแล้วนี้มีความสามารถแก้ปัญหาที่เกิดในระบบการผลิต การตลาด และการขนส่งสินค้าการเกษตรได้ทั้งหมด แบบจำลองระบบไม่ได้หยุดที่แบบจำลองพื้นที่ และ/หรือแบบจำลองสัดวิถีเท่านั้น

วิธีการนี้เป็นที่ยอมรับอย่างรวดเร็วในวงการเกษตรต่างประเทศ อัตราการเพิ่มน้ำของประเทศไทยแบบจำลองพื้นที่ต่าง ๆ มีสูงมาก คำถาวรที่น่าสนใจในประเทศไทย คือ เรายังคงที่จะเริ่มใช้แบบจำลองหรือไม่และเมื่อใด เพื่อให้เป็นเครื่องมือและเป็นโครงสร้างงานวิจัยร่วมกันในช่วงปี 2000

ส่วนที่ 1 การประเมินผลผลิตอ้อยโดยใช้แบบจำลองพัฒนาการและ
การเจริญเติบโตของอ้อย

โครงสร้างงานทดลองวันปลูกอ้อยชุดที่หนึ่ง
และสอง

ศูนย์วิจัยพืชไร่สุพรรณบุรี มหาวิทยาลัยขอนแก่น และ¹
มหาวิทยาลัยเชียงใหม่²

(อ้อยปลูก และอ้อยตอ 1 ของชุดที่หนึ่ง และ
อ้อยปลูก ของชุดที่สอง)

เฉลิมพล ไหหลุ่งเรือง อรรถศัย จินตะเวช และสุวิทย์ เลาศิริวงศ์
Copyright © by Chiang Mai University
All rights reserved

งานทดลองอิทธิพลของวันปีกูที่มีต่อพัฒนาการและการเจริญเติบโตของข้อยปีกูและอ้อยตอบปีที่หนึ่งและอ้อยตอบปีที่สองเป็นงานทดลองที่มีจุดประสงค์หลักเพื่อการสร้างฐานข้อมูลขั้นต่ำสำหรับการพัฒนาการและการทดสอบแบบจำลองการเจริญเติบโตของข้อยในประเทศไทย ฐานข้อมูลที่จะพัฒนาในเมืองจันทร์ทดลองประกอบไปด้วย ข้อมูลภูมิอากาศเกษตรรายวัน ข้อมูลการจัดการผลิตอ้อย ข้อมูลสัมประสิทธิ์พันธุกรรมข้อย และข้อมูลดิน ฐานข้อมูลทั้งสี่ฐานนี้มีโครงสร้างเดียวกันกับฐานข้อมูลในระบบสนับสนุนการตัดสินใจเพื่อถ่ายทอดเทคโนโลยีทางเกษตร (DSSAT 3.0 และ 3.1) จากการสำรวจและ การตรวจเชิงสารพุ่งว่า ยังไม่มีหน่วยงานทั้งของภาครัฐและภาคเอกชนได้ดำเนินงานทดลองเพื่อจัดเก็บข้อมูลดังกล่าวสำหรับอ้อยในประเทศไทย

จุดประสงค์สำคัญของงานทดลองนี้มีสามประการคือ 1) เพื่อศึกษาการตอบสนองของอ้อยส่องพันธุ์คือพันธุ์ K และพันธุ์ U ที่มีต่อวันปีกูตัววันปีกู 2) เพื่อรวมรวมข้อมูลจากสถานที่มีความสมบูรณ์เพียงพอต่อการพัฒนาและทดลองแบบจำลองข้อย ThaiCane 1.0 และ 3) เพื่อพัฒนาองค์ความรู้ความสัมพันธ์โดยใช้สมการทางคณิตศาสตร์ระหว่างตัวแปรสภาพแวดล้อมและตัวแปรองค์ประกอบผลผลิตอ้อย รวมทั้งพยายามชี้แนวทางที่ควรดำเนินการวิจัย

สถานที่ทดลอง

ดำเนินการทดลองในสามจุดตามรายละเอียดดังต่อไปนี้

| หน่วยงาน | จุดที่ทำแปลงทดลอง | ชื่อชุดดิน |
|--|--|------------|
| ศูนย์วิจัยพืชไร่สุพรรณบุรี กรมวิชาการเกษตร | 14°18'N 99°52'E 593213 1581374 UTM | กำแพงแสน |
| แปลงทดลองภาควิชาพืชไร่ คณะเกษตรศาสตร์ มหาวิทยาลัยขอนแก่น | 16°28'N 102°48'E 265940 1821986 UTM | บล็อก |
| สถานีวิจัยและฝึกอบรมแม่เหียะ คณะเกษตรศาสตร์ มหาวิทยาลัยเชียงใหม่ | 18°45'N 98°55'E 492508 2074117 UTM | สตีก |

การตรวจวัดสภาพอากาศเกษตร

ได้ทำการติดตั้งเครื่องตรวจวัดสภาพอากาศเกษตรทั้งสามจุดที่ดำเนินการทดลอง โดยเครื่องของบริษัท UNIDATA ทำการตรวจวัดเป็นราย 10 นาที และจำนวนเป็นรายวันตามโครงสร้างเพิ่มข้อมูลของ DSSAT 3.0 ทำการตรวจวัดระดับพลังงานแสงอาทิตย์ที่เปลี่ยนไปตามเวลาที่ต้องการและแสดงข้อมูลของ DSSAT 3.0 ที่ต้องการ รวมถึงอุณหภูมิอากาศสูงสุด-ต่ำสุด และปริมาณน้ำฝน

วิธีการทดลองและวิธีการวัดค่าตัวแปร

วางแผนงานทดลองเป็นสองงานทดลอง ๆ ละ สองวันปลูก งานทดลองหั้งสองชุดวางแผนงานทดลองแบบ split plot มีสามชั้น วันปลูกเป็น main plot และพันธุ์อ้อยเป็น sub plot งานทดลองชุดที่หนึ่งมีวันปลูกที่ทำการเปรียบเทียบสองวันปลูก คือ วันที่ 28 กุมภาพันธ์ หรือ 2 มีนาคม 2538 (D1) และ วันที่ 28 เมษายน 2538 (D2) งานทดลองชุดที่สองมีสองวันปลูก คือ วันที่ 1 หรือ 19 พฤษภาคม 2538 (D3) และ วันที่ 10 หรือ 16 มกราคม 2539 (D4)

ใช้อ้อยสองพันธุ์คือ K และ P แปลงย่อยมีขนาด 16.9×15.0 เมตร โดยมีระยะระหว่างแท่งเป็น 130 ซม. ระยะระหว่างต้นอ้อยในแต่ละแท่ง 50 ซม. แปลงย่อยหนึ่งมี 14 แท่ง ๆ ละ 31 ต้น แบ่งแท่งอ้อยทั้ง 14 แท่ง เป็นสามส่วน ๆ ละ สี่แท่ง เพื่อทำการติดตามพัฒนาการและการเจริญเติบโตของอ้อยตลอดเวลาสามปี ปีแรกเก็บเกี่ยวแท่งที่สามและแท่งที่สี่ ปีสองเก็บเกี่ยวแท่งที่เจ็ดและแปด ปีสามเก็บเกี่ยวแท่งที่ 11 และ 12

ในแท่งคู่ที่สำรองไว้เพื่อการเก็บเกี่ยวในแต่ละปีนั้นทำการกำหนดต้นอ้อยได้ 14 ต้น เพื่อเป็นตัวแทนในการติดตามพัฒนาการของอ้อยทั้งสองพันธุ์ ในน้ำสปีเดอร์จะสองครั้งในช่วงเดือนมีนาคม-พฤษภาคม 2538 และ 2539 ครั้งละประมาณ 20 มม. ใสปุ๋ยเคมีสูตร 15-15-15 อัตรา 100 กิโลกรัม/ไร่ เมื่ออ้อยมีอายุได้สองและสามเดือนตามลำดับ มีการกำจัดวัชพืชทั้งแบบบริการและใช้สารเคมี รวมทั้งมีการใช้สารเคมีเพื่อกำจัดศัตรูอ้อยตามความจำเป็น

ทำการบันทึกข้อมูลรายต้น ได้แก่ วันที่ใบแตกใบแบนแล้วเติบโต 14 ต้น ของแต่ละแปลงย่อย จดวันที่ร้อยละ 50 ของต้นในแปลงย่อยมีใบแล้วเติบโต ก็จะต้องตัดออก จำนวนทั้งหมด จำนวนสองกอ ในระหว่างการเจริญเติบโต ซึ่งแตกต่างกันในแต่ละปีระหว่างปี 2538 2539 2540 และ 2541 เพื่อนำมาเป็นตัวอย่าง แล้วทำการแยกส่วนต่าง ๆ ออกเป็น ส่วนของต้นอ้อย ส่วนของใบอ้อย ส่วนของ根ในอ้อย และ ส่วนของราก อ้อย ทำการตากแห้งและซักหน้าหนังแห้งของแต่ละส่วน

การวิเคราะห์องค์ประกอบความหวานได้จัดส่งลำต้นของอ้อยไปที่ศูนย์วิจัยพืชไอลูพาราณบูรีเพื่อตราชวัดค่าองค์ประกอบความหวานได้แก่ %polarity, %brix, และ %fiber คำนวนค่า CCS และ ปริมาณ monosaccharides โดยวิธีการวิเคราะห์เดียวกันเพื่อทดสอบความคล้ายคลึงกันของผลิตภัณฑ์จากวิเคราะห์ ทำการเก็บเกี่ยวผลผลิตจาก 14 กอ ของแต่ละปีในแปลงย่อย และบันทึก จำนวนลำอ้อยทั้งหมด น้ำหนักสดของต้นอ้อย สูงตัวอย่างลำอ้อยหนึ่งลำต่อ กอ เพื่อส่งที่ศูนย์วิจัยพืชไอลูพาราณบูรี ทำการวิเคราะห์หาค่าองค์ประกอบความหวาน และปริมาณ monosaccharides.

การเก็บข้อมูลดิน

ก่อนการปลูกอ้อยทำการเก็บตัวอย่างดินทุกแปลงย่อยตามระดับความลึกของชั้นดิน และส่งห้องปฏิบัติการเพื่อทำการวิเคราะห์ค่าเริ่มต้นของปริมาณธาตุในตระเจนในรูปของไนเตรฟเฟน ค่าระดับความเป็นกรด-เป็นด่างของดิน (pH) และค่าความชื้นดิน

การรายงานผลการทดลอง

เนื่องจากงานทดลองทั้งสองชุดยังอยู่ในระหว่างการดำเนินการทดลอง รายงานฉบับสมบูรณ์ของโครงการ พทอ. ระยะแรกประกอบด้วยรายงานผลการทดลองอิทธิพลของวันปีก (D1 และ D2) ที่มีต่ออ้อยปีกและอ้อยตอบปีที่หนึ่งของงานทดลองชุดที่หนึ่ง และ ผลการทดลองอิทธิพลของวันปีก (D3 และ D4) ที่มีต่ออ้อยปีกของงานทดลองชุดที่สอง (/ararat และคณะ, สุวิทย์ และคณะ, และเฉลี่มพล และคณะ ในรายงานฉบับนี้)



ลิขสิทธิ์มหาวิทยาลัยเชียงใหม่
Copyright © by Chiang Mai University
All rights reserved

ส่วนที่ 1 การประมาณผลผลิตอ้อยโดยใช้แบบจำลองพัฒนาการและ
การเจริญเติบโตของอ้อย

การทดลองวันปลูกอ้อยชุดที่หนึ่งและสอง
ศูนย์วิจัยพืชไร่สุพรรณบุรี

(อ้อยปลูก และข้อต่อ 1 ของชุดที่หนึ่ง และ
ข้อต่อปลูก ของชุดที่สอง)

เฉลิมพล ไนลรุ่งเรือง นิพนธ์ เอี่ยมสุภาณิต ปริชา พราหมณี^๑ และ^๒
มาสุข ลิ้มรุ่งเรืองรัตน์

จัดทำโดย ศูนย์วิจัยพืชไร่สุพรรณบุรี
มหาวิทยาลัยเชียงใหม่
Copyright[©] by Chiang Mai University
All rights reserved

๔.๖ ดิภาคกลางและเขตภาคตะวันตกของประเทศไทยมีพื้นที่ป่าลูกอ้ออยรวมกัน 2,637,898 ไร่ (ฤดูกาลผลิต 2536/2537 หรือประมาณร้อยละ 53 ของพื้นที่ป่าลูกอ้ออยรวมทั่วประเทศ แหล่งป่าลูกอ้ออยดังกล่าวจึงมีความสำคัญอย่างมากต่อการผลิตอ้อย และน้ำตาลของประเทศไทย ในการพัฒนาและการคาดสอบแบบจำลองการเจริญเติบโตของอ้อยในประเทศไทย จำเป็นต้องนำปัจจัยด้านสภาพแวดล้อมมาพิจารณาเพื่อให้สามารถใช้ประโยชน์ได้สูงสุด ดังนั้น การศึกษาการเจริญเติบโตของอ้อยภายใต้สภาพแวดล้อมในเขตภาคกลางและเขตภาคตะวันตก จึงมีความจำเป็นอย่างยิ่ง ศูนย์วิจัยพืชไอลุพรรณภูรีตั้งอยู่ในเขตป่าลูกอ้ออยแหล่งใหญ่ของประเทศไทย ซึ่งถือเป็นศูนย์กลางของการปลูกอ้ออยเขตตะวันตกทั้งหมด จึงได้เข้าร่วมศึกษาการเจริญเติบโตของอ้อยภายใต้โครงการพัฒนาและการคาดสอบแบบจำลองของอ้อยในสภาพแวดล้อมดังกล่าว การศึกษาการเจริญเติบโตของอ้อยดำเนินการกับอ้อยสองพันธุ์ ในเขตตะวันตก ที่มีรากลูกในเดือนต่าง ๆ กัน คือเดือนมีนาคมและพฤษภาคม 2538 (ข้อมูลที่หนึ่ง) และเดือนพฤษภาคม 2538 และเดือนมกราคม 2539 (อ้อยฤดูที่สอง) เพื่อทำความเข้าใจที่ดินของวันป่าลูกและพันธุ์อ้อยที่มีต่อการเจริญเติบโตและผลผลิตของอ้อย

อุปกรณ์ทดสอบและวิธีการวัดค่าตัวแปร

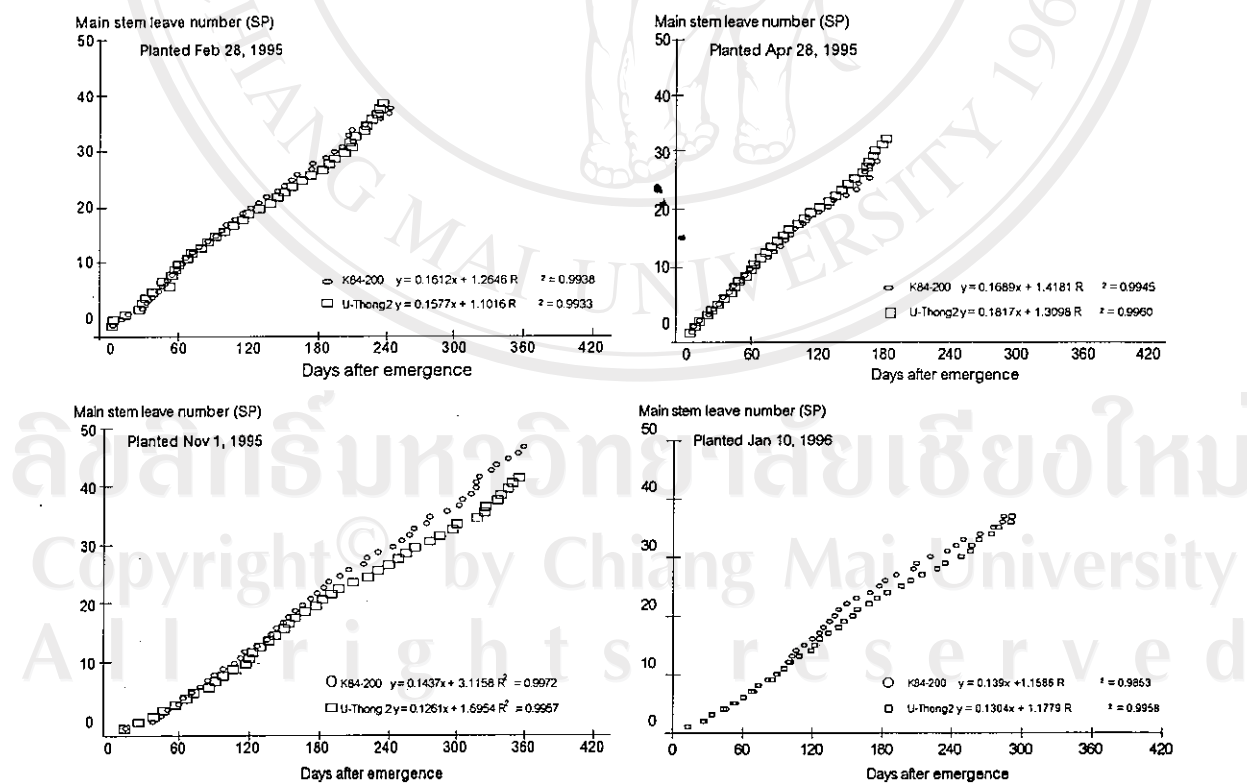
ดำเนินการทดลองในคืนชุดกำแพงแสน ซึ่งจัดอยู่ในกลุ่ม Typic Haplustalfs; fine-silty mixed ตามระบบอนุกรมวิธานดิน Soil Taxonomy (1975) งานทดลองชุดที่หนึ่งมีสองวันปลูกคือวันที่ 28 กุมภาพันธ์ 2538 วันที่ 28 เมษายน 2538 งานทดลองชุดที่สองมีสองวันปลูกคือวันที่ 1 พฤษภาคม 2538 และวันที่ 10 มกราคม 2539 แปลงทดลองข้อมูลมีการไถกอบด้วยชักข้าวฟ่าง ไถดินดาน ไถพรวนแล้วยกร่องให้มีระยะระหว่างร่อง 1.30 เมตร เหตุผลท่อนพันธุ์อ้อยเพื่อปูกรากในแต่ละชุดโดยตัดพันธุ์ท่อนละหนึ่งตา แขวนไว้ร่องที่ 50 องศาเซลเซียสเป็นเวลาสองชั่วโมง จากนั้นแช่ท่อนพันธุ์ในสารเคมี bayleton อัตรา 16 มิลลิกรัม ต่อน้ำ 20 ลิตร เป็นเวลา 20 นาที ใส่ปุ๋ยเคมี เกรด 15-15-15 รองพื้นร่องก่อนปูกรากในอัตรา 50 กิโลกรัมต่อร่อง รวมกับการใช้สารเคมี carbofuran ในอัตรา 6 กิโลกรัมต่อร่อง เพื่อป้องกันการทำลายของหนอนเจาะยอดอ้อย จากนั้นกลบบาง ๆ ด้วยดินก่อนวางท่อนพันธุ์อ้อย วางท่อนพันธุ์อ้อยกลางร่องให้มีระยะห่างระหว่างกึ่งกลางท่อนพันธุ์ประมาณ 50 เซนติเมตร ในน้ำตามร่อง (furrow irrigation) ก่อนอ้อยออกน้ำด้วยสารเคมี atrazine (เกสรพิรม 80) อัตรา 1 กิโลกรัมต่อร่องเพื่อควบคุมวัชพืช เมื่ออ้อยอายุ 2 เดือน ใส่ปุ๋ยเคมีเกรด 15-15-15 อัตรา 50 กิโลกรัมต่อร่อง โดยเปิดร่องข้างแวดไว้อย โดยบุ่มแล้วพรวนดินกลบ ในระยะแรกเก็บตัวอย่างดินทุก 2 สปาร์ต ที่ระดับความลึก 0-30 เซนติเมตร เพื่อหาความชื้นโดยวิธี gravimetric เมื่ออ้อยอายุสี่เดือนพันสารเคมี endosulfan (ธีโอดาน) ในอัตรา 35 ซีซีต่อน้ำ 20 ลิตร เพื่อป้องกันหนอนกอทั้งอ้อยปูกรากและอ้อยตอ สำหรับการปฏิบัติในอ้อยตอ ซึ่งหลังจากตัดอ้อยปูกรากแล้วทำการแต่งตอ โดยใช้จอบและมีดแต่งตออ้อยให้ชัดดิน รวมทั้งหน่อทั้งอกจากตออ้อยเนื้อดิน เพื่อให้นหน่ออ้อยที่ออกใหม่เป็นหน่อทั้งอกจากใต้ดิน หลังจากแต่งตอแล้วทำการให้น้ำและใส่ปุ๋ยเกรด 15-15-15 อัตรา 50 กิโลกรัมต่อร่อง

ผลการทดลอง

พัฒนาการของใบอ้อย (cane phenology)

ผลจากการทดลองอ้อยชุดที่หนึ่งพบว่าอ้อยหั้งสองพันธุ์ (K และ U) มีอัตราการพัฒนาใบที่ใกล้เคียงกัน คือมีอัตราเพิ่มขึ้นของใบเท่ากับ 0.16 และ 0.17 ในต่อวันสำหรับอ้อยพันธุ์ K และ 0.16 และ 0.18 ในต่อวันสำหรับอ้อยพันธุ์ U เมื่อปลูกวันที่ 28 กุมภาพันธ์ 2538 และ วันที่ 28 เมษายน 2538 ตามลำดับ ส่วนงานทดลองอ้อยชุดที่สองพบว่าอ้อยหั้งสองพันธุ์ (K และ U) มีอัตราการพัฒนาใบที่ใกล้เคียงกัน คือมีอัตราเพิ่มขึ้นของใบเท่ากับ 0.14 และ 0.14 ในต่อวันสำหรับอ้อยพันธุ์ K และ 0.13 และ 0.13 ในต่อวันสำหรับอ้อยพันธุ์ U เมื่อปลูกในวันที่ 1 พฤษภาคม 2538 และ 10 มกราคม 2539 ตามลำดับ (รูปที่ 12) เป็นที่น่าสังเกตว่าอัตราการเพิ่มขึ้นของใบอ้อยในงานทดลองชุดที่สองมีอัตราเพิ่มน้อยกว่าอัตราการเพิ่มในงานทดลองชุดที่หนึ่ง นั่นคือจะสร้างใบได้น้อยกว่าต่อวัน เช่นว่าจะมีผลมาจากช่วงฤดูปลูก นอกจากนี้พบว่าการเกิดของใบอ้อยในที่หนึ่งลดลงจาก 48 วันในเดือน พฤษภาคมเหลือเพียง 18 วัน

รูปที่ 12: พัฒนาการของใบอ้อยปลูก สถานีศูนย์วิจัยพืชไร่สุพรรณบุรี (2538)



เมื่อปลูกในเดือนเมษายน ซึ่งให้เห็นได้ชัดเจนขึ้นว่าช่วงปลูกมีผลต่อพัฒนาการของใบอ้อยเป็นอย่างมาก อย่างไรก็ตาม ความแตกต่างในส่วนนี้อาจเป็นผลมาจากการขยายตัวที่แตกต่างกัน ซึ่งน่าจะมีผลมาจากอุณหภูมิที่ต่างกัน จำนวนวันที่อ้อยทั้งสองพันธุ์ใช้ในการพัฒนาใบหนึ่งใบนั้นมีความแตกต่างกันเพียงเล็กน้อย ซึ่งจะเห็นได้ชัดในวันปลูก เดือนเมษายน โดยอ้อยพันธุ์ P ใช้เวลาสั้นกว่าในการพัฒนาใบหนึ่งใบ อย่างไรก็ตามในช่วงเก็บเกี่ยวจำนวนใบที่พัฒนาได้ในพันธุ์ P มี 38 ใบ และ 34 ใบ และในพันธุ์ K มี 36 ใบ และ 30 ใบ ในช่วงปลูกที่ 28 กุมภาพันธ์ และ 28 เมษายน ตามลำดับ ส่วนในวันปลูก เดือนพฤษจิกายน และ เดือนมกราคม จำนวนใบทั้งหมดตั้งแต่ออกถึงระยะเก็บเกี่ยวอ้อยพันธุ์ K และ P มีจำนวนใบหักหอด 46 และ 43 ใบ ตามลำดับ และในงานทดลองชุดที่สองมีใบรวมทั้งหมด 39 ใบเท่ากันทั้งสองพันธุ์ ความแตกต่างของจำนวนใบจะขึ้นกับช่วงอายุในส่วนของ vegetative phase และอายุในการเก็บเกี่ยว

นอกจากนี้ยังพบการออกดอกออก苞ของอ้อยทั้งสองพันธุ์ในช่วงต้นเดือนพฤษจิกายน 2538 ถึงปลายธันวาคม 2538 พันธุ์ P ส่วนใหญ่จะอยู่ในระยะออกดอกหัก 2 ช่วงก่อนปลูก และพันธุ์ K ส่วนใหญ่จะอยู่ในระยะตั้งห้อง (28 กุมภาพันธ์ และ 28 เมษายน) ซึ่งให้เห็นว่า พันธุ์ P น่าจะเป็นพันธุ์ที่ไวต่อช่วงแสง (photoperiod sensitive) มา กกว่าพันธุ์ K ซึ่งอาจจะเป็นพันธุ์ที่ไม่ตอบสนองต่อช่วงแสง (photoperiod non-sensitive) นั่นคือ เมื่อปลูกถึงอายุที่เหมาะสมสมดังจะออกดอก โดยที่ช่วงแสงไม่มีส่วนในการกระตุ้นกระบวนการออกออก苞 ซึ่งยืนยันให้เห็นได้จากการปลูกในช่วง 1 พฤศจิกายน และ 10 มกราคม ที่พบว่าพันธุ์ P จะออกดอกในช่วงเดือนพฤษจิกายนเช่นกัน ขณะที่พันธุ์ K ไม่พบการออกออก苞

น้ำหนักจำส่วนของอ้อยปลูกและอ้อยตอปีที่หนึ่ง

อ้อยพันธุ์ P ให้ผลผลิตสูงกว่าอ้อยพันธุ์ K (ตารางที่ 3) ทั้งการปลูกอ้อยต้นแผ่นหรือปลายฝัน เมื่อจากอ้อยพันธุ์ P มีการเจริญเติบโตในระยะแรกดีกว่าและมีการแตกกอจำนวนมากกว่า อย่างไรก็ตาม ผลผลิตอ้อยตอหักห่องพันธุ์อยู่ในระดับใกล้เคียงกัน

อ้อยปลายตุดฝัน (วันปลูกเดือนพฤษจิกายนและเดือนมกราคม) ให้ผลผลิตสูงกว่าอ้อยต้นกุดมานเนื่องจาก มีช่วงระยะเวลาเจริญเติบโตถึงเก็บเกี่ยว (growth duration) ยาวกว่าโดยเฉพาะอ้อยพันธุ์ P ทำให้มีระยะเวลาสะสมมวลชีวภาพเหนือดิน (above ground biomass) ได้มากกว่า

การเจริญเติบโตของอ้อย (cane growth)

น้ำหนักแห้งมวลชีวภาพเหนือดิน อ้อยที่ปลูกเดือนกุมภาพันธ์มีการสะสมน้ำหนักแห้งได้รวดเร็วกว่าอ้อยที่ปลูกในเดือนเมษายน (ตารางที่ 6) อย่างไรก็ตาม อ้อยในวันปลูก เดือนกุมภาพันธ์มีการสะสมน้ำหนักแห้งของอ้อยในอัตราสูงโดยเฉพาะช่วงแรกของการเจริญเติบโต และลดลงในระยะหลังซึ่งมีความสัมพันธ์กับระยะเวลาในรูปของ polynomial ขณะที่การสะสมน้ำหนักแห้งของอ้อย เดือนเมษายน จะเพิ่มขึ้นในลักษณะของเส้นตรง (linear) จนเท่ากับอ้อย เดือนกุมภาพันธ์ เมื่อระยะเวลาเก้าเดือนหลังปลูก อาจเนื่องจากอ้อยทั้งสองวันปลูกออกดอกพร้อมกัน อ้อย เดือนเมษายน มีช่วงการเจริญเติบโตทางด้านลักษณะ (vegetative growth) ลักษณะ

Table 5: จำนวนลำอ้อย (ลำ/ไร่) และน้ำหนักอ้อยสด (ตัน/ไร่) ของอ้อยปลูกและอ้อยตอปีที่นึ่ง พันธุ์ K และเบ เมือเก็บเกี่ยว แปลงทดลองศูนย์วิจัยพืชไร่สุพรรณบุรี

| Dates/Cultivars | Stalk density rai ⁻¹ | | Stalk wt. tonnes rai ⁻¹ | |
|----------------------|---------------------------------|--------|------------------------------------|------|
| | K | U | K | U |
| Plant crop (1995-96) | | | | |
| D1 | 7,509 | 10,306 | 17.7 | 19.5 |
| D2 | 7,443 | 10,608 | 12.6 | 20.8 |
| D3 | 12,568 | 13,805 | 19.8 | 26.0 |
| D4 | 9,641 | 12,132 | 15.3 | 20.4 |
| Ratoon 1 (1996) | | | | |
| D1 | 13,761 | 15,132 | 24.4 | 21.6 |
| D2 | 11,875 | 14,125 | 26.4 | 28.9 |

ซึ่งถ้าปล่อยให้มีระยะ vegetative growth เท่ากัน ความสัมพันธ์กับระยะเวลาจะอยู่ในรูปของ polynomial เช่นเดียวกัน

สำหรับอ้อยตอปีที่นึ่งมีความแตกต่างระหว่างพันธุ์อ้อยพันธุ์ U ที่ปลูกในเดือนกุมภาพันธ์และเดือนเมษายน เมื่อตัดในเวลาเดียวกันทำให้อ้อยตอที่ปลูกในเดือนเมษายนมีการเจริญเติบโตเท่ากัน อ้อยปลูกพันธุ์ K ที่ปลูกในเดือนกุมภาพันธ์เมื่อตัดแล้วมีการเจริญเติบโตของหน่ออ้อยสูงกว่าอ้อยที่ปลูกในเดือนเมษายน แสดงให้เห็นว่า การเจริญเติบโตของหน่ออ้อยตอปีที่นึ่งของพันธุ์ K ขึ้นอยู่กับอายุของอ้อยปลูก ถ้าอ้อยปลูกอายุมากหน่ออ้อยจะเจริญเติบโตได้ดีกว่า อาจเนื่องจากสารสะสมทางอาหารได้สูงกว่า

กล่าวโดยสรุป การสะสมน้ำหนักแห้งรวมของอ้อยพันธุ์ K และ U เมื่อปลูกในเดือนกุมภาพันธ์ เป็นไปอย่างช้าๆ ในระยะ 6-8 เดือนแรกของการเจริญเติบโต หลังจากนั้น จะเริ่มสะสมในอัตราที่มากขึ้น ซึ่งเป็นช่วงที่ อ้อยกำลังปีบลังของป่ายเดิมที่ ดูเหมือนว่าพันธุ์ U มีการสะสมน้ำหนักแห้งได้สูงกว่าพันธุ์ K ซึ่งเป็นไปในลักษณะเดียวกัน ทั้งในการปลูกในเดือนกุมภาพันธ์ รวมทั้งในอ้อยตอหั้งสองช่วงฤดูปลูก ซึ่งเชื่อว่ามาเป็นผลมาจาก พันธุ์กรรมที่ต่างกัน ที่นำส่งเกตุ ในอ้อยปลูกพันธุ์ U จากอายุที่เท่ากันในแต่ละช่วงปลูก จะพบว่า ช่วงปลูกในเดือน พฤษภาคม สะสมน้ำหนักแห้งน้อยที่สุด ขณะที่ช่วงปลูก เดือนเมษายน มีการสะสมน้ำหนักแห้งมากที่สุด ซึ่งให้เห็นว่า ช่วงฤดูปลูกมีผลต่อการสะสมน้ำหนักแห้งของอ้อยพันธุ์ U ลักษณะเช่นนี้พบได้ในพันธุ์ K เช่นกัน

น้ำหนักสดของลำต้น ตารางที่ 6 และ 7 แสดงการสะสมน้ำหนักสดของลำต้นอ้อยทั้งสิ้นปลูก ในอ้อยปลูก และอ้อยตอปีที่นึ่งตามลำดับ พบร่องรอยที่ปลูกปลายฤดูฝน (วันปลูก D3 และ D4) จะมีการสะสมน้ำหนักสดช้ากว่าอ้อยที่ปลูกต้นฤดูฝนระหว่างเดือนมีนาคมและพฤษภาคม อย่างไรก็ตาม อ้อยปลูกปลายฤดูฝน มีช่วงระยะเวลาเดียวกันแต่ปลูกจนถึงเก็บเกี่ยวนานกว่า ทำให้ช่วงสุดท้ายจะมีน้ำหนักตันสดสูงกว่า อิทธิพลของช่วงระยะเวลา เวลาดังนั้นต่อการสะสมน้ำหนักสดของอ้อยและคงไม่ใช้ช่วงเดือนในอ้อยตอปีที่นึ่ง ทั้ง 2 วันปลูก ซึ่งพบว่าอ้อยตอปีที่นึ่ง มีน้ำหนักสดสูงกว่าอ้อยปลูก นอกจากนี้ยังพบว่า มีความแตกต่างระหว่างพันธุ์โดยอ้อยพันธุ์ U จะสร้างน้ำหนักสดได้มากกว่าพันธุ์ K ไม่กว่าจะปลูกเมื่อใด รวมทั้งน้ำหนักสดของอ้อยตอด้วย

ตารางที่ 6: น้ำหนักแห้งของมวลชีวภาพเห็นอัตราดินของอ้อยปลูก (กิโลกรัม ต่ำม⁻¹) ศูนย์วิจัยพืชไร่สุพรรณบุรี 2538-2539

| D1 | | | D2 | | | D3 | | | D4 | | |
|-----|------|------|-----|------|------|-----|------|------|-----|------|------|
| DAE | K | U |
| 98 | 1.39 | 2.48 | 33 | | | 117 | 0.03 | 0.03 | 20 | 0.01 | 0.01 |
| 138 | 2.45 | 2.82 | 73 | | | 160 | 0.31 | 0.31 | 63 | 0.08 | 0.11 |
| 172 | 1.71 | 3.00 | 107 | 1.47 | 2.26 | 208 | 1.23 | 1.03 | 111 | 0.38 | 1.65 |
| 200 | 1.96 | 1.96 | 135 | | | 237 | 1.85 | 2.75 | 140 | 1.50 | 1.37 |
| 235 | 2.79 | 2.55 | 170 | 1.69 | 4.45 | 266 | 2.22 | 2.01 | 169 | 1.27 | 1.97 |
| 250 | 4.99 | 5.24 | 185 | 3.26 | 4.65 | 299 | 3.33 | 2.89 | 202 | 1.68 | 2.35 |
| | | | | | | 334 | 2.00 | 2.25 | 237 | 1.89 | 2.68 |
| | | | | | | 363 | 4.43 | 4.37 | 266 | 2.84 | 4.82 |
| | | | | | | 391 | 3.15 | 5.03 | 294 | 3.40 | 4.80 |

ตารางที่ 7: น้ำหนักแห้งมวลชีวภาพเห็นอัตราดินของอ้อยตอบปีที่หนึ่ง (กิโลกรัม ต่ำม⁻¹) ศูนย์วิจัยพืชไร่สุพรรณบุรี 2539

| D1 | | | D2 | | |
|-----|------|------|-----|------|------|
| DAE | K | U | DAE | K | U |
| 97 | 0.22 | 0.21 | 97 | 0.22 | 0.39 |
| 137 | 1.95 | 1.76 | 137 | 1.12 | 1.93 |
| 165 | 3.40 | 3.24 | 165 | 1.54 | 2.63 |
| 204 | 3.40 | 3.55 | 204 | 2.58 | 4.37 |
| 231 | 3.53 | 2.66 | 231 | 1.85 | 2.45 |
| 265 | 3.70 | 2.22 | 265 | 3.01 | 4.90 |
| 307 | 3.01 | 3.07 | 307 | 1.41 | 2.91 |

น้ำหนักแห้งของลำต้น ในอ้อยปลูกพันธุ์ U มีการเพิ่มน้ำดินของลำได้รวดเร็วกว่าอ้อยพันธุ์ K อ่อนแรงมาก (ตารางที่ 10) โดยเฉพาะระยะแรกของการเจริญเติบโต อ้อยพันธุ์ U ถ้าปลูกในเดือนเมษายน มีการพัฒนาน้ำดินของลำได้มากกว่าการปลูกในเดือนกุมภาพันธ์ ซึ่งอาจจะเป็นเพราะอ้อยได้รับน้ำฝนเต็มที่ อย่างไรก็ตามลักษณะ การเจริญเติบโตดังกล่าวจะตรงกันข้ามในอ้อยพันธุ์ K พบว่า อ้อยพันธุ์ K จะเพิ่มน้ำดินลำได้ในอัตราที่สูงกว่า ถ้าปลูกในเดือนมีนาคม ซึ่งคงจะเป็นธรรมชาติของอ้อยพันธุ์ K เอง ที่มีการเจริญเติบโตช้ามากในระยะแรกของการเจริญเติบโต อ้อยที่ปลูกเดือนมีนาคมจะค่อยๆ เจริญเติบโตจนถึงเดือนพฤษภาคม ซึ่งมีอัตราการเจริญเติบโตสูงพอตัว กับได้รับน้ำฝนเต็มที่จึงเพิ่มน้ำดินลำได้เร็วขึ้น ขณะที่อ้อยปลูกเดือนพฤษภาคมกำลังจะเริ่มเจริญเติบโตด้วยอัตราที่ช้ากว่าหลังจากตัดอ้อยปลูกไปแล้วพบว่า ขนาดของลำอ้อยตอบปีที่หนึ่งเมื่ออายุหกเดือนไม่แตกต่างกันมากนัก ทั้งสองพันธุ์และสองวันปลูก (ตารางที่ 10) แต่อ้อยพันธุ์ K ที่ปลูกในเดือนพฤษภาคมมีขนาดลำของอ้อยตอบปีที่หนึ่งที่อายุหกเดือนต่ำกว่าสุด

ลักษณะเช่นนี้จะเป็นไปจนถึงระยะเก็บเกี่ยว ซึ่งพบว่า น้ำหนักแห้งของอ้อยตอบ วันปลูกที่หนึ่งจะสูงกว่าวันปลูกที่สองอย่างเห็นได้ชัด (ตารางที่ 11) แสดงว่า อ้อยที่มีระยะเวลาการเจริญเติบโตในอ้อยปลูกยาวนานกว่า ทำให้การสะสมน้ำหนักแห้งของอ้อยตอบสูงกว่า ขณะเดียวกันอ้อยตอบพันธุ์ U ทั้งสองวันปลูกมีน้ำหนักแห้งสูงกว่าพันธุ์ K

สำหรับอ้อยปลายฝน (ปลูกเดือนพฤษภาคมและเดือนมีนาคม) จะมีการสะสมน้ำหนักแห้งของลำต้น (ตารางที่ 10) ลักษณะเช่นเดียวกับอ้อยที่ปลูกในเดือนมีนาคม และพฤษภาคม โดยอ้อยพันธุ์ U จะมีการสะสม

น้ำหนักตั้นแห้งสูงกว่าพันธุ์ K แต่อ้อยที่ปลูกในเดือนพฤษภาคมจะมีการสะสมน้ำหนักแห้งสูงกว่าอ้อยที่ปลูกในเดือนกรกฎาคมเป็นเพราะฤดูน้ำฝนมีต่ำ ในช่วงเดือนกรกฎาคม

ตารางที่ 8: น้ำหนักสดของลำต้นอ้อยปลูก (กิโลกรัม ต่ำร.) ศูนย์วิจัยพืชไร่สุพรรณบุรี 2538-2539

| D1 | | | D2 | | | D3 | | | D4 | | |
|-----|-------|-------|-----|------|-------|-----|-------|-------|-----|------|-------|
| DAE | K | U | DAE | K | U | DAE | K | U | DAE | K | U |
| .41 | 0.02 | 0.05 | | | | 117 | 0.00 | 0.00 | 20 | 0.00 | 0.00 |
| 98 | 3.56 | 6.71 | 33 | | | 160 | 0.27 | 0.42 | 63 | 0.04 | 0.04 |
| 138 | 8.23 | 10.67 | 73 | | | 208 | 5.08 | 3.54 | 111 | 0.96 | 5.16 |
| 172 | 10.21 | 13.67 | 107 | 2.92 | 10.28 | 237 | 5.23 | 9.03 | 140 | 2.21 | 5.13 |
| 200 | 7.77 | 11.87 | 135 | | | 266 | 6.03 | 7.18 | 169 | 3.51 | 6.85 |
| 235 | 10.08 | 9.79 | 170 | 4.36 | 41.36 | 299 | 8.97 | 9.62 | 202 | 5.38 | 8.38 |
| 243 | 11.07 | 12.21 | 185 | 7.90 | 13.01 | 334 | 6.82 | 6.26 | 237 | 6.18 | 11.44 |
| | | | | | | 363 | 12.74 | 14.05 | 266 | 8.90 | 16.08 |
| | | | | | | 391 | 9.26 | 15.31 | 294 | 9.79 | 13.28 |

ตารางที่ 9: น้ำหนักสดของลำต้นอ้อยตอปีที่นึ่ง (กิโลกรัม ต่ำร.) ศูนย์วิจัยพืชไร่สุพรรณบุรี 2539

| Date 1 | | | Date 2 | | |
|--------|-------|-------|--------|------|-------|
| DAE | K | U | DAE | K | U |
| 97 | 0.13 | 0.19 | 97 | 0.05 | 0.23 |
| 137 | 5.95 | 5.23 | 137 | 2.15 | 5.92 |
| 165 | 9.15 | 8.21 | 165 | 3.72 | 9.18 |
| 204 | 5.23 | 9.03 | 204 | 2.21 | 5.13 |
| 231 | 13.36 | 11.64 | 231 | 3.64 | 9.51 |
| 265 | 12.72 | 7.90 | 265 | 7.49 | 18.00 |
| 307 | 23.18 | 11.33 | 307 | 3.13 | 8.62 |
| 329 | 15.64 | 26.26 | 329 | 6.97 | 19.90 |

น้ำหนักแห้งของใบและกาบใบ การสะสมน้ำหนักแห้งของใบและกาบใบอ้อยมีลักษณะเช่นเดียวกับการสะสมน้ำหนักของลำต้นอ้อย ซึ่งแสดงให้เห็นความแตกต่างของพันธุ์ โดยเฉพาะในอ้อยปลูก อ้อยพันธุ์ U จะมีการสะสมน้ำหนักแห้งของใบได้เร็วกว่าพันธุ์ K ไม่ว่าจะปลูกเดือนเมษายน หรือพฤษภาคม (ตารางที่ 12 และ 13) อย่างไรก็ตาม หลังจากตัดอ้อยปลูกไปแล้ว การสะสมน้ำหนักแห้งของใบในอ้อยตอปีที่นึ่ง หักสองวันปลูก ไม่แตกต่างกันมากนัก แต่มีความแตกต่างระหว่างพันธุ์โดยอ้อยปลูกพันธุ์ U จะมีน้ำหนักแห้งสูงกว่า U อ้อยพันธุ์ K ซึ่งปลูกในเดือนพฤษภาคม จะมีการสะสมน้ำหนักแห้งของใบต่ำที่สุด เมื่อวัดที่อ้อยตอปีที่นึ่ง มีอายุ 250 วัน ขณะที่จำนวนใบของอ้อยตอปีที่นึ่ง ไม่แสดงให้เห็นถึงความแตกต่าง ไม่ว่าจะเป็นระหว่างพันธุ์ หรือระหว่างวันปลูก ซึ่งแสดงให้เห็นว่าถ้าอ้อยปลูกไม่ว่าจะมีอายุเท่าไหร่ก็ตัดเวลาเดียวกัน อ้อยตอปีที่นึ่ง ทั้งอกขึ้นมาจะมีพัฒนาการของใบใกล้เคียงกัน เนื่องจาก เริ่มต้นเป็นอ้อยตอพร้อมกัน

สำหรับอ้อยที่ปลูกในเดือนพฤษภาคมและเมษายน ที่มีลักษณะเช่นเดียวกัน คือมีความแตกต่างระหว่างพันธุ์มากกว่าวันปลูก

การแตกกอ อ้อยปลูกพันธุ์ U และพันธุ์ K มีการแตกกอในระยะเริ่มต้นของการเจริญเติบโตที่แตกต่างกันอย่างมาก (ตารางที่ 14 และ 15) โดยอ้อยพันธุ์ U มีการแตกกอมากกว่าอ้อยพันธุ์ K แต่เมื่อถึงระยะเวลาเก็บเกี่ยวแล้ว ข้อยกหักสองพันธุ์มีจำนวนหน่อเท่ากัน การแตกกอของอ้อยเพิ่มขึ้นเรื่อยๆ จนถึงระยะหลังเดือน หลังจากนั้นจะลด-

ตารางที่ 10: น้ำหนักแห้งลำต้นแห้งอ้อยปลูก (กิโลกรัม ตรม.⁻¹) ศูนย์วิจัยพืชไทรสุพรรณบุรี 2538-2539

| D1 | | | D2 | | | D3 | | | D4 | | |
|-----|------|------|-----|------|------|-----|------|------|-----|------|------|
| DAE | K | U |
| 41 | | | -24 | | | 117 | 0.00 | 0.00 | 20 | 0.00 | 0.00 |
| 98 | 0.98 | 1.85 | 33 | | | 160 | 0.03 | 0.03 | 63 | 0.00 | 0.00 |
| 138 | 1.45 | 1.29 | 73 | | | 208 | 0.45 | 0.39 | 111 | 0.08 | 0.66 |
| 172 | 0.88 | 1.50 | 107 | 1.00 | 1.03 | 237 | 0.68 | 1.22 | 140 | 1.00 | 0.70 |
| 200 | 1.09 | 1.02 | 135 | | | 266 | 1.11 | 1.01 | 169 | 0.48 | 1.11 |
| 235 | 1.78 | 1.63 | 170 | 1.01 | 2.86 | 299 | 2.01 | 1.68 | 202 | 0.83 | 1.22 |
| 243 | 3.91 | 4.00 | 185 | 2.51 | 3.60 | 334 | 1.17 | 1.30 | 237 | 1.01 | 1.32 |
| | | | | | | 363 | 2.58 | 2.66 | 266 | 1.63 | 2.79 |
| | | | | | | 391 | 1.94 | 3.43 | 294 | 2.19 | 3.04 |

ตารางที่ 11: น้ำหนักแห้งลำต้นของอ้อยตอปีที่หนึ่ง (กิโลกรัม ตรม.⁻¹) ศูนย์วิจัยพืชไทรสุพรรณบุรี 2539

| D1 | | | D2 | | |
|-----|------|------|-----|------|------|
| DAE | K | U | DAE | K | U |
| 97 | 0.02 | 0.02 | 97 | 0.00 | 0.02 |
| 137 | 0.81 | 0.62 | 137 | 0.27 | 0.83 |
| 165 | 1.65 | 1.58 | 165 | 0.75 | 1.34 |
| 204 | 1.55 | 1.58 | 204 | 1.17 | 2.29 |
| 231 | 1.58 | 1.19 | 231 | 0.68 | 1.10 |
| 265 | 2.24 | 1.14 | 265 | 1.48 | 2.81 |
| 307 | 1.96 | 2.01 | 307 | 0.63 | 1.68 |
| 329 | 2.91 | 5.02 | 329 | 1.43 | 3.32 |

ลงจนถึงเก็บเกี่ยว ทั้งนี้ เพราะหน่ออ้อยที่แตกออกมากมากในระยะแรกไม่ได้พัฒนาเป็นลำ เมื่อพิจารณาจำนวนหน่อและลำอ้อยที่ปลูกเดือนมีนาคมและพฤษภาคม พบร่วมมีลักษณะการพัฒนาของหน่อและลำอ้อยคล้ายคลึงกันยกเว้นในช่วงเก็บเกี่ยว ซึ่งอ้อยที่ปลูกในเดือนพฤษภาคม พันธุ์ บ ยังคงมีจำนวนหน่อสูงกว่าอ้อยพันธุ์ K ทั้งนี้ช่วงเวลาปลูกจนถึงเก็บเกี่ยวจะสั้นกว่า อ้อยจะยังมีการพัฒนาการแตกกออ้อยอยู่ เมื่อตัดลักษณะแล้ว พบว่า ข้อตอปีที่หนึ่ง จะแตกกอขึ้นมาหากและแสดงความแตกต่างอย่างชัดเจนระหว่างพันธุ์ แต่ไม่ค่อยมีความแตกต่างกันระหว่างอ้อยที่ปลูกในเดือนมีนาคม และพฤษภาคม โดยที่อ้อยพันธุ์ บ มีจำนวนหน่อที่แตกขึ้นมาใหม่มากกว่าอ้อยพันธุ์ K อย่างเห็นได้ชัดเจน แสดงให้เห็นว่าการแตกหน่อของอ้อยเป็นอุทธิพลดของ พันธุกรรม แต่การพัฒนาจากหน่อที่แตกออกมากเป็นลำที่ให้ผลผลิต จะต้องมีอุทธิพลดของสภาพแวดล้อมมาเกี่ยวข้องด้วย ซึ่งจะต้องศึกษาในรายละเอียดต่อไป

การแตกกอของอ้อยที่ปลูกปลายฝน จะไม่ค่อยมีความแตกต่างกันระหว่างพันธุ์มากนัก โดยเฉพาะอย่างยิ่งอ้อยที่ปลูกในเดือนมกราคม อาจเนื่องจากมีอุทธิพลดของอุณหภูมิตามากกว่าเดียว

ดัชนีพื้นที่เบ้ออ้อยปลูก การพัฒนาของอ้อยที่ปลูกในเดือนมีนาคมจะมีลักษณะคล้ายคลึงกับอ้อยที่ปลูกในเดือนพฤษภาคม (ตารางที่ 16) แต่การพัฒนาพื้นที่ใบมีความแตกต่างกันมากระหว่างพันธุ์ โดยที่พันธุ์บ มีพื้นที่ใบเพิ่มขึ้นอย่างรวดเร็วในระยะแรกของการเจริญเติบโต จนเมื่ออายุได้ประมาณหนึ่งเดือน ค่าพื้นที่ใบจึงเริ่มลดลงจนถึงระยะเก็บเกี่ยว แตกต่างจากพันธุ์ K ซึ่งพื้นที่ใบจะเพิ่มขึ้นอย่างช้าๆ ในระยะแรกแต่เป็นการเพิ่มขึ้นในอัตราที่

ส่วนที่ 1: การทดสอบวันปฐกอ้อยชุดที่หนึ่งและสอง สถาบันศูนย์วิจัยพืชไม้สุพรรณบุรี

ตารางที่ 12: น้ำหนักแห้งของใบและกาบใบของอ้อยปลูก (กิโลกรัม ต่ำม⁻¹) ศูนย์วิจัยพืชไม้สุพรรณบุรี 2538-2539

| DAE | Date 1 | | Date 2 | | Date 3 | | Date 4 | |
|-----|--------|------|--------|------|--------|-----|--------|------|
| | K | U | DAE | K | U | DAE | K | U |
| 41 | 4.46 | 4.33 | | | | 117 | 0.03 | 0.03 |
| 98 | 0.40 | 0.63 | 33 | 0.02 | 0.06 | 160 | 0.29 | 0.27 |
| 138 | 1.00 | 1.53 | 73 | 0.00 | 0.67 | 208 | 0.78 | 0.64 |
| 172 | 0.83 | 1.50 | 107 | 0.47 | 1.23 | 237 | 1.17 | 1.54 |
| 200 | 0.87 | 0.95 | 135 | 0.00 | 0.00 | 266 | 1.11 | 1.00 |
| 235 | 1.00 | 0.92 | 170 | 0.67 | 1.59 | 299 | 1.31 | 1.21 |
| 243 | 1.08 | 1.23 | 185 | 0.75 | 1.05 | 334 | 0.83 | 0.95 |
| | | | | | | 363 | 1.85 | 1.71 |
| | | | | | | 391 | 1.21 | 1.59 |
| | | | | | | | 266 | 1.21 |
| | | | | | | | 294 | 1.20 |
| | | | | | | | | 1.76 |

ตารางที่ 13: น้ำหนักแห้งของใบและกาบใบของอ้อยตอบที่หนึ่ง (กิโลกรัม ต่ำม⁻¹) ศูนย์วิจัยพืชไม้สุพรรณบุรี 2539

| DAE | D1 | | D2 | | |
|-----|------|------|-----|------|------|
| | K | U | DAE | K | U |
| 97 | 0.20 | 0.19 | 97 | 0.22 | 0.37 |
| 137 | 1.13 | 1.13 | 137 | 0.85 | 1.10 |
| 165 | 1.75 | 1.67 | 165 | 0.79 | 1.29 |
| 204 | 1.85 | 1.98 | 204 | 1.42 | 2.08 |
| 231 | 1.95 | 1.47 | 231 | 1.18 | 1.36 |
| 265 | 1.46 | 1.08 | 265 | 1.54 | 2.09 |
| 307 | 1.04 | 1.06 | 307 | 0.78 | 1.23 |
| 329 | 1.55 | 2.78 | 329 | 1.33 | 2.74 |

ตารางที่ 14: จำนวนหน่อ/คำ ของอ้อยปลูก (จำนวน ต่ำม⁻¹) ศูนย์วิจัยพืชไม้สุพรรณบุรี 2538-2539

| DAE | Date 1 | | Date 2 | | Date 3 | | Date 4 | |
|-----|--------|-------|--------|-------|--------|-----|--------|-------|
| | K | U | DAE | K | U | DAE | K | U |
| 41 | 6.21 | 5.49 | | | | 117 | 6.41 | 6.15 |
| 98 | 9.85 | 11.79 | 33 | 5.64 | 4.62 | 160 | 10.51 | 11.54 |
| 138 | 8.36 | 8.92 | 73 | | | 208 | 6.15 | 6.41 |
| 172 | 7.13 | 8.87 | 107 | 10.00 | 10.26 | 237 | 5.64 | 7.18 |
| 200 | 6.92 | 8.67 | 135 | | | 266 | 6.15 | 7.18 |
| 235 | 7.44 | 8.56 | 170 | 6.15 | 8.21 | 299 | 8.72 | 7.69 |
| 243 | 4.92 | 6.31 | 185 | 4.87 | 6.36 | 334 | 7.44 | 6.41 |
| | | | | | | 363 | 7.44 | 8.46 |
| | | | | | | 391 | 7.69 | 9.23 |
| | | | | | | | 266 | 7.44 |
| | | | | | | | 294 | 6.92 |
| | | | | | | | | 6.92 |

ตารางที่ 15: จำนวนหน่อ/คำ ของอ้อยตอบที่หนึ่ง (จำนวน ต่ำม⁻¹) ศูนย์วิจัยพืชไม้สุพรรณบุรี 2539

| DAE | D1 | | D2 | | |
|-----|-------|-------|-----|-------|-------|
| | K | U | DAE | K | U |
| 97 | 9.74 | 12.05 | 97 | 11.03 | 21.03 |
| 137 | 13.33 | 22.05 | 137 | 10.26 | 20.26 |
| 165 | 9.74 | 13.85 | 165 | 10.26 | 12.05 |
| 204 | 8.97 | 10.51 | 204 | 8.46 | 10.26 |
| 231 | 8.72 | 9.49 | 231 | 8.21 | 10.00 |
| 265 | 7.95 | 12.31 | 265 | 6.41 | 9.74 |
| 307 | 7.44 | 11.28 | 307 | 5.90 | 9.74 |
| 329 | 8.21 | 11.28 | 329 | 8.97 | 8.97 |

ตารางที่ 16: ตัวชี้วัดที่ไปของอ้อยปูลูก คุณยิวจัยพีชไรศพวรรณบุรี 2538-2539

| DAE | Date 1 | | | Date 2 | | | Date 3 | | | Date 4 | | |
|-----|--------|------|--|--------|------|------|--------|------|------|--------|------|------|
| | K | U | | DAE | K | U | DAE | K | U | DAE | K | U |
| 41 | 0.28 | 0.32 | | -24 | | | 117 | 0.19 | 0.20 | 20 | 0.03 | 0.12 |
| 98 | 1.77 | 2.30 | | 33 | 0.08 | 0.20 | 160 | 0.76 | 0.85 | 63 | 0.36 | 0.52 |
| 138 | 1.97 | 3.18 | | 73 | | 5.10 | 208 | 3.02 | 2.44 | 111 | 1.27 | 3.73 |
| 172 | 1.97 | 3.92 | | 107 | 2.30 | 3.70 | 237 | 3.61 | 5.45 | 140 | 2.39 | 3.77 |
| 200 | 2.47 | 2.45 | | 135 | | | 266 | 3.38 | 3.36 | 169 | 2.72 | 3.61 |
| 235 | 2.35 | 2.07 | | 170 | 1.97 | 3.95 | 299 | 4.18 | 4.27 | 202 | 3.56 | 4.27 |
| 243 | | | | 185 | | | 334 | 1.71 | 2.48 | 237 | 2.35 | 3.88 |
| | | | | | | | 363 | 4.04 | 4.15 | 266 | 3.26 | 5.04 |
| | | | | | | | 391 | 2.71 | 3.93 | 294 | 3.08 | 4.14 |

คงที่ตัดลดแม้อายุของอ้อยจะมากกว่าหกเดือนไปแล้ว ค่าพื้นที่ใบกีโน้ดลดลง ยังคงเพิ่มขึ้นจนถึงการเก็บเกี่ยว อ้อยที่ปูลูกเดือน พฤติกรรมมีการพัฒนาพื้นที่ใบได้เร็วกว่าอ้อยที่ปูลูกเดือนมีนาคม ทั้งสองพันธุ์ เนื่องจาก ปริมาณผ่านหลังจากเดือนมิถุนายนจะสูง ต้นมีความชื้นเพียงพอสำหรับอ้อยตลอดเวลา สำหรับอ้อยที่ปูลูกปลาย-ฝนก็มีการพัฒนาพื้นที่ใบลักษณะเดียวกันคือ อ้อยพันธุ์ U มีการพัฒนาพื้นที่ใบได้มากกว่า และอ้อยที่ปูลูกเดือน- มกราคมมีการพัฒนาพื้นที่ใบได้ดีกว่าอ้อยที่ปูลูกในเดือนพฤษภาคม

คุณภาพน้ำอ้อย คุณภาพของน้ำตาลอ้อยมีความแตกต่างกันอย่างมากระหว่างพันธุ์อ้อย ซึ่งพบว่าพันธุ์ K มี การสะสมน้ำตาลเร็วกว่าพันธุ์ U ทั้งอ้อยปูลูกและอ้อยดอ (ตารางที่ 17-24) ทำให้มีอัตราการเก็บเกี่ยวอ้อยพันธุ์ K มีปริมาณน้ำตาลซูโครส (polarity) สูงกว่าพันธุ์ U ทำให้ค่า CCS ของพันธุ์ K สูงกว่าพันธุ์ U (ตารางที่ 17 และ 18)

อ้อยปูลูกในวันปูลูกมีนาคมมีปริมาณน้ำตาลมากกว่าอ้อยที่ปูลูกในพฤษภาคมเนื่องจากมีระยะเวลา เจริญเติบโตในแปลงมากกว่าอ้อย K สำนับปริมาณเยื่อย (fiber) ไม่มีความแตกต่างกันระหว่างทั้งสองพันธุ์ของงาน ทดลองชุดที่หนึ่ง และพบแนวโน้มเช่นเดียวกันในอ้อยดอปีที่หนึ่ง

ในการทดลองวันปูลูกที่ 3 และ 4 พบว่าการสะสมน้ำตาลของอ้อยพันธุ์ U จะสูงกว่าพันธุ์ K ในทั้งสองวัน ปูลูก ซึ่งให้เห็นว่าการสะสมน้ำตาลอាជะเป็นปฏิกิริยาสัมพันธ์ระหว่างพันธุ์และสภาพแวดล้อม อ้อยพันธุ์ U มี การสะสมน้ำตาลได้ดีกว่าในสภาพที่มีอุณหภูมิต่ำ จึงทำให้การสะสมน้ำตาลของอ้อยที่ปูลูกในเดือนพฤษภาคม และเดือนมกราคมมีลักษณะการสะสมน้ำตาลตรงข้ามกับอ้อยที่ปูลูกในเดือนกุมภาพันธ์และพฤษภาคม

สำหรับการเปลี่ยนแปลงปริมาณเยื่อยไม่พบความแตกต่างระหว่างพันธุ์อ้อย และวันปูลูกทั้งสี่ วันและไม่มีความแตกต่างระหว่างอ้อยปูลูกและอ้อยดอ

ตารางที่ 17: ค่า CCS ข้อออยปลูก ศูนย์วิจัยพืชไร่สุพรรณบุรี 2538-2539

| D1 | | | D2 | | | D3 | | | D4 | | |
|-----|-------|-------|-----|-------|------|-----|-------|-------|-----|-------|-------|
| DAE | K | U | DAE | K | U | DAE | K | U | DAE | K | U |
| 41 | | | -24 | | | 117 | 0.00 | 0.00 | 20 | 0.00 | 0.00 |
| 98 | -1.36 | -2.17 | 33 | | | 160 | 0.00 | 0.00 | 63 | 0.00 | 0.00 |
| 138 | -0.08 | -0.49 | 73 | 1.51 | | 208 | 0.01 | 1.76 | 111 | -0.10 | 0.91 |
| 172 | 2.45 | 0.87 | 107 | -1.71 | | 237 | 2.44 | 3.06 | 140 | -0.01 | 0.43 |
| 200 | 4.24 | 3.17 | 135 | | | 266 | 6.67 | 6.15 | 169 | 4.51 | 4.67 |
| 235 | 8.59 | 6.23 | 170 | 3.35 | 3.71 | 299 | 10.66 | 8.19 | 202 | 4.60 | 6.44 |
| 243 | 9.83 | 8.82 | 185 | 5.72 | 7.12 | 334 | 9.44 | 9.75 | 237 | 7.45 | 10.19 |
| | | | | | | 363 | 11.11 | 10.14 | 266 | 7.82 | 10.07 |
| | | | | | | 391 | 10.88 | 12.45 | 294 | 8.89 | 12.57 |

ตารางที่ 18: ค่า CCS ของข้อออยตอปีที่นึ่ง ศูนย์วิจัยพืชไร่สุพรรณบุรี 2539

| D1 | | | D2 | | |
|-----|-------|-------|-----|-------|-------|
| DAE | K | U | DAE | K | U |
| 97 | 0.00 | 0.00 | 97 | 0.00 | 0.00 |
| 137 | -1.32 | -1.68 | 137 | -0.94 | -1.30 |
| 165 | 1.23 | 0.91 | 165 | 2.20 | 0.97 |
| 204 | 4.93 | 2.03 | 204 | 4.51 | 1.84 |
| 231 | 8.22 | 5.23 | 231 | 6.06 | 5.05 |
| 265 | 9.28 | 7.21 | 265 | 12.76 | 8.17 |
| 307 | 11.36 | 9.96 | 307 | 6.48 | 8.80 |
| 329 | 12.92 | 8.56 | 329 | 11.82 | 10.73 |

ตารางที่ 19: ค่า polarity ของข้อออยปลูก ศูนย์วิจัยพืชไร่สุพรรณบุรี 2538-2539

| Date 1 | | | Date 2 | | | Date 3 | | | Date 4 | | |
|--------|-------|-------|--------|-------|------|--------|-------|-------|--------|-------|-------|
| DAE | K | U | DAE | K | U | DAE | K | U | DAE | K | U |
| 41 | | | -24 | | | 117 | 0.00 | 0.00 | 20 | 0.00 | 0.00 |
| 98 | | | 33 | | | 160 | 0.00 | 0.00 | 63 | 0.00 | 0.00 |
| 138 | 3.97 | 3.43 | 73 | 5.26 | | 208 | 2.32 | 4.23 | 111 | 0.57 | 3.23 |
| 172 | 5.90 | 4.29 | 107 | 1.78 | 3.95 | 237 | 4.84 | 5.52 | 140 | 0.70 | 2.77 |
| 200 | 7.43 | 5.97 | 135 | | | 266 | 9.70 | 8.98 | 169 | 7.29 | 7.37 |
| 235 | 11.73 | 9.02 | 170 | 7.10 | 6.15 | 299 | 14.02 | 11.15 | 202 | 7.28 | 9.36 |
| 243 | 13.60 | 12.36 | 185 | 11.12 | 9.00 | 334 | 12.88 | 12.62 | 237 | 10.14 | 13.30 |
| | | | | | | 363 | 14.80 | 13.61 | 266 | 11.08 | 13.72 |
| | | | | | | 391 | 14.34 | 16.21 | 294 | 12.17 | 16.24 |

ตารางที่ 20: ค่า polarity ของข้อออยตอปีที่นึ่ง ศูนย์วิจัยพืชไร่สุพรรณบุรี 2539

| Date 1 | | | Date 2 | | |
|--------|-------|-------|--------|-------|-------|
| DAE | K | U | DAE | K | U |
| 97 | 0.00 | 0.00 | 97 | 0.00 | 0.00 |
| 137 | 1.21 | 0.56 | 137 | 1.51 | 0.97 |
| 165 | 3.76 | 3.34 | 165 | 3.38 | 3.31 |
| 204 | 8.01 | 4.63 | 204 | 7.61 | 4.45 |
| 231 | 11.39 | 8.04 | 231 | 8.19 | 7.76 |
| 265 | 12.59 | 10.15 | 265 | 14.61 | 11.24 |
| 307 | 15.19 | 13.06 | 307 | 9.54 | 11.76 |
| 329 | 16.05 | 9.38 | 329 | 14.89 | 13.71 |

ตารางที่ 21: ค่า brix ของอ้อยปัลก ศูนย์วิจัยพืชไร่สุพรรณบุรี 2538-2539

| D1 | | | D2 | | | D3 | | | D4 | | |
|-----|-------|-------|-----|-------|-------|-----|-------|-------|-----|-------|-------|
| DAE | K | U |
| 41 | | -24 | | | | 117 | 0.00 | 0.00 | 20 | 0.00 | 0.00 |
| 98 | 6.55 | 6.88 | 33 | | | 160 | 0.00 | 0.00 | 63 | 0.00 | 0.00 |
| 138 | 9.83 | 10.03 | 73 | 11.87 | | 208 | 6.79 | 8.40 | 111 | 1.88 | 7.43 |
| 172 | 11.55 | 10.55 | 107 | 8.03 | 9.29 | 237 | 8.70 | 9.27 | 140 | 2.08 | 7.15 |
| 200 | 11.92 | 10.10 | 135 | | | 266 | 13.27 | 12.43 | 169 | 11.13 | 11.14 |
| 235 | 14.74 | 12.33 | 170 | 13.00 | 10.51 | 299 | 16.77 | 14.20 | 202 | 10.90 | 12.82 |
| 243 | 17.49 | 16.26 | 185 | 14.75 | 13.39 | 334 | 15.33 | 14.93 | 237 | 12.68 | 15.61 |
| | | | | | | 363 | 17.48 | 16.22 | 266 | 14.29 | 16.69 |
| | | | | | | 391 | 16.73 | 18.16 | 294 | 14.95 | 18.33 |

ตารางที่ 22: ค่า brix ของอ้อยดอกป่าทึ่หนึ่ง ศูนย์วิจัยพืชไร่สุพรรณบุรี 2539

| D1 | | | D2 | | |
|-----|-------|-------|-----|-------|-------|
| DAE | K | U | DAE | K | U |
| 97 | 0.00 | 0.00 | 97 | 0.00 | 0.00 |
| 137 | 6.49 | 5.39 | 137 | 6.57 | 5.73 |
| 165 | 8.25 | 7.76 | 165 | 6.36 | 7.56 |
| 204 | 12.30 | 9.00 | 204 | 12.06 | 8.90 |
| 231 | 14.89 | 11.86 | 231 | 10.30 | 11.56 |
| 265 | 15.73 | 13.43 | 265 | 17.54 | 14.41 |
| 307 | 17.74 | 17.45 | 307 | 15.92 | 15.89 |
| 329 | 17.78 | 16.43 | 329 | 16.75 | 15.91 |

ตารางที่ 23: ค่า fiber ของอ้อยปัลก ศูนย์วิจัยพืชไร่สุพรรณบุรี 2538-2539

| D1 | | | D2 | | | D3 | | | D4 | | |
|-----|-------|-------|-----|-------|-------|-----|-------|-------|-----|-------|-------|
| DAE | K | U |
| 41 | | -24 | | | | 117 | 0.00 | 0.00 | 20 | 0.00 | 0.00 |
| 98 | 10.80 | 10.80 | 33 | | | 160 | 0.00 | 0.00 | 63 | 0.00 | 0.00 |
| 138 | 11.50 | 11.50 | 73 | 11.50 | | 208 | 6.83 | 8.45 | 111 | 2.22 | 7.47 |
| 172 | 11.50 | 11.50 | 107 | 11.50 | 11.50 | 237 | 7.58 | 8.22 | 140 | 2.73 | 7.15 |
| 200 | 11.00 | 11.00 | 135 | | | 266 | 8.58 | 8.57 | 169 | 8.77 | 7.68 |
| 235 | 8.98 | 8.50 | 170 | 8.58 | 7.78 | 299 | 9.17 | 8.22 | 202 | 8.83 | 8.78 |
| 243 | 8.94 | 8.91 | 185 | 8.87 | 8.82 | 334 | 9.12 | 8.57 | 237 | 9.32 | 9.72 |
| | | | | | | 363 | 11.12 | 11.20 | 266 | 10.80 | 11.37 |
| | | | | | | 391 | 10.95 | 12.22 | 294 | 11.37 | 11.28 |

ตารางที่ 24: ค่า fiber ของอ้อยดอกป่าทึ่หนึ่ง ศูนย์วิจัยพืชไร่สุพรรณบุรี 2539

| D1 | | | D2 | | |
|-----|------|------|-----|-------|------|
| DAE | K | U | DAE | K | U |
| 97 | 0.00 | 0.00 | 97 | 0.00 | 0.00 |
| 137 | 6.40 | 6.60 | 137 | 6.00 | 6.00 |
| 165 | 7.52 | 7.28 | 165 | 5.47 | 6.72 |
| 204 | 8.53 | 7.95 | 204 | 8.85 | 7.93 |
| 231 | 7.95 | 7.33 | 231 | 5.72 | 6.62 |
| 265 | 9.07 | 8.55 | 265 | 11.67 | 8.70 |
| 307 | 9.57 | 8.67 | 307 | 9.25 | 8.50 |
| 329 | 8.67 | 8.98 | 329 | 8.92 | 8.38 |

ส่วนที่ 1 การประเมินผลผลิตอ้อยโดยใช้แบบจำลองพัฒนาการและ
การเจริญเติบโตของอ้อย

การทดลองวันปลูกอ้อยชุดที่หนึ่งและสอง
มหาวิทยาลัยขอนแก่น

(อ้อยปลูก และอ้อยตอ 1 ของชุดที่หนึ่ง และ
อ้อยปลูก ของชุดที่สอง)

สุวิทย์ เลานศิริวงศ์ พินกร กลมสอดاد บุญมี ศิริ อิสรี เก่งนook
และ อรรถชัย จินตะเวช

ลิขสิทธิ์มหาวิทยาลัยเชียงใหม่
Copyright[©] by Chiang Mai University
All rights reserved

งานทดลองนี้เป็นงานทดลองหนึ่งที่มีโครงสร้างและวิธีการทดลองเหมือนกับที่ได้เสนอใน เอกลักษณ์ ในครุฑเรือง และคณะ ในรายงานนี้ (หน้า 16) เพื่อสนับสนุนการวางแผนข้อมูลจำเป็นต่อการพัฒนาและการทดสอบแบบจำลองข้อย ThaiCane 1.0 ซึ่งออกแบบให้ครอบคลุมสภาพการผลิตข้อยในพื้นที่ต่าง ๆ ให้ได้มากที่สุดเท่าที่จะทำได้ ระบบการผลิตในประเทศไทยสามารถจัดได้เป็น สองระบบ คือ ระบบการผลิตข้อยในพื้นที่ชลประทานและพื้นที่อาศัยน้ำฝน ในระบบการผลิตทั้งสองแบบเกษตรกรปลูกข้อยต้นฤดูฝน (ประมาณเดือนพฤษภาคม) และปลายฤดูฝน (ประมาณเดือนพฤษจิกายน) ระบบการผลิตข้อยในภาคตะวันออกเฉียงเหนือส่วนใหญ่ปลูกข้อยอาศัยน้ำฝนและเป็นอ้อยที่ปลูกในช่วงปลายฤดูฝนและเริ่มถูกการเก็บเกี่ยวระหว่างเดือนตุลาคมถึงธันวาคมของทุกปี ส่วนใหญ่เป็นระบบการผลิตอ้อยที่มีการปลูกในทุกปี ระบบการผลิตอ้อยในพื้นที่อื่นของประเทศไทยส่วนใหญ่เป็นการผลิตโดยอาศัยน้ำฝนและเริ่มมีการชลประทานในบางพื้นที่ เริ่มการปลูกในระหว่างต้นฤดูฝนและเก็บเกี่ยวในช่วงเวลาเดียวกันกับเกษตรกรในภาคตะวันออกเฉียงเหนือ ข้อแตกต่างที่สำคัญคือเกษตรกรในพื้นที่อื่นของประเทศไทยมีการไว้อ้อยต่อ ส่วนใหญ่มีการเก็บเกี่ยวผลผลิตข้อยต่อ 2-3 ครั้งต่อการปลูกหนึ่งครั้ง

อุปกรณ์ทดลองและวิธีการวัดค่าตัวแปร

ดำเนินการทดลองในเดินชุดยังคงรัชชี ซึ่งจดอยู่ในกลุ่ม Oxic Paleustults ตามระบบอนุกรมวิธานดิน Soil Taxonomy (1975) มีวันปลูกที่ทำการเปรียบเทียบสองวันปลูก คือ วันที่ 2 มีนาคม 2538 และ วันที่ 26 เมษายน 2538

เตรียมแปลงปลูกโดยทำการไถพรวน และใส่ CaCO_3 อัตรา 100 กก. ต่อไร่ เพื่อช่วยปรับสภาพ pH ของดินหลังจากพรวนแล้วทำการยกต่องปลูกอ้อย เตรียมท่อนพันธุ์ปลูกท่อนละ 1 ตา แล้วนำท่อนพันธุ์ที่เตรียมไว้ไปแข่น้ำร้อนที่อุณหภูมิ 50°C เป็นเวลาสองชั่วโมง เพื่อป้องกันโรคในขาว หลังจากนั้นนำท่อนพันธุ์ไปแช่สารเคมีโพพิโนนาซอล (ฟิล์ส 250 cc. หรือ baleton อัตรา 16 มล. ต่อน้ำ 20 ลิตร นานหนึ่งชั่วโมง) เพื่อป้องกันโรค ตามการปลูกจะวางท่อนพันธุ์คลปะมาณหัวเข็มติดต่อกันต่องปลูก โดยให้ติดข้อยหมายเขียน ในระหว่างการปลูกทำการโรย carbofuran 3%G ในหลุมปลูกอ้อยอัตรา 10 กก./ไร่ หลุมปลูกอ้อยแล้วจะทำการให้น้ำแบบ spraykle และพ่นยาป้องกันกำัดวัชพืช หลังปลูกอ้อยแล้วหนึ่งเดือน จะทำการปลูกเชื่อมในหลุมที่ไม่ออก ซึ่งพบว่าจำนวนต้นอ้อยที่งอกนั้นมีเพอร์เซ็นต์ที่ต่ำมาก ตั้งแต่ 0% ถึง 5% สาเหตุจากการแข็งต่องพันธุ์โดยใช้น้ำร้อนและการให้น้ำที่มากเกินไป

ไนน์แบบ spraykle สปเดาน์ลงหนึ่งครั้ง นาน 1.30 ชั่วโมง ในช่วงที่ฝนไม่ตกหรือต้องช่วงนาน ใส่ปุ๋ยสูตร 15-15-15 อัตรา 150 กก. ต่อไร่ โดยแบ่งใส่สามครั้ง เมื่ออ้อยอายุ 1, 2 และ 3 เดือน ทำการกำจัดวัชพืชโดยใช้คุณดายน้ำเมื่ออ้อยอายุได้สองและสี่เดือน หลังจากดายน้ำครั้งสุดท้ายทำการกลบโคนอ้อย ทำการพ่นเอ็นโดซูลฟาน (endosulfan) อัตรา 50-60 cc. ต่อน้ำ 20 ลิตร ฉีดพ่นเมื่ออ้อยอายุ 2-5 เดือน เพื่อป้องกันกำจัดหนอนเจาะลำต้น โดยทำการพ่นทุกสองสปเดาน์ ทำการเก็บเกี่ยวอ้อยในวันปลูกที่ 2 มีนาคม 2538 และ 26 เมษายน 2538 ในวันที่ 15 พฤษภาคม 2538 และ 7 ธันวาคม 2538 ตามลำดับ และทำการตัดอ้อยทั้งหมดในวันที่ 29 ธันวาคม 2538 หลังจากนั้นจะทำการใส่ปุ๋ยสูตร 15-15-15 อัตรา 150 กก. ต่อไร่ โดยแบ่งใส่ 3 ครั้ง เมื่ออ้อยอายุ 1, 2 และ 3 เดือนหลังตัดแต่ง และใส่ปุ๋ยเพิ่มอีกทุกเดือนหลังจากนั้น ในอัตรา 100 กก. ต่อไร่ จนถึงเก็บเกี่ยว เข้าไฟไหม้ที่ 10-13 ทำการกำจัดวัชพืชและกลบโคนอ้อย เมื่ออ้อยอายุสี่เดือนหลังตัดแต่ง

ตารางที่ 23:

ค่ากรุณสมบัติของดินก่อนปลูกแปลงทดลองมหาวิทยาลัยขอนแก่น

| แปลงช่อง | ความถึก | pH | Total N | P | K |
|----------|---------|------|---------|-------|--------|
| 1 | 30 | 6.08 | 0.02 | 51.47 | 143.10 |
| | 60 | 4.37 | 0.02 | 8.42 | 114.80 |
| | 100 | 4.38 | 0.02 | 7.63 | 183.60 |
| 2 | 30 | 5.50 | 0.02 | 51.33 | 153.40 |
| | 60 | 4.22 | 0.02 | 7.82 | 93.60 |
| | 100 | 4.15 | 0.02 | 5.30 | 105.60 |
| 3 | 30 | 5.83 | 0.02 | 40.95 | 105.50 |
| | 60 | 4.49 | 0.02 | 8.21 | 109.30 |
| | 100 | 4.50 | 0.02 | 5.94 | 155.60 |
| 4 | 30 | 6.20 | 0.02 | 30.71 | 110.40 |
| | 60 | 4.39 | 0.02 | 8.65 | 77.30 |
| | 100 | 4.57 | 0.02 | 4.79 | 86.10 |
| 5 | 30 | 6.24 | 0.04 | 32.25 | 117.60 |
| | 60 | 4.84 | 0.02 | 5.29 | 99.50 |
| | 100 | 4.76 | 0.01 | 4.99 | 91.50 |
| 6 | 30 | 5.88 | 0.02 | 33.07 | 130.50 |
| | 60 | 5.08 | 0.03 | 7.94 | 101.30 |
| | 100 | 4.57 | 0.02 | 4.83 | 66.90 |
| 7 | 30 | 6.30 | 0.03 | 40.14 | 13.75 |
| | 60 | 4.90 | 0.03 | 6.80 | 9.25 |
| | 100 | 4.76 | 0.03 | 6.59 | 7.20 |
| 8 | 30 | 6.45 | 0.04 | 52.45 | 14.00 |
| | 60 | 4.70 | 0.03 | 9.26 | 9.65 |
| | 100 | 4.50 | 0.02 | 5.01 | 8.00 |
| 9 | 30 | 6.31 | 0.03 | 54.31 | 12.50 |
| | 60 | 4.73 | 0.03 | 7.29 | 11.40 |
| | 100 | 4.48 | 0.03 | 4.62 | 7.50 |
| 10 | 30 | 6.27 | 0.03 | 50.74 | 11.50 |
| | 60 | 5.08 | 0.03 | 10.42 | 8.65 |
| | 100 | 4.52 | 0.03 | 6.06 | 6.10 |
| 11 | 30 | 6.36 | 0.03 | 48.82 | 14.05 |
| | 60 | 5.01 | 0.02 | 9.36 | 9.45 |
| | 100 | 4.77 | 0.02 | 5.60 | 7.85 |
| 12 | 30 | 6.35 | 0.03 | 34.75 | 11.00 |
| | 60 | 4.98 | 0.02 | 5.56 | 9.85 |
| | 100 | 4.74 | 0.01 | 4.27 | 10.15 |

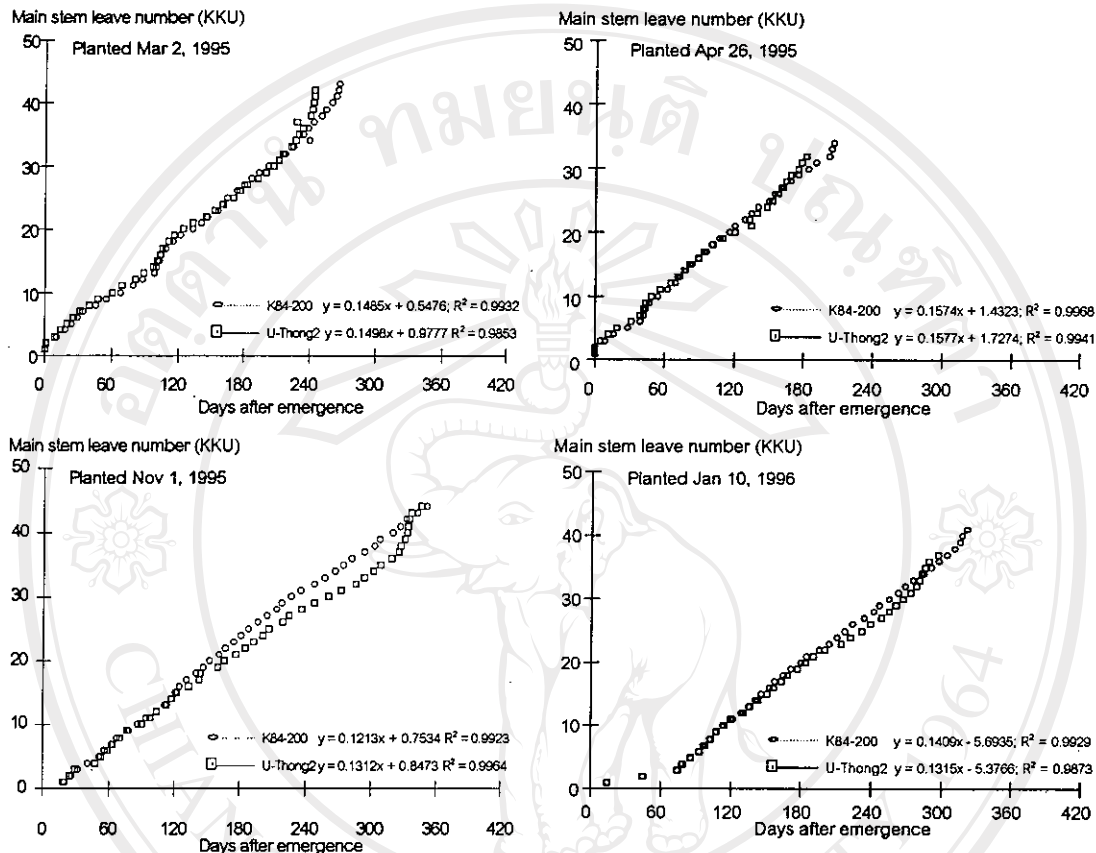
ผลการทดลองมหาวิทยาลัยเชียงใหม่

พัฒนาการของอ้อย (cane phenology)

พัฒนาการของใบอ้อย อ้อยทั้งสองพันธุ์มีพัฒนาการของใบอ้อยคล้ายคลึงกันทั้งสี่วันปลูก (รูปที่ 10) โดยในวันปลูก D1 พันธุ์ U และ K มีอัตราการเพิ่มขึ้นเป็น 0.008 ใบต่ออุณหภูมิสะสม 1°d ($r^2=0.98$ และ 0.99 ตามลำดับ) และในวันปลูก D2 พันธุ์ U และ K มีอัตราการเพิ่มขึ้นเป็น 0.0087 ใบ ($r^2 = 0.99$) และ 0.0086 ต่อ 1°d ($r^2 = 0.99$) ตามลำดับ

ในงานทดลองชุดที่สอง อ้อยทั้งสองพันธุ์มีพัฒนาการของใบอ้อยคล้ายคลึงทั้งสองวันปลูก (รูปที่ 13) โดยในวันปลูก D3 อ้อยพันธุ์ U และ K มีอัตราการเพิ่มขึ้นของใบอ้อยบนลำหลักเป็น 0.0074 ใบต่อ 1°d ($r^2=0.99$)

รูปที่ 10: พัฒนาการของใบอ้อยสถานีมหาวิทยาลัยขอนแก่น



และ $0.0084 (r^2=0.99)$ ตามลำดับ และในวันปลูก D4 (วันที่ 5 มค 2539) อ้อยพันธุ์ U และ K มีอัตราการเพิ่มขึ้นเป็น 0.0081 ใน ต่อ 1°d ($r^2=0.96$) และ $0.0084 (r^2=0.96)$ ตามลำดับ เนื่องจากอ้อยพันธุ์ U และพันธุ์ K ต้องการอุณหภูมิสะสมอยู่ในช่วง $123-135^\circ\text{d}$ และ 119°d ต่อใบหนึ่งใน ช่วงที่ก้าวของอ้อยพันธุ์ U แสดงให้เห็นว่าพันธุ์นี้มีความแปรปรวนสูงมากในการตอบสนองต่อสภาพแวดล้อม พัฒนาการในด้านอื่นยังต้องได้รับการศึกษาเพิ่มเติม เช่น การแตกกอ การรักษาจำนวนลำอ้อย และอื่น ๆ เนื่องจากพัฒนาการในระยะต่าง ๆ เหล่านี้มีความสำคัญต่อการเจริญเติบโตและการสะสมน้ำหนักในส่วนของอ้อยและผลผลิตลำดับและปริมาณน้ำตาล

พัฒนาการของใบหั้งสองพันธุ์ใน D1 และ D2 ระหว่างวันที่ 10-14 และ 5-8 ตามลำดับมีอัตราลดลงกว่าพัฒนาการของใบอื่นและใบในตำแหน่งเดียวกันใน D3 และ D4 เนื่องจากเข้าสู่ช่วงฤดูแล้งและมีระดับความร้อนสูงมาก อ้อยพันธุ์ U มีอัตราการสร้างใบใหม่สูงมากขึ้นในช่วงสุดท้ายของฤดูกาลเพาะปลูกเนื่องจากเริ่มเข้าสู่ช่วงการออกดอก และเป็นอัตราที่สูงกว่าอ้อยพันธุ์ K

พัฒนาการของใบอ้อยหั้งสองพันธุ์มีลักษณะใกล้เคียงกันมาก ซึ่งเป็นไปตามความคาดหมายและมีผลไปในทางเดียวกันกับงานทดลองที่ศูนย์วิจัยพืชไร่ศูพรามบุรี และมหาวิทยาลัยเชียงใหม่ แสดงให้เห็นว่า สามารถให้อุณหภูมิอากาศในการคาดการณ์ผลลัพธ์ของกระบวนการพัฒนาการในอ้อยหั้งสองพันธุ์ได้อย่างมีความแม่นยำ

การศึกษากระบวนการพัฒนาการโดยใช้วิธีการและหลักการแบบจำลองของพืชอื่น เช่น ข้าว (Jintraewet, 1991) ข้าวโพด (Kiniry and Jones, 1986) ข้าวสาลี และข้าวบาร์เลย์ (Gallagher, 1979) ถัวลิสง (Boote, 1982) และ ถัวเหลือง (Fehr et al, 1971) พบว่าพัฒนาการของใบพืชเหล่านี้มีลักษณะเช่นเดียวกันกับที่การศึกษาครั้งนี้

การเจริญเติบโต (cane growth)

อิทธิพลของวันปลูกที่มีต่อผลผลิตอ้อย น้ำหนักลำต้นสดของอ้อยปลูกในช่วงเก็บเกี่ยวผลผลิตสุดท้ายของทั้ง-สองพันธุ์มีแนวโน้มในการตอบสนองต่อวันปลูกที่สีไปทางเดียวกัน (ตารางที่ 24) คือวันปลูก D3 ให้ผลผลิตลำ-อ้อยสดมากกว่าวันปลูกอื่นทั้งหมด ตามด้วยผลผลิตของวันปลูก D1 และวันปลูก D2 และ D4 ให้ผลผลิตต่ำที่สุด และอยู่ในระดับเดียวกันทั้งสองพันธุ์ ผลผลิตลำสดของพันธุ์ K และ U ในวันปลูก D3 สูงกว่าวันปลูก D1 และ D2 และ D4 คิดเป็นร้อยละ 25, 99 และ 28, 129 ตามลำดับ วันปลูก D3 เป็นวันปลูกที่ใกล้เคียงกับวันปลูกอ้อยข้าม แหล่งของชาวไร่ในหลายที่ที่ของภาคตะวันออกเฉียงเหนือ ในงานทดลองนี้วันปลูก D3 เป็นวันปลูกที่มีอายุอยู่ใน แปลงทดลองมากที่สุดเมื่อเทียบกับวันปลูกอื่น ๆ

ตารางที่ 24: จำนวนคำอ้อย (คำ/ไร่) และ น้ำหนักอ้อยสด (ตัน/ไร่) ของอ้อยปลูกและอ้อยตอปีที่หนึ่ง พันธุ์ K และ U ของวันปลูกที่หนึ่งถึงสี่ เมื่อเก็บเกี่ยว แปลงทดลองมหาวิทยาลัย ขอนแก่น

| Ds/Cultivars | Stalk number rai ⁻¹ | | Stalk fresh wt. (Mg rai ⁻¹) | |
|------------------------------------|--------------------------------|--------|---|------|
| | K | U | K | U |
| ----- Plant crop (1995-1996) ----- | | | | |
| D 1 | 7,520 | 9,440 | 14.2 | 15.4 |
| D 2 | 8,480 | 11,573 | 9.9 | 8.6 |
| D 3 | 10,732 | 16,541 | 28.4 | 28.7 |
| D 4 | 11,348 | 14,498 | 19.9 | 20.5 |
| ----- Ratoon 1 (1996) ----- | | | | |
| D 1 | 10,720 | 14,773 | 31.8 | 31.4 |
| D 2 | 12,160 | 16,373 | 33.8 | 31.0 |

สำหรับอ้อยตอปีที่หนึ่งเมื่อเก็บเกี่ยวสุดท้ายพบว่า ผลผลิตลำต้นสดของอ้อยทั้งสองพันธุ์ที่ปลูกใน D3 และ D4 อยู่ในระดับใกล้เคียงกัน คือผลผลิตลำสดเฉลี่ย 32.8 และ 31.2 ตัน ไร่⁻¹ สำหรับพันธุ์ K และ U ตามลำดับ อ้อยตอปีหนึ่งทั้งสองพันธุ์ของทั้งสองวันปลูกมีช่วงการเจริญเติบโตในแปลงทดลองเท่ากันทำให้มีผลผลิตลำสดอยู่ ในระดับใกล้เคียงกัน ผลการทดลองนี้มีแนวโน้มเช่นเดียวกันกับผลการทดลองในศูนย์วิจัยพืชไตรพารามบูรีและ มหาวิทยาลัยเชียงใหม่

ความสัมพันธ์ระหว่างระยะเวลาและน้ำหนักมวลชีวภาพ ตารางที่ 25 และ 26 แสดงการเปลี่ยนแปลงน้ำหนัก แห้งมวลชีวภาพเนื่องจากต้นของอ้อยทั้งสองพันธุ์ในอ้อยปลูกและอ้อยตอปีที่หนึ่งตามลำดับ ในปี 2538 และ 2539

น้ำหนักแห้งมวลชีวภาพเนื่องจากความต้องการของอ้อยทั้งสองพันธุ์ ในวันปีกุ้ง D3 ต้องกว่าวันปีกุ้งอื่น ๆ และเป็นอ้อยที่มีโอกาสอยู่ในแปลงทดลองมากที่สุดเมื่อเทียบกับวันปีกุ้งอื่น ๆ

ตารางที่ 25: น้ำหนักแห้งมวลชีวภาพเหนือผิวดินของย้อยป่ากู (กิโลกรัม ต่ำม³) มหาวิทยาลัยขอนแก่น
2538-2539

| D1 | | | D2 | | | D3 | | | D4 | | |
|-----|------|------|-----|------|------|-----|------|------|-----|------|------|
| DAE | K | U |
| 49 | 0.01 | 0.04 | | | | 97 | 0.11 | 0.18 | 30 | 0.00 | 0.00 |
| 113 | 1.02 | 0.97 | 52 | 0.02 | 0.03 | 123 | 0.37 | 0.48 | 58 | 0.00 | 0.00 |
| 138 | 0.57 | 0.67 | 77 | 0.00 | 0.52 | 154 | 0.64 | 0.80 | 87 | 0.05 | 0.54 |
| 173 | 1.06 | 1.74 | 112 | 1.23 | 0.46 | 185 | 1.58 | 1.47 | 118 | 1.80 | 0.56 |
| 200 | 1.06 | 1.68 | 139 | 0.83 | 0.91 | 212 | 1.63 | 1.73 | 145 | 0.53 | 0.45 |
| 235 | 2.08 | 3.07 | 174 | 1.26 | 1.32 | 250 | 1.89 | 1.83 | 183 | 1.20 | 0.95 |
| | | | | | | 286 | 1.94 | 1.87 | 219 | 0.94 | 0.86 |
| | | | | | | 313 | 2.88 | 2.86 | 246 | 1.64 | 1.89 |
| | | | | | | 341 | 2.64 | 3.22 | 274 | 2.11 | 2.15 |

ตารางที่ 26: น้ำหนักแห้งมวลชีวะเนื้อผ้าดินของอ้อยตอบปีที่หนึ่ง (กิโลกรัม ตรม^{-1}) มหาวิทยาลัยขอนแก่น 2539

| D1 | | | D2 | | |
|-----|------|------|-----|------|------|
| DAE | K | U | DAE | K | U |
| 118 | 0.22 | 0.26 | 92 | 0.29 | 0.26 |
| 149 | 0.63 | 0.77 | 123 | 0.75 | 0.79 |
| 180 | 1.97 | 1.80 | 154 | 1.80 | 1.94 |
| 207 | 2.24 | 2.42 | 181 | 1.67 | 1.86 |
| 244 | 2.25 | 2.47 | 218 | 2.73 | 2.48 |
| 279 | 2.61 | 1.92 | 253 | 2.04 | 2.73 |
| 307 | 3.01 | 1.89 | 281 | 3.40 | 3.17 |
| 337 | 3.33 | 3.04 | 311 | 3.82 | 3.15 |

น้ำหนักสดลำต้นอ้อย ในอ้อยปูรุก การสะสมน้ำหนักสดของลำต้นของอ้อยทั้งสองพันธุ์ มีอัตราที่สูงกว่าการสะสมน้ำหนักใบและต้นของอ้อยพันธุ์ K (ตารางที่ 27) โดยเฉพาะในระยะแรกของฤดูกาลการเพาะปลูก เมื่อติดตามการสะสมน้ำหนักต่อไปในระยะเจ็ดเดือนหลังการอพบว่าอ้อยพันธุ์ K ยังมีการสะสมน้ำหนักอีกต่อไปในขณะที่ อ้อยพันธุ์ P มีอัตราการสะสมน้ำหนักลดลง อย่างไรก็ตาม พบร่วมกับการสะสมน้ำหนักแห้งของกาบใบและน้ำหนักสดของลำต้นอ้อยในพันธุ์ P มีอัตราสูงกว่าอ้อยพันธุ์ K

การสะสมน้ำหนักสดของลำต้นอ้อยทั้งสองในอ้อยต่อปีที่หนึ่งแสดงไว้ในตารางที่ 28

ตารางที่ 27: น้ำหนักสัดของลำต้นถ้อยปููก (กิโลกรัม ตรม.⁻¹) มหาวิทยาลัยขอนแก่น 2538-2539

| D 1 | | | D 2 | | | D 3 | | | D 4 | | |
|-----|------|-------|-----|------|------|-----|-------|-------|-----|------|------|
| DAE | K | U | DAE | K | U | DAE | K | U | DAE | K | U |
| 113 | 0.98 | 1.77 | 52 | 0.01 | 0.01 | 123 | | | 56 | | |
| 138 | 2.21 | 2.84 | 77 | 0.00 | 1.97 | 154 | | | 87 | 3.79 | |
| 173 | 4.46 | 7.15 | 112 | 5.82 | 5.79 | 185 | | | 118 | 6.62 | |
| 200 | — | | 139 | 2.65 | 3.45 | 212 | | | 145 | 6.41 | |
| 235 | 6.84 | 11.52 | 174 | 3.76 | 5.31 | 250 | 8.13 | 7.84 | 183 | 6.05 | 3.84 |
| 267 | 8.90 | 9.60 | 206 | 6.17 | 5.37 | 286 | 7.72 | 7.67 | 219 | 5.84 | 3.41 |
| | | | | | | 313 | 11.44 | 10.74 | 246 | 4.87 | 6.74 |
| | | | | | | 341 | 9.97 | 7.31 | 274 | 7.44 | 8.26 |

ตารางที่ 28: น้ำหนักจำต้นสุดของอ้อยตอบปีที่หนึ่ง (กิโลกรัม ตรม⁻¹) มหาวิทยาลัยขอนแก่น 2539

| D1 | | | D2 | | |
|-----|-------|-------|-----|-------|-------|
| DAE | K | U | DAE | K | U |
| 244 | 9.26 | 10.49 | 218 | 11.22 | 9.96 |
| 279 | 11.05 | 8.82 | 253 | 6.41 | 11.13 |
| 307 | 11.95 | 6.85 | 281 | 7.95 | 13.23 |
| 337 | 9.97 | 10.90 | 311 | 5.38 | 8.26 |
| 369 | 19.86 | 19.62 | 343 | 21.12 | 19.40 |

น้ำหนักแห้งของลำต้น การสะสมน้ำหนักแห้งของลำต้นและใบอ้อยพันธุ์ U มีอัตราที่สูงกว่าการสะสมน้ำหนักใบ และต้นของอ้อยพันธุ์ K (ตารางที่ 29) โดยเฉพาะในระยะแรกของต้นการเพาะปลูก เมื่อติดตามการสะสมน้ำหนัก ต่อไปในระยะเดือนหลังการออกพับว่าอ้อยพันธุ์ K ยังมีการสะสมน้ำหนักอีกต่อไปในขณะที่อ้อยพันธุ์ U มี อัตราการสะสมน้ำหนักลดลง อย่างไรก็ตาม พบร่วมกับการสะสมน้ำหนักแห้งของกาบใบและน้ำหนักสุดของลำต้น อ้อยในพันธุ์ U มีอัตราสูงกว่าอ้อยพันธุ์ K

การสะสมน้ำหนักแห้งของลำต้น ในอ้อยตอบปีที่หนึ่งแสดงในตารางที่ 30

ตารางที่ 29: น้ำหนักจำต้นแห้งของอ้อยปลูก (กิโลกรัม ตรม⁻¹) มหาวิทยาลัยขอนแก่น 2538-2539

| D 1 | | | D 2 | | | D 3 | | | D 4 | | |
|-----|------|------|-----|------|------|-----|------|------|-----|------|------|
| DAE | K | U |
| 113 | 0.64 | 0.49 | 52 | 0.00 | 0.00 | 123 | 0.06 | 0.08 | 56 | 0.00 | 0.00 |
| 138 | 0.26 | 0.33 | 77 | 0.00 | 0.33 | 154 | 0.24 | 0.25 | 87 | 0.01 | 0.28 |
| 173 | 0.67 | 1.13 | 112 | 1.00 | 0.23 | 185 | 1.02 | 0.85 | 118 | 1.00 | 0.08 |
| 200 | 0.82 | 1.46 | 139 | 0.49 | 0.54 | 212 | 1.08 | 1.07 | 145 | 0.26 | 0.18 |
| 235 | 1.67 | 2.51 | 174 | 0.92 | 0.97 | 250 | 1.29 | 1.21 | 183 | 0.67 | 0.50 |
| 267 | 2.53 | 3.20 | 206 | 1.68 | 2.26 | 286 | 1.46 | 1.36 | 219 | 0.59 | 0.51 |
| | | | | | | 313 | 2.36 | 2.41 | 246 | 1.23 | 1.38 |
| | | | | | | 341 | 2.31 | 2.82 | 274 | 1.69 | 1.74 |

ตารางที่ 30: น้ำหนักจำต้นแห้งของข้ออี้ดอปีทีหนึ่ง (กิโลกรัม ต่ำร 1) มหาวิทยาลัยขอนแก่น 2539

| DAE | D 1 | | D 2 | | | |
|-----|------|------|-----|------|------|--|
| | K | U | DAE | K | U | |
| 118 | 0.02 | 0.03 | 92 | 0.03 | 0.03 | |
| 149 | 0.21 | 0.28 | 123 | 0.27 | 0.28 | |
| 180 | 1.10 | 0.96 | 154 | 1.13 | 1.22 | |
| 207 | 1.49 | 1.60 | 181 | 1.00 | 1.21 | |
| 244 | 1.43 | 1.70 | 218 | 1.94 | 1.60 | |
| 279 | 1.90 | 1.33 | 253 | 1.33 | 2.03 | |
| 307 | 2.33 | 1.54 | 281 | 2.69 | 2.69 | |
| 337 | 2.85 | 2.67 | 311 | 3.28 | 2.67 | |

น้ำหนักแห้งของใบและกาบใบ การทดสอบน้ำหนักแห้งของใบและกาบใบของอ้อยพันธุ์ U มีอัตราที่สูงกว่าอ้อยพันธุ์ K (ตารางที่ 31) โดยเฉพาะในระยะแรกของฤดูกาลเพาะปลูก เมื่อติดตามการทดสอบน้ำหนักต่อไปในระยะเดือนหลังการออกပ่าฯ อ้อยพันธุ์ K ยังมีการทดสอบน้ำหนักอีกต่อไปในขณะที่อ้อยพันธุ์ U มีอัตราการทดสอบน้ำหนักลดลง อย่างไรก็ตาม พบร่วงจากการทดสอบน้ำหนักแห้งของกาบใบและน้ำหนักสดของลำต้นอ้อยในพันธุ์ U มีอัตราสูงกว่าอ้อยพันธุ์ K

การทดสอบน้ำหนักแห้งของใบและกาบใบของอ้อยต่อปีที่หนึ่งแสดงในตารางที่ 32

ตารางที่ 31: น้ำหนักใบและกาบใบแห้งของอ้อยปลูก (กิโลกรัม ต่ำร 1) มหาวิทยาลัยขอนแก่น 2538-2539

| DAE | D 1 | | D 2 | | D 3 | | D 4 | |
|-----|------|------|-----|------|------|-----|------|------|
| | K | U | DAE | K | U | DAE | K | U |
| 49 | 0.01 | 0.04 | | | | 97 | 0.11 | 0.18 |
| 113 | 0.38 | 0.48 | 52 | 0.02 | 0.03 | 123 | 0.31 | 0.38 |
| 138 | 0.32 | 0.34 | 77 | 0.00 | 0.18 | 154 | 0.40 | 0.55 |
| 173 | 0.39 | 0.61 | 112 | 0.23 | 0.23 | 185 | 0.56 | 0.62 |
| 200 | 0.24 | 0.22 | 139 | 0.34 | 0.37 | 212 | 0.55 | 0.66 |
| 235 | 0.42 | 0.55 | 174 | 0.33 | 0.35 | 250 | 0.60 | 0.63 |
| 267 | 0.17 | 0.13 | 206 | 0.12 | 0.12 | 286 | 0.48 | 0.51 |
| | | | | | | 313 | 0.52 | 0.45 |
| | | | | | | 341 | 0.33 | 0.39 |
| | | | | | | | 219 | 0.35 |
| | | | | | | | 246 | 0.41 |
| | | | | | | | 274 | 0.41 |
| | | | | | | | | 0.41 |

ตารางที่ 32: น้ำหนักใบและกาบใบแห้งของอ้อยต่อปีที่หนึ่ง (กิโลกรัม ต่ำร 1) มหาวิทยาลัยขอนแก่น 2539

| DAE | D 1 | | D 2 | | |
|-----|------|------|-----|------|------|
| | U | K | DAE | U | K |
| 118 | 0.20 | 0.23 | 92 | 0.26 | 0.22 |
| 149 | 0.42 | 0.50 | 123 | 0.47 | 0.51 |
| 180 | 0.87 | 0.84 | 154 | 0.66 | 0.72 |
| 207 | 0.75 | 0.82 | 181 | 0.67 | 0.65 |
| 244 | 0.82 | 0.77 | 218 | 0.78 | 0.88 |
| 279 | 0.71 | 0.59 | 253 | 0.71 | 0.71 |
| 307 | 0.68 | 0.35 | 281 | 0.70 | 0.47 |
| 337 | 0.49 | 0.38 | 311 | 0.54 | 0.48 |

จำนวนหน่ออ้อย จำนวนหน่ออ้อยต่อ กม. จำนวนลดลงด้วยปัจจัยระยับเก็บเกี่ยว (ตารางที่ 33) ทั้งนี้เป็นกลไกในการสร้างผลผลิตของพืชตระกูลหญ้าทั่วไป (Yoshida, 1981) พันธุ์ U มีจำนวนหน่อต่อ กม. สูงกว่าพันธุ์ K เนื่องจาก 7 และ 4 คำต่อ กม. ตามลำดับ หน่อเหล่านี้จะพัฒนาไปเป็นลำอ้อยที่พืชใช้ในการสะสมน้ำตาล

จำนวนหน่ออ้อยต่อ กม. ของอ้อยตอบปีที่หนึ่งแสดงในตารางที่ 34

ตารางที่ 33: จำนวนหน่อ/คำของอ้อยปฐก (จำนวน ต่อม⁻¹) มหาวิทยาลัยขอนแก่น 2538-2539

| D 1 | | | D 2 | | | D 3 | | | D 4 | | |
|-----|------|------|-----|------|------|-----|-------|-------|-----|------|------|
| DAE | K | U | DAE | K | U | DAE | K | U | DAE | K | U |
| 49 | 4.15 | 5.93 | | | | 97 | 12.56 | 12.87 | 30 | 0.00 | 0.00 |
| 113 | 3.48 | 6.24 | 52 | 5.59 | 8.00 | 123 | 14.31 | 15.18 | 58 | 0.00 | 0.00 |
| 138 | 4.89 | 5.95 | 77 | | | 154 | 12.92 | 13.03 | 87 | 3.79 | 5.85 |
| 173 | 5.13 | 7.44 | 112 | 7.69 | 7.69 | 185 | 8.41 | 8.15 | 118 | 6.82 | 4.97 |
| 200 | 8.46 | 6.92 | 139 | 6.67 | 7.69 | 212 | 6.21 | 8.36 | 145 | 6.41 | 4.87 |
| 235 | 4.36 | 6.92 | 174 | 5.64 | 6.15 | 250 | 6.15 | 6.72 | 183 | 6.05 | 4.67 |
| 267 | 4.70 | 5.90 | 206 | 5.30 | 7.23 | 286 | 6.67 | 6.67 | 219 | 5.64 | 5.13 |
| | | | | | | 313 | 5.90 | 6.15 | 246 | 4.87 | 5.13 |
| | | | | | | 341 | 4.36 | 6.92 | 274 | 5.38 | 5.13 |

ตารางที่ 34: จำนวนหน่อ/คำของอ้อยตอบปีที่หนึ่ง (จำนวน ต่อม⁻¹) มหาวิทยาลัยขอนแก่น 2539

| D1 | | | D2 | | |
|-----|-------|-------|-----|-------|-------|
| DAE | K | U | DAE | K | U |
| 118 | 17.95 | 25.90 | 92 | 14.62 | 21.54 |
| 149 | 8.97 | 14.87 | 123 | 14.87 | 14.87 |
| 180 | 14.10 | 11.54 | 154 | 10.51 | 13.28 |
| 207 | 8.05 | 9.74 | 181 | 7.59 | 9.59 |
| 244 | 10.82 | 12.67 | 218 | 11.22 | 11.24 |
| 279 | 7.95 | 7.69 | 253 | 6.41 | 8.72 |
| 307 | 6.41 | 5.38 | 281 | 7.95 | 9.74 |
| 337 | 4.36 | 6.92 | 311 | 5.38 | 5.13 |

ดัชนีพื้นที่ในอ้อยปฐก การสะสมน้ำหนักแห้งของต้นและใบอ้อยพันธุ์ U มีอัตราสูงกว่าการสะสมน้ำหนักใบและต้นของอ้อยพันธุ์ K (ตารางที่ 35) โดยเฉพาะในระยะแรกของฤดูกาลเพาะปลูก เมื่อติดตามการสะสมน้ำหนักต่อ-ไปในระยะเจิดเตือนหลังการอภิบาลว่าอ้อยพันธุ์ K ยังมีการสะสมน้ำหนักอีกต่อไปในขณะที่อ้อยพันธุ์ U มีอัตราการสะสมน้ำหนักลดลง อย่างไรก็ตาม พบว่าการสะสมน้ำหนักแห้งของใบและน้ำหนักสดของลำต้นอ้อยในพันธุ์ U มีอัตราสูงกว่าอ้อยพันธุ์ K

ตารางที่ 35: ดัชนีพื้นที่ใบของอ้อยปฐก มหาวิทยาลัยขอนแก่น 2538-2539

| D 1 | | | D 2 | | | D 3 | | | D 4 | | |
|-----|------|------|-----|------|------|-----|------|------|-----|------|------|
| DAE | K | U |
| 49 | 0.02 | 0.07 | -12 | 0.00 | 0.00 | 97 | 0.20 | 0.27 | 30 | 0.00 | 0.00 |
| 113 | 1.38 | 2.12 | 52 | 0.10 | 0.15 | 123 | 0.60 | 0.59 | 58 | 0.00 | 0.00 |
| 138 | 1.07 | 1.06 | 77 | 0.00 | 0.58 | 154 | 1.13 | 1.15 | 87 | 0.10 | 0.61 |
| 173 | 1.25 | 1.97 | 112 | 0.67 | 0.67 | 185 | 1.60 | 1.34 | 118 | 0.66 | 0.43 |
| 200 | 0.68 | 0.64 | 139 | 0.93 | 1.04 | 212 | 1.69 | 2.02 | 145 | 0.68 | 0.76 |
| 235 | 1.69 | 2.30 | 174 | 0.99 | 1.21 | 250 | 1.57 | 1.60 | 183 | 1.34 | 0.97 |
| 267 | 0.00 | 0.00 | 206 | 0.00 | 0.00 | 286 | 1.80 | 1.48 | 219 | 1.22 | 1.48 |
| | | | | | | 313 | 1.71 | 1.34 | 246 | 1.17 | 1.25 |
| | | | | | | 341 | 1.04 | 1.55 | 274 | 1.60 | 1.57 |

คุณภาพความหวานของน้ำอ้อย ในอ้อยปีกลูกพบว่าเริ่มน้ำมีค่า CCS เมื่ออายุได้ห้าเดือน (ตารางที่ 36) และมีค่าสูงขึ้นตามลำดับจนกระทั่งเก็บเกี่ยว อ้อยพันธุ์ K มีค่า CCS สูงกว่าพันธุ์ U ยกเว้นในวันปีกลูกที่ D4 ในช่วงการเก็บเกี่ยวมีค่า CCS เฉลี่ยเป็น 11.21 และ 10.01 ตามลำดับ

ในอ้อยตอปีที่หนึ่งพบว่าเริ่มน้ำมีค่า CCS เมื่ออายุได้ 5 เดือน (ตารางที่ 37) และมีค่าสูงขึ้นตามลำดับ จนกระทั่งเก็บเกี่ยว พันธุ์ K มีค่า CCS สูงกว่าพันธุ์ U โดยเฉพาะในช่วงการเก็บเกี่ยวมีค่า 9.3 และ 6.2 ตามลำดับ

ตารางที่ 36: ค่า CCS ของอ้อยปีกลูก มหาวิทยาลัยขอนแก่น 2538-2539

| D 1 | | | D 2 | | | D 3 | | | D 4 | | |
|-----|-------|-------|-----|-------|-------|-----|-------|-------|-----|------|------|
| DAE | K | U | DAE | K | U | DAE | K | U | DAE | K | U |
| 113 | 0.30 | -0.71 | 52 | 0.00 | 0.00 | 123 | 0.00 | 0.00 | 56 | 0.00 | 0.00 |
| 138 | 0.74 | -0.64 | 77 | 0.00 | 0.37 | 154 | 0.00 | 0.00 | 87 | 0.00 | 0.00 |
| 173 | 1.25 | 1.14 | 112 | -1.04 | -0.97 | 185 | 0.00 | 0.00 | 118 | 0.00 | 0.00 |
| 200 | 3.85 | 3.12 | 139 | 1.06 | 0.73 | 212 | 0.00 | 0.00 | 145 | 0.00 | 0.00 |
| 235 | 8.62 | 8.53 | 174 | 5.58 | 6.03 | 250 | 7.03 | 2.81 | 183 | 2.17 | 2.53 |
| 267 | 12.14 | 10.73 | 206 | 10.37 | 8.86 | 286 | 9.32 | 9.48 | 219 | 4.20 | 6.60 |
| | | | | | | 313 | 8.72 | 9.09 | 246 | 5.06 | 6.20 |
| | | | | | | 341 | 12.37 | 11.32 | 274 | 8.10 | 9.13 |

ตารางที่ 37: ค่า CCS ของอ้อยตอปีที่หนึ่ง มหาวิทยาลัยขอนแก่น 2539

| D 1 | | | D 2 | | |
|-----|-------|-------|-----|-------|------|
| DAE | K | U | DAE | K | U |
| 244 | 6.22 | 4.07 | 218 | 7.80 | 4.01 |
| 279 | 9.11 | 8.07 | 253 | 11.15 | 6.37 |
| 307 | 10.27 | 9.14 | 281 | 11.39 | 6.36 |
| 337 | 11.97 | 11.47 | 311 | 13.07 | 9.61 |

ระดับ polarity ในอ้อยปีกลูกระดับ polarity (%sucrose) มีแนวโน้มเพิ่มขึ้นเมื่ออายุมากขึ้น (ตารางที่ 38) ในช่วงเก็บเกี่ยวอ้อยพบว่าค่า polarity ของอ้อยปีกลูกพันธุ์ K ใน U อยู่ในช่วง 12 และ 9.2 ตามลำดับ และไม่มีความแตกต่างกันทางสถิติ

ในช่วงการเก็บเกี่ยวของอ้อยตอปีที่หนึ่งของ D1 และ D2 (ตารางที่ 39) พบว่า ค่า polarity ของอ้อยทั้งสองพันธุ์มีแนวโน้มสูงขึ้น เช่นเดียวกันกับอ้อยปีกลูก ค่า polarity ของอ้อยตอปีที่หนึ่ง อยู่ในช่วง 12.5 และ 9.2

ตารางที่ 38: ค่า polarity ของอ้อยปีกลูก มหาวิทยาลัยขอนแก่น 2538-2539

| D 1 | | | D 2 | | | D 3 | | | D 4 | | |
|-----|-------|-------|-----|-------|-------|-----|-------|-------|-----|-------|-------|
| DAE | K | U |
| 113 | 2.99 | 2.11 | 52 | 0.00 | 0.00 | 123 | | | 56 | | |
| 138 | 3.82 | 2.79 | 77 | 0.00 | 1.49 | 154 | | | 87 | | |
| 173 | 5.02 | 4.74 | 112 | 1.99 | 2.35 | 185 | | | 118 | | |
| 200 | 7.59 | 6.93 | 139 | 4.35 | 3.84 | 212 | | | 145 | | |
| 235 | 12.96 | 12.99 | 174 | 9.55 | 9.89 | 250 | 10.71 | 6.46 | 183 | 5.68 | 6.11 |
| 267 | 16.94 | 15.10 | 206 | 15.19 | 12.87 | 286 | 13.30 | 13.44 | 219 | 7.81 | 10.23 |
| | | | | | | 313 | 12.46 | 13.01 | 246 | 8.43 | 9.91 |
| | | | | | | 341 | 18.59 | 15.45 | 274 | 12.27 | 12.90 |

ตารางที่ 39: ค่า polarity ของอ้อยดอปีทีหนึ่ง มหาวิทยาลัยขอนแก่น 2539

| D 1 | | | D 2 | | |
|-----|-------|-------|-----|-------|-------|
| DAE | K | U | DAE | K | U |
| 244 | 9.91 | 7.63 | 218 | 11.49 | 7.41 |
| 279 | 12.82 | 11.80 | 253 | 15.05 | 9.72 |
| 307 | 13.72 | 12.61 | 281 | 15.23 | 9.72 |
| 337 | 15.98 | 15.73 | 311 | 17.22 | 13.26 |

ระดับ brix ในอ้อยปูกระดับ brix พลวัตเท่านี้เดียวกันกับค่า polarity และค่า CCS มีแนวโน้มเพิ่มขึ้นเมื่ออ้อยมีอายุมากขึ้น (ตารางที่ 40) ในช่วงเก็บเกี่ยวข้ออ้อยพบร้าค่า brix ของอ้อยปูกรอยู่ในช่วง 16.24-18.77 และไม่มีความแตกต่างกันทางสถิติ

ในช่วงการเก็บเกี่ยวของอ้อยดอปีทีหนึ่งของ D1 และ D2 (ตารางที่ 41) พบว่า ค่า polarity ของอ้อยทั้งสองพันธุ์มีแนวโน้มสูงขึ้นเรื่อยๆ เดียวกันกับอ้อยปูก และสูงมากกว่าอ้อยปูกร้อยทั้งสี่วันปฐก ค่า brix ของอ้อยดอปีทีหนึ่งอยู่ในช่วง 18.15-18.99

ตารางที่ 40: ค่า brix ของอ้อยปูก มหาวิทยาลัยขอนแก่น 2538-2539

| D 1 | | | D 2 | | | D 3 | | | D 4 | | |
|-----|-------|-------|-----|-------|-------|-----|-------|-------|-----|-------|-------|
| DAE | K | U |
| 113 | 8.05 | 6.82 | 52 | 0.00 | 0.00 | 123 | 0.00 | 0.00 | 58 | 0.00 | 0.00 |
| 138 | 9.46 | 9.69 | 77 | 0.00 | 3.50 | 154 | 0.00 | 0.00 | 87 | 0.00 | 0.00 |
| 173 | 11.79 | 11.21 | 112 | 8.25 | 9.29 | 185 | 0.00 | 0.00 | 118 | 0.00 | 0.00 |
| 200 | 13.25 | 12.98 | 139 | 10.27 | 9.83 | 212 | 0.00 | 0.00 | 145 | 0.00 | 0.00 |
| 235 | 17.87 | 18.13 | 174 | 14.94 | 14.96 | 250 | 15.12 | 12.52 | 183 | 11.62 | 12.05 |
| 267 | 0.00 | 0.00 | 206 | 0.00 | 0.00 | 286 | 17.13 | 17.22 | 218 | 13.03 | 14.56 |
| | | | | | | 313 | 18.10 | 16.95 | 248 | 12.80 | 14.59 |
| | | | | | | 341 | 19.53 | 18.67 | 274 | 17.04 | 16.73 |

ตารางที่ 41: ค่า brix ของอ้อยดอปีทีหนึ่ง มหาวิทยาลัยขอนแก่น 2539

| D 1 | | | D 2 | | |
|-----|-------|-------|-----|-------|-------|
| DAE | K | U | DAE | K | U |
| 244 | 14.72 | 13.02 | 218 | 15.49 | 12.58 |
| 279 | 16.35 | 15.90 | 253 | 17.81 | 13.66 |
| 307 | 16.67 | 15.98 | 281 | 18.16 | 13.82 |
| 337 | 18.32 | 18.61 | 311 | 19.19 | 16.12 |

ปริมาณเยื่อไชย ในอ้อยปูกปริมาณเยื่อไชยมีแนวโน้มเพิ่มขึ้นเมื่ออ้อยมีอายุมากขึ้น (ตารางที่ 42) ยกเว้นในวันปฐก D1 ซึ่งปริมาณเยื่อไชยในอ้อยทั้งสองพันธุ์มีแนวโน้มลดลง เมื่อกลับเก็บเกี่ยวบว岷านเยื่อไชยของอ้อยทั้งสองพันธุ์อยู่ในร้อยละ 11.20-12.12 ของน้ำหนักแห้ง และไม่มีความแตกต่างกันทางสถิติ

ในช่วงการเก็บเกี่ยวของอ้อยดอปีทีหนึ่ง (ตารางที่ 43) พบว่า ปริมาณเยื่อไชยของอ้อยทั้งสองพันธุ์มีแนวโน้มสูงขึ้นแต่มีความแปรปรวนมากกว่าปริมาณเยื่อไชยของอ้อยปูก ปริมาณเยื่อไชยของอ้อยดอปีทีหนึ่งเฉลี่ยอยู่ในช่วงร้อยละ 10.52-12.07 ของน้ำหนักแห้ง

ตารางที่ 42: ค่า fiber ของข้ออ่ายปุก มหาวิทยาลัยขอนแก่น 2538-2539

| D 1 | | | D 2 | | | D 3 | | | D 4 | | |
|-----|-------|-------|-----|-------|-------|-----|-------|-------|-----|-------|-------|
| DAE | K | U |
| 113 | 11.33 | 10.33 | 52 | | 0.00 | 123 | | | 56 | | |
| 138 | 11.50 | 11.50 | 77 | | 3.72 | 154 | | | 87 | | |
| 173 | 11.07 | 10.93 | 112 | 9.10 | 8.90 | 185 | | | 118 | | |
| 200 | 11.50 | 11.50 | 139 | 11.50 | 11.50 | 212 | | | 145 | | |
| 235 | 12.12 | 11.25 | 174 | 11.48 | 11.08 | 250 | 10.28 | 9.35 | 183 | 10.42 | 10.13 |
| | | | | | | 286 | 11.68 | 11.40 | 219 | 11.65 | 11.47 |
| | | | | | | 313 | 11.50 | 11.25 | 246 | 11.48 | 11.17 |
| | | | | | | 341 | 11.90 | 11.85 | 274 | 11.32 | 11.20 |

ตารางที่ 43: ค่า fiber ของข้ออ่ายตอนบีทหนึ่ง มหาวิทยาลัยขอนแก่น 2539

| D 1 | | | D 2 | | |
|-----|-------|-------|-----|-------|-------|
| DAE | K | U | DAE | K | U |
| 244 | 10.02 | 9.88 | 218 | 11.18 | 9.07 |
| 279 | 11.12 | 10.65 | 253 | 12.17 | 10.90 |
| 307 | 9.63 | 9.82 | 281 | 10.98 | 9.98 |
| 337 | 11.65 | 12.10 | 311 | 12.07 | 10.52 |

ลิขสิทธิ์มหาวิทยาลัยเชียงใหม่
 Copyright © by Chiang Mai University
 All rights reserved

ส่วนที่ 1 การประเมินผลผลิตอ้อยโดยใช้แบบจำลองพัฒนาการและ
การเจริญเติบโตของอ้อย

ผลการทดลองวันปลูกอ้อยชุดที่หนึ่งและสอง
มหาวิทยาลัยเชียงใหม่

(อ้อยปลูก และอ้อยตอ 1 ของชุดที่หนึ่ง และ
อ้อยปลูก ของชุดที่สอง)

อรรถชัย จินตะเวช ศักดีดา จงแก้ววัฒนา ถาวร อ่อนประไฟ
อ้อยทิน จันทร์เมือง และ ปรัชญา นาสุริยวงศ์

ลิขสิทธิ์มหาวิทยาลัยเชียงใหม่
Copyright[©] by Chiang Mai University
All rights reserved

งานทดลองนี้เป็นงานทดลองหนึ่งที่มีโครงสร้างและวิธีการทดลองดังที่ได้เสนอใน เอกลิมพล “ในสุ่มเรือง และ คณะในรายงานฉบับนี้” (หน้า 16) เพื่อสนับสนุนการทราบข้อมูลจำเป็นต่อการพัฒนาและการทดสอบแบบจำลองอ้อย ThaiCane 1.0 ได้ทำการออกแบบให้ครอบคลุมสภาพการผลิตอ้อยในพื้นที่ต่าง ๆ ให้ได้มากที่สุดเท่าที่จะทำได้ ระบบการผลิตในประเทศไทยสามารถจัดได้เป็น 2 ระบบ คือ ระบบการผลิตอ้อยในพื้นที่ชลประทานและพื้นที่อาชญาณ ในระบบการผลิตทั้งสองแบบเบ็ดเตล็ดปุกอ้อยตันๆ ฝน (ประมาณเดือนพฤษภาคม) และป้ายๆ ฝน (ประมาณเดือนพฤษภาคม) ระบบการผลิตอ้อยในภาคเหนือส่วนใหญ่ปุกอ้อยอาชญาณและเป็นอ้อยที่ปุกในช่วงต้นๆ ฝนและเริ่มถูกการเก็บเกี่ยวระหว่างเดือนพฤษภาคมถึงมีนาคมของทุกปี ส่วนใหญ่เป็นระบบการผลิตอ้อยที่มีการใช้วัตถุอ้อย 1-2 ตอต่อการปุกหนึ่งครั้ง

อุปกรณ์ วิธีการทดลอง และวิธีการวัดค่าตัวแปร

ดำเนินการทดลองในดินชุดสติก ซึ่งจัดอยู่ในกลุ่มดิน Oxic Paleosolults ตามระบบอนุกรมวิธานดิน Soil Taxonomy (ทีศักดิ์ และ ชนิชชูศรี, 2534) งานทดลองชุดที่หนึ่งมีวันปุกที่ทำการเบรียบเทียนสองวันปุก คือ วันที่ 28 กุมภาพันธ์ 2538 (D1) และ วันที่ 28 เมษายน 2538 (D2) เก็บเกี่ยวอ้อยปุกระหว่างวันที่ 18-22 พฤษภาคม 2538 และเก็บเกี่ยวอ้อยต่อไปที่หนึ่งระหว่างวันที่ 17-20 ธันวาคม 2539 งานทดลองชุดที่สองมีสองวันปุก คือ วันที่ 19 พฤษภาคม 2538 (D3) และ วันที่ 16 มกราคม 2539 (D4) เก็บเกี่ยวอ้อยปุกระหว่างวันที่ 17-20 ธันวาคม 2539

ปี 2538 และ 2539 เก็บเกี่ยวอ้อยปุกแก้วที่สามและถาวรสู่ในระหว่างเดือนพฤษภาคม-ธันวาคม และปีที่สอง (2539) เก็บเกี่ยวอ้อยต่อแก้วที่เจ็ดและแปดในระหว่างเดือนพฤษภาคม-ธันวาคม

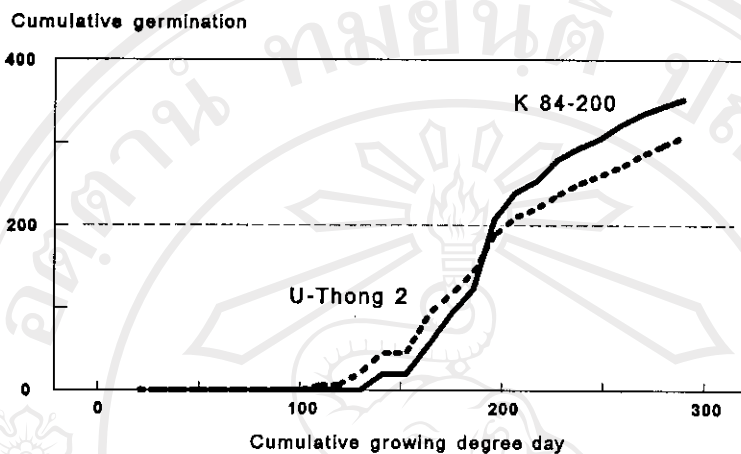
เก็บเกี่ยวอ้อยตัวอย่างหักออกจำนวนสองกilo เมื่อวันที่ 5 กรกฎาคม 3 สิงหาคม 3 กันยายน 5 ตุลาคม และ 6 พฤศจิกายน 2538 เพื่อนำมาพั้นที่ใบ นับจำนวนลำอ้อย แล้วทำการแยกส่วนต่าง ๆ ออกเป็น ส่วนของต้นอ้อย ส่วนของใบอ้อย ส่วนของกาบใบอ้อย และ ส่วนของรากอ้อย ทำการตากแห้งและซึ่งหน้าหักแห้งของแต่ละส่วน อนึ่ง คณะกรรมการได้ทำการจัดสร้างต้นอ้อยไปที่ศูนย์วิจัยพืชไร่สุพรรณบุรีเพื่อตรวจสอบค่าคงทนของคุณภาพของหัว

ผลการทดลอง

พัฒนาการของอ้อย (cane phenology)

อัตราการออกของต้นอ้อย ภูมิที่ 11 แสดงอัตราการออกของต้นอ้อยทั้งสองพันธุ์ของวันปุก D4 ของพันธุ์ K และพันธุ์ P ซึ่งมีอัตราการออกของต้นอ้อยร้อยละ 50 ในวันที่ 4 และ 6 กุมภาพันธ์ 2539 ตามลำดับ คิดเป็นประมาณ 200 GDD อัตราการออกของพืชในตะวันตกเฉียงใต้ได้รับอิทธิพลจากดับความลึกของกากวางแผนที่อนพันธุ์หรือเมล็ดพืช ซึ่งสามารถคาดการณ์ได้อย่างแม่นยำโดยใช้คุณสมบัติทางกายภาพเป็นตัวบ่งชี้ได้

กฎที่ 11: ความสัมพันธ์ระหว่างอุณหภูมิสะสมและความงอกสะสมของอ้อยทั้งสองพันธุ์ จากวันปฐก D4 วันที่ 16 มกราคม 2539 ม.เชียงใหม่



โดยที่ผ่านไป อ้อยปฐกทั้งสองพันธุ์ของทั้งสี่วันปฐกมีพัฒนาการและการเจริญเติบโตที่ดีตลอดฤดูกาลปฐกในปี 2538 และปี 2539 อย่างไรก็ตาม ในระหว่างเดือนสิงหาคมถึงกันยายนเดือนตุลาคม 2538 และ 2539 มีฝนตกหนักติดต่อเป็นเวลานาน ทำให้อ้อยโคนล้มลงซึ่งคือระหว่างเดือนสิงหาคมและต้นเดือนพฤษจิกายน 2538 และ 2539 การล้มของอ้อยในช่วงที่สองของปี 2538 ทำให้ผู้ดำเนินการวิจัยต้องตัดสินใจเก็บเกี่ยวก่อนระยะเวลาที่สมควรโดยเฉพาะพันธุ์ K อาจจะเป็นสาเหตุหนึ่งที่ทำให้ผลผลิตต้นตันลดลงค่อนข้างมากกว่าที่ได้คาดการณ์ไว้ นอกจากนี้อ้อยทั้งสองถูกไฟไหม้เมื่อวันที่ 7 มีนาคม 2540 ขณะผู้วิจัยได้ทำการซ้อมตัดอ้อย ให้น้ำ และปุ๋ยเคมีเพื่อเร่งการเจริญเติบโต และสามารถถูกแปลงสภาพกลับได้กว่าร้อยละ 80 ของอ้อยที่ต้องการเก็บเกี่ยวในปีที่สาม (อ้อยตอบปีที่สอง) ผู้วิจัยคาดว่าพัฒนาการของอ้อยจะห้ากว่าแปลงทดลองที่มหาวิทยาลัยขอนแก่นและศูนย์วิจัยพืชไชยศรีพวนบุรีประมาณสองเดือน คาดว่าจะมีผลต่อผลผลิตอ้อยในงานทดลองทั้งสองเช่นกัน

ในงานทดลองชุดที่สอง (D3 และ D4) อ้อยทั้งสองพันธุ์มีพัฒนาการของใบอ้อยคล้ายคลึงกัน ทั้งสองวันปฐก (กฎที่ 12) โดยในวันปฐกที่ 3 อ้อยทั้งสองพันธุ์มีอัตราการเพิ่มขึ้นของใบเป็น 0.0075 ใบต่อ 1°d ($r^2=0.99$) และ 0.0084 ใบต่อ 1°d ($r^2=0.99$) ตามลำดับ และในวันปฐกที่ 4 อ้อยทั้งสองพันธุ์มีอัตราการเพิ่มขึ้นของใบเป็น 0.0072 ใบต่อ 1°d ($r^2=0.96$) และ 0.0074 ใบต่อ 1°d ($r^2=0.96$) ตามลำดับ

ระยะพัฒนาการต่าง ๆ เมื่ออ้อย D1 และ D2 มีอายุได้ 2-4 เดือนหลังการออก และอ้อย D3 และ D4 มีอายุได้ 5-7 เดือนหลังการออก มีการสร้างพื้นที่ใบอย่างรวดเร็ว รวมทั้งมีการแตกหน่อเป็นจำนวนมากมาก การแตกหน่อถึงระดับสูงสุดประมาณ 4-6 เดือน และ 7-9 เดือน หลังการออก จากนั้นอ้อยทั้งสองพันธุ์เริ่มเข้าสู่ระยะการผลัดหน่อนทั้ง 2 และมีการรักษาจำนวนลำเพื่อเป็นที่เก็บสะสมน้ำตาล (millable stalk) จำนวนนี้จะเข้าสู่ระยะการยึดปล้อง และการสะสมน้ำหนักลำต้น

งานทดลองชุดที่หนึ่ง (D1 และ D2) พบร้าอ้อยปลูกและอ้อยตอปีที่หนึ่งพันธุ์ U เริ่มระยะสร้างซ่อดอก (panicle initiation) ประมาณเดือนตุลาคม ปี 2538 และ 2539 อ้อยพันธุ์ U เข้าสู่ระยะเมื่อตอกใบแล้วหนึ่งเดือน (panicle emergence) ประมาณวันที่ 10-13 พฤศจิกายน 2538 และ 2539 ส่วนอ้อยพันธุ์ K ทั้งอ้อยปลูกและอ้อยตอปีที่หนึ่งเข้าสู่ระยะทั้งสองขั้กกว่าอ้อยพันธุ์ U ประมาณหนึ่งเดือน ก่อนวันเริ่มระยะผลร้างซ่อดอก (panicle initiation) ประมาณวันที่ 6-10 พฤศจิกายน 2538 และ 2539 เริ่มระยะซ่อดอกใบผลเห็นเนื้อคอกใบ (panicle emergence) ประมาณวันที่ 8-12 ธันวาคม 2538 และ 2539

ในงานทดลองชุดที่สอง (D3 และ D4) พบร้าอ้อยพันธุ์ U เริ่มระยะผลิตซ่อดอก (panicle initiation) ประมาณเดือนตุลาคม ปี 2539 เริ่มแห้งซ่อดอก (panicle emergence) ประมาณวันที่ 10-13 พฤศจิกายน 2539 ส่วนอ้อยพันธุ์ K เริ่มระยะทั้งสองขั้กกว่าอ้อยพันธุ์ U ประมาณหนึ่งเดือน ก่อนวันเริ่มระยะผลิตซ่อดอก (panicle initiation) ประมาณวันที่ 6-10 พฤศจิกายน 2539 เริ่มแห้งซ่อดอก (panicle emergence) ประมาณวันที่ 8-12 ธันวาคม 2539 ผู้วิจัยได้รับคำบอกร่างว่าการออกดอกของอ้อยมีผลโดยตรงต่อการสะสมน้ำตาลในลำต้นของอ้อย แต่ยังไม่มีรายงานผลการวิจัยยืนยัน ดังนั้นจึงสมควรที่จะทำการวิจัยเพื่อทำความเข้าใจกระบวนการเปลี่ยนแปลงทางเคมีที่เกิดขึ้นในพันธุ์อ้อยของไทยอย่างเป็นระบบ

พัฒนาการของใบอ้อยปลูก การติดตามพัฒนาการของใบอ้อยในวันปลูก D1 และ D2 ในช่วงฤดูฝนมีอุปสรรคเนื่องจากฝนตกชุก รวมทั้งทรงกอของอ้อยทั้งสองพันธุ์ขึ้นปกคลุมกือบเต็มพื้นที่ระหว่างแตรปปลูกทำให้การบันทึกข้อมูลมีอุปสรรคมาก ผู้วิจัยได้ตัดต้นใจด้วยการบันทึกข้อมูลในช่วงดังกล่าว อย่างไรก็ตาม การติดตามพัฒนาการของใบอ้อยปลูก D1, D2, และ D3 ในปี 2538 และอ้อยปลูก D4 ในปี 2539 ทั้งสองพันธุ์พบว่ามีอัตราพัฒนาการใกล้เคียงกัน (รูปที่ 12) อ้อยพันธุ์ K และพันธุ์ U มีอัตราการเพิ่มน้ำหนักต่อวัน 0.15 ใน วัน⁻¹ และ 0.14 ใน วัน⁻¹ ตามลำดับ เป็นผลการวิจัยที่มีความหมายมากต่อการพัฒนาและคาดคะเนแบบจำลองการเจริญเติบโตของอ้อยในประเทศไทย เป็นข้อมูลที่สามารถใช้ยืนยันได้ว่าสามารถใช้อุณหภูมิอากาศ (GDD) ในการคาดการณ์พัฒนาการของใบได้อย่างมีความแม่นยำและน่าเชื่อถือ

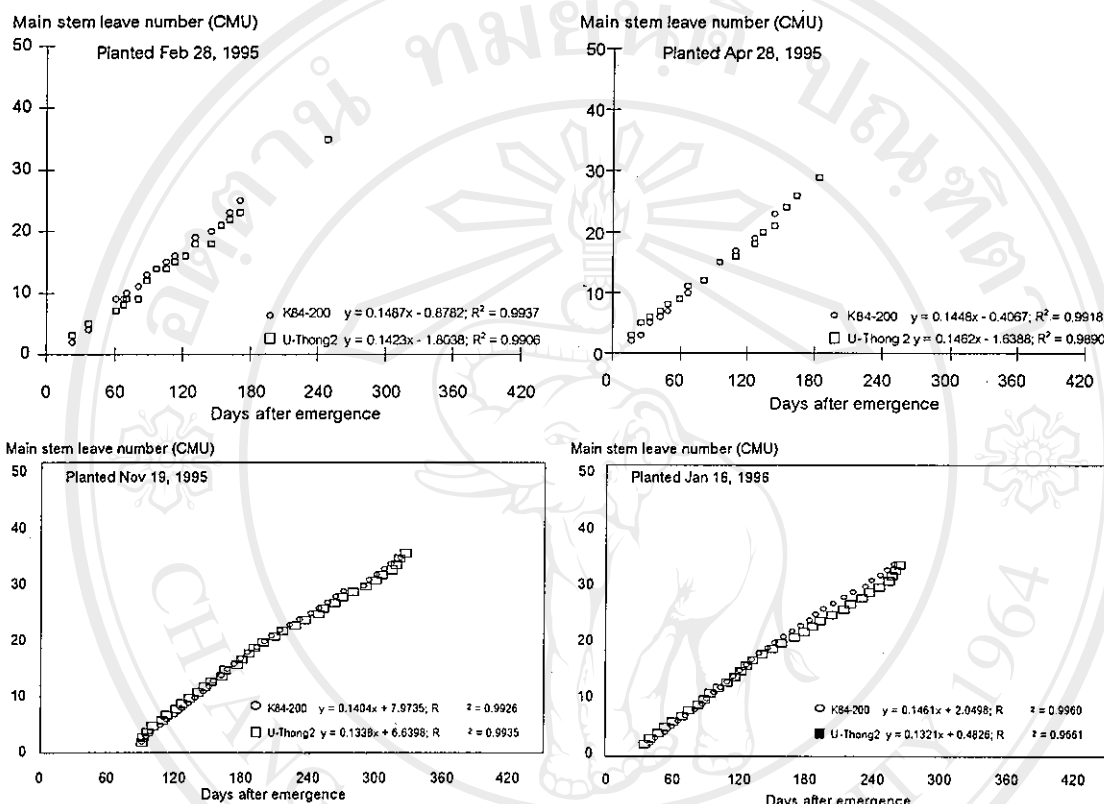
เมื่อเทียบกับอ้อยตราชากาเพิ่มขึ้นในอ้อยพันธุ์ U ในช่วงฤดูท้ายของฤดูกาลมีอัตราลดลง เนื่องจากอ้อยพันธุ์ U เข้าสู่ระยะการสร้างซ่อดอกและเม็ดซึ่งเป็นระยะสุดท้ายของอ้อยพันธุ์ K ในอ้อยพันธุ์ K มีการสร้างซ่อดอกช้ากว่าพันธุ์ U และมีอัตราการสร้างใบใหม่ของอ้อยพันธุ์ K ในอัตราใกล้เคียงกัน

การเจริญเติบโตของอ้อยในระหว่างฤดูปลูก (cane growth)

ผลการทดลองที่จะรายงานในเอกสารฉบับนี้เป็นผลการทดลองอ้อยปลูกและอ้อยตอปีที่หนึ่ง โดยแบ่งออกเป็นห้าส่วน คือ อิทธิพลของวันปลูกที่มีต่อน้ำหนักอ้อยสด ความสัมพันธ์ระหว่างระยะเวลาและน้ำหนักมวลชีวภาพแห่งความสัมพันธ์ระหว่างระยะเวลาและน้ำหนักกลั่นสด ความสัมพันธ์ระหว่างระยะเวลาและน้ำหนักในและการใบแห้ง ความสัมพันธ์ระหว่างระยะเวลาและจำนวนหน่ออ้อย อิทธิพลของวันปลูกที่มีต่อน้ำหนักสดของอ้อย และอิทธิพลของวันปลูกที่มีต่องค์ประกอบความหวานของอ้อย

ญี่ปุ่นที่ 12:

พัฒนาการของใบอ้อยปลูก มหาวิทยาลัยเชียงใหม่ (2538 และ 2539)



อิทธิพลของวันปลูกที่มีต่อน้ำหนักอ้อยสด น้ำหนักกล้าอ้อยสดของอ้อยปลูกต่อไร่ของทั้งสี่วันปลูกมีความแตกต่างกันอย่างชัดเจน (ตารางที่ 44) ในวันปลูก D3 อ้อยทั้งสองพันธุ์ให้ผลผลิตกล้าสดต่อไร่สูงสุด เฉลี่ยเป็น 25.8 และ 25.3 ตันต่อไร่ สำหรับพันธุ์ K และ พันธุ์ U ตามลำดับ วันปลูกที่ให้ผลผลิตอ้อยสูงสุดเป็นวันปลูกที่อ้อยมีอายุยาวที่สุด เก็บเกี่ยวเมื่ออ้อยมีอายุนับลงกว่า 335 วัน อยุ่ยาวกว่าอ้อยที่ปลูกใน D1, D2 และ D4 คิดเป็นร้อยละ 36, 83 และ 9 ตามลำดับ และมีจำนวนกล้าเฉลี่ยต่อไร่มากที่สุดอีกด้วย สูงกว่าอ้อยที่ปลูกใน D1, D2 และ D4 คิดเป็นร้อยละ 8, 79 และ 15 ตามลำดับสำหรับพันธุ์ U และสูงกว่าอ้อยที่ปลูกใน D1, D2 และ D4 คิดเป็นร้อยละ 25, 48 และ 25 ตามลำดับ สำหรับพันธุ์ K

วันปลูกอ้อย D3 ของแปลงทดลองในมหาวิทยาลัยเชียงใหม่มีระยะเวลาใกล้เคียงกับวันปลูกอ้อยในฤดู-แล้งอาศัยน้ำฝนของเกษตรกรชาวพื้นที่ของประเทศไทยโดยเฉพาะในภาคตะวันออกเฉียงเหนือ (พินกร กลมสอาด และคณะ, 2538) ในระยะ 2-3 เดือนแรกอ้อยที่ปลูกใน D3 มีพัฒนาการในอัตราต่ำเนื่องจากอุณหภูมิอากาศต่ำสุดมีค่าใกล้เคียงกับอุณหภูมิพื้นฐานสำหรับกระบวนการพัฒนาการและกระบวนการเจริญเติบโตของอ้อย โดยเฉพาะในพื้นที่จังหวัดเชียงใหม่ เมื่อเข้าสู่ช่วงต้นฤดูฝนในเดือนพฤษภาคมทำให้อ้อยที่ปลูกใน D3 มีพัฒนาการและการเจริญเติบโตที่ดีกว่าอ้อยที่ปลูกในวันปลูกอื่น

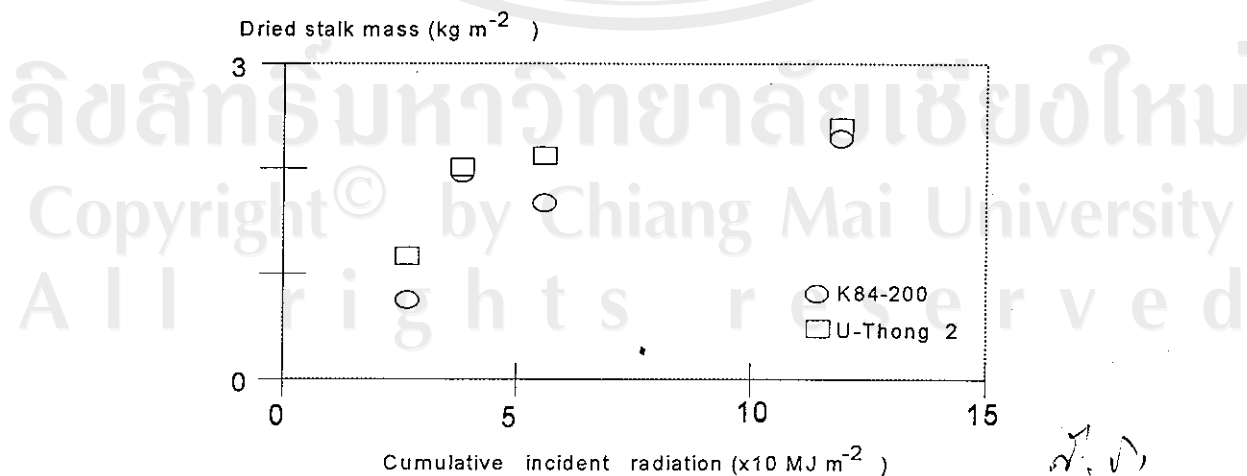
ตารางที่ 44: จำนวนลำอ้อย (ลำ/ไร่) และน้ำหนักสด (ตัน/ไร่) ของอ้อยปลูกและอ้อยตอนใหม่ พันธุ์ K และ U เมื่อเก็บเกี่ยว แปลงทดลองมหาวิทยาลัยเชียงใหม่ 2538-39

| Ds/Cultivars | Stalk number rai ⁻¹ | | Stalk fresh wt. Mg rai ⁻¹ | |
|------------------------------------|--------------------------------|--------|--------------------------------------|------|
| | K | U | K | U |
| ----- Plant crop (1995-1996) ----- | | | | |
| D 1 | 9,440 | 13,760 | 18.6 | 21.6 |
| D 2 | 8,000 | 8,320 | 9.9 | 13.5 |
| D 3 | 11,840 | 14,880 | 25.8 | 25.3 |
| D 4 | 9,440 | 12,960 | 21.8 | 23.0 |
| ----- Ratoon 1 (1996) ----- | | | | |
| D 1 | 11,680 | 17,280 | 19.8 | 24.3 |
| D 2 | 13,760 | 16,800 | 16.8 | 21.2 |

อ้อยทั้งสองพันธุ์ที่ปลูกใน D3 ได้รับพลังงานแสงอาทิตย์มากที่สุดเมื่อเทียบกับวันปลูกอื่น (รูปที่ 13) มากกว่า $11,000 \text{ MJ m}^{-2}$ คิดเป็นร้อยละ 200, 300, และ 114 ของพลังงานแสงอาทิตย์ที่ได้รับในวันปลูกที่ D1, D2, และ D4 ตามลำดับ สัดส่วนของพลังงานแสงอาทิตย์ที่ได้รับและเป็นประยุณ์ต่อกระบวนการสังเคราะห์แสงมีผลอยู่ในช่วงร้อยละ 12-30 ทำให้ประสิทธิภาพการใช้แสง (RUE) มีค่าอยู่ในช่วงระหว่าง $1.68-1.77 \text{ g m}^{-2}$ ซึ่งเป็นค่าที่จัดอยู่ในช่วงปานกลาง (Robertson et al, 1996; Inman-Bamber, 1991)

น้ำหนักแห้งมวลชีวภาพเห็นอิวดิน ในปี 2538 สามารถเก็บตัวอย่างอ้อยได้เฉพาะของ D1 เนื่องจากขาดแรงงานและฝนตกมาก น้ำหนักแห้งของมวลชีวภาพเห็นอิวดินของอ้อยทั้งสองพันธุ์ในส่วนปลูกของอ้อยปลูกและอ้อย

รูปที่ 13: ความสัมพันธ์ระหว่างพลังงานแสงอาทิตย์และน้ำหนักแห้งของลำต้นของอ้อยปลูก มหาวิทยาลัยเชียงใหม่ (2538 และ 2539)



เลขทะเบียน..... เลขหน่วย..... กําลังวิช
สำนักหอสมุด มหาวิทยาลัยเชียงใหม่

633,61

ต่อไปที่หนึ่งแสดงในตารางที่ 45 และ 46 ตามลำดับ น้ำหนักแห้งมวลซึ่งภาพเหนือผิวดินเพิ่มขึ้นตั้งแต่การเก็บตัวอย่างอ้อยครั้งแรกถึงการเก็บตัวอย่างครั้งสุดท้าย และเป็นไปตามที่คาดหมายไว้ น้ำหนักมวลซึ่งภาพของพันธุ์ U สูงกว่าพันธุ์ K แต่เมื่อความแตกต่างกันทางสถิติ น้ำหนักแห้งมวลซึ่งภาพเหนือผิวดินในระยะแรกของการเริ่มต้นเป็นส่วนใหญ่ในรูปของน้ำหนักใบและกากใบ

น้ำหนักแห้งมวลซึ่งภาพเหนือผิวดินในระดับนี้จัดว่าอยู่ในระดับปานกลาง ในประเทศไทยสเตรลเลียมีงานวิจัยและรายงานผลการผลิตจากไร่ผลิตยืนยันว่าในพื้นที่ที่มีพลังงานแสงอาทิตย์ระดับนี้อ้อย (พืช C4) สามารถให้ผลผลิตมวลซึ่งภาพแห้งเหนือผิวดินในช่วง $5,600\text{-}5,800 \text{ g m}^{-2}$ แสดงให้เห็นว่าการผลิตอ้อยในประเทศไทยสามารถเพิ่มผลผลิตได้อีกແเนื่อง

ตารางที่ 45: น้ำหนักแห้งของมวลซึ่งภาพเหนือผิวดินของอ้อยปลูก (กิโลกรัม ตรม⁻¹) มหาวิทยาลัยเชียงใหม่ 2538-2539

| D1 | | | D2 | | | D3 | | | D4 | | |
|-----|------|------|-----|------|------|-----|------|------|-----|------|------|
| DAE | K | U |
| 112 | 1.30 | 2.98 | 49 | | | 148 | 0.34 | 0.33 | 85 | 0.05 | 0.05 |
| 142 | 1.26 | 1.91 | 79 | | | 196 | 1.23 | 1.29 | 133 | 0.80 | 0.76 |
| 176 | 2.04 | 3.44 | 113 | 1.09 | | 226 | 1.94 | 1.67 | 163 | 1.26 | 1.74 |
| 203 | 2.92 | 3.18 | 140 | | | 245 | 2.62 | 3.32 | 182 | 1.70 | 2.35 |
| 238 | 3.78 | 5.96 | 175 | | | 281 | 2.84 | 3.58 | 218 | 2.50 | 2.83 |
| 248 | 1.76 | 2.36 | 183 | 1.23 | 1.67 | 308 | 3.93 | 3.47 | 245 | 2.39 | 3.05 |
| | | | | | | 335 | 3.72 | 4.34 | 272 | 4.62 | 3.84 |
| | | | | | | 370 | 5.38 | 4.69 | 307 | 4.82 | 5.39 |

ตารางที่ 46: น้ำหนักแห้งของมวลซึ่งภาพเหนือผิวดินของอ้อยต่อปีที่หนึ่ง (กิโลกรัม ตรม⁻¹) มหาวิทยาลัยเชียงใหม่ 2539

| D 1 | | | D 2 | | |
|-----|------|------|-----|------|------|
| DAE | K | U | DAE | K | U |
| 148 | 0.83 | 0.92 | 148 | 0.77 | 0.80 |
| 196 | 0.77 | 1.40 | 196 | 1.48 | 1.32 |
| 227 | 2.04 | 2.97 | 227 | 2.46 | 2.39 |
| 246 | 1.95 | 2.00 | 246 | 1.97 | 2.61 |
| 281 | 2.92 | 3.28 | 281 | 3.12 | 3.70 |
| 309 | 3.54 | 3.20 | 309 | 4.34 | 5.32 |

น้ำหนักสดของลำต้น การสะสมน้ำหนักสดของลำต้นอ้อยพันธุ์ U มีอัตราที่สูงกว่าการสะสมน้ำหนักใบและต้นของอ้อยพันธุ์ K (ตารางที่ 47 และ 48) โดยเฉพาะในระยะแรกของการเพาะปลูก เมื่อติดตามการสะสมน้ำหนักต่อไปในระยะเจ็ดเดือนหลังการออกพืชว่าอ้อยพันธุ์ K ยังมีการสะสมน้ำหนักอีกต่อไปในขณะที่อ้อยพันธุ์ U มีอัตราการสะสมน้ำหนักลดลง อย่างไรก็ตาม พบว่าการสะสมน้ำหนักแห้งของกากใบและน้ำหนักสดของลำต้นอ้อยในพันธุ์ U มีอัตราสูงกว่าอ้อยพันธุ์ K

ตารางที่ 47: น้ำหนักจำต้นสุดของข้ออ่ายปููก (กิโลกรัม ตรม⁻¹) มหาวิทยาลัยเชียงใหม่ 2538-2539

| D 1 | | | D 2 | | | D 3 | | | D 4 | | |
|-----|-------|-------|-----|------|------|-----|-------|-------|-----|-------|-------|
| DAE | K | U | DAE | K | U | DAE | K | U | DAE | K | U |
| 112 | | | 49 | | | 148 | | | 85 | 8.97 | |
| 142 | | | 79 | | | 196 | | | 133 | 13.59 | |
| 176 | 8.44 | 13.90 | 113 | 0.00 | 5.24 | 226 | | | 163 | 9.74 | 4.34 |
| 203 | 12.06 | 13.76 | 140 | | | 245 | 9.94 | 11.68 | 182 | 8.21 | 7.21 |
| 238 | 14.38 | 17.54 | 175 | | | 281 | 12.69 | 14.28 | 218 | 8.21 | 9.82 |
| 246 | 12.88 | 13.27 | 183 | 5.00 | 7.86 | 308 | 15.79 | 15.05 | 245 | 6.15 | 10.41 |
| | | | | | | 335 | 13.85 | 18.82 | 272 | 8.21 | 13.38 |
| | | | | | | 370 | 18.67 | 15.00 | 307 | 7.89 | 16.98 |
| | | | | | | 378 | 15.99 | 16.01 | 315 | 11.08 | 14.01 |

ตารางที่ 48: น้ำหนักจำต้นสุดของข้ออ่ายตอปีท่าน (กิโลกรัม ตรม⁻¹) มหาวิทยาลัยเชียงใหม่ 2539

| D 1 | | | D 2 | | |
|-----|------|------|-----|------|------|
| DAE | K | U | DAE | K | U |
| 148 | 0.15 | 0.27 | 148 | 0.19 | 0.22 |
| 196 | 0.27 | 0.49 | 196 | 0.59 | 0.42 |
| 227 | 1.16 | 1.75 | 227 | 1.41 | 1.33 |
| 246 | 0.95 | 1.10 | 246 | 1.00 | 1.28 |
| 281 | 2.00 | 2.21 | 281 | 2.03 | 2.49 |
| 309 | 2.18 | 1.77 | 309 | 2.46 | 3.21 |
| 336 | 3.69 | 4.00 | 336 | 4.00 | 4.21 |

ตารางที่ 49: น้ำหนักแห้งของจำต้นข้ออ่ายปููก (กิโลกรัม ตรม⁻¹) มหาวิทยาลัยเชียงใหม่ 2538-2539

| D 1 | | | D 2 | | | D 3 | | | D 4 | | |
|-----|------|------|-----|------|------|-----|------|------|-----|------|------|
| DAE | K | U |
| 112 | 0.83 | 2.31 | 49 | 0.00 | 0.00 | 148 | 0.09 | 0.08 | 85 | 0.00 | 0.00 |
| 142 | 0.87 | 1.26 | 79 | 0.00 | 0.00 | 196 | 0.56 | 0.57 | 133 | 0.26 | 0.20 |
| 176 | 1.23 | 2.08 | 113 | 0.00 | 0.69 | 226 | 1.15 | 0.93 | 163 | 0.66 | 0.83 |
| 203 | 1.87 | 1.92 | 140 | 1.00 | 0.00 | 245 | 1.77 | 2.15 | 182 | 1.00 | 1.64 |
| 238 | 2.41 | 4.15 | 175 | 0.00 | 0.00 | 281 | 1.67 | 2.26 | 218 | 1.62 | 1.77 |
| 246 | 0.56 | 0.60 | 183 | 0.30 | 0.44 | 308 | 2.46 | 2.15 | 245 | 1.36 | 2.05 |
| | | | | | | 335 | 2.56 | 2.77 | 272 | 3.08 | 2.56 |
| | | | | | | 370 | 3.90 | 3.28 | 307 | 3.28 | 3.69 |

ตารางที่ 50: น้ำหนักแห้งของลำต้นอ้อยตอบปีที่หนึ่ง (กิโลกรัม ตรม.⁻¹) มหาวิทยาลัยเชียงใหม่ 2539

| D 1 | | | D 2 | | |
|-----|------|------|-----|------|------|
| DAE | K | U | DAE | K | U |
| 148 | 0.15 | 0.27 | 148 | 0.19 | 0.22 |
| 196 | 0.27 | 0.49 | 196 | 0.59 | 0.42 |
| 227 | 1.16 | 1.75 | 227 | 1.41 | 1.33 |
| 246 | 0.95 | 1.10 | 246 | 1.00 | 1.28 |
| 281 | 2.00 | 2.21 | 281 | 2.03 | 2.49 |
| 309 | 2.18 | 1.77 | 309 | 2.46 | 3.21 |
| 336 | 3.69 | 4.00 | 336 | 4.00 | 4.21 |

น้ำหนักแห้งของใบและกาบใบ ในปี 2538 สามารถเก็บตัวอย่างอ้อยได้เฉพาะของ D1 เนื่องจากขาดแรงงาน และฝนตกชุก น้ำหนักแห้งของใบและกาบใบของอ้อยทั้งสองพันธุ์ในสี่วันปลูกของอ้อยปลูกละอ้อ ยอดปีที่หนึ่ง แสดงในตารางที่ 49 และ 50 ตามลำดับ น้ำหนักแห้งใบและกาบใบเพิ่มขึ้นตั้งแต่การเก็บตัวอย่างอ้อยครั้งแรกถึงการเก็บเกี่ยวครั้งสุดท้าย และเป็นไปตามที่คาดหมายไว้ แต่ไม่มีความแตกต่างกันทางสถิติ น้ำหนักแห้งของใบและกาบใบเป็นมวลเชื่อมโยงในระดับมากของกระบวนการเจริญเติบโต

ตารางที่ 51: น้ำหนักใบและกาบใบแห้งของอ้อยปลูก (กิโลกรัม ตรม.⁻¹) มหาวิทยาลัยเชียงใหม่ 2538-2539

| D1 | | | D2 | | | D3 | | | D4 | | |
|-----|------|------|-----|------|------|-----|------|------|-----|------|------|
| DAE | K | U |
| 112 | 0.47 | 0.66 | 49 | | | 148 | 0.25 | 0.24 | 85 | 0.05 | 0.05 |
| 142 | 0.59 | 0.65 | 79 | | | 196 | 0.67 | 0.72 | 133 | 0.55 | 0.56 |
| 176 | 0.81 | 1.36 | 113 | 0.00 | 0.39 | 226 | 0.79 | 0.74 | 163 | 0.60 | 0.91 |
| 203 | 1.05 | 1.25 | 140 | | | 245 | 0.85 | 1.16 | 182 | 0.70 | 0.71 |
| 238 | 1.37 | 1.81 | 175 | | | 281 | 1.17 | 1.32 | 218 | 0.89 | 1.07 |
| 246 | 1.20 | 1.76 | 183 | 0.93 | 1.23 | 308 | 1.47 | 1.32 | 245 | 1.03 | 1.00 |
| | | | | | | 335 | 1.15 | 1.58 | 272 | 1.54 | 1.27 |
| | | | | | | 370 | 1.48 | 1.40 | 307 | 1.54 | 1.70 |

ตารางที่ 52: น้ำหนักใบและกาบใบแห้งของอ้อยปลูก (กิโลกรัม ตรม.⁻¹) มหาวิทยาลัยเชียงใหม่ 2539

| D1 | | | D2 | | |
|-----|------|------|-----|------|------|
| DAE | K | U | DAE | K | U |
| 148 | 0.68 | 0.65 | 148 | 0.58 | 0.57 |
| 196 | 0.50 | 0.90 | 196 | 0.89 | 0.90 |
| 227 | 0.88 | 1.23 | 227 | 1.06 | 1.06 |
| 246 | 1.01 | 0.89 | 246 | 0.97 | 1.32 |
| 281 | 0.92 | 1.07 | 281 | 1.09 | 1.21 |
| 309 | 1.36 | 1.43 | 309 | 1.88 | 2.12 |
| 336 | 1.66 | 1.63 | 336 | 1.85 | 1.84 |
| 371 | 1.69 | 1.47 | 371 | 1.97 | 2.33 |

จำนวนหน่ออ้อย จำนวนหน่ออ้อยต่อ กม.² จำนวนลดลงตั้งแต่ปลูกถึงระยะเวลาเก็บเกี่ยว (ตารางที่ 53 และ 54) ทั้งนี้ เป็นผลไกในการสร้างผลผลิตของพืชตระกูลหญ้าทั่วไป (Yoshida, 1981) พันธุ์ U มีจำนวนหน่อต่อ กม.² สูงกว่าพันธุ์ K เนื่องจาก 4 ลำต้นต่อ กม.² ตามลำดับ หน่อเหล่านี้จะพัฒนาไปเป็นลำอ้อยที่พืชใช้ในการสะสมน้ำตาล

ในช่วงการเก็บเกี่ยวพบว่า จำนวนลำต่อไร่ของอ้อยพันธุ์ U มีมากกว่าอ้อยพันธุ์ K และไม่มีความแตกต่างทางสถิติ การวิเคราะห์ทางสถิติพบว่า น้ำหนักสดของอ้อยสดพันธุ์ U เฉลี่ย 15.2 ตันต่อไร่ และพันธุ์ K เฉลี่ย 13.3 ตันต่อไร่ และไม่มีความแตกต่างอย่างมีนัยทางสถิติ (ตารางที่ 44)

ตารางที่ 53 จำนวนหน่อ/ลำข้องอ้อยปลูก (จำนวน ตรม⁻¹) มหาวิทยาลัยเชียงใหม่ 2538-2539

| D1 | | | D2 | | | D3 | | | D4 | | |
|-----|-------|-------|-----|------|------|-----|-------|-------|-----|-------|-------|
| DAE | K | U | DAE | K | U | DAE | K | U | DAE | K | U |
| 112 | 12.56 | 19.74 | 49 | | | 148 | 18.46 | 15.64 | 85 | 8.97 | 10.77 |
| 142 | 10.77 | 12.31 | 79 | | | 196 | 13.59 | 12.05 | 133 | 13.59 | 10.77 |
| 176 | 7.18 | 9.74 | 113 | 0.00 | 2.82 | 226 | 9.23 | 8.46 | 163 | 9.74 | 10.51 |
| 203 | 6.92 | 8.21 | 140 | | | 245 | 8.46 | 9.23 | 182 | 8.21 | 8.72 |
| 238 | 7.95 | 10.00 | 175 | | | 281 | 8.21 | 8.97 | 218 | 8.21 | 8.72 |
| 246 | 7.22 | 8.58 | 183 | 5.00 | 5.22 | 308 | 7.95 | 7.44 | 245 | 6.15 | 6.41 |
| | | | | | | 335 | 6.15 | 10.26 | 272 | 8.21 | 7.69 |
| | | | | | | 370 | 8.21 | 8.72 | 307 | 7.69 | 7.18 |

ตารางที่ 54: จำนวนหน่อ/ลำข้องอ้อยตอปีที่หนึ่ง (จำนวน ตรม⁻¹) มหาวิทยาลัยเชียงใหม่ 2539

| D1 | | | D2 | | |
|-----|-------|-------|-----|-------|-------|
| DAE | K | U | DAE | K | U |
| 148 | 24.36 | 31.28 | 148 | 18.97 | 23.33 |
| 196 | 7.18 | 15.38 | 196 | 10.00 | 11.54 |
| 227 | 8.97 | 12.31 | 227 | 7.95 | 10.51 |
| 246 | 10.51 | 8.72 | 246 | 7.18 | 11.79 |
| 281 | 6.92 | 11.03 | 281 | 9.23 | 11.79 |
| 309 | 6.92 | 10.51 | 309 | 8.72 | 11.79 |
| 336 | 8.72 | 11.28 | 336 | 9.74 | 12.31 |
| 371 | 6.67 | 10.26 | 371 | 7.69 | 14.36 |

คุณภาพความหวานของน้ำอ้อย ในอ้อยปลูกพบว่าเริ่มมีค่า CCS เมื่ออ้อยมีอายุได้ 5 เดือน (ตารางที่ 55) และมีค่าสูงขึ้นตามลำดับจนกระทั่งเก็บเกี่ยว อ้อยทั้งสองพันธุ์มีค่า CCS ใกล้เคียงกัน

ในอ้อยตอปีที่หนึ่งพบว่าเริ่มมีค่า CCS เมื่ออ้อยมีอายุมากกว่า 5 เดือน (ตารางที่ 56) และมีค่าสูงขึ้นตามลำดับจนกระทั่งเก็บเกี่ยว พันธุ์ K มีค่า CCS สูงกว่าพันธุ์ U เล็กน้อยโดยเฉพาะในช่วงการเก็บเกี่ยวมีค่าเป็น 11.5 และ 11.2 ตามลำดับ

ตารางที่ 55: ค่า CCS ของอ้อยปลูก มหาวิทยาลัยเชียงใหม่ 2538-2539

| D1 | | | D2 | | | D3 | | | D4 | | |
|-----|------|-------|-----|------|------|-----|-------|-------|-----|-------|-------|
| DAE | K | U | DAE | K | U | DAE | K | U | DAE | K | U |
| 176 | 2.58 | 3.73 | 113 | 1.65 | | 226 | | | 163 | 1.55 | 1.55 |
| 203 | 5.67 | 5.20 | 140 | | | 245 | 4.24 | 4.22 | 182 | 3.05 | 3.64 |
| 238 | 8.88 | 10.81 | 175 | | | 281 | 7.37 | 6.48 | 218 | 6.06 | 6.96 |
| 246 | 9.84 | 11.29 | 183 | 8.50 | 8.39 | 308 | 8.71 | 8.02 | 245 | 7.65 | 7.60 |
| | | | | | | 335 | 10.70 | 10.73 | 272 | 11.05 | 11.24 |

ตารางที่ 56: ค่า CCS ของอ้อยตอบที่หนึ่ง มหาวิทยาลัยเชียงใหม่ 2539

| D1 | | | D2 | | |
|-----|-------|-------|-----|-------|-------|
| DAE | U | K | DAE | U | K |
| 227 | 0.00 | 0.00 | 227 | 1.42 | 0.00 |
| 246 | 3.76 | 3.74 | 246 | 4.59 | 4.29 |
| 281 | 6.65 | 7.70 | 281 | 6.45 | 8.15 |
| 309 | 6.36 | 7.67 | 309 | 9.50 | 11.28 |
| 336 | 10.90 | 11.27 | 336 | 11.61 | 11.76 |

ระดับ polarity ในอ้อยปูกระดับ polaritiy มีแนวโน้มเพิ่มขึ้นเมื่ออ้อยมีอายุมากขึ้น (ตารางที่ 57) ในช่วงเก็บเกี่ยวอ้อยพบว่าค่า polarity ของอ้อยปูกรอยู่ในช่วง 12.37-15.06 และไม่มีความแตกต่างกันทางสถิติ

ในช่วงการเก็บเกี่ยวของอ้อยตอบที่หนึ่งของ D1 และ D2 (ตารางที่ 58) พบว่า ค่า polarity ของอ้อยทั้งสองพันธุ์มีแนวโน้มสูงขึ้นเข้าดียกันกับอ้อยปูก และสูงมากกว่าอ้อยปูกร้อย่างสิ้นเปลือง ค่า polarity ของอ้อยตอบที่หนึ่ง อยู่ในช่วง 15.34-15.92 ของน้ำหนักแห้ง

ตารางที่ 57: ค่า polarity ของอ้อยปูก มหาวิทยาลัยเชียงใหม่ 2538-2539

| D 1 | | | D 2 | | | D 3 | | | D 4 | | |
|-----|-------|-------|-----|-------|-------|-----|-------|-------|-----|-------|-------|
| DAE | U | K |
| 112 | 9.46 | 9.54 | 49 | | | 148 | | | 85 | | |
| 142 | 2.03 | 3.40 | 79 | | | 196 | | | 133 | | |
| 176 | 7.20 | 6.05 | 113 | 2.81 | 0.00 | 226 | | | 163 | 2.52 | 0.00 |
| 203 | 8.71 | 9.29 | 140 | | | 245 | 7.25 | 7.36 | 182 | 6.74 | 6.71 |
| 238 | 14.69 | 12.79 | 175 | | | 281 | 9.59 | 10.57 | 218 | 10.38 | 9.52 |
| 246 | 15.01 | 13.83 | 183 | 12.37 | 12.34 | 308 | 11.07 | 11.79 | 245 | 11.09 | 10.94 |
| | | | | | | 335 | 14.43 | 14.24 | 272 | 15.03 | 15.06 |

ตารางที่ 58: ค่า polarity ของอ้อยตอบที่หนึ่ง มหาวิทยาลัยเชียงใหม่ 2539

| D 1 | | | D 2 | | |
|-----|-------|-------|-----|-------|-------|
| DAE | U | K | DAE | U | K |
| 246 | 7.13 | 7.24 | 246 | 7.79 | 7.35 |
| 281 | 9.94 | 11.25 | 281 | 9.80 | 11.34 |
| 309 | 9.72 | 11.11 | 309 | 13.09 | 14.75 |
| 336 | 15.34 | 15.56 | 336 | 15.55 | 15.92 |

ระดับ brix ในอ้อยปูกระดับ brix มีแนวโน้มเพิ่มขึ้นเมื่ออ้อยมีอายุมากขึ้น (ตารางที่ 59) ในช่วงเก็บเกี่ยวอ้อยพบว่าค่า brix ของอ้อยปูกรอยู่ในช่วง 16.24-18.77 และไม่มีความแตกต่างกันทางสถิติ

ในช่วงการเก็บเกี่ยวของอ้อยตอบที่หนึ่งของ D1 และ D2 (ตารางที่ 60) พบว่า ค่า brix ของอ้อยทั้งสองพันธุ์มีแนวโน้มสูงขึ้นเข้าดียกันกับอ้อยปูก และสูงมากกว่าอ้อยปูกร้อย่างสิ้นเปลือง ค่า brix ของอ้อยตอบที่หนึ่ง อยู่ในช่วง 18.15-18.99

ปริมาณเยื่อไผ่ ในอ้อยปูกปริมาณเยื่อไผ่มีแนวโน้มเพิ่มขึ้นเมื่ออ้อยมีอายุมากขึ้น (ตารางที่ 61) ยกเว้นในวันปูก D1 ซึ่งปริมาณเยื่อไผ่ในอ้อยทั้งสองพันธุ์มีแนวโน้มลดลง เมื่อเก็บเกี่ยวปริมาณเยื่อไผ่ของอ้อยทั้งสองพันธุ์อยู่ในร้อยละ 9-12 ของน้ำหนักแห้ง และไม่มีความแตกต่างกันทางสถิติ

ตารางที่ 59: ค่า ber ของอ้อยปลูก มหาวิทยาลัยเชียงใหม่ 2538-2539

| D 1 | | | D 2 | | | D 3 | | | D 4 | | |
|-----|-------|-------|-----|-------|-------|-----|-------|-------|-----|-------|-------|
| DAE | U | K |
| 112 | 1.64 | 2.07 | 49 | | | 148 | | | 85 | | |
| 142 | 10.20 | 10.00 | 79 | | | 196 | | | 133 | | |
| 176 | 12.25 | 11.80 | 113 | 4.37 | | 226 | | | 163 | 3.84 | |
| 203 | 13.37 | 13.99 | 140 | | | 245 | 11.60 | 11.93 | 182 | 11.52 | 11.67 |
| 238 | 18.16 | 18.78 | 175 | | | 281 | 12.63 | 13.59 | 218 | 13.89 | 13.38 |
| 246 | 18.77 | 18.06 | 183 | 16.60 | 16.24 | 308 | 13.85 | 14.64 | 245 | 14.93 | 14.29 |
| | | | | | | 335 | 17.31 | 17.13 | 272 | 18.01 | 18.01 |

ตารางที่ 60: ค่า ber ของอ้อยตอปีที่หนึ่ง มหาวิทยาลัยเชียงใหม่ 2539

| D 1 | | | D 2 | | |
|-----|-------|-------|-----|-------|-------|
| DAE | U | K | DAE | U | K |
| 246 | 12.39 | 12.75 | 246 | 12.49 | 11.91 |
| 281 | 13.29 | 14.75 | 281 | 13.44 | 14.54 |
| 309 | 13.63 | 14.74 | 309 | 16.12 | 17.03 |
| 336 | 18.99 | 18.67 | 336 | 18.15 | 18.51 |

ในช่วงการเก็บเกี่ยวของอ้อยตอปีที่หนึ่ง (ตารางที่ 62) พบว่า ปริมาณเยื่อไนของอ้อยทั้งสองพันธุ์มีแนวโน้มสูงขึ้นและสูงมากกว่าอ้อยปลูกทั้งสี่ชนิด ปริมาณเยื่อไนเฉลี่ย อูฐในช่วงร้อยละ 11.20-12.47 ของน้ำหนักแห้ง

ตารางที่ 61: ค่า fiber ของอ้อยปลูก มหาวิทยาลัยเชียงใหม่ 2538-2539

| D 1 | | | D 2 | | | D 3 | | | D 4 | | |
|-----|-------|-------|-----|-------|-------|-----|-------|-------|-----|-------|-------|
| DAE | U | K |
| 112 | 10.87 | 10.63 | 49 | | | 148 | | | 85 | | |
| 142 | 11.50 | 11.50 | 79 | | | 196 | | | 133 | | |
| 176 | 11.55 | 11.78 | 113 | 3.83 | | 226 | | | 163 | 3.10 | |
| 203 | 11.50 | 11.50 | 140 | | | 245 | 9.57 | 9.00 | 182 | 8.43 | 7.17 |
| 238 | 9.88 | 11.22 | 175 | | | 281 | 9.47 | 8.93 | 218 | 10.20 | 9.73 |
| 246 | 9.06 | 10.18 | 183 | 11.10 | 11.32 | 308 | 8.37 | 7.43 | 245 | 8.13 | 8.70 |
| | | | | | | 335 | 9.87 | 8.90 | 272 | 9.63 | 11.37 |
| | | | | | | 370 | 11.53 | 10.60 | 307 | 10.93 | 11.87 |

ตารางที่ 62: ค่า fiber ของอ้อยตอปีที่หนึ่ง มหาวิทยาลัยเชียงใหม่ 2539

| D 1 | | | D 2 | | |
|-----|-------|-------|-----|-------|-------|
| DAE | U | K | DAE | U | K |
| 246 | 8.40 | 8.80 | 246 | 8.13 | 7.83 |
| 281 | 9.47 | 9.40 | 281 | 8.83 | 9.93 |
| 309 | 8.87 | 8.40 | 309 | 9.93 | 9.23 |
| 336 | 11.77 | 12.13 | 336 | 11.20 | 12.47 |

ส่วนที่ 1 การประมาณผลผลิตอ้อยโดยใช้แบบจำลองพัฒนาการ
และการเจริญเติบโตของอ้อย

พัฒนาการของอ้อย

บุญมี ศิริ ทินกร กลมสะอาด อ้อยทิน จันทร์เมือง
สรรเสริญ เสียงไส อิสรี เก่งนอก
ผาสุข ล้มรุ่งเรืองรัตน์ นิพนธ์ เอี้ยมสุภาณิต
ปรีชา พราหมณีย์ อรรถชัย จินตะเวช
ศักดีดา จงแก้ววัฒนา สุวิทย์ เลาหศิริวงศ์
และ เฉลิมพล ไหลรุ่งเรือง

ลิขสิทธิ์มหาวิทยาลัยเชียงใหม่
Copyright © by Chiang Mai University
All rights reserved

การวิจัยทางเกษตรในประเทศไทยที่เกี่ยวข้องกับพืชสวนใหญ่ให้ความสนใจศึกษากระบวนการเจริญเติบโต (growth) เช่น การเพิ่มน้ำหนักแห้ง มากกว่ากระบวนการพัฒนาการของพืช (phenology) เนื่องจากลักษณะดังกล่าวสังเกตได้ชัดเจนและเปลี่ยนแปลงตามอายุของพืช แต่การเปลี่ยนแปลงกระบวนการพัฒนาการของพืชนั้นเป็นสิ่งที่ยากและมีความสัมพันธ์กับการเปลี่ยนแปลงสัณฐานวิทยาที่แสดงออก (morphological appearance) ของพืช และมีผลต่อการกระจายการเจริญเติบโตไปยังส่วนต่าง ๆ ของพืช การสร้างใบที่มากกว่าเดิม การสะสมแบ่ง น้ำตาล การอุดตอก การติดเมล็ด เป็นต้น ดังนั้นการจัดการทรัพยากรที่จำเป็นต่อการผลิตพืชจึงจำเป็นต้องแยกและสร้างความเข้าใจพื้นฐานของทั้งสองกระบวนการออกจากกัน เพื่อให้ทราบว่าพัฒนาการของพืชนั้นเปลี่ยนแปลงภายใต้สภาพแวดล้อมในบริเวณที่ปลูกพืชนั้น ๆ อาทิ พลังงานแสงอาทิตย์ อุณหภูมิ ช่วงความยาวของวัน และความชื้นของดินและอากาศ และปริมาณธาตุอาหารเป็นสำคัญ อย่างไรก็ตามยังไม่มีการศึกษาพัฒนาการของอ้อยและอิทธิพลของการจัดการที่มีต่อผลผลิตอ้อยทั้งในประเทศไทยและต่างประเทศแต่สำหรับพืชอื่นมีการศึกษาพัฒนาการกันแล้วหลายพืช เช่น ถั่วเหลือง (Fehr et al., 1971) ถั่วลิสง (Boote, 1982) และข้าว (Singh, 1985; Jintrawat, 1991) และในข้าวสาลี O'Toole และ Stockle (1991) พบว่าการพัฒนาการของข้าวสาลีสามารถแบ่งเป็นสามช่วงคือ ช่วงของการออกซีดของอุดตอก และช่วงของการสูกแก่ ซึ่งแต่ละช่วงของการพัฒนาการดังกล่าว ข้าวสาลีมีขบวนการทางสรีรวิทยาที่แตกต่างกันและตอบสนองต่อการสะสมของอุณหภูมิที่แตกต่างกัน เป็นต้น

การกำหนดพัฒนาการของพืชที่มาตราฐานเป็นที่ยอมรับของทุกฝ่ายเป็นเรื่องที่จำเป็นมาก เนื่องจากผลผลิตของอ้อยทั้งในด้านน้ำหนัก และน้ำตาล ได้รับอิทธิพลจากการจัดการในช่วงเวลาต่างกันย่อมมีความแตกต่างกัน เช่นคำแนะนำในการใช้ปุ๋ยในตัวเรื่องในอ้อยเมื่ออายุได้สองและสี่เดือน เป็นคำแนะนำที่มีประสิทธิภาพประดับหนึ่ง แต่ประสิทธิภาพการใช้ปุ๋ย และได้น้ำหนักแห้งจะสูงขึ้น หากคำแนะนำสามารถกำหนดเฉพาะเจาะจงได้ว่า ให้ใช้ปุ๋ยเมื่อจำหลักของอ้อยพันธุ์มีพัฒนาการถึงในที่ 14 หรือมีหน่อสามหน่อ เป็นต้น

การศึกษามีจุดประสงค์หลักเพื่อศึกษาพัฒนาการของอ้อยสีพันธุ์ ซึ่งองค์ความรู้ของพัฒนาการของอ้อยในตำแหน่งใบที่ต่างกัน การเพิ่มน้ำหนักแห้ง หรือผลผลิตของน้ำตาล และนำความเข้าใจไปกำหนดพัฒนาการของอ้อยเพื่อใช้ในแบบจำลองพืช

อุปกรณ์และวิธีการ

ใช้อ้อยสีพันธุ์ได้แก่ CP 78-1628, K 88-92, K84-200, และ U-Thong 2 ซึ่งมีความแตกต่างกันด้านขนาดของใบ, พันธุ์ CP 78-1628 มีความกว้างของใบอยู่กว่า 4 ซม. พันธุ์ K 88-92 มีความกว้างของใบอยู่ระหว่าง 4-6 ซม. พันธุ์ K 84-200 และ พันธุ์ U-Thong 2 มีความกว้างของใบมากกว่า 6 ซม. ดำเนินการทดลองสามสถานีคือ แปลงทดลองสถานีวิจัยและฝึกอบรมเกษตรแปลงเที่ยง คณะเกษตรศาสตร์ มหาวิทยาลัยเชียงใหม่ (CMU) แปลงทดลองภาควิชาพืชไช่ คณะเกษตรศาสตร์ มหาวิทยาลัยขอนแก่น (KKU) และแปลงทดลองศูนย์วิจัยพืชไช่สุพรรณบุรี (SP) ทุกสถานีเพาะกล้าอ้อยทั้งสี่พันธุ์แล้วย้ายปลูกในถังขึ้นต้นได้แล้ว

ผ่าศูนย์กลางหนึ่งเมตรเพื่อความสะดวกในการจัดการน้ำ น้ำย แลกการป้องกันกำจัดศัตรูก็อย กำหนดการปลูกและการข้าวกล้าปลูกมีแสดงในตารางข้างล่างนี้

| สถานีทดลอง | วันเพาะกล้า | วันย้ายปลูก |
|---------------|--------------|--------------|
| ม.ขอนแก่น | 6 ต.ค. 2538 | 20 ต.ค. 2538 |
| ม.เชียงใหม่ | 19 ต.ค. 2538 | 21 ต.ค. 2538 |
| ศว.สุพรรณบุรี | 19 ต.ค. 2538 | 8 พ.ย. 2538 |

ทำการบันทึกข้อมูลอากาศราย 10 นาที และรวมเป็นรายวัน โดยใช้เครื่องบันทึกข้อมูลกึ่งอัตโนมัติ UNIDATA ที่ได้มีการติดตั้งในพื้นที่ทำการทดลองแล้ว ทำการบันทึกข้อมูลรายต้นดังต่อไปนี้

- 1) วันที่ไปแต่ละใบแผ่นที่
- 2) ความกว้างของใบและความยาวของใบเมื่อวันที่ใบนั้น ๆ แผ่นเต็มที่
- 3) จำนวนหน่ออ้อยในแต่ละวันที่ใบใหม่แผ่นเต็มที่
- 4) คำนวนพื้นที่ใบของแต่ละใบ และทำการวัดพื้นที่ใบโดยใช้ leaf area meter

ผลการศึกษา

ความสัมพันธ์ระหว่างพัฒนาการของใบกับความกว้างของใบอ้อย

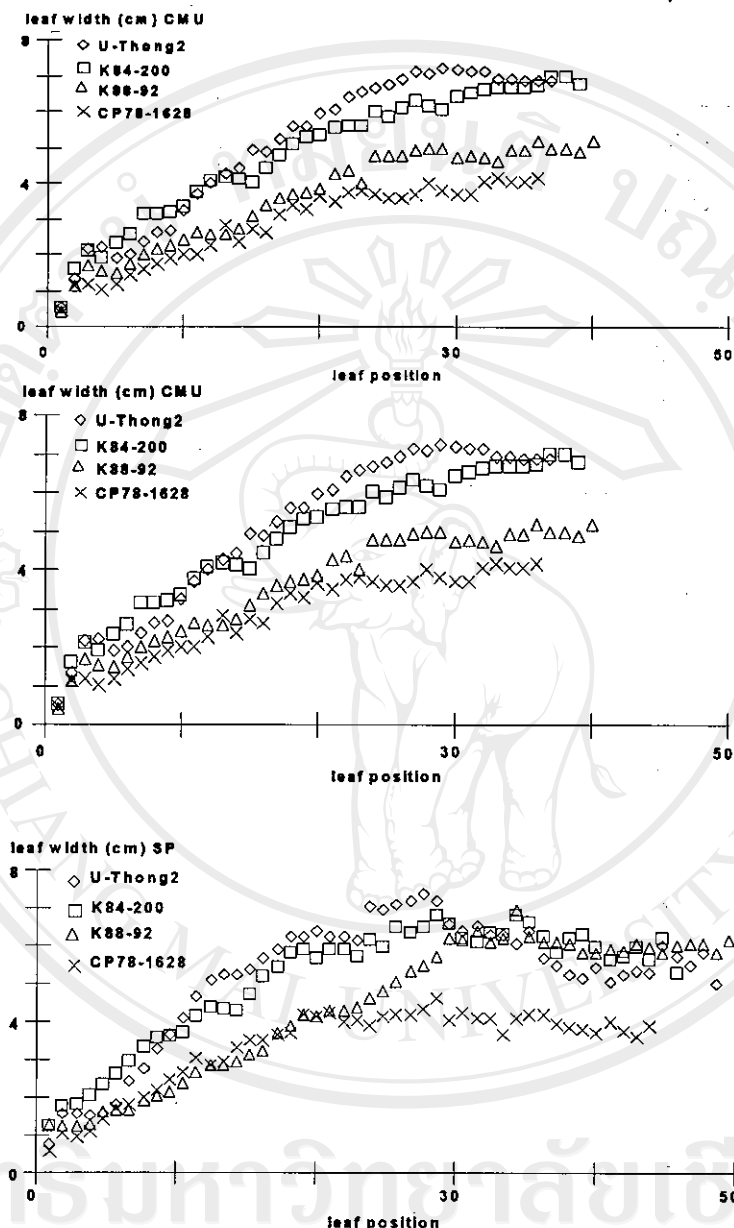
อ้อยมีขนาดของใบกว้างขึ้นตามตำแหน่งของใบบนลำหลัก (รูปที่ 14) และมีแนวโน้มเช่นเดียวกันทั้งสามสถานี ใบอ้อยที่ 1-2 มีความกว้างของใบอยู่ระหว่าง 1.0-1.5 เซนติเมตร ความกว้างของใบเพิ่มมากขึ้นเป็น 2.0 เซนติเมตรในใบที่ 3 และหลังจากระยะใบที่ 3 แผ่ขยายเต็มที่แล้ว ความกว้างของใบเพิ่มขึ้นค่อนข้างชัดเจน และสามารถแยกออกตามพันธุ์อ้อยได้ ความกว้างของใบยังคงเพิ่มขึ้นเป็นลำดับ ตามตำแหน่งของใบข้ออย จนกระทั่งถึงตำแหน่งใบที่ 30-32 บนลำต้นหลัก ความกว้างของใบเฉลี่ยจากสามสถานีเรียงตามลำดับได้ดังนี้ พันธุ์ P-Thong 2, K 84-200, K 8892, และ CP 78-1628 มีความกว้างของใบเฉลี่ยเป็น 7.17; 6.56; 5.23; และ 4.11 ซม. ตามลำดับ (ตารางที่ 63) โดยความกว้างมากที่สุดของใบมีความแตกต่างกันในทางสถิติ

ความสัมพันธ์ระหว่างพัฒนาการของใบกับความยาวของใบอ้อย

ความยาวของใบอ้อยทั้งสี่พันธุ์ที่ใช้ทดสอบเพิ่มมากขึ้นตามตำแหน่งของใบเช่นเดียวกับความกว้างของใบอ้อย และมีแนวโน้มเช่นเดียวกันทั้งสามสถานี การเพิ่มความยาวของใบเพิ่มขึ้นมากตั้งแต่ใบที่ 1-3 ซึ่งเห็นได้ชัดเจนว่า มีความชันของเส้นกราฟมากกว่าช่วงอื่น ๆ (รูปที่ 14) หลังจากใบที่ 3 แผ่ขยายเต็มที่แล้วอัตราการเพิ่มความยาวของใบเริ่มลดลง ความยาวของใบอ้อยทั้ง 4 พันธุ์มีมากขึ้นจนกระทั่งอ้อยมีใบที่ 30 แผ่ขยายเต็มที่

รูปที่ 14:

ความกว้างของใบ (leaf width) เป็นเรื่นติเมตร ของอ้อย 4 พันธุ์จากสามสถานี



ตารางที่ 63: ความกว้างของใบอ้อยพันธุ์เมื่อมีพัฒนาการถึงใบที่ 30 แผ่ขยายเต็มที่

สถานที่ทดลอง

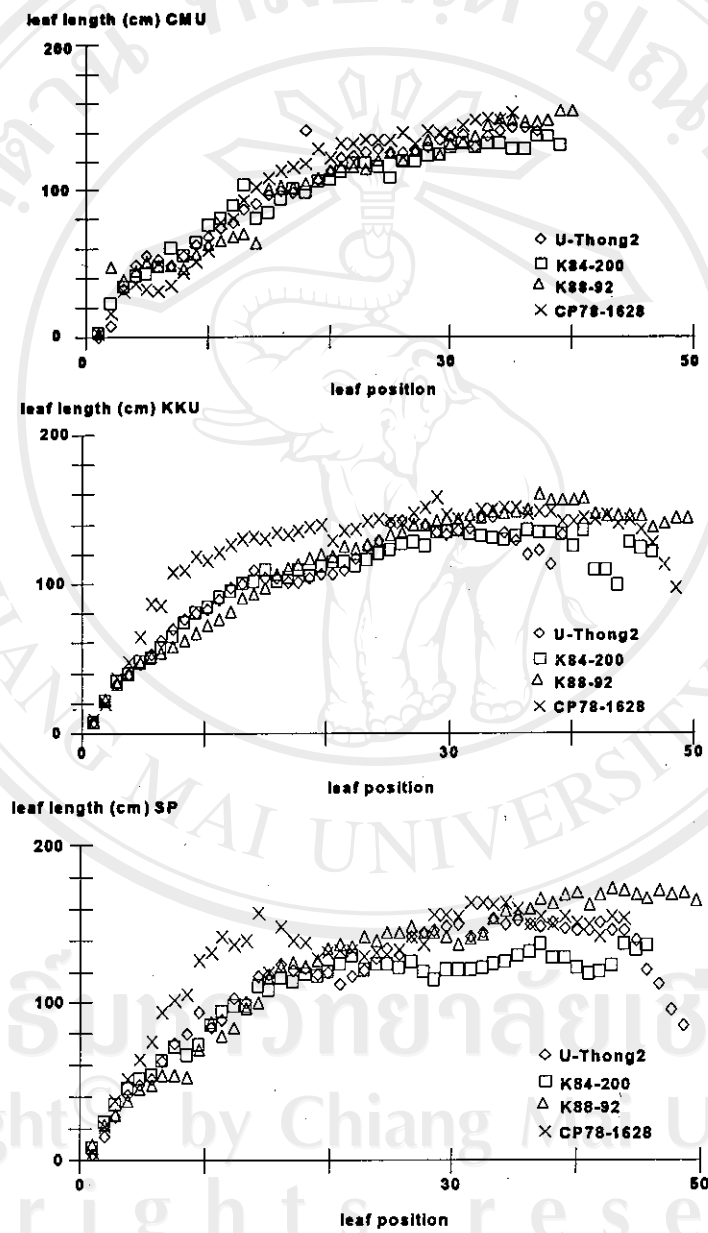
ความกว้างของใบที่ 30

| | U-Thong 2 | K 84-200 | K 88-92 | CP 78-1628 |
|------|-----------|----------|---------|------------|
| CMU | 7.20 | 6.40 | 4.72 | 3.67 |
| KKU | 7.10 | 6.47 | 5.28 | 4.05 |
| SP | 7.20 | 6.80 | 5.70 | 4.60 |
| Mean | 7.17a | 6.56b | 5.23c | 4.11d |

ค่าเฉลี่ยที่ความหลังด้วยตัวอักษรที่เหมือนกันไม่มีความแตกต่างกันทางสถิติ โดยใช้ DMRT ที่ระดับความเชื่อมั่น 95%

ความยาวเฉลี่ยของใบที่ 30 เรียงตามลำดับได้ดังนี้ พันธุ์ CP 78-1628, U-Thong 2, K 88-92, K 84-200 มีความยาวในเฉลี่ยเป็น 148.7; 140.5; 138.5; และ 123.2 ซม. ตามลำดับ (ตารางที่ 64)

รูปที่ 15: ความยาวของใบ (leaf width) เป็นเซ็นติเมตร ของอ้อยพันธุ์จากสามสถานี



ตารางที่ 64: ความยาวของใบอ้อยสีพันธุ์เมื่อมีพัฒนาการถึงใบที่ 30 แผ่นขยายเต็มที่

| สถานที่ทดลอง | ความยาวใบที่ 30 (เซ้นติเมตร) | | | |
|--------------|------------------------------|----------|---------|------------|
| | U-Thong 2 | K 84-200 | K 88-92 | CP 78-1628 |
| CMU | 136.9 | 129.4 | 131.5 | 139.4 |
| KKU | 139.1 | 126.3 | 139.4 | 161.2 |
| SP | 146.6 | 116.0 | 144.7 | 155.5 |
| Mean | 140.5b | 123.2d | 138.5c | 144.7a |

ค่าเฉลี่ยที่ความหลังด้วยตัวอักษรที่เหมือนกันไม่มีความแตกต่างกันทางสถิติ โดยใช้ DMRT ที่ระดับความเชื่อมั่น 95%

ความสัมพันธ์ระหว่างพัฒนาการของใบกับพื้นที่ใบอ้อย

พื้นที่ใบอ้อยเพิ่มขึ้นเมื่อพืชมีพัฒนาการเพิ่มขึ้น โดยการเพิ่มของพื้นที่ใบมีมากหลังจากระยะที่อ้อยมีใบที่ 3 (ช่วงที่ 16) เนื่องเดียวกับการเพิ่มขึ้นของความกว้าง และความยาวของใบ พื้นที่ใบอ้อยทุกพันธุ์มีขนาดสูงสุดเมื่ออ้อยมีพัฒนาการถึงระยะใบที่ 30 แผ่นขยายเต็มที่ อ้อยแต่ละพันธุ์มีขนาดของพื้นที่ใบขนาดคลาดเคลื่อนตั้งต่อไปนี้ พันธุ์ U-Thong 2; K84-200; CP 78-1628; และ K 88-92 มีพื้นที่ใบเป็น 744; 597; 506; และ 502 ตารางเซ็นติเมตร ตามลำดับ ซึ่งเป็นที่น่าสังเกตว่าขนาดของพื้นที่ใบของอ้อยขึ้นอยู่กับความกว้างของใบมากกว่าความยาวของใบอ้อย (ตารางที่ 65)

ตารางที่ 65: พื้นที่ใบของอ้อยสีพันธุ์ (ตารางเซ็นติเมตร) เมื่อมีพัฒนาการถึงใบที่ 30 แผ่นขยายเต็มที่จากสามสถานที่ทดลอง

| สถานที่ทดลอง | พื้นที่ใบอ้อยที่ 30 | | | |
|--------------|---------------------|---------|--------|-----------|
| | U-Thong 2 | K84-200 | K88-92 | CP78-1628 |
| CMU | 676.5 | 687.5 | 459.7 | 382.75 |
| KKU | 644.4 | 694.3 | 632.9 | 594.3 |
| SP | 911.0 | 609 | 612.0 | 640.0 |
| Mean | 744.0a | 596.9b | 501.5c | 505.7c |

ค่าเฉลี่ยที่ความหลังด้วยตัวอักษรที่เหมือนกันไม่มีความแตกต่างกันทางสถิติ โดยใช้ DMRT ที่ระดับความเชื่อมั่น 95%

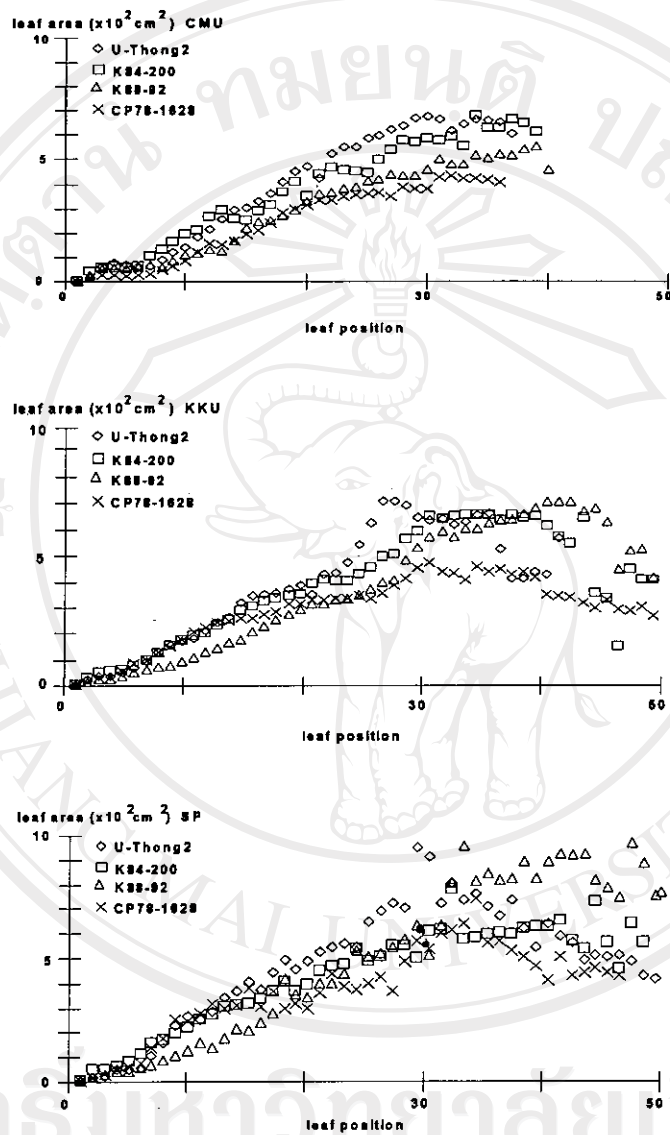
ความสัมพันธ์ระหว่างอุณหภูมิสะสมกับพัฒนาการของใบ

จากข้อมูลภูมิอากาศโดยใช้อุณหภูมิสูงต่อรายวันนำมาคำนวณเป็นค่าดัชนีพัฒนาการของใบโดยใช้ ค่าอุณหภูมิสะสม (GDD) พบว่าลดลงช่วงพัฒนาการของใบอ้อยทั้งสี่พันธุ์ มีรูปแบบเป็นเส้นตรง และมีค่าสัมประสิทธิ์ (R^2) เท่ากับ 0.99 (ช่วงที่ 17)

การปรากฏใบของอ้อยค่อนข้างช้าในช่วงใบที่ 1-3 ซึ่งจะต้องใช้ค่าอุณหภูมิสะสมมาก การปรากฏใบในเร็วขึ้นหลังจากใบที่ 3 จะไปถึงใบที่ประมาณ 10-12 ความเร็วการปรากฏขึ้นของใบเริ่มลดลง ซึ่งผลการวิเคราะห์แสดงให้เห็นว่าจุดที่เส้นตรงของความสัมพันธ์ระหว่างจำนวนใบและอุณหภูมิสะสมของพัฒนาการใบในอ้อยทุกพันธุ์ และทุกสถานที่ทดลองมีการเปลี่ยนแปลงการปรากฏใบอย่างเด่นชัดที่อุณหภูมิสะสมเฉลี่ย 1,700-1,873 °d ขึ้นอยู่กับพันธุ์อ้อย (ตารางที่ 66) ซึ่งใกล้เคียงกับการสะสมอุณหภูมิที่ทำให้อ้อยมีใบที่ 14

รูปที่ 16

พื้นที่ใบ (leaf area) เป็นตารางเมตร ของอ้ออยตีพันธุ์จากสามสถานี



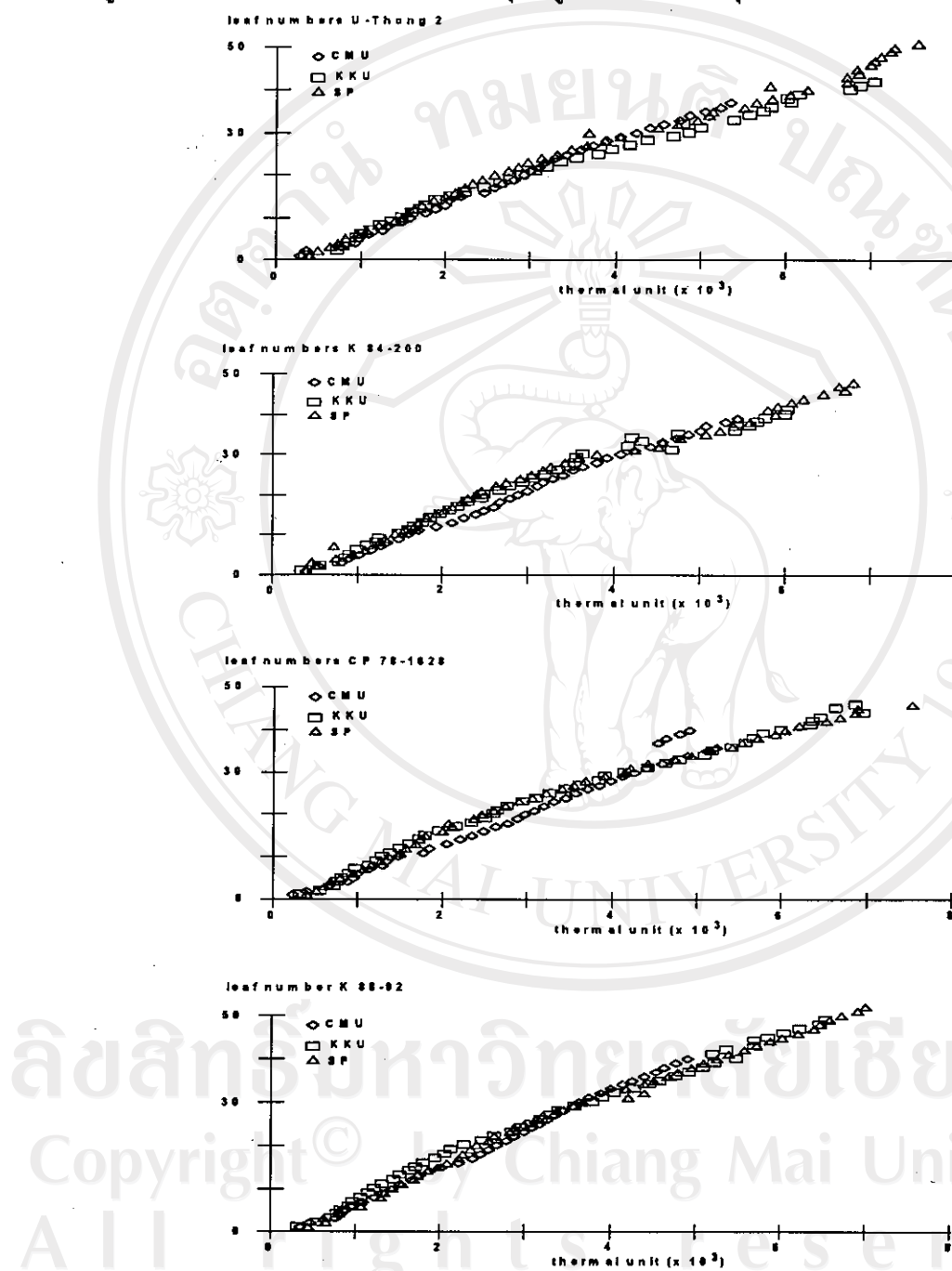
แฟชียายเต็มที่ (เฉลี่ย 90 วันหลังปลูก) จุดดังกล่าวเรียกว่า turning point ซึ่งตรงกับระยะที่อ้ออยมีใบเฉลี่ย

13-15 ใบ

เมื่อพิจารณาถึงความคาดหวัง (ค่า b) ของสมการตลอดอายุของอ้ออยทุกพันธุ์ที่ปลูกทั้งสามสถานี ทดลองพบว่าพัฒนาการของใบมีความแตกต่างกันเมื่อคำนวณการสะสมอุณหภูมิรายวันโดยอ้ออยพันธุ์ K88-92 ใช้อุณหภูมิสะสมเพื่อพัฒนาการของใบหนึ่งใบอ้ออยที่สุดเท่ากับ 93.5°C รองลงมาคือพันธุ์ K 84-200 ใช้อุณหภูมิ 96°C ต่อใบ ส่วนพันธุ์ U-Thong 2 ใช้อุณหภูมิสะสมมากที่สุด (102.9°C) ใน การพัฒนาใบหนึ่งใบ รองลงมาคือพันธุ์ CP78-1628 ใช้อุณหภูมิสะสม 100.0°C ต่อการพัฒนาใบหนึ่งใบ (ตารางที่ 67)

จูปที่ 17

ใบ (leaf interval) เป็นอุณหภูมิพีชของอ้อยสี่พันธุ์จากสามสถานี



Copyright © by Chiang Mai University
All rights reserved

ตารางที่ 66: อุณหภูมิสะสม (GDD) ของอ้อยทั้งสี่พันธุ์ จนอ้อยมีพัฒนาการของใบที่ 14

| สถานที่ทดลอง | พันธุ์อ้อย | | | |
|--------------|------------|---------|---------|-----------|
| | U-Thong 2 | K200 | K8892 | CP78-1628 |
| CMU | 2036.0 | 2244.0 | 1871.0 | 2206.0 |
| KKU | 1886.0 | 1851.0 | 1651.0 | 1725.0 |
| SP | 1666.0 | 1625.0 | 1580.0 | 1626.0 |
| SP | 1829.0b | 1873.3a | 1700.7c | 1819.0b |

ค่าเฉลี่ยที่ความหลังด้วยตัวอักษรที่เหมือนกันไม่มีความแตกต่างกันทางสถิติ โดยใช้ DMRT ทั้งตัวความเชื่อมั่น 95%

ตารางที่ 67: ค่าเฉลี่ยของอุณหภูมิสะสม ($^{\circ}$ d) ต่อพัฒนาการของใบอ้อยหนึ่งในทั้งสี่พันธุ์ จากสามสถานที่ทดลอง

| สถานที่ทดลอง | พันธุ์ | | | |
|--------------|-----------|---------|--------|-----------|
| | U-Thong 2 | K84-200 | K88-92 | CP78-1628 |
| CMU | 118.9 | 122.4 | 121.4 | 152.2 |
| KKU | 100.6 | 84.8 | 74.6 | 75.8 |
| SP | 89.1 | 80.7 | 84.5 | 72.1 |
| Mean | 102.9a | 96.0b | 93.5c | 100.0a |

ค่าเฉลี่ยที่ความหลังด้วยตัวอักษรที่เหมือนกันไม่มีความแตกต่างกันทางสถิติ โดยใช้ DMRT ทั้งตัวความเชื่อมั่น 95%

ความสมพันธ์ระหว่างพัฒนาการของใบกับจำนวนหน่อของอ้อย

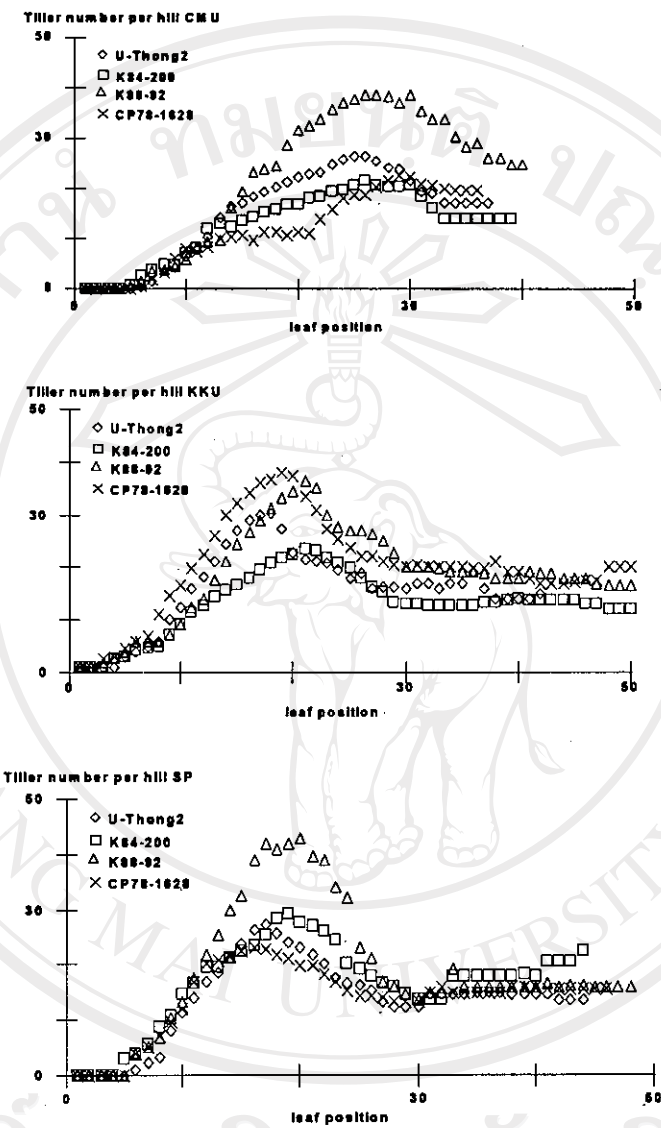
อ้อยทุกพันธุ์เริ่มมีการแตกหน่อเมื่อมีพัฒนาการทางใบบนลำลักษณะ 4-5 ใบ จุดที่อ้อยมีจำนวนหน่อสูงสุด แตกต่างกันระหว่างพันธุ์ พบว่าจำนวนหน่อสูงสุดที่สถานีศูนย์วิจัยฯ น.ขอนแก่น และ ม.เชียงใหม่ เมื่ออ้อยมีพัฒนาการทางใบบนลำลักษณะในที่ 18, 20 และ 25 ตามลำดับ (รูปที่ 18) หลังจากนั้นอ้อยทุกพันธุ์เข้าสู่ระยะการสัดหน่อทั้ง 2 ระยะ ที่ 20.3; 20.0; 17.6; และ 15.3 หน่อต่อ กก สำหรับพันธุ์ K84-200, K88-92, CP78-1628, และ U-Thong 2 ตามลำดับ (ตารางที่ 68)

สรุป

ความกว้างของใบมีความสมพันธ์และเป็นตัวกำหนดพื้นที่ใบของอ้อยมากกว่าความยาวของใบ นอกจากรูป CP78-1628 ซึ่งมีความยาวของใบมากกว่าพันธุ์อื่นๆ เมื่อพื้นที่ใบที่ 30 ใกล้เคียงกับพันธุ์ K88-92 พบว่าอ้อยเริ่มน้ำหน่อเมื่อมีพัฒนาการทางใบบนลำลักษณะในที่ 4-5 จำนวนหน่อต่อ กก มากที่สุด เมื่ออ้อยมีพัฒนาการทางใบในที่ 18-25 และมีจำนวนหน่อคงที่เมื่อมีพัฒนาการทางใบเกินในที่ 30 เมื่อกับกีบอ้อยทั้งสี่พันธุ์มีจำนวนอ้อยต่อ กก เฉลี่ยอยู่ในช่วง 15-20 ตัวอ้อยต่อ กก

การศึกษาพัฒนาของอ้อยปลูกทั้งสามสถานีชี้ให้เห็นว่ามีโอกาสในการกำหนดค่าสมประสิทธิ์พัฒนาการ (genotype coefficient) ของอ้อยได้ อย่างไรก็ตามความมีการศึกษาพัฒนาการของอ้อยต่อเพิ่มเติมเพื่อเป็นการเปรียบเทียบค่าสมประสิทธิ์ ซึ่งอาจมีค่าใกล้เคียงกับค่าสมประสิทธิ์ของอ้อยปลูก

รูปที่ 18: จำนวนหน่อต่อกรอข้อย



ตารางที่ 68: ค่าเฉลี่ยจำนวนลำต่อกรอเมื่อทำการเก็บเกี่ยวอ้อยสีพันธุ์ จากสามสถานีทดลอง

| สถานีทดลอง | พันธุ์อ้อย | | | |
|------------|------------|---------|--------|-----------|
| | U-Thong 2 | K84-200 | K88-92 | CP78-1628 |
| CMU | 17.0 | 14.0 | 28.0 | 20.0 |
| KKU | 14.0 | 11.0 | 15.0 | 17.0 |
| SP | 15.0 | 18.0 | 16.0 | 16.0 |
| Mean | 16.3c | 20.3a | 20.0a | 17.6b |

ค่าเฉลี่ยที่ความหลังด้วยตัวอักษรที่เหมือนกันไม่มีความแตกต่างกันทางสถิติ โดยใช้ DMRT ที่ระดับความเชื่อมั่น 95%

**ส่วนที่ 1 การประเมินผลผลิตอ้อยโดยใช้แบบจำลองพัฒนาการและ
การเจริญเติบโตของอ้อย**

**ความสัมพันธ์ระหว่างสภาพแวดล้อมและ
กระบวนการพัฒนาการของอ้อย**

ส่วนหนึ่งของวิทยานิพนธ์ปริญญาโทสาขาพืชไร่ คณะเกษตรศาสตร์
มหาวิทยาลัยเชียงใหม่

อ้อยทิน จันทร์เมือง

ลิขสิทธิ์มหาวิทยาลัยเชียงใหม่
Copyright © by Chiang Mai University
All rights reserved

งานวิจัยทางเกษตรเน้นการศึกษาเพื่อเพิ่มผลผลิตพืชโดยศึกษาให้มีความเข้าใจกระบวนการเจริญเติบโตของพืช (growth process) มา ก ก ว า ศ ึก ษา ให้ มี ค ว า น า ใจ กระบวนการ พัฒนา การ ของ พืช (development หรือ phenology process) โดยเฉพาะพืชเกษตรที่ใช้เวลาในแปลงปลูกยาวนาน เช่น อ้อย มันสำปะหลัง ไม้ผล เป็นต้น อย่างไรก็ตาม มีการศึกษาระบวนการพัฒนาการของพืชและได้กำหนดผังพัฒนาการของพืชเกษตรรายสั้น รายเดือน ถ้าเลี้ยง (Fehr et al, 1971) ถั่วลิสง (Boote, 1985) ข้าวโพด (Hanway, 1963) ข้าวฟ่าง (Vanderlip and Reeves, 1972) ในอ้อย มีการศึกษาระบวนพัฒนาการของอ้อยและมีการกำหนดผังพัฒนาการของอ้อยในประเทศไทยแล้วโดย ศูนย์วิจัยพืชไตรสุวรรณบุรี (2537) และได้แบ่งพัฒนาการของอ้อยออกเป็นสี่ระยะด้วยกัน แต่เป็นการแบ่งเพื่อประโยชน์ในการศึกษา方便ว่ากุ้มแมววิชาการเกษตรและผู้สนใจ ยังไม่มีการศึกษาเพื่อทำความเข้าใจกระบวนการและนำความเข้าใจที่ได้ประกอบการคาดการณ์ระยะพัฒนาการของอ้อยที่มีการปลูกอยู่ในประเทศไทย

เหตุผลหลักของการศึกษาเพื่อทำความเข้าใจกระบวนการพัฒนาการของอ้อย เนื่องจากในทางทฤษฎีนั้น ผลผลิตพืชเป็นผลลัพธ์ของผลคุณของอัตราการเจริญเติบโตและระยะเวลาที่พืชมีโอกาสอยู่ในแปลงปลูก (Ritchie and NeSmith, 1991) อัตราการเจริญเติบโตมีหน่วยวัดเป็น กิโลกรัมมวลชีวภาพ ต่ำรูป⁻¹ วัน⁻¹ เป็นหน่วยที่พืชสามารถสะสมได้ซึ่งเป็นผลต่างที่เกิดจากกระบวนการลังเคราะห์แสงและใช้บางส่วนในกระบวนการหายใจ ในทางปฏิบัติถ้าทราบพลังงานแสงอาทิตย์และคุณภาพมีอากาศเราสามารถคาดการณ์อัตราการเจริญเติบโตของพืชได้ไม่ยากนัก ระยะเวลาที่พืชมีโอกาสอยู่ในแปลงปลูกมีหน่วยวัดเป็น วัน เมื่อวิเคราะห์หน่วยที่ได้จากอัตราการเจริญเติบโตและระยะเวลาจะได้หน่วยเป็น กิโลกรัมมวลชีวภาพ ต่ำรูป⁻¹ หรือต่อวัน ดังนั้นการคาดการณ์ระยะเวลาที่พืชมีโอกาสอยู่ในแปลงปลูกเป็นเรื่องที่ต้องการการศึกษามากขึ้น เนื่องจากเป็นส่วนหนึ่งของสูตรการคาดการณ์ ผล-ผลิตพืชส่วนหนึ่งที่หายไปจากการสมการข้างต้น ซึ่งระยะเวลาที่พืชมีโอกาสอยู่ในแปลงขึ้นอยู่กับสองปัจจัยหลัก คือ อุณหภูมิและความเยาววันที่แตกต่างกันในแต่ละวันปลูกและแหล่งปลูกพืช

การศึกษานี้มีจุดประสงค์เพื่อสร้างความสัมพันธ์ระหว่างสภาพแวดล้อมทางเกษตรและพัฒนาการของอ้อยสีพันธุ์ ซึ่งมีความแตกต่างกันทางสรีระตามระบบการแบ่งของวิชาการเกษตร และเพื่อพัฒนาผังพัฒนาการของอ้อยในภาคเหนือของประเทศไทย

อุปกรณ์และวิธีการวิจัย

ทำการทดลองที่สถานวิจัยเกษตรคลปปะทาน ศูนย์วิจัยเพื่อเพิ่มผลผลิตทางเกษตร มหาวิทยาลัยเชียงใหม่ วังแผนการทดลองแบบ split plot ให้พันธุ์อ้อยสีพันธุ์เป็น main plot พันธุ์อ้อย คือ CP 78-1628; K 84-200; K 88-92; และ U-Thong 2 ให้วันปลูกสองวันเป็น sub-plot คือ วันปลูกที่หนึ่ง วันที่ 19 ตุลาคม 2538 และวันปลูกที่สอง วันที่ 1 พฤษภาคม 2539 ทำการทดลองหั้งหมดสีเขียว พันธุ์อ้อยหั้งสีพันธุ์มีความแตกต่างที่ขนาดความกว้างของใบ (ศูนย์วิจัยพืชไตรสุวรรณบุรี 2537) พันธุ์ CP 78-1628 มีความกว้างของใบน้อยกว่า 4 ซม. พันธุ์ K 88-92

มีความกว้างของใบอยู่ระหว่าง 4-6 ซม. และพันธุ์ K 84-200 และ พันธุ์ U-Thong 2 มีความกว้างของใบมากกว่า 6 ซม.

ทำการเพาะท่อนอ้อยที่เม็ดลงในถุงพลาสติกหนึ่งหอนต่อๆ กัน เพื่อประกันความคงกัน และย้ายปลูกเมื่อข้ออย มีพัฒนาการถึงประมาณใบที่ 2-3 ลงในห้องเพาะชำขนาดเส้นผ่าศูนย์กลาง 100 ซม และความสูง 40 ซม โดยท่อถูกผิงดินในแปลงทดลองมีขอบโผล่พื้นเมดูนิ่น 10 ซม. ใช้ปุ๋ยเคมีเกรด 15-15-15 อัตรา 100 กก./ไร่¹ จำนวน 3 ครั้ง คือ ใส่พร้อมปลูก ใส่เมื่ออ้อยอายุได้สองและสามเดือนหลังออก ใช้สารเคมีป้องกันกำจัดศัตรูอ้อยตามความเหมาะสม บันทึกสภาพอากาศโดยวันโดยเครื่องบันทึกสภาพอากาศเทียบกับเครื่องบันทึกสภาพอากาศของ UNIDATA Starlog system ซึ่งสามารถเก็บข้อมูลสภาพอากาศต่อวันได้แก่ อุณหภูมิสูงสุด-ต่ำสุด ปริมาณน้ำฝน และพลังงานแสงอาทิตย์ ทำการบันทึกข้อมูลพืชเป็นรายต้นโดยบันทึก วันเพาะ วันออก และวันย้ายปลูกของอ้อย วันที่แต่ละใบจริงแผ่เต็มที่โดยสังเกตจากการที่สามารถมองเห็น ligule ของใบอ้อยได้อย่างชัดเจน บันทึกความยาว ความกว้าง และพื้นที่ใบของอ้อยเมื่อวันที่ใบนั้น ๆ แผ่เต็มที่ ตั้งแต่ใบแรกจนถึงวันเก็บเกี่ยว และบันทึกจำนวนหน่อของอ้อยแต่ละต้นในวันที่ใบใหม่แผ่เต็มที่ ตั้งแต่ใบแรกจนถึงวันเก็บเกี่ยว

ผลการวิจัย

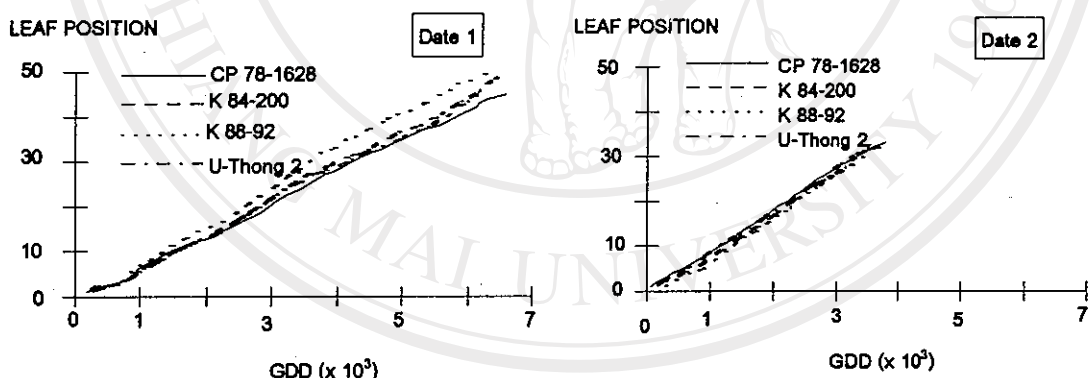
ความสัมพันธ์ระหว่างพัฒนาการของใบอ้อยและอุณหภูมิสะสม

ในวันปลูกที่หนึ่งอ้อยพันธุ์ CP 78-1628, K 88-92, K 84-200 และ U-Thong 2 มีจำนวนใบรวมทั้งหมด 45, 50, 49 และ 45 ในคิดเป็นอุณหภูมิสะสม 6,514; 6,571; 6,523 และ 6,161 ตามลำดับ เนื่ิยจากหั้งสี่พันธุ์การสร้างใบอ้อยหนึ่งใบคิดเป็นอุณหภูมิสะสมเท่ากับ 136 องศา และพบว่า อ้อยพันธุ์ CP 78-1628 มีความแตกต่างจากพันธุ์ K 88-92, K 84-200 และ U-Thong 2 อย่างมีนัยสำคัญทางสถิติ ($P<0.01$) พันธุ์ที่มีพัฒนาการทางใบเร็วที่สุดคือพันธุ์ K 88-92, K 84-200, U-Thong 2 และ CP 78-1628 ตามลำดับ เนื่ิยแล้วอ้อยในวันปลูกที่หนึ่งมีอายุเท่ากับ 422 วัน ในวันปลูกที่สองอ้อยหั้งสี่พันธุ์มีใบรวมทั้งหมด 33, 30, 32 และ 34 ใบ คิดเป็นอุณหภูมิสะสม 3,784; 3,506; 3,820; และ 3,646 ตามลำดับ (รูปที่ 19) การสร้างใบอ้อยแต่ละใบคิดเป็นอุณหภูมิสะสม 115°d พันธุ์ที่มีพัฒนาการทางใบเร็วที่สุด คือพันธุ์ U-Thong 2 เพราะเป็นพันธุ์ที่ตอบสนองต่อช่วงแสงและอุณหภูมิมากที่สุดจึงทำให้มีการสร้างใบอย่างรวดเร็วในระยะปลายฤดู โดยอุณหภูมิสะสมที่ใช้การสร้างใบหนึ่งใบ เท่ากับ 106°d และเนื่ิยแล้วอ้อยในวันปลูกที่สองมีอายุเท่ากับ 224 วัน เมื่อพิจารณาการสร้างใบหนึ่งใบของหั้งสี่พันธุ์เนื่ิยหั้งสองวันปลูกคิดเป็นอุณหภูมิสะสม 126°d หรือ มีอัตราการเกิดใบใหม่ 0.008 ใบต่อ $^{\circ}\text{d}$ หรือเฉลี่ยเป็น 0.013 ใบต่อวัน ซึ่งเป็นค่าใกล้เคียงกับค่าที่ใช้ในการคาดการณ์การเกิดใบ (leaf interval) ในแบบจำลองอ้อย CANEGRO 3.0 (Inman-Bamber, 1991) และ ThaiCane 1.0 (อรรถัย จันตะเวช และ ศักดิ์ดา ศักดิ์ดา. จงแก้ววัฒนา, 2540)

เมื่อเปรียบเทียบพัฒนาการของใบอ้อย หั้งสี่พันธุ์ของสองวันปลูกพบว่าอ้อยหั้งสี่พันธุ์มีพัฒนาการของใบแตกต่างกัน โดยเฉพาะเมื่ออ้อยมีพัฒนาการทางใบมากกว่าใบที่ 10 ในพัฒนาการของใบตั้งแต่ใบที่ 1-10 อ้อย

พันธุ์ CP 78-1628, K 88-92, K 84-200 และ U-Thong 2 มีค่าอุณหภูมิสะสม ($^{\circ}\text{C}$) ที่ใช้การสร้างใบหนึ่งใบในวันปีกที่หนึ่งและวันปีกที่สองไม่แตกต่างกันในแต่ละพันธุ์ โดยเฉลี่ยทั้งสองวันปีกเป็น 132, 142, 145, 141 $^{\circ}\text{C}$ ตามลำดับ แต่เมื่อย้อนมีพัฒนาการทางใบมากกว่าใบที่ 11 พบว่าค่าอุณหภูมิสะสมในการสร้างใบหนึ่งใบในวันปีกที่หนึ่งและวันปีกที่สองของพันธุ์มีความแตกต่างกันทางสถิติ ($P<0.05$) โดยในวันปีกที่หนึ่งจะมีค่าอุณหภูมิสะสมมากกว่าวันปีกที่สอง ซึ่งแสดงว่าพัฒนาการทางใบของอ้อยในวันปีกที่สองเร็วกว่าวันปีกที่หนึ่ง ซึ่งอาจเป็นผลจากมีความแยกช่วงของพันธุ์ในพันธุ์อ้อยทั้งสี่ และเนื่องมาจากการตอบสนองต่ออุณหภูมิและช่วงแสงที่แตกต่างกันในสองวันวันปีก ซึ่งสอดคล้องกับการศึกษาการเกิดใบข้าวสาลีและข้าวบาร์เลีย์ของ Cao and Moss (1898) ซึ่งค่าอุณหภูมิสะสมต่อหนึ่งใบ (phyllodechron) นั้นจะมีค่าคงที่ในวันปีกเดียวกันแต่จะแตกต่างในแต่ละวันปีก และในการจำลองแบบจำลองของข้าวสาลีในแต่ละครั้งนั้นค่า phylochron ที่ใช้จะแตกต่างกันไปตามพันธุ์ วันปีกและแหล่งที่ปีก เช่นเดียวกับในข้าวโพดมีอัตราการเกิดใบจะเพิ่มขึ้นเมื่ออุณหภูมิสูงขึ้นจนถึงจุดหนึ่งก็จะลดลงเป็น quadratic function (Tollenaar et al., 1979; Warrington and Kanemasu, 1993)

รูปที่ 19: ความสัมพันธ์ระหว่างตำแหน่งใบและอุณหภูมิสะสมของอ้อยพันธุ์ จากวันปีกที่หนึ่ง คือ D1 = วันที่ 19 ตุลาคม 2538 และวันปีกที่สอง คือ D2 = วันที่ 1 พฤษภาคม 2539 ณ แปลงทดลองศูนย์วิจัยเพื่อเพิ่มผลผลิตทางเกษตรฯ มหาวิทยาลัยเชียงใหม่



ความสัมพันธ์ระหว่างพัฒนาการของใบและความกว้าง/ความยาวใบ
ในอ้อยทั้งสี่พันธุ์มีความกว้างและความยาวของใบเพิ่มขึ้นเมื่อย้อนมีพัฒนาการของใบเพิ่มขึ้นถึงระดับหนึ่ง (รูปที่ 20) จากนั้นความกว้างและความยาวใบจะลดลง เนื่องจากอ้อยถึงจะหยุดการแทงขอตอกและเข้าสู่ระยะสุกแก่ทาง stereoholism ให้อ้อยนำสารสังเคราะห์ที่ได้ไปใช้กระบวนการทางเดินสืบพันธุ์มากกว่ากระบวนการทางเดินลำต้น และจะมีความกว้างและความยาวใบน้อยที่สุดเมื่อถึงใบชง ในวันปีกที่หนึ่งและที่สองพบว่าอ้อยมีความกว้างใบสูงสุด

เมื่อมีพัฒนาการของใบถึงในที่ 38 และ 26 ตามลำดับ และมีแนวโน้มเช่นเดียวกันในขนาดความยาวใน ช่วง พัฒนาการทางความกว้างและความยาวใบของอ้อดทั้งสี่พันธุ์ในทั้งสองวันปฐมภูมิลักษณะเหมือนกัน

ความกว้างเฉลี่ยใบของอ้อดทั้งสี่พันธุ์มีค่าแตกต่างกันทางสถิติ ($p<0.01$) ในทั้งสองวันปฐม และสามารถ แบ่งกลุ่มพันธุ์อ้อดตามขนาดความกว้างใบได้เป็น 2 กลุ่ม กลุ่มแรกมีความกว้างใบเฉลี่ยใกล้เคียงกันคือความ กว้างใบสูงสุดเฉลี่ย 6.8 ซม. ได้แก่พันธุ์ U-Thong 2 และ K 84-200 โดยที่ค่าเฉลี่ยความกว้างของ U-Thong 2 มากกว่า K 84-200 กลุ่มนี้สองมีความกว้างของใบสูงสุดเฉลี่ย 4.7 ซม. ได้แก่พันธุ์ K 88-92 และ CP 78-1628 โดย พันธุ์ K 88-92 มีค่าเฉลี่ยความกว้างสูงกว่า CP 78-1628 ซึ่งเป็นไปตามการจำแนกพันธุ์ของศูนย์วิจัยพืชรัฐ ศุพรรัตนบุรี (2539) และพบว่าความกว้างของแต่ละใบในอ้อดพันธุ์หนึ่ง ๆ ไม่มีความแตกต่างกันในวันปฐมที่หนึ่ง และวันปฐมที่สอง

ความยาวใบในทุกพันธุ์มีค่าเฉลี่ยความยาวสูงสุดใกล้เคียงกัน คือ 115, 94, 94, 86 ซม. ในพันธุ์ CP 78-1628, K 88-92 และ U-Thong 2 พบว่าไม่มีความแตกต่างกันของความยาวใบแต่ละใบของอ้อดทั้งสี่พันธุ์ในวัน ปฐมที่หนึ่งที่วันปฐมที่สอง

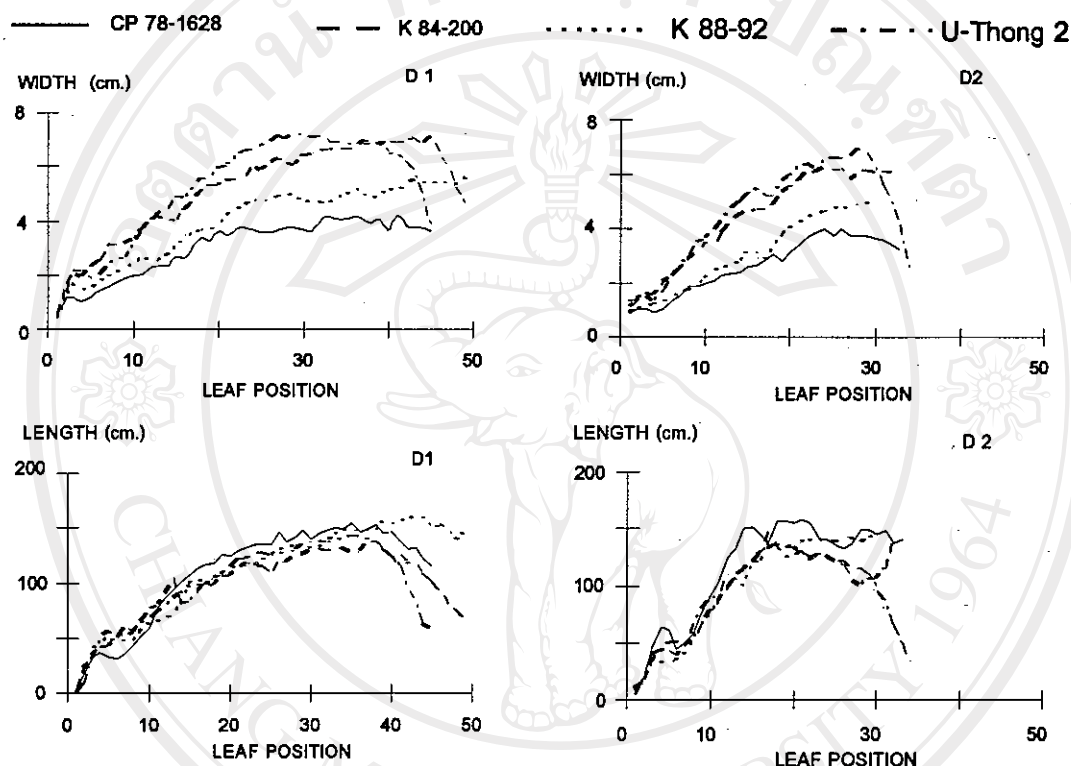
ความสัมพันธ์ระหว่างพัฒนาการของใบและพื้นที่ใบ

อ้อดทั้งสี่พันธุ์มีพื้นที่ใบเพิ่มขึ้นเมื่อมีพัฒนาการของใบถึงระดับหนึ่ง จากนั้นพื้นที่ใบจะมีขนาดลดลง เช่น เห็นได้วกันความกว้างและความยาวใบในทั้งสองวันปฐม ในวันปฐมที่หนึ่งพื้นที่ใบสูงสุดของพันธุ์ CP 78-1628, K 88-92, K 84-200 และ U-Thong 2 เป็น 434, 623, 666 และ 677 ตร.ซม. เมื่ออ้อดมีพัฒนาการถึงในที่ 32, 42, 37 และ 30 ตามลำดับ ซึ่งเป็นไปที่ใกล้เคียงกันเมื่ออ้อดมีพัฒนาการทางความกว้างและความยาวใบสูงสุด และพันธุ์ CP 78-1628 มีความแตกต่างทางสถิติกับสามพันธุ์ที่เหลือ ในวันปฐมที่สองพื้นที่ใบสูงสุดของพันธุ์ CP 78-1628, K 88-92, K 84-200 และ U-Thong 2 เป็น 404, 466, 536 และ 558 ตร.ซม. เมื่ออ้อดมีพัฒนาการถึงในที่ 22, 29, 22 และ 21 ตามลำดับ และอ้อดจะมีพื้นที่ลดลงต่อๆ กัน เมื่อถึงในช่วง และไม่มีความแตกต่างกันในวันปฐมที่หนึ่งและ วันปฐมที่สอง พันธุ์ CP 78-1628 มีค่าพื้นที่ใบเฉลี่ยแตกต่างจากพันธุ์อื่นอย่างมีนัยสำคัญทางสถิติ ($P<0.01$) และ เมื่อเปรียบเทียบพื้นที่ใบในแต่ละพันธุ์พบว่าไม่มีความแตกต่างกันในแต่ละใบของอ้อดในวันปฐมที่หนึ่งและวัน ปฐมที่สอง

ความสัมพันธ์ระหว่างความกว้าง/ความยาวใบและพื้นที่ใบ

จากข้อมูลของความกว้าง/ความยาวใบ และพื้นที่ใบที่ได้จากการวัด สามารถนำมาประมาณพื้นที่ใบจริงได้ จากสูตรประมาณพื้นที่ใบของพืชตระกูลหญ้าและอัญญาริช คือ พื้นที่ใบ เท่ากับผลคูณของ ค่า ณ จุดตัด (intercept) ของเส้นสมการทดแทน (regression line) บวกค่าของพื้นที่ใบที่ประเมินได้จากการกว้างและความ-

รูปที่ 20: เปรียบเทียบความสัมพันธ์ระหว่างตำแหน่งใบและความกว้างและความยาวใบของอ้อยสี่พันธุ์ วันปลูกที่หนึ่ง คือ D1 = วันที่ 19 ตุลาคม 2538 และวันปลูกที่สอง คือ D2 = วันที่ 1 พฤษภาคม 2539 ณ แปลงทดลองศูนย์วิจัยเพื่อเพิ่มผลผลิตทางเกษตร มหาวิทยาลัย เชียงใหม่

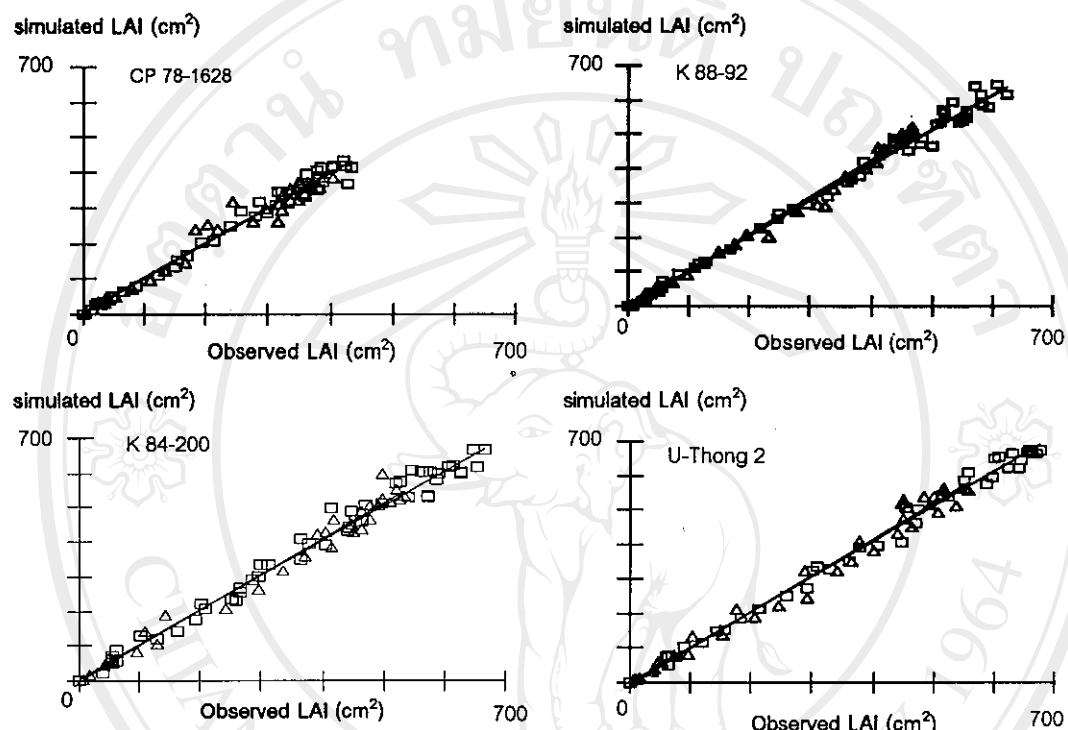


ยาวใบ (calculated LA) (Kemp, 1960) ซึ่งค่า intercept หาได้จากเส้น regression ของพื้นที่ใบที่วัดได้ (observed LA) และ calculated LA ของใบทุกใบโดยดูลดาระยะพัฒนาการ และค่า calculated LA หาได้จาก ค่าสัมประสิทธิ์ (K) คูณด้วยผลคูณระหว่างความกว้างและความยาวใบ โดยค่า K ได้จากการคำนวณ LA หารด้วย ผลคูณระหว่างความกว้างและความยาวใบ

$$\begin{aligned} \text{LA (cm}^2\text{)} &= \text{intercept + calculated LAI} \\ \text{calculated LA} &= K (\text{width} \times \text{length}) \\ K &= \text{observed LA} / (\text{width} \times \text{length}) \end{aligned}$$

จากเส้น regression (รูปที่ 21 และ ตารางที่ 69) ความชันของวันปลูกที่หนึ่งและวันปลูกที่สองในอ้อยแต่ละพันธุ์ไม่มีความแตกต่างกัน และค่า intercept ที่ได้ในแต่ละพันธุ์ในทั้งสองวันปลูกทั้งค่าลบและค่าบวก พぶว่า 'ไม่มีความแตกต่างทางสถิติจากศูนย์ ($P<0.01$) ในทุก ๆ ค่า'

รูปที่ 21: Regression ของอ้อยสีพันธุ์ในวันปลูกที่หนึ่ง (□) และวันปลูกที่สอง (△)



ตารางที่ 69: สมการ regression ของ observed LAI และ simulate LAI ในวันปลูกที่หนึ่งและวันปลูกที่สองของอ้อยสีพันธุ์

| สมการ regression | วันปลูกที่หนึ่ง | วันปลูกที่สอง |
|------------------|---|--|
| CP 78-1628 | $y = 0.993x + 2.577$ $r^2 = 0.98 n = 45$ | $y = 0.987x + 5.146$ $r^2 = 0.96 n = 33$ |
| K 88-92 | $y = 1.020x + 0.104$ $r^2 = 0.99 n = 50$ | $y = 1.088x - 10.395$ $r^2 = 0.99 n = 30$ |
| K84-200 | $y = 1.006x + 3.854$ $r^2 = 0.98 n = 49$ | $y = 1.022x - 0.472$ $r^2 = 0.98 n = 32$ |
| U-Thong 2 | $y = 1.019x - 0.724$ $r^2 = 0.99 n = 45$ | $y = 1.046x - 3.977$ $r^2 = 0.98 n = 34$ |

จากผลที่ได้สามารถสรุปได้ว่า สามารถใช้ค่า calculated LA ในการประเมินพื้นที่ได้ไปในอ้อยทุกพันธุ์ได้โดยเท่ากับ ค่าสัมประสิทธิ์พื้นที่ใบ (K) คูณด้วยผลคูณระหว่างความกว้างและความยาวใน ซึ่งค่า K ที่คำนวนได้โดยเฉลี่ยในสองวันปลูก คือ 0.68, 0.73, 0.70 และ 0.68 ในพันธุ์ CP 78-1628, K 88-92, K 84-200 และ U-Thong 2 (ตารางที่ 70)

ตารางที่ 70: ค่าสมประสิทธิ์พื้นที่ใบ (K) ในวันปีกุกที่หนึ่งและวันปีกุกที่สองของอ้อยสีพันธุ์

| Planting dates | CP 78-1628 | K 88-92 | K 84-200 | U-Thong 2 |
|----------------|------------|---------|----------|-----------|
| Date 1 | 0.69 | 0.73 | 0.70 | 0.68 |
| Date 2 | 0.67 | 0.73 | 0.70 | 0.68 |

ความสัมพันธ์ระหว่างพัฒนาการของใบและจำนวนหน่อ

ในวันปีกุกที่หนึ่ง พบร่วมกับการแตกหน่อของอ้อยสีพันธุ์ในช่วงพัฒนาการใบที่ 1-7 มีอัตราการแตกหน่อเฉลี่ย 0.39 หน่อต่อใบ อัตราการแตกหน่อเพิ่มขึ้นเมื่ออ้อยมีพัฒนาการระหว่างใบที่ 8-27 ซึ่งมีอัตราการแตกหน่อเฉลี่ย 1.28 หน่อต่อใบ อ้อยพันธุ์ K 88-92 มีอัตราการแตกหน่อในช่วงนี้สูงสุด และเฉลี่ยอ้อยทุกพันธุ์จะมีจำนวนหน่อสูงสุด เมื่อถึงใบที่ 27 คือ 23, 39, 22, และ 27 ในพันธุ์ CP 78-1628, K 88-92, K 84-200 และ U-Thong 2 ตามลำดับ จากนั้นจำนวนหน่อจะลดลงโดยมีอัตราการลดลงหน่อเป็น 0.99 หน่อต่อใบ จนกระทั่งประมาณใบที่ 32 จำนวนหน่อจะเริ่มคงที่ และพบว่า K 88-92 มีจำนวนลำดับสูงสุดเมื่อถึงใบที่ 26 ลำต่อกร

ในวันปีกุกที่สองมีรูปแบบพัฒนาการของหน่อที่คล้ายคลึงกับวันปีกุกที่หนึ่ง แต่ระยะพัฒนาการสั้นกว่าวันปีกุกที่หนึ่ง ระหว่างพัฒนาการใบที่ 1-6 มีอัตราการแตกหน่อเป็น 0.30 หน่อต่อใบ และมีอัตราการแตกหน่อเพิ่มขึ้นเป็น 0.67 หน่อต่อใบ ในระหว่างพัฒนาการของใบลำดับที่ 7-22 เฉลี่ยแล้วอ้อยทุกพันธุ์มีจำนวนหน่อสูงสุดเมื่อ มีพัฒนาการประมาณใบที่ 22 คือ 15, 12, 13 และ 11 หน่อ ในพันธุ์ CP 78-1628, K 88-92, K 84-200 และ U-Thong 2 ตามลำดับ จากนั้นจำนวนหน่อจะลดลงในยัตตากา 0.5 หน่อต่อใบ จนกระทั่งอ้อยมีพัฒนาการถึงใบที่ 28 จำนวนหน่อเริ่มคงที่ เมื่อเทียบกับอัตราการแตกหน่อของอ้อยในวันปีกุกที่หนึ่งและวันปีกุกที่สองในแต่ละช่วง พัฒนาการของใบนั้น พบร่วมกับอ้อยทุกพันธุ์ในวันปีกุกที่สองมีอัตราการแตกหน่อซึ่งก้าวไกลกว่าวันปีกุกที่หนึ่ง และเมื่อถึงสุดพัฒนาการมีจำนวนลำดับสูงกว่าในวันปีกุกที่หนึ่ง เนื่องจากอ้อยในวันปีกุกที่หนึ่งมีอายุในการอยู่ในแปลงนานกว่าวันปีกุกที่สองทำให้มีระยะพัฒนาการที่สั้นกว่า

คิดสิครึ่นหาวิทยาลัยเชียงใหม่

ผังพัฒนาการของอ้อย

การศึกษาความสัมพันธ์ระหว่างพัฒนาการของอ้อยทั้งสี่พันธุ์ได้นำไปสู่การสร้างผังพัฒนาการของอ้อย (รูปที่ 22) ซึ่งเป็นเครื่องมือสำคัญในการคาดการณ์ผลและความสัมพันธ์ของกระบวนการพัฒนาและกระบวนการเจริญเติบโตของอ้อยในประเทศไทย ในวันปีกุกที่หนึ่งพัฒนาการของอ้อยอย่างก้าวๆ ๆ จะเริ่มตั้งแต่ระยะอก ระยะแตกอก หลังจากนั้นจำนวนหน่อจะคงที่เป็นระยะเวลานึง และสุดท้ายคือระยะการสูงแก่ซึ่งจะเริ่มมีการสร้างช่อดอก พบร่วมกับอ้อยทั้ง 4 พันธุ์มีลักษณะพัฒนาการที่คล้ายคลึงกัน แต่มีระยะพัฒนาการที่แตกต่างกันเนื่องจากอ้อยแต่ละพันธุ์นั้นมีการตอบสนองต่ออุณหภูมิและช่วงแสงที่แตกต่างกัน ในวันปีกุกที่หนึ่งพันธุ์ที่มีระยะพัฒนาการเร็วที่สุดหรือถึงระยะการสูงแก่เร็ว คือ U-Thong 2 และ K84-200 มีการสร้างช่อออก (panicle

initiation) ในช่วงเดือนตุลาคม และพฤษจิกายน ตามลำดับ พันธุ์ CP78-1628 และ K88-92 มีความแปบปานในระดับนี้สูง คือ มีการสร้างช่อดอกในบางต้น และในต้นที่ไม่มีพัฒนาการด้านการสร้างช่ออยังมีพัฒนาการสร้างใบข้า หรือแทบจะไม่มีพัฒนาการเลย

ในวันปลูกที่สองพบว่ามีเพียงพันธุ์ U-Thong 2 เท่านั้นที่การสร้างช่อดอกแต่จะมีการสร้างช่อดอกข้ากว่า พันธุ์ U-Thong 2 ที่ปลูกในวันปลูกที่หนึ่งเป็นเวลา 1 เดือน ซึ่งอาจเป็นผลจากความแปร ปรวนของพันธุ์ส่วนพันธุ์ CP 78-1628, K 88-92 และ K84-200 พบว่าไม่มีการสร้างช่อดอกเลย และมีพัฒนาการทางใบข้าหรือแทบจะไม่มี การสร้างใบเลยเช่นเดียวกับในวันปลูกที่หนึ่ง

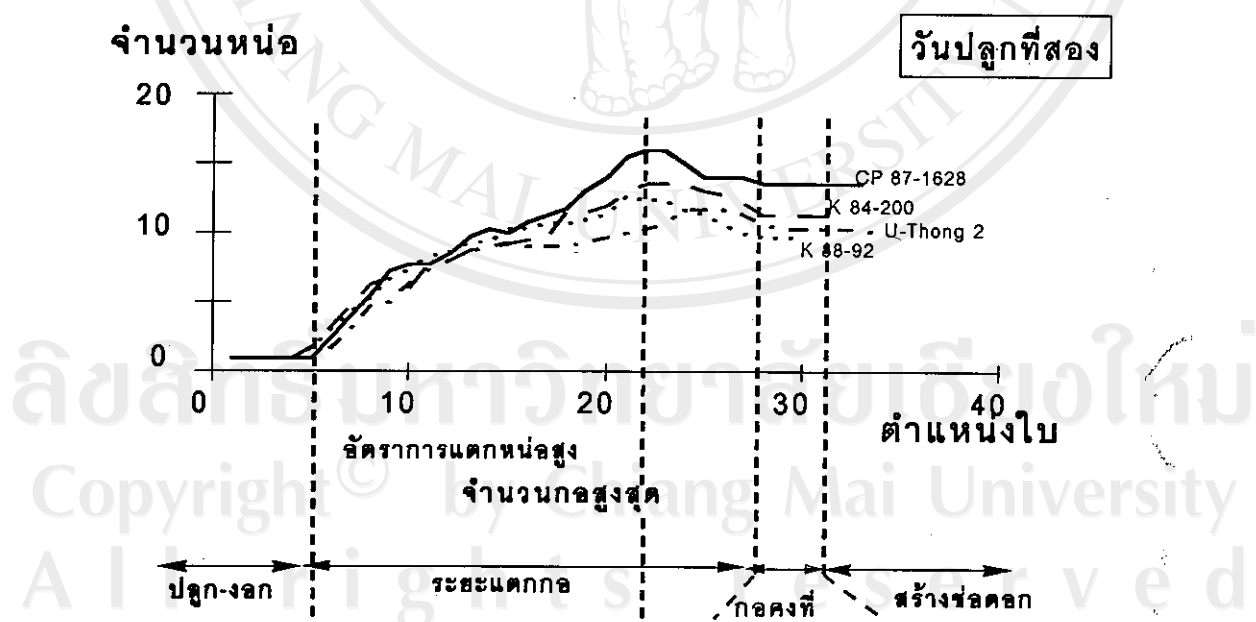
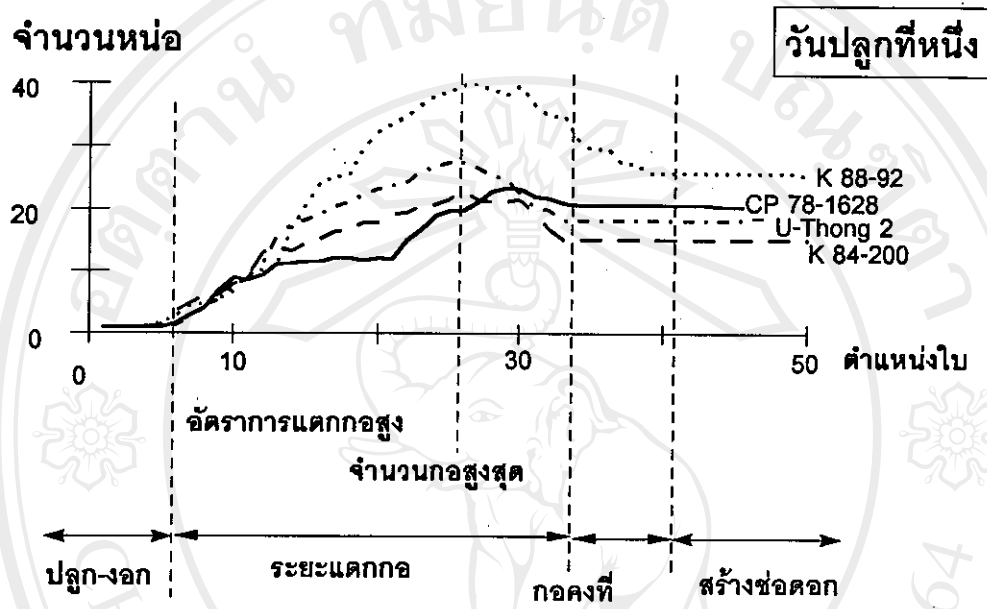
สรุป

ข้อยังทั้งสี่พันธุ์มีพัฒนาการทางใบค่อนข้างจะคงที่คิดเป็นอุณหภูมิสะสมเฉลี่ยได้ 126 องศา ซึ่งมีค่าใกล้เคียงกับที่ใช้ในแบบจำลองข้ออ้อย CANEGRO 3.0 และ ThaiCane 1.0 แม้ว่าการศึกษาครั้งนี้จะเป็นการศึกษาในสนามการ ควบคุมสภาพแวดล้อมที่มีผลต่อพัฒนาการของข้ออ้อยกระทำได้ยาก แต่มีผลการศึกษาที่ชัดว่ากระบวนการพัฒนา- การของข้ออ้อยทั้งสี่พันธุ์สามารถใช้อุณหภูมิสะสมในการคาด-การณ์พัฒนาการของใบอ้อยได้

พัฒนาการของอ้อยเต็มตั้งแต่ ระยะออก ระยะการแตกกอ และเมื่อระยะที่มีจำนวนหน่อกองที่ผ่านไปแล้วก็ เริ่มเข้าสู่ระยะสุดท้ายซึ่งจะมีการกำเนิดและการสร้างช่อดอก พบร่วมกับทั้งสองวันปลูกมีลักษณะ พัฒนาการที่คล้ายคลึงกัน แต่มีระยะพัฒนาการที่แตกต่างกัน โดยพันธุ์ที่มีระยะพัฒนาการเร็วที่สุดคือ U-Thong 2, K 84-200, CP 78-1628 และ K 88-92 ตามลำดับ

ผลการศึกษาเกี่ยวกับพัฒนาการของข้ออ้อยสี่พันธุ์ ตั้งแต่ปลูกถึงระยะออก ให้ความเข้าใจเบื้องต้นและ ข้อมูลการตอบสนองของข้ออ้อยในด้านสัณฐานวิทยาในระดับหนึ่ง แม้ว่าอาจจะไม่เพียงพอต่อการพัฒนาแบบ- จำลองได้ แต่เป็นพื้นฐานสำคัญต่อการวิจัยเพิ่มเติม เช่น การศึกษาพัฒนาของใบในยอดใบ (leaf primordia) การ ศึกษาผลลัพธ์ของอุณหภูมิอากาศที่มีต่อการยึดของใบแต่ละใบ และการเกิดปล้องของข้ออ้อย รวมทั้งความสัมพันธ์กับ การสะสมน้ำหนักในส่วนต่าง ๆ ของข้ออ้อย และการสะสมน้ำตาล

รูปที่ 22: ผังพื้นที่การซ่องอ้อยพัฒนาจากงานทดลองอ้อยสีพันธุ์ ปุก ณ แปลงทดลองศูนย์วิจัยเพื่อเพิ่มผลผลิตทางเกษตร มหาวิทยาลัยเชียงใหม่ 2539



Copyright © by Chiang Mai University All rights reserved

ส่วนที่ 1 การประเมินผลผลิตอ้อยโดยใช้แบบจำลองพัฒนาการและ
การเจริญเติบโตของอ้อย

การตอบสนองของอ้อยที่มีต่อความหนาแน่น
โดยใช้รูปแบบการทดลองแบบพัด

ส่วนหนึ่งของวิทยานิพนธ์ปริญญาโทสาขาเกษตรศาสตร์เชิงระบบ
คณะเกษตรศาสตร์ มหาวิทยาลัยเชียงใหม่

ปรัชญา นาสุริวงศ์

ลิขสิทธิ์มหาวิทยาลัยเชียงใหม่
Copyright © by Chiang Mai University
All rights reserved

การผลิตอ้อย (*Saccharum officinarum L.*) ยังมีค่าตามเกี่ยวกับระบะปลูกอ้อยที่เหมาะสมสมอยู่ตลอดเวลา เนื่องจาก การเปลี่ยนแปลงเทคโนโลยีที่ชาวไร้อ้อยใช้ในการผลิต เช่น พันธุ์อ้อย อายุเก็บเกี่ยว การใช้เครื่องจักรกล ในการเตรียมดิน การปลูกและการเก็บเกี่ยวอ้อย เป็นต้น วิธีจัดที่ให้อยู่ในปัจจุบันเพื่อให้ได้ค่าตอบที่เหมาะสมในระบบการผลิตอ้อยของภูมิภาคต่าง ๆ ของประเทศไทย การวางแผนการทดลองระบบปลูกอ้อยตามศูนย์วิจัยอ้อย ของกระทรวงอุตสาหกรรม และ สถานีทดลองพืชไร่ของกรมวิชาการเกษตร กระทรวงเกษตรและสหกรณ์ วิธีการ ดังกล่าวเป็นวิธีการที่ให้ค่าตอบได้ในอัตราที่ทันต่อการใช้งานเมื่อระบบการผลิตอ้อยยังไม่ซับซ้อน เช่นในระบบการ ผลิตอ้อยปัจจุบัน นอกจากนี้ ผลงานวิจัยที่ผ่านมาพบว่าสามารถใช้อธิบายอิทธิพลของความหนาแน่นต่อพืชได้ เพียงบางส่วน จำเป็นต้องมีการนำวิธีการใหม่ที่จะทำให้การศึกษาระบะปลูกที่เหมาะสมมีประสิทธิภาพมากขึ้น หลักการและวิธีการทดลองรูปแบบพัด (fan design) หรือ ระยะปลูกเท่า (equidistant spacing หรือ systematic design) สามารถนำมาประยุกต์ใช้ในการศึกษาการตอบสนองของพืชที่มีต่อความหนาแน่นได้ วิธีการนี้ถูกเสนอ เป็นครั้งแรกโดย Nelder (1962) และ Bleasdale (1967) หลังจากนั้นได้มีการนำหลักการนี้ไปใช้ในการศึกษาการ ตอบสนองของพืชต่าง ๆ ที่มีต่อความหนาแน่น ที่ Wilcox (1974) ใช้หลักการนี้ในการศึกษาการตอบสนองของถั่ว-เหลืองสามพันธุ์ที่มีต่อความหนาแน่นตั้งแต่ 25 ถึง 582 ต้น ตรม⁻¹ Wahua และ Miller (1978) ใช้หลักการเดียวกันศึกษาการตอบสนองของถั่วเหลืองปลูกเหมือนข้างฟ้างที่ความหนาแน่น 1.38 ถึง 33 ต้น ตรม⁻¹ Tetio-Kagho and Garduer (1988) ใช้หลักการนี้ในการศึกษาการตอบสนองของข้าวโพด 3 พันธุ์ที่มีต่อความหนาแน่นตั้งแต่ 0.8 ถึง 15.4 ต้น ตรม⁻¹ อย่างไรก็ตาม ยังไม่มีการประยุกต์ใช้หลักการและวิธีการนี้เพื่อศึกษาการตอบสนองของอ้อยที่ มีต่อความหนาแน่น

การศึกษามีจุดประสงค์เพื่อศึกษาความสมพันธ์ระหว่างความหนาแน่นกับการเจริญเติบโตของอ้อย และ เพื่อนำความหนาแน่นที่เหมาะสมสำหรับการเจริญเติบโตของอ้อยโดยใช้หลักการของการทดลองรูปแบบพัด

อุปกรณ์และวิธีการ

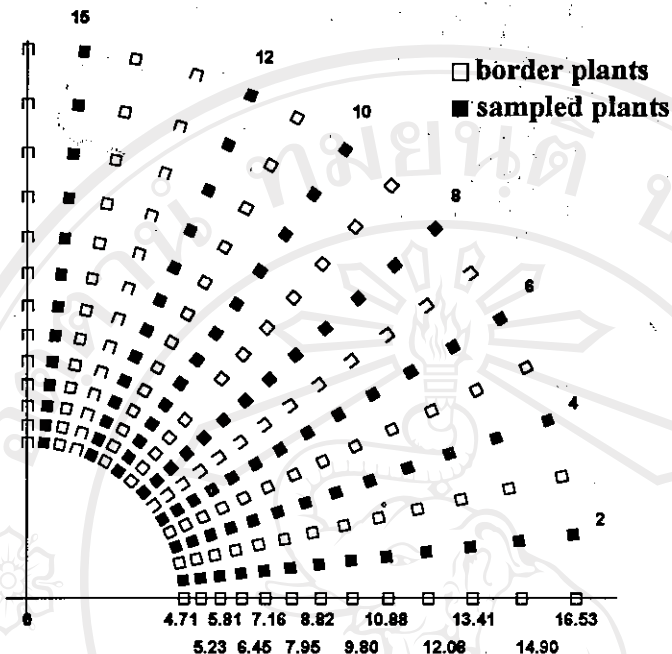
ดำเนินการทดลองที่สถานีวิจัยและศูนย์ฝึกอบรมการเกษตรแม่เหียะ คณะเกษตรศาสตร์ มหาวิทยาลัยเชียงใหม่ จังหวัดเชียงใหม่ ตั้งอยู่ที่ละติจูด $18^{\circ} 45'$ ลองติจูด $98^{\circ} 58'$ มีความสูงจากระดับน้ำทะเลปานกลาง 330 เมตร ดินในพื้นที่แบ่งทดลองถูกจัดตามระบบอนุกรมวิธานต้น (Soil Taxonomy, 1975) เป็นดินซูดสีดา (Satuk soil series) จัดอยู่ในกลุ่มดินใหญ่ Typic Paleustults

วางแผนการทดลองแบบ split plot มีสามชั้น มีการสูญเสียป้องกันการล้าเฉียงใน main plot ที่เป็นอ้อย สองพันธุ์ ได้แก่ พันธุ์ K และ พันธุ์ P ปัจจัยใน sub plot คือ ความหนาแน่นของอ้อยต่อพื้นที่ 12 ความหนาแน่น ระหว่าง 0.32 ถึง 3.23 ต้น อ้อย.ตรม⁻¹ ซึ่งมีการคำนวณตามวิธีการรูปแบบพัด (ภาคผนวก 1) มีค่าสี่เหลี่ยมของแต่ ละความหนาแน่นเป็น 1.00 และมีมุนระหว่างແกรปลูก (รัศมี) เป็น 5 องศา (รูปที่ 23)

ทำการเพาะกล้าอ้อยในถุงพลาสติกรุ่นที่ 25 มกราคม 2538 ย้ายปลูกตามตำแหน่งในແกรปลูกเมื่อ วันที่ 2 เมษายน 2538 เริ่มทำการบันทึกข้อมูลการเจริญเติบโตของอ้อยหลังการย้ายปลูกหนึ่งสปดาห์ ทำการบันทึก ข้อมูล ความสูง จำนวนหน่อ จำนวนใบ ทำการเก็บตัวอย่างอ้อยหลังย้ายปลูกได้ 120 วัน รวม 8 ครั้ง หลังการเก็บ

รูปที่ 23:

ขนาด และทิศทางการเจริญเติบโตของต้นข้อออมในแต่ละแปลงย่อย



ตัวอย่างทุกครั้งนำตัวอย่างข้อออมเข้าห้องปฏิบัติการแยกส่วนต่าง ๆ ของข้อออมออกเป็น ในการใบ ลำต้น และช่อดอก ช่ำน้ำหนักสด และนำเข้าตู้อบนาน 3 วัน และนำออกช่ำน้ำหนักแห้ง ส่วนที่เป็นลำต้นข้ออ้อมีคุณภาพดีใช้สุพรหมบุรี เพื่อวิเคราะห์หาค่าคงค่าวัสดุคงทน CCS

ทำการเก็บตัวอย่างในปีกุหลาบสีฟ้า สำหรับการเพื่อวิเคราะห์ค่าความเป็นกรดเป็นด่าง ค่ากรดในตัวเรื่อง ค่าธาตุฟอฟฟอรัสที่เป็นประโยชน์ ทำการบันทึกข้อมูลอุตุนิยมวิทยารายวัน ได้แก่ อุณหภูมิสูงสุด-ต่ำสุด พลังงานแสงอาทิตย์ และปริมาณน้ำฝน โดยเครื่องบันทึกสภาพอากาศเทียบรวมของ UNIDATA Starlog Logger System

ผลการทดลองและวิเคราะห์

ในระยะเริ่มต้นของการทดลองข้ออ้อมีอายุน้อยกว่า 120 วัน พบร่วงต้นที่พันธุ์มีการตอบสนองต่อความหนาแน่นเพิ่มเดือนต่อเดือน โดยการพิจารณาจากน้ำหนักเนื้อผักดินสามส่วนได้แก่น้ำหนักแห้งน้ำดินชีวภาพ น้ำหนักต้นแห้ง น้ำหนักใบแห้ง และน้ำหนักกาบใบแห้ง เมื่อข้ออ้อมีอายุได้ 150 วัน พบร่วงต้นที่มีผลต่อน้ำหนักเนื้อผักดินทั้งสามอย่างมีนัยสำคัญทางสถิติ โดยเฉพาะกออ้อยที่ปลูกอยู่ในช่วงความหนาแน่นต่ำ ระหว่าง 0.32 ถึง 1.12 ตัน ตรม.⁻¹ การเพิ่มน้ำหนักลำต้นมีมากกว่าการเพิ่มน้ำหนักใบและน้ำหนักกาบใบอย่างชัดเจน โดยเฉพาะเมื่อข้ออ้อมีพัฒนาการถึงระยะที่จำานวนหนึ่งหรือจำนวนลำต้นมีจำนวนคงที่หรือ

เมื่ออายุได้มากกว่า 229 วัน น้ำหนักของส่วนต่าง ๆ เหล่านี้เพิ่มขึ้นเนื่องจากการเพิ่มขึ้นของจำนวนหน่อหัวรือ จำนวนลำต่อกกออย

น้ำหนักสดของลำต้นเมื่อคำนวณต่อตารางเมตรแล้ว พบว่า อัตรายทั้งสองพันธุ์มีการตอบสนองต่อความหนาแน่น ดังแสดงในตารางที่ 71 น้ำหนักต้นสดต่อตารางเมตรในอ้อยทั้งสองพันธุ์ มีการเพิ่มขึ้นเมื่อความหนาแน่นเพิ่มขึ้น ในแต่ละความหนาแน่น้ำหนักต้นสดต่อตารางเมตรมีความแตกต่างกันอย่างมีนัยสำคัญทางสถิติ

น้ำหนักสดของลำต้นทั้งสองพันธุ์ในช่วงระยะเก็บเกี่ยว (อายุ 319 วัน) หลังจาก มีความแตกต่างกันอย่างมีนัยสำคัญทางสถิติ เมื่อเปรียบเทียบความแตกต่างน้ำหนักสดของลำต้นระหว่างอ้อยที่ปลูกโดยใช้ความหนาแน่นสูงกับอ้อยที่ปลูกโดยใช้ความหนาแน่นต่ำพบว่ามีความแตกต่างประมาณ 4-6 เท่า และพบว่าอ้อยที่ปลูกโดยใช้ความหนาแน่นสูงมีแนวโน้มที่จะสามารถเพิ่มผลผลิตอ้อยในรูปน้ำหนักสดได้อีก ซึ่งสอดคล้องกับงานวิจัยของ Freeman (1968) และ Bull (1975) ที่สรุปว่าอ้อยที่ปลูกโดยใช้ระยะระหว่างแคนแคบสามารถให้ผลผลิตมากกว่า อ้อยที่ปลูกโดยใช้ระยะระหว่างแคนกว้าง

ตารางที่ 71: น้ำหนักสดของลำต้นอ้อยพันธุ์ K และอ้อยพันธุ์ U ที่สถานีแม่เหียะ 2539

| ความหนาแน่น (ตันต่อบริบ) อายุอ้อย→ | น้ำหนักสดของต้น (กก.ต่อบริบ.) | | | | | | | | | |
|--|-------------------------------|------|-------|-------|-------|----------|-------|-------|-------|-------|
| | พันธุ์ K | | | | | พันธุ์ U | | | | |
| | 194 | 229 | 257 | 284 | 319 | 194 | 229 | 257 | 284 | 319 |
| 0.32 | 0.62 | 1.25 | 2.23 | 3.69 | 3.75 | 0.76 | 2.58 | 3.42 | 3.25 | 3.29 |
| 0.39 | 1.08 | 2.33 | 3.55 | 4.17 | 6.27 | 0.94 | 3.95 | 4.13 | 6.26 | 3.73 |
| 0.48 | 1.42 | 2.87 | 4.73 | 6.01 | 7.71 | 1.32 | 3.67 | 5.98 | 8.37 | 5.55 |
| 0.59 | 1.54 | 4.20 | 4.85 | 7.12 | 6.92 | 1.11 | 3.25 | 8.09 | 7.59 | 6.33 |
| 0.73 | 2.55 | 5.01 | 6.79 | 6.59 | 8.69 | 1.63 | 4.21 | 8.08 | 11.22 | 9.44 |
| 0.90 | 3.63 | 5.45 | 6.30 | 7.06 | 8.32 | 3.42 | 7.18 | 9.40 | 10.27 | 6.05 |
| 1.12 | 2.10 | 4.83 | 5.82 | 9.29 | 9.25 | 4.79 | 8.37 | 10.17 | 12.43 | 11.46 |
| 1.39 | 3.24 | 4.44 | 5.09 | 11.02 | 10.93 | 6.59 | 11.67 | 10.35 | 13.84 | 10.00 |
| 1.67 | 4.08 | 5.25 | 6.77 | 8.17 | 12.17 | 6.89 | 10.50 | 11.28 | 12.67 | 10.28 |
| 2.13 | 5.12 | 9.11 | 8.99 | 8.79 | 12.27 | 8.62 | 11.77 | 18.23 | 13.83 | 16.53 |
| 2.56 | 5.44 | 6.88 | 6.58 | 7.01 | 20.34 | 5.77 | 14.53 | 11.20 | 12.99 | 12.48 |
| 3.23 | 5.14 | 9.35 | 17.00 | 10.32 | 16.56 | 9.05 | 20.32 | 17.10 | 19.14 | 15.38 |

น้ำหนักแห้งของต้น, ใบ, และกาบใบ พบร่วมมีการตอบสนองต่อความหนาแน่นเพิ่มเติมกับน้ำหนักสดของต้น คือมีการเพิ่มขึ้นเมื่อมีการเพิ่มขึ้นของความหนาแน่น และมีแนวโน้มที่จะเพิ่มได้อีกเมื่อมีการเพิ่มขึ้นของความหนาแน่น ดังแสดงในตารางที่ 72, 73, 74

จากตารางดังกล่าว ในระยะแรกของการเจริญเติบโต ความหนาแน่นพืชไม่มีผลกระทบต่อการสะสมของน้ำหนักสดและวัตถุแห้ง แต่การเจริญทางใบ กาบใบ และลำต้นของอ้อย ในแต่ละความหนาแน่นจะเพิ่มขึ้นหลังจากอ้อยมีอายุประมาณ 150 วัน และการเจริญทางลำต้นมีค่ามากกว่าการเจริญทางใบและกาบใบ อย่างชัดเจน หลังจากที่อ้อยมีจำนวนหน่อคงที่ (อายุ 229 วัน)

ตารางที่ 72: น้ำหนักแห้งของลำต้นอ้อยพันธุ์ K และอ้อยพันธุ์ P ที่สถานีแม่เหียะ 2539

| ความหนาแน่น (ตันต่อบริตร.) | น้ำหนักแห้งของลำต้น (กก.ต่อตัน) | | | | | | | |
|-------------------------------|---------------------------------|-------|-------|-------|-------|-------|-------|-------|
| | พันธุ์ K | | | | | | | |
| | 120 | 150 | 180 | 194 | 229 | 257 | 284 | 319 |
| 0.32 | 0.001 | 0.004 | 0.029 | 0.079 | 0.246 | 0.459 | 0.911 | 1.221 |
| 0.39 | 0.000 | 0.010 | 0.059 | 0.145 | 0.428 | 0.775 | 0.954 | 1.850 |
| 0.48 | 0.000 | 0.009 | 0.045 | 0.186 | 0.530 | 0.992 | 1.338 | 2.207 |
| 0.59 | 0.000 | 0.032 | 0.092 | 0.197 | 0.773 | 0.933 | 1.529 | 1.252 |
| 0.73 | 0.000 | 0.017 | 0.150 | 0.304 | 0.864 | 1.240 | 1.248 | 2.066 |
| 0.90 | 0.001 | 0.008 | 0.209 | 0.454 | 0.917 | 1.187 | 1.376 | 2.487 |
| 1.12 | 0.000 | 0.014 | 0.244 | 0.280 | 0.848 | 1.251 | 1.711 | 3.120 |
| 1.39 | 0.001 | 0.026 | 0.170 | 0.361 | 0.813 | 0.878 | 2.216 | 3.129 |
| 1.67 | 0.001 | 0.054 | 0.403 | 0.523 | 0.994 | 1.373 | 1.681 | 3.069 |
| 2.13 | 0.001 | 0.036 | 0.378 | 0.696 | 1.183 | 1.799 | 1.626 | 3.305 |
| 2.56 | 0.001 | 0.074 | 0.398 | 0.693 | 1.249 | 1.365 | 1.373 | 6.437 |
| 3.23 | 0.003 | 0.123 | 0.663 | 0.627 | 1.580 | 3.490 | 2.511 | 5.973 |
| อายุอ้อย→ | พันธุ์ P | | | | | | | |
| | 120 | 150 | 180 | 194 | 229 | 257 | 284 | 319 |
| 0.32 | 0.000 | 0.005 | 0.042 | 0.099 | 0.383 | 0.661 | 1.290 | 0.948 |
| 0.39 | 0.000 | 0.008 | 0.032 | 0.116 | 0.536 | 0.771 | 1.606 | 2.038 |
| 0.48 | 0.000 | 0.020 | 0.069 | 0.156 | 0.587 | 1.089 | 2.102 | 1.810 |
| 0.59 | 0.001 | 0.023 | 0.104 | 0.142 | 0.498 | 1.450 | 1.820 | 1.706 |
| 0.73 | 0.001 | 0.051 | 0.140 | 0.197 | 0.768 | 1.543 | 2.654 | 2.298 |
| 0.90 | 0.003 | 0.076 | 0.234 | 0.424 | 1.187 | 1.755 | 2.146 | 1.685 |
| 1.12 | 0.002 | 0.086 | 0.331 | 0.624 | 1.287 | 1.737 | 2.507 | 3.476 |
| 1.39 | 0.002 | 0.146 | 0.230 | 0.685 | 1.618 | 1.762 | 2.874 | 3.008 |
| 1.67 | 0.003 | 0.190 | 0.409 | 0.919 | 1.422 | 1.934 | 2.255 | 3.552 |
| 2.13 | 0.006 | 0.217 | 0.822 | 1.021 | 1.928 | 2.938 | 2.908 | 4.912 |
| 2.56 | 0.004 | 0.169 | 0.537 | 0.617 | 1.895 | 1.740 | 2.915 | 2.769 |
| 3.23 | 0.012 | 0.245 | 1.058 | 1.061 | 3.340 | 2.740 | 3.868 | 4.682 |

ความหนาแน่นพืชมีผลกระทำอย่างชัดเจนต่อจำนวนหน่อต่อตารางเมตร จำนวนหน่อต่อตารางเมตรเพิ่มขึ้นเมื่อความหนาแน่นพืชเพิ่มขึ้น จำนวนหน่อต่อตารางเมตรของอ้อยพันธุ์ P มีการตอบสนองต่อความหนาแน่นมากกว่าอ้อยพันธุ์ K (ตารางที่ 75) จำนวนหน่อเฉลี่ยต่อตารางเมตร ที่ต่ำจะพบในช่วงความหนาแน่นระหว่าง 0.32 ถึง 0.59 ตัน ต่อม³

ความหนาแน่นพืชมีผลกระทำอย่างชัดเจนต่อความสูงของอ้อยโดยเนพาะเมื่ออ้อยทั้งสองพันธุ์มีอุปทานากกว่า 120 วัน (ตารางที่ 76) อ้อยที่ปลูกในความหนาแน่นระหว่าง 1.67 ถึง 3.23 ตัน ต่อม³ ซึ่งเมื่ออ้อยอยู่ในช่วงที่มีจำนวนหน่อน้อยที่ (อายุ 229 วัน) อ้อยพันธุ์ K มีความสูงเฉลี่ยเป็น 2.01 เมตร อ้อยพันธุ์ P มีความสูงเฉลี่ยเป็น 2.13 เมตร ความสูงของอ้อยสูงสุดพบที่ความหนาแน่นพืชระหว่าง 1.12 ถึง 1.67 ตัน ต่อม³ และเป็นการทดสอบที่ค่อนข้างจะคงที่ตลอดการทดลอง ทั้งนี้อาจเป็นเพราะการแข่งขันเพื่อรับแสงอาทิตย์ของอ้อยที่ปลูกในช่วงที่มีความหนาแน่นต่ำกว่า ในระยะเก็บเกี่ยวอ้อย พบร่วงอ้อยที่ปลูกในช่วงความหนาแน่นที่ต่ำ มีแนวโน้มที่

ตารางที่ 73: น้ำหนักแห้งของใบอ้อยพันธุ์ K และอ้อยพันธุ์ U ที่สถานีแม่เหียะ 2539

| ความหนาแน่น (ตันต่อบรรดา) | น้ำหนักแห้งใบ (กก.ต่อตรม.) | | | | | | | |
|------------------------------|----------------------------|-------|-------|-------|-------|-------|-------|-------|
| | พันธุ์ K | | | | | | | |
| อายุข้ออย→ | 120 | 150 | 180 | 194 | 229 | 257 | 284 | 319 |
| 0.32 | 0.002 | 0.011 | 0.041 | 0.079 | 0.108 | 0.138 | 0.187 | 0.173 |
| 0.39 | 0.004 | 0.024 | 0.082 | 0.102 | 0.167 | 0.199 | 0.209 | 0.205 |
| 0.48 | 0.005 | 0.029 | 0.070 | 0.128 | 0.176 | 0.265 | 0.307 | 0.280 |
| 0.59 | 0.009 | 0.068 | 0.109 | 0.181 | 0.274 | 0.284 | 0.337 | 0.267 |
| 0.73 | 0.010 | 0.055 | 0.199 | 0.236 | 0.289 | 0.380 | 0.302 | 0.353 |
| 0.90 | 0.013 | 0.054 | 0.210 | 0.284 | 0.345 | 0.375 | 0.322 | 0.334 |
| 1.12 | 0.011 | 0.059 | 0.257 | 0.239 | 0.377 | 0.310 | 0.474 | 0.384 |
| 1.39 | 0.010 | 0.089 | 0.257 | 0.289 | 0.333 | 0.307 | 0.501 | 0.477 |
| 1.67 | 0.017 | 0.158 | 0.316 | 0.387 | 0.347 | 0.426 | 0.284 | 0.445 |
| 2.13 | 0.036 | 0.148 | 0.422 | 0.453 | 0.481 | 0.502 | 0.365 | 0.484 |
| 2.56 | 0.033 | 0.247 | 0.443 | 0.510 | 0.606 | 0.443 | 0.370 | 0.865 |
| 3.23 | 0.048 | 0.255 | 0.603 | 0.507 | 0.700 | 0.964 | 0.566 | 0.669 |
| อายุข้ออย→ | พันธุ์ U | | | | | | | |
| | 120 | 150 | 180 | 194 | 229 | 257 | 284 | 319 |
| 0.32 | 0.003 | 0.011 | 0.051 | 0.073 | 0.160 | 0.171 | 0.233 | 0.113 |
| 0.39 | 0.008 | 0.014 | 0.048 | 0.093 | 0.240 | 0.235 | 0.279 | 0.137 |
| 0.48 | 0.007 | 0.042 | 0.098 | 0.146 | 0.235 | 0.298 | 0.359 | 0.163 |
| 0.59 | 0.009 | 0.046 | 0.149 | 0.133 | 0.242 | 0.390 | 0.388 | 0.213 |
| 0.73 | 0.013 | 0.077 | 0.185 | 0.196 | 0.294 | 0.411 | 0.489 | 0.301 |
| 0.90 | 0.022 | 0.099 | 0.238 | 0.334 | 0.427 | 0.487 | 0.451 | 0.265 |
| 1.12 | 0.022 | 0.138 | 0.377 | 0.403 | 0.491 | 0.495 | 0.539 | 0.425 |
| 1.39 | 0.036 | 0.206 | 0.262 | 0.521 | 0.689 | 0.482 | 0.640 | 0.347 |
| 1.67 | 0.042 | 0.265 | 0.409 | 0.562 | 0.580 | 0.566 | 0.576 | 0.389 |
| 2.13 | 0.066 | 0.290 | 0.697 | 0.672 | 0.728 | 0.888 | 0.708 | 0.598 |
| 2.56 | 0.042 | 0.280 | 0.556 | 0.577 | 0.847 | 0.664 | 0.689 | 0.440 |
| 3.23 | 0.094 | 0.353 | 1.018 | 0.798 | 1.292 | 0.945 | 0.977 | 0.602 |

จะมีความสูงกว่าข้ออยที่ปัจจุบันช่วงความหนาแน่นที่สูง ซึ่งอยู่ในช่วงความหนาแน่นระหว่าง 0.32 ถึง 0.73 ตันต่อบรรดา

ความหนาแน่นพืชเมล็ดกระเทบอย่างชัดเจนต่อดัชนีพื้นที่ใบ โดยเฉพาะเมื่ออ้อยทั้งสองพันธุ์มีอายุมากกว่า 120 วัน ในทุกระยะพัฒนาการอ้อยพันธุ์ U มีดัชนีพื้นที่ใบมากกว่าอ้อยพันธุ์ K ดัชนีพื้นที่ใบลดลงเมื่อความหนาแน่นพืชลดลงของข้ออยทั้งสอง (ตารางที่ 77) รูปแบบการสะสมของดัชนีพื้นที่ใบของอ้อยทั้งสองพันธุ์มีความคล้ายคลึงกันในทุกความหนาแน่นคือมีการสะสมถึงจุดสูงสุดแล้วมีการลดลงตามลำดับ ดัชนีพื้นที่ใบไม่เปลี่ยนแปลงความหนาแน่นเมื่อการใช้เวลาในการสะสมถึงจุดสูงสุดที่แตกต่างกัน อ้อยที่ปัจจุบันความหนาแน่นที่ต่ำ คือระหว่าง 0.32 ถึง 1.12 ตัน ต่อบรรดา⁻¹ ใช้เวลาในการสะสมดัชนีพื้นที่ใบถึงจุดสูงสุดที่มากกว่าข้ออยที่ปัจจุบันความหนาแน่นที่สูงระหว่าง 1.39 ถึง 3.23 ตัน ต่อบรรดา⁻¹

ตารางที่ 74: น้ำหนักแห้งของการใบอ้อยพันธุ์ K และอ้อยพันธุ์ U ที่สถานีแม่เหียะ 2539

| ความหนาแน่น (ตันต่อบริชม.) | น้ำหนักแห้งของการใบอ้อยพันธุ์ K และอ้อยพันธุ์ U (กก.ต่อบริชม.) | | | | | | | |
|-------------------------------|--|-------|-------|-------|-------|-------|-------|-------|
| | พันธุ์ K | | | | | | | |
| อายุอ้อย→ | 120 | 150 | 180 | 194 | 229 | 257 | 284 | 319 |
| 0.32 | 0.001 | 0.008 | 0.031 | 0.056 | 0.078 | 0.100 | 0.169 | 0.219 |
| 0.39 | 0.003 | 0.019 | 0.053 | 0.065 | 0.115 | 0.131 | 0.180 | 0.345 |
| 0.48 | 0.003 | 0.020 | 0.051 | 0.085 | 0.122 | 0.195 | 0.235 | 0.470 |
| 0.59 | 0.006 | 0.049 | 0.077 | 0.114 | 0.186 | 0.209 | 0.284 | 0.425 |
| 0.73 | 0.006 | 0.039 | 0.165 | 0.155 | 0.205 | 0.275 | 0.263 | 0.431 |
| 0.90 | 0.009 | 0.034 | 0.178 | 0.181 | 0.223 | 0.256 | 0.267 | 0.459 |
| 1.12 | 0.008 | 0.039 | 0.156 | 0.146 | 0.200 | 0.259 | 0.390 | 0.462 |
| 1.39 | 0.007 | 0.056 | 0.146 | 0.189 | 0.222 | 0.230 | 0.414 | 0.569 |
| 1.67 | 0.011 | 0.106 | 0.208 | 0.232 | 0.229 | 0.314 | 0.355 | 0.526 |
| 2.13 | 0.023 | 0.104 | 0.238 | 0.266 | 0.318 | 0.390 | 0.376 | 0.658 |
| 2.56 | 0.021 | 0.170 | 0.293 | 0.284 | 0.319 | 0.298 | 0.298 | 1.042 |
| 3.23 | 0.034 | 0.198 | 0.378 | 0.271 | 0.472 | 0.708 | 0.442 | 0.857 |
| พันธุ์ U | | | | | | | | |
| อายุอ้อย→ | 120 | 150 | 180 | 194 | 229 | 257 | 284 | 319 |
| 0.32 | 0.002 | 0.010 | 0.044 | 0.048 | 0.114 | 0.141 | 0.235 | 0.215 |
| 0.39 | 0.008 | 0.012 | 0.033 | 0.062 | 0.187 | 0.167 | 0.291 | 0.233 |
| 0.48 | 0.007 | 0.035 | 0.096 | 0.088 | 0.172 | 0.234 | 0.348 | 0.286 |
| 0.59 | 0.009 | 0.038 | 0.093 | 0.089 | 0.167 | 0.312 | 0.336 | 0.367 |
| 0.73 | 0.013 | 0.067 | 0.143 | 0.125 | 0.198 | 0.314 | 0.483 | 0.382 |
| 0.90 | 0.021 | 0.078 | 0.154 | 0.230 | 0.278 | 0.368 | 0.434 | 0.381 |
| 1.12 | 0.019 | 0.123 | 0.241 | 0.265 | 0.298 | 0.379 | 0.508 | 0.678 |
| 1.39 | 0.033 | 0.162 | 0.169 | 0.310 | 0.448 | 0.405 | 0.547 | 0.506 |
| 1.67 | 0.038 | 0.199 | 0.253 | 0.345 | 0.409 | 0.432 | 0.490 | 0.520 |
| 2.13 | 0.061 | 0.235 | 0.463 | 0.396 | 0.495 | 0.695 | 0.550 | 0.864 |
| 2.56 | 0.040 | 0.275 | 0.376 | 0.329 | 0.559 | 0.445 | 0.531 | 0.571 |
| 3.23 | 0.085 | 0.262 | 0.736 | 0.478 | 0.838 | 0.768 | 0.719 | 0.862 |

ตารางที่ 75: จำนวนลักษณะต่อตารางเมตร ในอ้อยพันธุ์ K และอ้อยพันธุ์ U ที่สถานีแม่เหียะ 2539

| ความหนาแน่น (ตันต่อบริตร) | จำนวนหน่อต่อตารางเมตร | | | | | | | |
|------------------------------|-----------------------|-------|-------|-------|-------|-------|-------|-------|
| | พันธุ์ K | | | | | | | |
| อายุอ้อย→ | 120 | 150 | 180 | 194 | 229 | 257 | 284 | 319 |
| 0.32 | 1.07 | 1.07 | 2.35 | 3.10 | 2.45 | 2.03 | 2.56 | 2.88 |
| 0.39 | 2.34 | 2.73 | 3.52 | 2.73 | 2.99 | 2.60 | 2.86 | 2.99 |
| 0.48 | 2.72 | 2.88 | 4.81 | 5.13 | 2.72 | 3.85 | 3.69 | 3.85 |
| 0.59 | 3.75 | 4.93 | 4.34 | 6.31 | 4.54 | 3.75 | 4.73 | 3.55 |
| 0.73 | 4.87 | 5.11 | 7.30 | 7.54 | 4.87 | 5.11 | 4.38 | 4.87 |
| 0.90 | 4.50 | 6.81 | 7.81 | 6.61 | 4.50 | 4.50 | 4.50 | 4.50 |
| 1.12 | 6.74 | 5.99 | 7.87 | 8.24 | 4.87 | 6.37 | 7.12 | 5.62 |
| 1.39 | 4.17 | 6.94 | 6.94 | 7.41 | 5.56 | 5.56 | 7.41 | 7.87 |
| 1.67 | 8.33 | 10.00 | 8.89 | 10.00 | 6.11 | 7.22 | 7.22 | 7.78 |
| 2.13 | 12.06 | 10.64 | 12.06 | 10.64 | 9.93 | 7.80 | 7.80 | 9.22 |
| 2.56 | 12.82 | 15.38 | 11.97 | 12.82 | 9.40 | 7.69 | 6.84 | 12.82 |
| 3.23 | 18.28 | 16.13 | 20.43 | 17.20 | 12.90 | 11.83 | 9.68 | 9.68 |
| อายุอ้อย→ | พันธุ์ U | | | | | | | |
| | 120 | 150 | 180 | 194 | 229 | 257 | 284 | 319 |
| 0.32 | 1.60 | 1.28 | 3.63 | 2.67 | 3.85 | 2.88 | 3.74 | 3.10 |
| 0.39 | 3.39 | 3.13 | 4.43 | 3.91 | 5.60 | 4.56 | 4.82 | 4.04 |
| 0.48 | 3.37 | 5.29 | 5.77 | 5.61 | 6.25 | 4.65 | 5.77 | 3.69 |
| 0.59 | 3.94 | 6.71 | 9.66 | 7.10 | 7.30 | 6.71 | 5.72 | 4.93 |
| 0.73 | 3.89 | 9.25 | 10.46 | 10.71 | 6.81 | 7.06 | 8.27 | 5.84 |
| 0.90 | 5.71 | 8.11 | 9.31 | 11.71 | 8.11 | 8.71 | 9.31 | 6.01 |
| 1.12 | 6.37 | 15.73 | 11.61 | 12.36 | 9.36 | 9.36 | 9.36 | 7.49 |
| 1.39 | 11.57 | 13.43 | 8.33 | 10.19 | 12.04 | 8.80 | 12.04 | 8.80 |
| 1.67 | 11.67 | 18.89 | 14.44 | 14.44 | 11.11 | 10.00 | 10.00 | 8.89 |
| 2.13 | 15.60 | 18.44 | 16.31 | 16.31 | 14.18 | 15.80 | 12.06 | 12.77 |
| 2.56 | 10.26 | 21.37 | 17.09 | 19.66 | 17.09 | 10.26 | 13.68 | 11.97 |
| 3.23 | 21.51 | 23.66 | 27.96 | 24.73 | 23.66 | 17.20 | 15.05 | 15.05 |

ตารางที่ 76: ความสูงของอ้อยพันธุ์ K และอ้อยพันธุ์ U ที่สถานีแม่เหียะ 2539

| PD (ตันต่อบริตร) | ความสูง (ซม.) | | | | | | | | | | | |
|---------------------|---------------|-------|-------|-------|-------|----------|-------|-------|-------|-------|-------|-------|
| | พันธุ์ K | | | | | พันธุ์ U | | | | | | |
| อายุอ้อย→ | 180 | 194 | 229 | 257 | 284 | 319 | 180 | 194 | 229 | 257 | 284 | 319 |
| 0.32 | 68.0 | 106.3 | 154.7 | 234.0 | 243.3 | 347.7 | 94.0 | 115.3 | 174.3 | 228.0 | 337.7 | 340.7 |
| 0.39 | 81.3 | 123.3 | 180.7 | 229.0 | 249.7 | 366.7 | 77.3 | 104.0 | 178.7 | 228.0 | 329.0 | 346.0 |
| 0.48 | 73.3 | 118.3 | 183.3 | 242.3 | 276.7 | 421.0 | 80.0 | 115.0 | 178.0 | 240.3 | 355.3 | 371.0 |
| 0.59 | 84.7 | 112.3 | 194.3 | 233.0 | 264.7 | 347.7 | 85.0 | 116.3 | 160.0 | 253.0 | 354.7 | 367.7 |
| 0.73 | 88.7 | 121.7 | 198.7 | 252.3 | 267.0 | 362.3 | 87.7 | 116.7 | 177.3 | 240.0 | 365.3 | 392.7 |
| 0.90 | 99.7 | 132.0 | 204.0 | 233.7 | 285.5 | 326.7 | 124.7 | 133.0 | 200.0 | 248.7 | 349.7 | 358.7 |
| 1.12 | 103.0 | 121.7 | 190.3 | 225.3 | 282.5 | 359.3 | 102.7 | 141.3 | 212.0 | 256.0 | 365.7 | 368.0 |
| 1.39 | 104.0 | 125.0 | 195.7 | 204.3 | 294.5 | 335.3 | 107.3 | 158.0 | 209.7 | 267.3 | 365.7 | 351.0 |
| 1.67 | 111.3 | 141.0 | 203.0 | 233.0 | 273.5 | 321.0 | 120.0 | 158.0 | 216.3 | 278.3 | 353.3 | 349.0 |
| 2.13 | 115.3 | 144.7 | 201.7 | 252.7 | 279.5 | 300.7 | 127.0 | 171.0 | 216.3 | 280.0 | 304.7 | 354.3 |
| 2.56 | 108.0 | 153.0 | 198.3 | 205.3 | 278.0 | 316.7 | 124.7 | 149.0 | 212.3 | 269.0 | 309.0 | 304.7 |
| 3.23 | 122.0 | 132.3 | 201.0 | 248.7 | 272.0 | 331.7 | 118.7 | 151.7 | 209.0 | 246.0 | 315.3 | 295.7 |

ตารางที่ 77: ดัชนีพื้นที่ใบของอ้อย พันธุ์ K และอ้อยพันธุ์ U-Thong 2 ที่สถานีแม่เหียะ²⁵³⁹

| ความหนาแน่น (ตันต่อบริตร) | ดัชนีพื้นที่ใบ | | | | | | | |
|------------------------------|----------------|------|------|------|------|------|------|------|
| | พันธุ์ K | | | | | | | |
| อายุอ้อย→ | 120 | 150 | 180 | 194 | 229 | 257 | 284 | 319 |
| 0.32 | 0.02 | 0.11 | 0.39 | 0.69 | 0.96 | 1.34 | 1.57 | 1.48 |
| 0.39 | 0.04 | 0.23 | 0.77 | 0.90 | 1.49 | 1.94 | 1.78 | 1.77 |
| 0.48 | 0.04 | 0.28 | 0.67 | 1.13 | 1.59 | 2.61 | 2.61 | 2.43 |
| 0.59 | 0.07 | 0.64 | 1.03 | 1.59 | 2.47 | 2.79 | 2.85 | 2.31 |
| 0.73 | 0.09 | 0.52 | 1.89 | 2.08 | 2.60 | 3.72 | 2.56 | 3.06 |
| 0.90 | 0.10 | 0.51 | 1.99 | 2.50 | 3.11 | 3.68 | 2.73 | 2.89 |
| 1.12 | 0.10 | 0.56 | 2.44 | 2.11 | 3.39 | 3.04 | 4.02 | 3.32 |
| 1.39 | 0.09 | 0.84 | 2.43 | 2.55 | 3.00 | 3.01 | 4.25 | 4.13 |
| 1.67 | 0.15 | 1.49 | 3.00 | 3.41 | 3.12 | 4.18 | 2.41 | 3.85 |
| 2.13 | 0.31 | 1.40 | 4.00 | 4.00 | 4.33 | 4.92 | 3.09 | 4.18 |
| 2.56 | 0.28 | 2.34 | 4.19 | 4.49 | 5.45 | 4.34 | 3.14 | 7.49 |
| 3.23 | 0.43 | 2.41 | 5.71 | 4.47 | 6.30 | 9.46 | 4.80 | 5.79 |
| | พันธุ์ U | | | | | | | |
| อายุอ้อย→ | 120 | 150 | 180 | 194 | 229 | 257 | 284 | 319 |
| 0.32 | 0.01 | 0.10 | 0.46 | 0.62 | 1.48 | 1.60 | 2.20 | 1.32 |
| 0.39 | 0.06 | 0.13 | 0.43 | 0.80 | 2.23 | 2.21 | 2.64 | 1.32 |
| 0.48 | 0.04 | 0.38 | 0.89 | 1.26 | 2.20 | 2.83 | 3.44 | 1.58 |
| 0.59 | 0.07 | 0.41 | 1.34 | 1.14 | 2.26 | 3.68 | 3.70 | 2.06 |
| 0.73 | 0.09 | 0.69 | 1.66 | 1.68 | 2.74 | 3.88 | 4.86 | 2.91 |
| 0.90 | 0.15 | 0.89 | 2.14 | 2.87 | 3.99 | 4.60 | 4.29 | 2.56 |
| 1.12 | 0.15 | 1.24 | 3.39 | 3.46 | 4.58 | 4.67 | 5.13 | 4.11 |
| 1.39 | 0.26 | 1.86 | 2.36 | 4.47 | 6.43 | 4.55 | 6.10 | 3.35 |
| 1.67 | 0.30 | 2.39 | 3.68 | 4.82 | 5.42 | 5.34 | 5.49 | 3.76 |
| 2.13 | 0.47 | 2.61 | 6.27 | 5.77 | 6.79 | 8.38 | 6.74 | 5.78 |
| 2.56 | 0.35 | 2.52 | 5.00 | 4.96 | 7.91 | 6.27 | 6.56 | 4.25 |
| 3.23 | 0.68 | 3.17 | 9.16 | 6.85 | 12.1 | 8.92 | 9.31 | 5.82 |

ในอ้อยทั้งสองพันธุ์พบว่าองค์ประกอบความหนาแน่นจาก CCS ค่า %brix ค่า %polarity และค่า %fiber มีความแปรปรวนสูงเมื่ออ้อยมีอายุน้อยกว่า 180 วันหลังปลูก (ตารางที่ 78-81) อย่างไรก็ตาม หลังจากนั้นพบว่า ค่าดังกล่าวเริ่มมีความสมมัติกับความหนาแน่น และมีค่าสูงขึ้นหลังจากอ้อยทั้งสองพันธุ์มีพัฒนาการถึงระดับจำนวนหน่อคงที่ คือเมื่ออายุได้ 229 วันหลังปลูก พบร่วมกับอ้อยทั้งสองพันธุ์ที่ปลูกในความหนาแน่นพิชระหว่าง 0.32 ถึง 0.48 ตัน ตรม⁻¹ มีค่าองค์ประกอบ CCS สูงกว่าในความหนาแน่นมากกว่า 0.48 ตัน ตรม⁻¹ และเมื่ออ้อยใกล้ถึงระดับเก็บเกี่ยว พบร่วมกับดังกล่าวมีแนวโน้มลดลงเมื่อความหนาแน่นเพิ่มขึ้น

ค่า CCS มีความสัมพันธ์กับความหนาแน่นพิช อ้อยที่ปลูกในความหนาแน่นระหว่าง 0.32 ถึง 0.73 ตัน ต่อบริตร มีค่า CCS สูงกว่าอ้อยที่ปลูกในความหนาแน่นระหว่าง 0.90 ถึง 2.56 ตัน ตรม⁻¹ และในช่วงหลัง จากระยะที่อ้อยมีจำนวนหน่อคงที่ (229 วัน) พบร่วมกับอ้อยพันธุ์ K มีค่า CCS ที่สูงกว่าพันธุ์ U แต่ในช่วงที่เก็บเกี่ยว พบร่วมกับอ้อยพันธุ์ U มีค่า CCS สูงกว่าอ้อยพันธุ์ K

ตารางที่ 78: ค่า CCS ของอ้อย พันธุ์ K และพันธุ์ U ที่สถานีแม่เหียะ 2539

| ความหนาแน่น (ตันต่อมتر³) | ค่า CCS ในแต่ละความหนาแน่น | | | | | | | | | |
|-----------------------------|----------------------------|------|------|-------|-------|----------|------|------|-------|-------|
| | พันธุ์ K | | | | | พันธุ์ U | | | | |
| | 194 | 229 | 257 | 284 | 319 | 194 | 229 | 257 | 284 | 319 |
| 0.32 | 3.02 | 3.26 | 9.21 | 8.29 | 14.23 | 0.03 | 6.58 | 8.70 | 12.55 | 17.47 |
| 0.39 | 1.04 | 4.62 | 9.46 | 8.67 | 14.64 | -1.27 | 5.60 | 7.64 | 11.72 | 17.00 |
| 0.48 | 0.95 | 3.25 | 8.70 | 9.79 | 15.11 | 0.09 | 2.73 | 6.01 | 11.57 | 18.12 |
| 0.59 | -0.48 | 4.03 | 8.40 | 9.85 | 14.13 | -0.75 | 1.85 | 5.38 | 10.20 | 16.57 |
| 0.73 | -0.21 | 4.98 | 7.02 | 10.38 | 14.01 | 0.61 | 2.04 | 4.22 | 8.65 | 16.38 |
| 0.90 | 1.12 | 3.95 | 7.59 | 10.70 | 13.92 | -0.56 | 5.94 | 4.15 | 7.85 | 15.63 |
| 1.12 | 0.20 | 3.72 | 4.89 | 10.21 | 13.89 | -0.34 | 4.38 | 4.10 | 9.06 | 16.37 |
| 1.39 | 0.61 | 4.03 | 6.08 | 9.93 | 13.83 | 0.74 | 4.14 | 3.79 | 9.11 | 16.00 |
| 1.67 | 2.30 | 4.38 | 7.07 | 10.77 | 12.11 | 0.34 | 3.31 | 3.35 | 9.08 | 14.65 |
| 2.13 | 0.79 | 4.99 | 7.69 | 8.44 | 14.03 | 0.46 | 4.73 | 5.52 | | 15.63 |
| 2.56 | 1.78 | 5.89 | 6.50 | 9.02 | 14.09 | 0.70 | 2.82 | 6.22 | 10.55 | 13.09 |
| 3.23 | 0.82 | 6.23 | 8.12 | 8.45 | 14.84 | 1.93 | 4.53 | 5.54 | 10.13 | 14.97 |

พบว่าในระยะแรกของการเจิญเติบโต ค่า CCS ในอ้อยทั้งสองพันธุ์ไม่มีความสัมพันธ์กับความหนาแน่น เมื่ออ้อยมีอายุมากขึ้น ค่า CCS มีการเพิ่มขึ้นและสัมพันธ์กับความหนาแน่น ในความหนาแน่นที่ต่ำ ค่า CCS มีค่า สูงกว่าอ้อยที่ปลูกในความหนาแน่นที่มากกว่า และในช่วงหลังจากระยะที่อ้อยมีจำนวนหนอนคงที่ (229 วัน) พบว่า อ้อยพันธุ์ K มีค่า CCS สูงกว่าพันธุ์ U แต่ในช่วงเก็บเกี่ยวพบว่าอ้อยพันธุ์ U มีแนวโน้มที่ค่า CCS สูงกว่าอ้อย พันธุ์ K

พบว่า ค่า %Polarity, %Brix, และ %Fiber มีความสัมพันธ์กับความหนาแน่น พบว่าในความหนาแน่นที่ ต่ำมากๆ (0.32-0.48 ตันต่อมتر³) ค่าดังกล่าวมีค่าสูงกว่าในความหนาแน่นที่สูงกว่า และเมื่ออ้อยใกล้ถึง ระยะเก็บเกี่ยว หรือระยะสุดท้าย พบว่าค่าดังกล่าวมีแนวโน้มที่จะลดลงเมื่อความหนาแน่นเพิ่มขึ้น

ตารางที่ 79: ค่า brix ของอ้อย พันธุ์ K และพันธุ์ U ที่สถานีแม่เหียะ 2539

| ความหนาแน่น (ตันต่อมتر³) | % บริกซ์ | | | | | | | | | |
|-----------------------------|----------|--------|-------|-------|-------|----------|-------|-------|-------|-------|
| | พันธุ์ K | | | | | พันธุ์ U | | | | |
| | 194 | 229 | 257 | 284 | 319 | 194 | 229 | 257 | 284 | 319 |
| 0.32 | 11.82 | -12.26 | 15.68 | 16.84 | 20.76 | 8.58 | 14.22 | 14.70 | 18.78 | 23.24 |
| 0.39 | 9.56 | 12.80 | 15.74 | 15.74 | 21.36 | 7.14 | 12.98 | 13.84 | 18.06 | 22.94 |
| 0.48 | 9.46 | 11.74 | 15.44 | 17.10 | 21.44 | 7.72 | 11.26 | 12.72 | 18.04 | 21.70 |
| 0.59 | 8.42 | 12.30 | 15.52 | 17.26 | 20.56 | 7.46 | 10.80 | 12.46 | 17.48 | 22.10 |
| 0.73 | 8.72 | 13.10 | 14.40 | 18.02 | 20.90 | 8.42 | 10.64 | 11.42 | 16.52 | 22.28 |
| 0.90 | 9.61 | 12.24 | 14.64 | 18.22 | 20.50 | 8.18 | 13.30 | 11.66 | 14.62 | 21.48 |
| 1.12 | 8.78 | 11.74 | 12.00 | 17.66 | 21.20 | 7.78 | 12.20 | 10.90 | 15.92 | 22.44 |
| 1.39 | 9.44 | 12.56 | 13.08 | 17.44 | 21.46 | 8.98 | 11.88 | 10.76 | 16.24 | 22.32 |
| 1.67 | 10.46 | 13.04 | 13.86 | 18.10 | 20.78 | 8.66 | 11.00 | 10.56 | 16.52 | 20.9 |
| 2.13 | 9.76 | 13.72 | 14.14 | 15.86 | 21.56 | 8.64 | 12.16 | 12.06 | na | 21.48 |
| 2.56 | 10.58 | 14.24 | 13.58 | 16.34 | 21.92 | 8.26 | 11.04 | 12.50 | 17.58 | 19.48 |
| 3.23 | 9.90 | 14.64 | 14.94 | 16.04 | 21.72 | 9.58 | 12.00 | 12.28 | 17.40 | 21.42 |

ตารางที่ 80: ค่า polarity ของอ้อยพันธุ์ K และพันธุ์ U-Thong 2 สถานีแม่เหียะ 2539

| ความหนาแน่น (ตันต่อบริชม) | % โพลาริตี้ | | | | | | | | | |
|------------------------------|-------------|------|-------|-------|-------|----------|-------|-------|-------|-------|
| | พันธุ์ K | | | | | พันธุ์ U | | | | |
| | 194 | 229 | 257 | 284 | 319 | 194 | 229 | 257 | 284 | 319 |
| 0.32 | 6.39 | 6.73 | 12.51 | 13.23 | 18.38 | 2.95 | 10.09 | 11.72 | 16.23 | 21.88 |
| 0.39 | 4.06 | 7.97 | 12.62 | 12.24 | 19.10 | 1.46 | 8.74 | 10.72 | 15.55 | 21.48 |
| 0.48 | 3.96 | 6.55 | 12.11 | 13.65 | 19.29 | 2.70 | 5.97 | 8.93 | 15.39 | 20.45 |
| 0.59 | 2.50 | 7.37 | 11.78 | 13.79 | 18.34 | 1.96 | 5.12 | 8.33 | 14.20 | 20.85 |
| 0.73 | 2.81 | 8.44 | 10.25 | 14.52 | 18.38 | 3.34 | 5.24 | 7.12 | 12.51 | 20.83 |
| 0.90 | 4.16 | 7.25 | 10.78 | 14.83 | 18.26 | 2.36 | 9.21 | 7.14 | 10.98 | 19.88 |
| 1.12 | 3.15 | 6.89 | 7.82 | 14.03 | 18.45 | 2.39 | 7.55 | 6.85 | 12.48 | 20.82 |
| 1.39 | 3.69 | 7.41 | 9.10 | 13.94 | 18.33 | 3.62 | 7.27 | 6.56 | 12.85 | 20.41 |
| 1.67 | 5.32 | 7.88 | 10.12 | 14.83 | 16.89 | 3.21 | 6.34 | 8.16 | 12.89 | 18.75 |
| 2.13 | 3.94 | 8.54 | 10.67 | 12.16 | 18.45 | 3.30 | 7.83 | 8.33 | na | 19.35 |
| 2.56 | 4.97 | 9.47 | 9.60 | 12.75 | 18.68 | 3.35 | 5.96 | 9.01 | 14.47 | 17.26 |
| 3.23 | 4.01 | 9.87 | 11.33 | 12.19 | 18.87 | 4.75 | 7.61 | 8.42 | 14.23 | 19.29 |

ตารางที่ 81: ค่า fiber ของอ้อยพันธุ์ K และพันธุ์ U-Thong 2 สถานีแม่เหียะ 2539

| ความหนาแน่น (ตันต่อบริชม) | %ไฟเบอร์ | | | | | | | | | |
|------------------------------|----------|-------|-------|-------|-------|----------|-------|-------|-------|-------|
| | พันธุ์ K | | | | | พันธุ์ U | | | | |
| | 194 | 229 | 257 | 284 | 319 | 194 | 229 | 257 | 284 | 319 |
| 0.32 | 9.40 | 9.70 | 9.10 | 12.30 | 11.00 | 10.00 | 11.20 | 8.20 | 9.70 | 11.50 |
| 0.39 | 7.90 | 9.50 | 7.80 | 10.80 | 12.40 | 8.10 | 8.30 | 10.00 | 11.80 | 12.00 |
| 0.48 | 8.50 | 9.90 | 10.10 | 11.50 | 10.80 | 7.70 | 9.50 | 7.50 | 11.50 | 12.70 |
| 0.59 | 8.60 | 10.20 | 8.50 | 11.90 | 11.80 | 8.80 | 8.80 | 7.30 | 12.50 | 12.00 |
| 0.73 | 7.40 | 11.40 | 7.10 | 12.40 | 12.00 | 7.60 | 10.50 | 7.60 | 11.10 | 12.50 |
| 0.90 | 9.20 | 9.30 | 7.30 | 12.20 | 12.70 | 7.60 | 10.20 | 7.40 | 10.60 | 12.00 |
| 1.12 | 8.70 | 9.00 | 7.30 | 9.90 | 12.50 | 8.00 | 8.70 | 7.50 | 9.20 | 12.10 |
| 1.39 | 8.00 | 8.80 | 7.50 | 12.20 | 11.20 | 6.40 | 9.20 | 7.50 | 11.90 | 11.60 |
| 1.67 | 7.30 | 8.90 | 7.40 | 12.10 | 12.70 | 6.90 | 9.70 | 7.60 | 11.50 | 10.90 |
| 2.13 | 8.90 | 8.70 | 7.00 | 11.60 | 10.60 | 7.30 | 9.20 | 7.50 | na | 8.10 |
| 2.56 | 7.70 | 9.70 | 7.60 | 11.20 | 11.10 | 8.00 | 9.20 | 7.30 | 12.00 | 12.40 |
| 3.23 | 8.70 | 9.70 | 8.00 | 11.10 | 8.50 | 8.10 | 8.90 | 7.40 | 12.20 | 11.70 |

สรุป

อ้อยทั้งสองพันธุ์มีการตอบสนองต่อความหนาแน่นที่แตกต่างกันแต่มีแนวโน้มไปในทางเดียวกัน คือ ในระยะแรกของพัฒนาการ (1-120 วัน) ความหนาแน่นไม่มีผลกระทบต่อการเจริญเติบโตของอ้อยทั้งสองพันธุ์ หลังจากนั้น อ้อยทั้งสองพันธุ์มีการตอบสนองต่อความหนาแน่นในด้านการสะสมน้ำหนัก ต้นสุดและต้นแห้ง น้ำหนักไปแห้ง กากใบแห้ง จำนวนหน่อต่อตารางเมตร ความสูง ต้นนีเป็นที่ใบ และองค์ประกอบของค่า CCS อย่างชัดเจน

ผลผลิตของอ้อยในด้านน้ำหนักอย่างสุด และคุณภาพความหวาน สามารถเพิ่มขึ้นได้โดยการใช้ความหนาแน่นที่เหมาะสม ที่ไม่สูงจนเกินไปนัก และยังพบอีกว่าอ้อยพันธุ์ B มีการพัฒนาการและตอบสนองต่อความหนาแน่นที่ดี แต่เร็วกว่าอ้อยพันธุ์ K

จิรศิทธิ์มหาวิทยาลัยเชียงใหม่
Copyright[©] by Chiang Mai University
All rights reserved

ส่วนที่ 1 การประมาณผลผลิตอ้อยโดยใช้แบบจำลองพัฒนาการและ
การเจริญเติบโตของอ้อย

ชนิดของเชื้อราและเชื้อแบคทีเรียที่ติดมากับ
ท่อนพันธุ์อ้อย

ศักดิ์ดา จงแก้ววัฒนา และ สมเกียรติ สุวรรณครี

ลิขสิทธิ์มหาวิทยาลัยเชียงใหม่
Copyright © by Chiang Mai University
All rights reserved

อ้อ ไข เป็นพืชที่มีโอกาสได้รับการเข้าทำลายด้วยโรคต่าง ๆ มากกว่า 40 ชนิดต่อคระยะเวลาของการเพาะปลูก (ตารางภาคผนวกที่ 1) สาเหตุหลักที่สำคัญประการหนึ่งของการเกิดโรคอ้อยคือเชื้อที่ติดมาภัยท่อนพันธุ์อ้อยซึ่งมีเชื้อรา เชื้อแบคทีเรีย และเชื้อไวรัส เป็นสาเหตุของโรคต่าง ๆ เช่น โรคแส้คำ (rotat) โรคใบขาว (white leaf) โรคใบต่าง (mosaic) และโรคตอแคระแกรน (ratton stuntting) เป็นต้น ดังนั้นการวินิจฉัยชนิดของเชื้อบนท่อนพันธุ์อ้อยที่ทำให้เกิดโรคได้เป็นแนวทางหนึ่งที่ช่วยในการเลือกมาตรการที่เหมาะสมในการป้องกันกำจัดโรคเหล่านี้ การศึกษาครั้งนี้เป็นการวินิจฉัยชนิดของเชื้อรา และเชื้อแบคทีเรียที่ติดมาภัยท่อนพันธุ์อ้อยสองพันธุ์คือ K และ P

อุปกรณ์และวิธีการ

นำพันธุ์อ้อยที่ได้จากศูนย์วิจัยพืชไตรสุพรวงบุรีสองพันธุ์คือ พันธุ์ K และ P มาล้างด้วยน้ำகள்ที่มีเชื้อแล้ว และเช็ดด้วยสารละลาย Clorox 10% จากนั้นทำการตัดแยกเนื้อเยื่อส่วนโคน ตา เปล็อก และกาบใบ เป็นชิ้นสี่เหลี่ยม จดบันทึก นำชิ้นเนื้อเยื่ออ้อยเหล่านี้มาแช่ในสารละลาย Clorox 10% 5 นาที และนำไปเลี้ยงบนอาหารเลี้ยงเชื้อ PDA ณ อุณหภูมิห้อง เพื่อตรวจดูชนิดของเชื้อรา และอาหารเลี้ยงเชื้อ 523 ใน incubator ที่อุณหภูมิ 32 °C เพื่อตรวจดูชนิดของเชื้อแบคทีเรีย

หลังจากการเลี้ยงเชื้อที่อยู่บนเนื้อเยื่อของอ้อยได้ 24 ชั่วโมง ได้ทำการสังเกตุเชื้อที่เกิดขึ้นบนอาหารเลี้ยง เชื้อย่างต่อเนื่อง เมื่อพบว่ามีเชื้อเกิดขึ้นบนอาหารเลี้ยงเชื้อ ถ้าเป็นเชื้อรา ก็จะทำการวินิจฉัยโดยการเรียกเชื้อมา วางบน slide ที่มีหยดของ lectophenol แล้วตรวจชนิดของเชื้อภายใต้กล้องจุลทรรศน์ ส่วนเชื้อแบคทีเรียที่เกิดขึ้นบนอาหารเลี้ยงเชื้อจะนำไปย้อมสี gram และ flagella ก่อนที่จะนำไปตรวจภายใต้กล้องจุลทรรศน์

ผลการศึกษา

เชื้อรา

เชื้อราที่เกิดขึ้นเป็นเชื้อรา *Fusarium* sp. พบในส่วนของเนื้อเยื่อส่วนโคน ตา เปล็อก และกาบ-ใบ ของท่อนสองพันธุ์ เชื้อรา *Fusarium* sp. เป็นสาเหตุของโรคเรียวน้ำ (Red rot-wilt, ภาพที่ 1) ซึ่งทำให้อ้อยมีอาการเรียวน้ำพลัน ยืนต้นแห้งตาย ในกาบใบ และลำต้นจะเป็นสีน้ำตาลแห้ง ภายในปล้องเน่าเสื่อม เชื้อราจะเข้าไปในปล้องและภายในลำต้น ทำให้รากเสื่อมเสีย ขาดเส้นใยและเสื่อมเสีย ภายในลำต้นจะเป็นสีน้ำตาลปนดำ มีจุดสีแดงปะปนเล็กน้อย และลำต้นจะกรอบ เป็นจุด ๆ ภายในลำต้นมีเชื้อราฟื้นสภาพเป็นเทา ภาพของเชื้อรา *Fusarium* sp. ที่เลี้ยงได้แสดงในภาพที่ 2 และ 3

เชื้อราที่พบอีกชนิดหนึ่งซึ่งพบในส่วนตาของพันธุ์ K ได้แก่ *Cladosporium* sp. แต่เชื้อราชนิดนี้ยังไม่พบว่า เป็นสาเหตุของโรคอ้อย

เชื้อแบคทีเรีย

เชื้อแบคทีเรียที่พบบนอาหาร 523 พบว่ามีสองชนิดคือ *Xanthomonas* sp. และ *Erwinia* sp. เชื้อ *Xanthomonas* sp. (ภาพที่ 4) พบรในส่วนของตาและเปลือกของพันธุ์ U และพบในเฉพาะส่วนเปลือกของพันธุ์ K

เชื้อแบคทีเรีย *Xanthomonas* sp. เป็นสาเหตุของโรคต่าง ๆ ตาม species คือ โรคใบคลอก (Leaf scald, ภาพที่ 5) ซึ่งเกิดจากเชื้อ *Xanthomonas albilineans* มักจะขณะทำการใบเหลืองปนข้าว และเมี้ยงแห้งจืดเส้าหา กัน มีเส้นริ้วขาวยาวจากขอบใบไปเฉียงเข้าหากลางใบไปจนถึงโคนใบ-อ้อยมีอาการแห้งตายทั้งกอโดยเริ่มแห้ง มากจากยอด ตา-อ้อยออกเป็นยอดอ่อนบนลำต้น นอกจากนั้นอาจพบจุด หรือขีดแดงสัน ๆ บริเวณข้อภายในลำต้น

โรคใบ赤ดงและยอดเน่า (Red stripe and top rot, ภาพที่ 6) เกิดจากเชื้อ *Xanthomonas rubrilineans* สามารถมีเส้นสีแดงเป็นริ้วขาวชัด ตามความยาวของใบอ้อย หรือเกิดอาการยอดเน่าในอ้อยบางพันธุ์โดยไม่มีแผล บนใบเลย หรืออ้อยบางพันธุ์ก็อาจแสดงอาการบนใบ และยอดเน่าพร้อม ๆ กัน ในยอดเน่านี้เมื่อดึงจะหลุด และมีกลิ่นเหม็น สวยงามในปล้องจะเริ่มข้า ถ้าแผลแก่จะเป็นสีน้ำตาลหรือแดง ปล้องจะกลวง ขอบแผลบริเวณที่ติดกับเปลือกอ้อยมีสีแดงเข้ม ตาอ้อยด้านข้างก็อาจออกเป็นหนองบนต้น

โรคกัมโนชิต (Gumosis) เกิดจากเชื้อ *Xanthomonas vasculirum* 侵占พบร่วมมีผลเสียหายต่อผลผลิต ของอ้อย อย่างไรก็ตาม จากการวินิจฉัยไม่สามารถบอกถึง species ของเชื้อที่พบร่วมอยู่ได้ ดังนั้นเชื้อ *Xanthomonas* sp. อาจเป็น species ใด species หนึ่งดังที่ได้กล่าวมาข้างต้นได้ สำหรับเชื้อ *Erwinia* sp. ที่พบ นั้นพบร่วมกับเปลือกของพันธุ์ U และ K และพบในส่วนตาของพันธุ์ U เท่านั้น สำหรับแบคทีเรียชนิดนี้ไม่พบว่า เป็นสาเหตุของโรคอ้อย

สรุป

ห่อนพันธุ์อ้อยทั้งสองพันธุ์คือ K และ U มีเชื้อราและเชื้อแบคทีเรียที่เป็นสาเหตุของโรค โดยเฉพาะโรคที่เกิดได้ในระยะเริ่มปูก คือโรคใบคลอก โรคยอดเน่า และโรคเมี้ยงแห้ง นอกจากนี้พบร่องไวรัสซึ่งเป็นสาเหตุของโรคอ้อยอีก หลายโรคซึ่งไม่สามารถวินิจฉัยจากการศึกษาครั้งนี้ได้ ดังนั้นการตรวจท่อนพันธุ์อ้อยที่แข็งแรงและปราศจากเชื้อ- โรคจึงเป็นวิธีป้องกันโรคเบื้องต้นตั้งแต่การเริ่มปลูกอ้อย

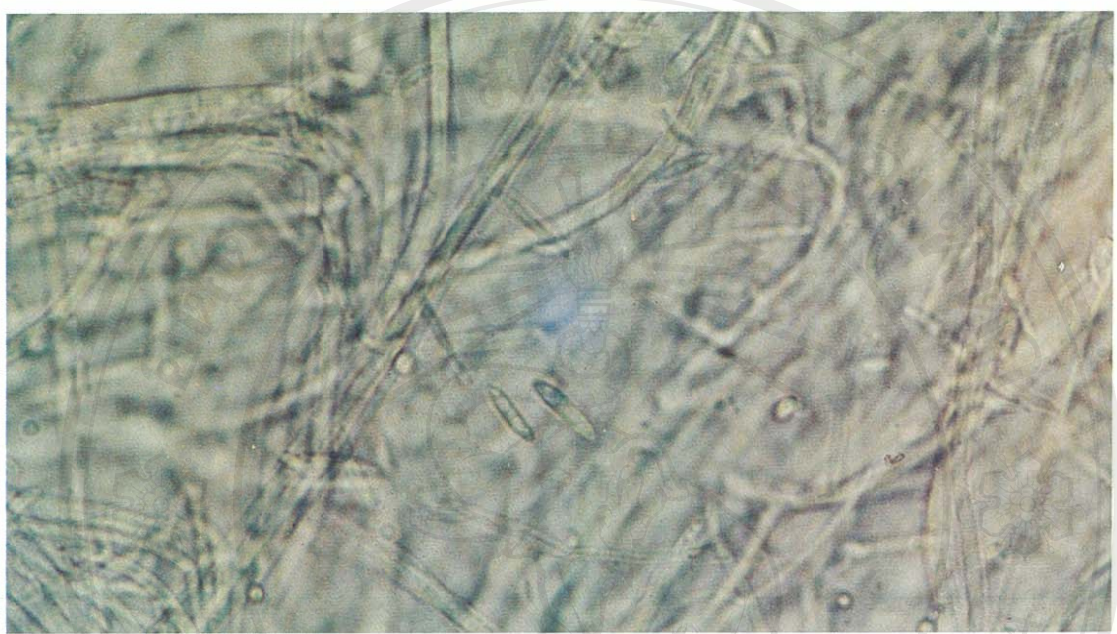
ภาพที่ 1: โรคเนี่ยวน่า (red rot wilt) ของอ้อย เกิดจากเชื้อ *Fusarium sp.* (กรมวิชาการเกษตร 2528)



ภาพที่ 2: กลุ่มเส้นใยของเชื้อราก *Fusarium sp.* บนอาหาร PDA

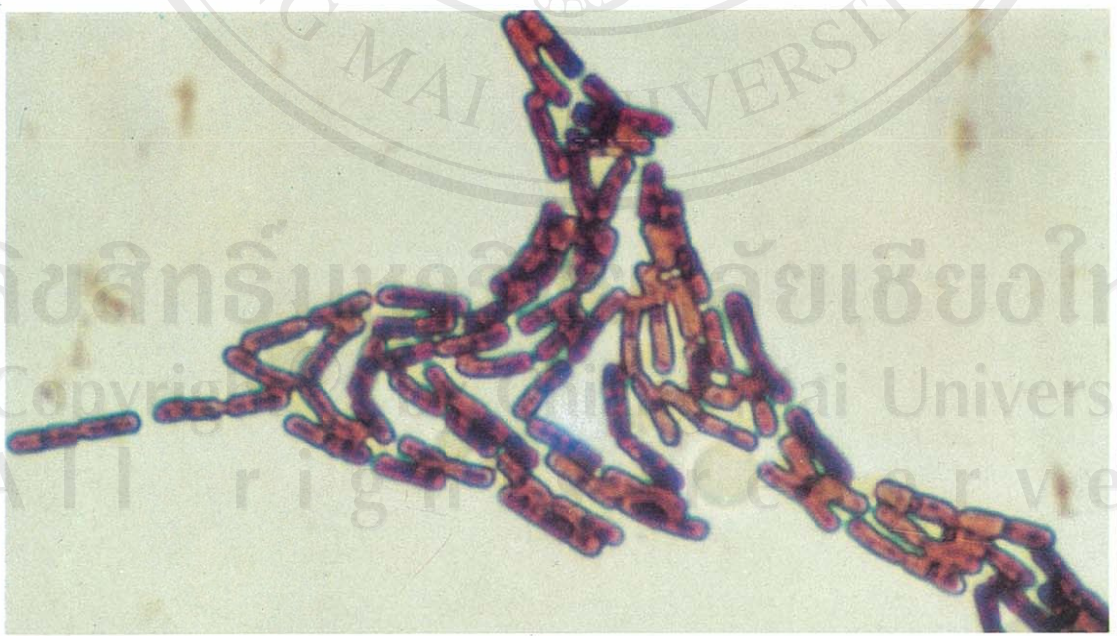


ภาพที่ 3:

กลุ่ม Mycelium และ spore ของเชื้อ *Fusarium sp.*

ภาพที่ 4:

ลักษณะเชื้อแบคทีเรียที่พบบนห่อนพันธุ์อ้อย



ภาพที่ 5: โรคใบคลาก (leaf scald) ของอ้อย เกิดจากเชื้อแบคทีเรีย *Xanthomonas albilineans* (กรมวิชาการเกษตร 2528)



ภาพที่ 6: โรคใบขีดแดงและยอดเน่า (red stripe and top rot) ของอ้อย เกิดจากเชื้อ *Xanthomonas rubrilineans* (กรมวิชาการเกษตร 2528)

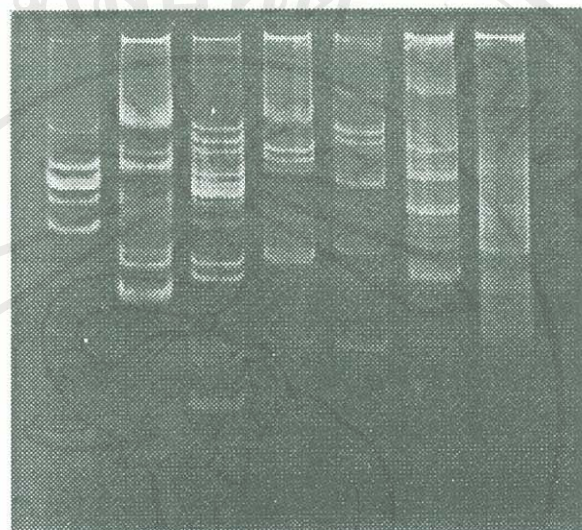


รูปที่ 24:

RAPD ของ genomic DNA จากอ้อย 1 สายพันธุ์ ที่ถูกเพิ่มปริมาณด้วยเทคนิค PCR โดยใช้ 10-base primer จำนวน 6 ชนิด

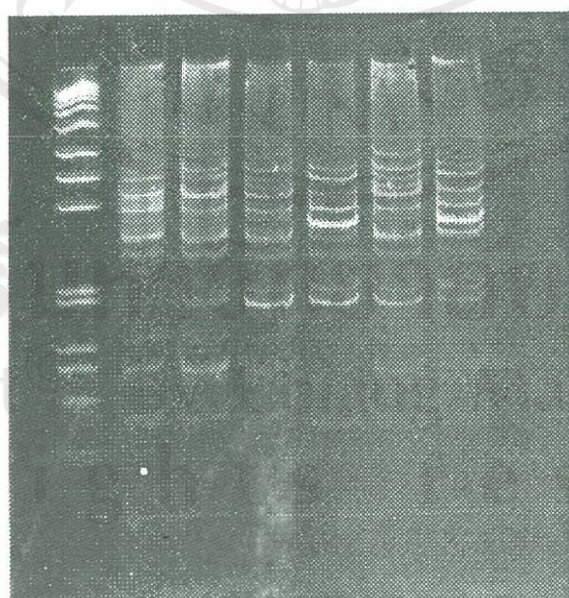
ภาพที่ 1: RAPD ของ primer DNA แห้งๆ แยก ที่ใช้เป็น positive control strain

ภาพที่ 2-7: RAPD ของ unknown อ้อย ที่เกิดจากการใช้ primer ที่แตกต่าง 6 ชนิด



รูปที่ 25:

เปรียบเทียบแบบแผน RAPD อ้อยจำนวน 6 ตัวอย่างจากอ้อย 2 สายพันธุ์ โดยใช้ 10-base primer 1 ชนิด





อิชสิทธิ์มหาวิทยาลัยเชียงใหม่
Copyright © by Chiang Mai University
All rights reserved

**ส่วนที่ 1 การประมาณผลผลิตอ้อยโดยใช้แบบจำลองพัฒนาการและ
การเจริญเติบโตของอ้อย**

**PCR-RAPD: A genetic tool for sugarcane
research**

วัลลดา ดีชูพงษ์พิชัย และ ธีรดา หวังสมบูรณ์
ภาควิชาโรคพืชวิทยา คณะเกษตรศาสตร์ มหาวิทยาลัยขอนแก่น

ลิขสิทธิ์มหาวิทยาลัยเชียงใหม่
Copyright[©] by Chiang Mai University
All rights reserved

ส่วนที่ 1 การประมาณผลผลิตอ้อยโดยใช้แบบจำลองพัฒนาการและ
การเจริญเติบโตของอ้อย

การวิเคราะห์หาปริมาณซูครอส (sucrose) ใน
น้ำอ้อย

วิทยา จงแก้ววัฒนา

ลิขสิทธิ์มหาวิทยาลัยเชียงใหม่
Copyright[©] by Chiang Mai University
All rights reserved

ปัจจุบันได้มีการนำเทคนิคใหม่ ๆ เช่น การเตรียม DNA เพื่อการศึกษา การเพิ่มปริมาณชิ้น DNA ในหลอดแก้ว การศึกษาแบบแผน (profiles) และการศึกษาลำดับของเบส การตัดต่อและย้ายตำแหน่งของยีนด้วยเทคนิค PCR-RAPD เป็นต้น เทคนิคเหล่านี้ก่อตัวให้เกิดการเปลี่ยนแปลงทางพันธุกรรม และเป็นประโยชน์ในการศึกษาลักษณะของสิ่งมีชีวิต (Hadrys et al, 1992; และ Williams et al, 1990) เทคนิคเดิมหรือการทำ DNA fingerprint และ molecular marker ของพืชนิยมใช้เทคนิค RFLP ซึ่งต้องเตรียม DNA เป็นปริมาณมากและใช้ restricted endonuclease มากกว่าหนึ่งชนิด เป็นเหตุให้ต้องใช้เวลานานและไม่สะดวก วิธีการใหม่ตามเทคนิคของ PCR ใช้ primer ที่มีลักษณะเป็น arbitrary primer ทำให้สามารถเพิ่มปริมาณชิ้น DNA จากตำแหน่งต่าง ๆ บน chromosome ที่ใช้เทคนิครู้จักในวงการว่า RAPD (Williams et al, 1990) สามารถแสดงให้เห็นความสัมพันธ์ระหว่างพืชชนิดต่าง ๆ นอกจากนี้ผลการเปรียบเทียบวิธีการ RAPD ทำให้ค้นพบ molecular markers ที่สามารถพัฒนาเป็นเครื่องมือในการตรวจสอบความบริสุทธิ์ของสายพันธุ์พืช ความต้านทานโรคของพืช (Dax et al, 1994; Hadrys et al, 1992; และ Klein-Lankhorst et al, 1991)

งานวิจัยนี้ศึกษาการใช้เทคนิค PCR-RAPD ในอ้อยสองพันธุ์ สำหรับเป็นข้อมูลเบื้องต้นในการศึกษาหา molecular markers เพื่อประโยชน์ในการปรับปรุงพันธุ์อ้อย และการบรรยายความแตกต่างระหว่างพันธุ์อ้อยซึ่งอาจจะเป็นประโยชน์ในการพัฒนาและทดสอบแบบจำลองการเจริญเติบโตของอ้อย

อุปกรณ์และวิธีการ

เตรียม genomic DNA จากใบอ้อยที่ยังไม่คลื่น บดตัวอย่างใบให้ละเอียดด้วยใบตรามเน刚好โดยใช้ CTAB ตัวอย่าง PCR-RAPD เตรียมชิ้นจากสารละลาย 50 µl reaction ตามวิธีการของ Williams et al (1990) DNA ที่ได้จากการ amplify นำมาวิเคราะห์เปรียบเทียบ RAPD ด้วย 1.3% agarose หรือ 5% T PAGE

ผลการศึกษา

การเตรียม RAPD ของอ้อย พบร่วมกับ 10-base primers จำนวน 5 ใน 6 primers ที่แสดง RAPD ของอ้อย (รูปที่ 24) จากนั้นนำ primer หนึ่งชนิด มาเตรียม RAPD ของอ้อยทั้งสองพันธุ์ จำนวนหกตัวอย่าง ผลการเปรียบเทียบพบว่า primers ที่ใช้สามารถแสดง RAPD ที่มีความแตกต่างระหว่างพันธุ์อ้อย (รูปที่ 25) แบบแผนของ DNA ดังกล่าวมีทั้ง DNA fragments ที่มีความเหมือนและความแตกต่างที่จะนำไปพัฒนาใช้ในการศึกษาพันธุกรรมของอ้อยต่อไป (Silva et al, 1993)

Skorupska et al (1993) ใช้เทคนิคนี้ในการศึกษาลักษณะทางสรีระและทางเกษตรของตัวเหลืองในสกุล germplasm ได้สำเร็จ ในอ้อยความมีการศึกษาต่อไปเพื่อประโยชน์ในการแยกความแตกต่างระหว่างพันธุ์อ้อยในด้านพัฒนาการ (development) และ การเจริญเติบโต (growth)

น้ำอ้อยที่ได้จากส่วนต่าง ๆ ของลำต้นอ้อยหนึ่ง คำมีปริมาณน้ำในครอสแตกต่างกัน ดังนั้นการหาน้ำอ้อยเกี่ยวกับปริมาณน้ำในครอสในส่วนต่าง ๆ ของต้นอ้อยเป็นข้อมูลหนึ่งในการตัดสินใจเพื่อดำเนินการเก็บตัวอย่างน้ำอ้อยเพื่อให้ผลการวิเคราะห์มีความถูกต้อง ซึ่งทำให้การประมวลผลการทดสอบ มีพื้นฐานจากผลผลิตน้ำตาลออย่างแท้จริง องค์ประกอบของต้นอ้อย และผลการวิเคราะห์น้ำอ้อยที่ได้จากส่วนต่าง ๆ ของลำอ้อย ที่เรียกว่า millable cane เป็นส่วนของลำต้นอ้อยที่สามารถสกัดน้ำอ้อยได้ปริมาณมาก และมีปริมาณน้ำในครอสมากที่สุด (ตารางที่ 82)

น้ำอ้อยในน้ำอ้อย

น้ำอ้อยเป็นชนิดของน้ำตาลที่พบมากที่สุดในน้ำอ้อย น้ำอ้อยเป็นสารประกอบคาร์บอไฮเดรตชนิดหนึ่งที่เรียกว่า disaccharides เกิดจากการรวมกันของโมเลกุลสองชนิด คือ กลูโคส (glucose) และฟรุกโตส (fructose) อย่างละหนึ่งโมเลกุล กลูโคสและฟรุกโตสเป็นสารประกอบคาร์บอไฮเดรตชนิด monosaccharides

การน้ำในไฮเดรตตั้งสามชนิดนี้จะถูกดึงออกได้มาก ให้ส่วน率ที่มีอันดับความหวาน (ตารางที่ 83) น้ำอ้อยมีคุณสมบัติเป็น non-reducing sugar ซึ่งสามารถถูกไฮดรอลายซ์ (hydrolyze) หรือทำปฏิกิริยา กับเอนไซม์ invertase ในผู้ผลิตที่เป็นกลูโคส และฟรุกโตสอย่างละหนึ่งโมเลกุล นอกจากนี้แล้วน้ำอ้อยในครอสยังมีความหวานของแสงไฟไว้ใช้ได้อีกด้วย ซึ่งจากคุณสมบัตินี้สามารถนำไปใช้ในเชิงพาณิชย์ได้

ตารางที่ 84 แสดงองค์ประกอบชนิดต่าง ๆ ที่จะพบในน้ำอ้อย ซึ่งมีน้ำอ้อยเป็นองค์ประกอบหลัก รวมทั้งสารประกอบชนิดอื่นรวมอยู่ด้วยเป็นจำนวนมาก สารประกอบเหล่านี้จะเป็นสารปันเปื้อนที่มีผลกระทบต่อการวิเคราะห์น้ำอ้อยอย่างมาก

วิธีการวิเคราะห์หาปริมาณน้ำอ้อยในน้ำอ้อย

จะแบ่งการวิเคราะห์น้ำอ้อยออกเป็น 2 วิธีการ คือ 1) การวิเคราะห์โดยใช้เครื่องมือ และ 2) การวิเคราะห์โดยใช้กระบวนการทางเคมี โดยมีรายละเอียดของแต่ละวิธีการดังนี้

การวิเคราะห์โดยการใช้เครื่องมือ

วิธีการนี้อาศัยคุณสมบัติของน้ำตาลชนิดต่าง ๆ ที่สามารถจะมีความหวานของแสงไฟไว้ใช้ได้มากน้อยแตกต่างกัน น้ำตาลที่มีความหวานมากกว่า d-sugar เช่น กลูโคส ส่วนน้ำตาลที่มีความหวานน้อยกว่า เช่น l-sugar เช่น ฟรุกโตส เครื่องมือที่ใช้วัดการเปลี่ยนแปลงของแสงไฟ เช่น โพลาโรเมเตอร์ (polarimeter) การศึกษาเรื่องนี้ เรียกว่า โพลาโรเมเตอร์ หน่วยเป็นองศา เรียกว่า observe rotation ใช้สัญลักษณ์ °C ซึ่งขึ้นอยู่กับความเข้มข้นของสารละลายน้ำตาล ระยะเวลาที่แสงผ่านสารละลายน้ำตาล (ความยาวของหลอดที่ใส่สารละลายน้ำตาล) ความยาวคลื่นแสง และอุณหภูมิ ปัจจัยดังกล่าวมีความสัมพันธ์ตามสมการ

ตารางที่ 82: องค์ประกอบของสารคาร์บอไฮเดรตในส่วนต่าง ๆ ของดั้นอ้อย

| parts | % of Whole | Juice Extraction (%) | Juice Analyses | | | (mg/ml) | |
|---------------|------------|----------------------|----------------|-------------------------|---------|----------|---------|
| | | | Starch | Soluble polysaccharides | Sucrose | Fructose | Glucose |
| Leaf blade | 11.1 | 40.0 | 0.30 | 5.40 | 7.72 | 3.76 | 6.76 |
| Leaf sheath | 4.3 | 38.6 | 0.00 | 4.03 | 14.20 | 3.33 | 6.92 |
| Leaf roll | 2.0 | 48.2 | 0.09 | 5.58 | 6.85 | 7.56 | 13.60 |
| Stem tip | 1.6 | 47.6 | 0.08 | 5.90 | 14.80 | 12.90 | 17.52 |
| Millable cane | | | | | | | |
| 1 st 60 cm | 14.0 | 69.3 | 0.07 | 1.81 | 130.48 | 6.88 | 9.84 |
| 2 nd 60 cm | 14.8 | 71.3 | 0.06 | 1.45 | 154.88 | 5.38 | 6.08 |
| 3 rd 60 cm | 17.8 | 73.6 | 0.04 | 1.47 | 181.86 | 3.63 | 4.04 |
| 4 th 60 cm | 19.6 | 71.1 | 0.03 | 1.30 | 186.10 | 3.06 | 2.80 |
| Stubble | 9.3 | 65.3 | 0.07 | 2.01 | 152.50 | 3.01 | 5.94 |
| Roots | 1.3 | 27.2 | 0.00 | 1.28 | 8.76 | 1.25 | 2.50 |
| Dead leaves | 4.3 | 37.1 | 0.00 | 5.42 | 0.00 | 0.00 | 0.00 |

*Starch was determined iodometrically; soluble polysaccharides were measured as the alcohol-insoluble reactants with phenol-sulfuric acid, and sugars were separated and measured by high-pressure liquid chromatography.

The entire root system was not used, only the part attached to the stubble as it came from the ground was tested.

ตารางที่ 83: ระดับความหวานของสารคาร์บอไฮเดรต

| | | | | | |
|--------------|---------|----------|-----|-----------|-----|
| Fructose | 1.1-1.8 | Glycerol | 0.8 | Galactose | 0.6 |
| Sucrose | 1.0 | Glucose | 0.7 | Mannose | 0.6 |
| Xylitol | 1.0 | Mannitol | 0.6 | Maltose | 0.4 |
| Invert sugar | 0.9 | Xylose | 0.6 | Lactose | 0.4 |

ตารางที่ 84: ส่วนประกอบของดั้นอ้อยและน้ำอ้อย

| ส่วนประกอบ | ร้อยละ (%) |
|--|-------------------|
| ผักชีอ้อยที่สามารถดันได้ (millable cane) | |
| Water | 73-76 |
| Solids | 24-27 |
| soluble solids | 10-16 |
| Fiber (dry) | 11-16 |
| องค์ประกอบของน้ำอ้อย | Soluble Solids(%) |
| Sugars | 75 - 92 |
| Sucrose | 70 - 88 |
| Glucose | 2 - 4 |
| Fructose | 2 - 4 |
| Salts | 3.000 - 4.500 |
| Inorganic acids | 1.500 - 4.500 |
| Organic acids | 1.000 - 3.000 |
| Organic acids | 1.500 - 5.500 |
| Carboxylic acids | 1.100 - 3.000 |
| Amino acids | 0.500 - 2.500 |
| Other organic nonsugars | |
| Protein | 0.500 - 0.800 |
| Starch | 0.001 - 0.050 |
| Gums | 0.300 - 0.060 |
| Waxes, fats, phosphatides | 0.050 - 0.150 |
| Other | 3.000 - 5.000 |

$$(\alpha)_D^T = (\alpha)_{\text{obs}} / C \times L; \quad \text{โดยที่}$$

$(\alpha)_D^T$ = ค่า specific rotation ที่อุณหภูมิ T โดยใช้ไฮเดรย์สเปกตรัม D-line เป็นแหล่งกำเนิดแสง

$(\alpha)_{\text{obs}}$ = Optical rotation หรือ observe rotation

C = ความเข้มข้นของน้ำตาลในหน่วยกรัมต่อลิลิตร

L = ความยาวของหลอดที่ใส่สารละลายน้ำตาลในหน่วยเมตร

ในการปฏิบัติ การใช้เครื่องมือเป็นสิ่งที่ทำได้ง่าย สะดวก และรวดเร็ว ได้ผลการวิเคราะห์ภายในเวลาไม่เกิน 30 วินาที ดังนั้นจึงเป็นที่นิยมของโรงงานน้ำตาลถึงแม้ว่าจะมีราคาแพง รวมทั้งมีเครื่องคอมพิวเตอร์ช่วยให้เครื่องมือเหล่านี้มีประสิทธิภาพมากขึ้น และประสิทธิภาพสำคัญของการวิเคราะห์ด้วยเครื่องมือหลักเลี้ยงการใช้สารเคมีเป็นจำนวนมากมาก แต่มีจุดอ่อนหลายประการ เช่น การเคลื่อนย้ายเครื่องมือไปยังสถานที่ต่าง ๆ มีความยุ่งยากมาก เครื่องมือมีราคาแพง การควบคุมสภาพของเครื่องให้คงที่ได้ยาก เมื่อมีปัญหาต้องใช้ช่างผู้เชี่ยวชาญการ

การวิเคราะห์ความกระวนการทางเคมี

มีวิธีการวิเคราะห์สองแบบ คือ 1) Gravimetric เป็นการซึ่งหนักตะกอนที่ได้ ปริมาณน้ำตาล และ 2) Volumetric เป็นการวัดปริมาตรน้ำตาลที่สามารถทำให้เกิดตะกอนสีแดงอิฐกับ สารละลายเฟลลิง (Fehling's solution)

วิธีการมีพื้นฐานจากหลักการตามคุณสมบัติของน้ำตาลซึ่งเป็น reduce sugar เมื่อเกิดปฏิกิริยาทางเคมีจะให้ตะกอนสีแดงอิฐ ปริมาณของตะกอนนี้สัมพันธ์กับปริมาณน้ำตาลดังแสดงในปฏิกิริยาข้างล่างนี้



การวิเคราะห์โดยสารเคมีมีจุดเด่นหลายประการ เช่น อุปกรณ์ที่ใช้ในการวิเคราะห์ราคาไม่แพงมาก หาซื้อได้ง่าย มีความถูกต้องแม่นยำดีพอสมควร อุปกรณ์และเครื่องมือสามารถเคลื่อนย้ายได้สะดวก และไม่ค่อยมีปัญหาด้านสภาพการทำงาน ข้อด้อยของวิเคราะห์โดยสารเคมี คือ ใช้เวลาในการวิเคราะห์ ผู้ปฏิบัติการทดสอบต้องได้รับการฝึกฝนจึงจะมั่นใจในผลการทดสอบ และต้องใช้ความระมัดระวังในการคำนวณผล

ส่วนที่ 1 การประเมินผลผลิตอ้อยโดยใช้แบบจำลองพัฒนาการและ
การเจริญเติบโตของอ้อย

แบบจำลองอ้อย ThaiCane 1.0

อรรถชัย jinตะเวช ศักดีดา จงแก้ววัฒนา และ
N.G. Inman-Bamber

ลิขสิทธิ์มหาวิทยาลัยเชียงใหม่
Copyright[©] by Chiang Mai University
All rights reserved

แบบจำลองอ้อย ThaiCane 1.0 เป็นแบบจำลองที่ได้รับการพัฒนาจากแบบจำลองพัฒนาการและการเจริญเติบโตอ้อย CANEGRO 3.0 ซึ่งมีพื้นฐานจากแบบจำลองอ้อยพืชในระบบ DSSAT 3.0 แบบจำลองอ้อย CANEGRO 3.0 ได้รับการพัฒนาโดย Drs. Inman Bamber และ Greg Kiker มีความสามารถในการจำลองระบบ-การผลิตอ้อยในระดับการผลิตพืชระดับที่สอง (ดูเรื่องแนวคิดและหลักการโดย อุรรถชัย และ คณะ หน้า 2-19)

แม้ว่าแบบจำลอง ThaiCane 1.0 ยังต้องได้รับการพัฒนาในหลายประดิษฐ์ และต้องผ่านการทดสอบเพื่อให้เกิดความน่าเชื่อถือในการนำใช้งานประกอบการคาดการณ์ผลผลิตอ้อยในพื้นที่ขนาดใหญ่ได้อย่างกว้างขึ้น ถือ บรรณาธิการและผู้วิจัยเห็นสมควรควบรวมหลักการสำคัญที่ผู้วิจัยมีความเข้าใจในระดับหนึ่ง เพื่อเป็นประโยชน์ต่อการค้นคว้าในอนาคตโดยเฉพาะในวงการวิจัยที่ใช้แนวคิดและวิธีการ modeling & simulation ทางเกษตร บนพื้นฐานจากการทดลองของโปรแกรม ThaiCane 1.0 ในด้านพัฒนาการ (development) และการเจริญเติบโต (growth) ของอ้อย โดยมีพื้นฐานจากเอกสารวิชาการทั้งที่ได้มีการพิมพ์เผยแพร่ และเอกสารที่พิมพ์เพื่อการสนับสนุนภายในองค์กรต่าง ๆ ที่ผู้วิจัยได้มีโอกาสเข้าร่วม

โครงสร้างของ ThaiCane 1.0

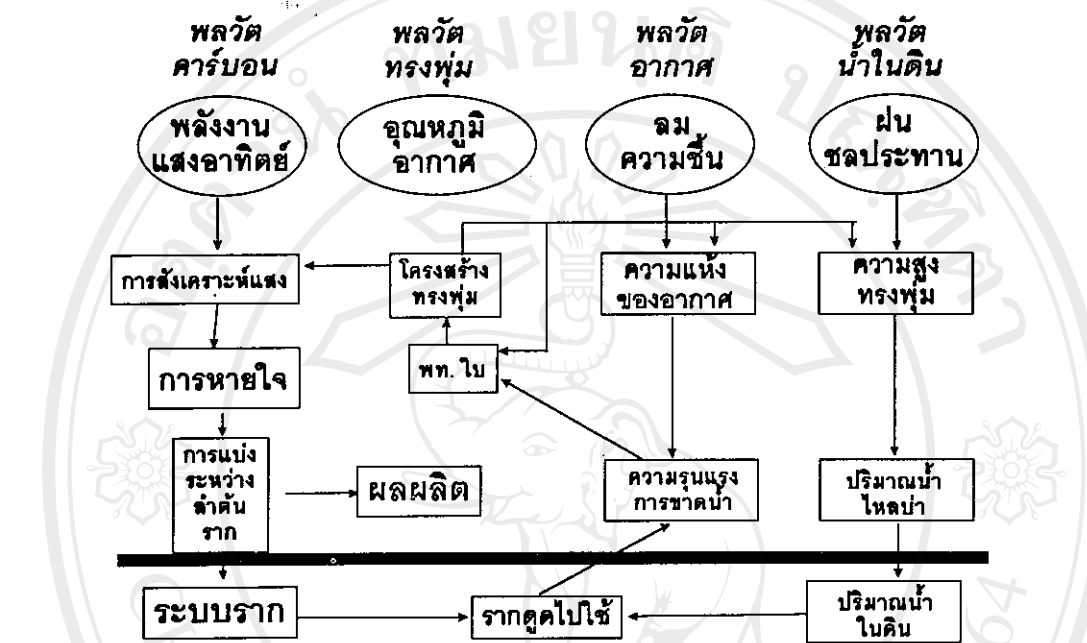
แบบจำลองอ้อย ThaiCane รุ่น 1.0 เป็นแบบจำลองอ้อยที่ได้รับการพัฒนาให้สามารถคาดการณ์การผลิตอ้อยในระบบที่ 1 และ 2 ดังที่ได้กล่าวมาแล้วในตอนต้นของเอกสารนี้ โดยใช้ข้อมูลจากการทดลองกับอ้อยสายพันธุ์เดียว (Inman-Bamber and Kiker, 1993) เป็นแบบจำลองอ้อยที่ใช้ภาษา FORTRAN 77 ในการพัฒนา เป็นแบบจำลองอ้อยที่มีพื้นฐานของ source codes ใกล้เคียงกับแบบจำลองข้าวโพด แบบจำลองข้าว และแบบจำลองอ้อยพืชอื่น (CERES models) โปรแกรมในรุ่นนี้มีส่วนประกอบอยู่สี่ส่วน (รูปที่ 26) ซึ่งทำให้โปรแกรมนี้สามารถคาดการณ์ 1) พลวัตของ การสร้างคานบอนในกระบวนการเจริญเติบโต (carbon balance) 2) พัฒนาการของต้นอ้อยตั้งแต่ปลูกถึงระยะเก็บเกี่ยว (canopy and phenology) 3) กระบวนการแลกเปลี่ยนพลังงานระหว่างอากาศ-พืช-ดิน และ 4) พลวัตของน้ำบนดินและในดิน (water balance) โดยมีวิธีการโปรแกรมย่อย (subroutine) รวม 31 โปรแกรม (รูปที่ 27)

กระบวนการสำคัญในแบบจำลอง ThaiCane 1.0

แบบจำลอง ThaiCane 1.0 แยกการคำนวณกระบวนการพัฒนาการ (phenology process) การเจริญเติบโต (growth) และพลวัตของน้ำในดินและในพืช (soil and crop water balance)

รูปที่ 26: กระบวนการผลิตของคู่ประกอบของแบบจำลอง ThaiCane.

(Source: Inman-Bamber, 1994)



รูปที่ 27: โปรแกรมย่อยในแบบจำลอง CANEGRO ตัวแบบจำลองข้อมูล ThaiCane

```

GETARG
ERROR
IPIBS      readin IBSNAT30.INP file ----- SEASONAL LOOP
IPECO
IPPARM
IPPROG
SOILSI
INSEQ
PROGRI
CANINT (cane canopy)
YR_DYD ----- BEGIN DAILY LOOP
WEATHR
SOILTI
SOILNI
NBAL
SOLT
CWATEAL (NTRANS not included)
AULPLT (automatic planting)

PHENOL
CGROSUB
CGROSUB (XLAT)
AUTHAR
    OUTPUT ->OPDAY ->OPHARV -----END DAILY LOOP
    ->OPDPS
    OPDONE (CLOSE ALL FILES)
  
```

กระบวนการพัฒนาการของพืช (crop phenology)

พัฒนาการของพืช (crop phenology) หมายถึง การเปลี่ยนแปลงรูปทรง (morphology) สถานะภาพ (stage) ของพืช เป็นการเปลี่ยนแปลงที่ย้อนกลับไม่ได้ แบบจำลองอ้อยไทยแบ่งระยะพัฒนาการของกออ้อยออกเป็นเก้า ระยะ (ตารางที่ 85) และมี source code อยู่ใน subroutine PHENOL.FOR ผลการศึกษาเรื่องพัฒนาการของ อ้อยภายใต้กิจกรรมของโครงการโดย บุญมี ศรี และ คณะ รวมทั้งวิทยานิพนธ์ปริญญาโทโดย อ้อยทิน จันทร์เมือง จะขยายให้คณะผู้วิจัยพัฒนา phenology map ของอ้อยที่ใช้ในประเทศไทยได้ดีขึ้น และสามารถนำไปปรับปรุง แบบจำลองเพื่อการคาดการณ์ระยะต่าง ๆ ได้อย่างแม่นยำ

ตารางที่ 85: พัฒนาการของอ้อยที่มีการกำหนดในแบบจำลองอ้อย ThaiCane 1.0

| รหัส | ความหมาย |
|------|---|
| 7 | วันปุญญา |
| 8 | วันงอก |
| 9 | วันที่ส่วนได้ส่วนหนึ่งของต้นข้อยไม้ลัพพันผ้าดิน |
| 1 | วันที่ใบที่ 14 แผ่เต็มที่ |
| 2 | ระยะแทรกกอก และลำต้น |
| 3 | ใบคุณพื้นที่ร้อยละ 70 |
| 4 | ระยะที่มีจำนวนหน่อสูงสุด |
| 5 | ระยะที่มีจำนวนหน่อคงที่ |
| 5.1 | ระยะแหงซอดอก (panicle initiation) |
| 5.2 | ระยะซอดอกในล (panicle emergence) |
| 6 | ระยะจิรูปเต็มที่ |

ໃນແຜ່ລະວັນ ThaiCane 1.0 ຄໍານາງອຳຄົນກົມສະສົມວ່າງເວັນ PTT i ຕາມຄວາມກາຍ້າງຄ່ວງນັ້ນ

PTTi = TEMPMi = TBASE

TEMPMi คือค่าเฉลี่ยอุณหภูมิรายวัน และ TBASE ค่าอุณหภูมิพื้นฐานสำหรับพัฒนาการของอ้อย ซึ่ง Inman-Bamber และ Kiker แนะนำให้ใช้ 10°C ในกรณีที่ TEMPMi น้อยกว่า TBASE แบบจำลองให้ค่า DTTi เป็น 0.0 จากนั้นแบบจำลองจะรวมค่าอุณหภูมิสะสมไว้ที่ SUMDTT ซึ่งจะเป็นตัวแปรที่ใช้ตลอดการคำนวณพัฒนาการของอ้อย

SUMDTT = SUMDTT + DTTi

จากนั้นแบบจำลองคำนวณค่าความยาววัน (day length) ซึ่งมีผลต่อการออกดอกของข้อใบบางพันธุ์ จากสมการ

```

DEC = 0.4093 * SIN(0.0172 * (DOY - 82.2))
DLV = ((-S1 * SIN(DEC) + 0.1047) / (C1*COS(DEC)))
DLV = AMAX1(DLV, -0.87)
TWILEN = 7.639 * ACOS(DLV)

```

คำนวณมุมดวงอาทิตย์ (sun declination: DEC) ในแต่ละวัน โดยวัน vernal equinox เป็นหลักของวงโคจร $0.4093 = 23.45$ องศา แปลงเป็น radian โดยคูณกับ $\pi/180$ และค่า 0.0172 เป็นค่าส่วนของวงโคจรของโลกในแต่ละวันคือ $2\pi/365$ S1 คือค่า sin ของมุม latitude เป็น radian = $\text{SIN}(\text{LAT} * 0.01745)$ และ C1 คือค่า cos ของมุม latitude เป็น radian = $\text{COS}(\text{LAT} * 0.01745)$ และ 0.1047 เป็นค่ามุมดวงอาทิตย์ 6 องศา และแปลงให้เป็น radian ค่า 7.639 คือ $24/\pi$ และ $\text{ACOS}(DLV) = \text{ARCCOS}(DLV) =$ มุมระหว่างดวงอาทิตย์ขึ้นและดวงอาทิตย์ตกในวันนั้น ๆ

ค่าเริ่มต้นของตัวแปรบางตัวในการคำนวณพัฒนาการของอ้อดย ได้แก่

$$\text{DTTPI} = 1526$$

ช่วงจากแฟ้ม SCCAN950.CUL หมายถึงจำนวน GDD ที่ต้องการเพื่อเปลี่ยนระยะ P1 เป็น P2

$$P1 = 8500$$

ช่วงจากแฟ้ม SCCAN950.CUL

$$P9 = 200 + (10 * \text{SDEPTH})$$

คำนวณใน PHASEI.FOR

$$\text{SDEPTH} = \text{RTDEP} = \text{RTDEP} + (0.15 * \text{DTTi})$$

คำนวณใน PHASEI.FOR

ระยะ 7: วันปลูก

แบบจำลองให้ค่าระยะพัฒนาการเริ่มที่ 7.0 และเก็บค่าไว้ที่ตัวแปร ISTAGE จากนั้นแบบจำลองจ่านค่าวันปลูกจากแฟ้มจัดการ (FILEX) และทำการตรวจสอบว่าความลึกของการปลูกต้อง (SDEPTH) ลึกกว่าชั้นดิน (CUMDEP) หรือไม่ หากสมการ $SDEPTH < CUMDEP$

ถ้าจริง แบบจำลองให้ค่า $ISTAGE = 8.0$ และพร้อมที่จะตรวจสอบวันออกในระยะถัดไป

ระยะ 8: วันออก

$ISTAGE = 8.0$ แบบจำลองตรวจสอบความชื้นดิน (SWSD) ของชั้นดินที่เมื่อท่อนเข้าอยู่มีความชื้นมากกว่าความชื้นต่ำสุดหรือไม่ และเพียงพอต่อความสามารถในการผลสัมฤทธิ์ทางการเกษตร หรือไม่ และตាមอยจะต้องมี

ส่วนของพืชส่วนใดส่วนหนึ่งในเลิฟพันผืนพิวดินภายในเวลา 40 วัน ซึ่งเป็นประเด็นที่น่าจะมีการศึกษาเพื่อทำความเข้าใจกลไกสำคัญในสภาพของระบบการผลิตของประเทศไทยต่อไป

ระยะ 9: วันที่ส่วนได้ส่วนหนึ่งของดินอ้อยโผล่พันผืนพิวดิน

$I\text{STAGE} = 9.0$ แบบจำลองคำนวณวันที่ส่วนได้ส่วนหนึ่งของดินอ้อยจะปรากฏเหนือผืนพิวดิน ซึ่งคำนวณโดยมีพื้นฐานจากค่าอุณหภูมิสะสม (SUMDTT) เมื่อ SUMDTT มีค่ามากกว่า P9 ตามสมการ
 $\text{SUMDTT} > \text{P9}$

แบบจำลองจะคำนวณค่าระยะเวลาที่ใช้เพื่อให้พื้นผืนพิวดิน

$$\text{RTDEP} = \text{RTDEP} + (0.15 * \text{DTTi})$$

ระยะ 1: วันที่ใบที่ 14 แผ่เต็มที่

$$I\text{STAGE} = 1.0$$

ระยะนี้ยังเริ่มสร้างใบจริง (เมล็ดเยียว) ซึ่งมีระยะเวลาเท่ากับอุณหภูมิสะสม DTTPI ของแต่ละพันธุ์ตามสมการ

$$\text{CUMDTT} > \text{DTTPI}$$

$$X\text{STAGE} = 2 * \text{SUMDTT}/\text{P1}$$

ระยะ 2: ระยะแตกกอ และเริ่มสร้างลำต้น

$$I\text{STAGE} = 2.0$$

$$X\text{STAGE} = 2 + \text{SIND}$$

และจะดูหากจะเริ่มมีการสะสมน้ำหนักลำต้นหรือไม่

$$\text{STKDM} > 0.0$$

ระยะ 3: ใบคลุมพื้นที่ร้อยละ 70

$$I\text{STAGE} = 3.0$$

$$X\text{STAGE} = 3.0 + (2.0 * \text{SUMDTT})/\text{CUMDTT}$$

ตรวจสอบว่าค่าพื้นที่ใบมีมากกว่าร้อยละ 70 หรือไม่

$$\text{LI} > 0.70$$

ระยะ 4: ระยะที่มีจำนวนหนอนสูงสุด

$$I\text{STAGE} = 4.0$$

ตรวจสอบว่าค่าอุณหภูมิสะสมมีมากกว่า P4 หรือไม่

$$\begin{aligned} \text{SUMDTT} &> \text{P4} \\ \text{XSTAGE} &= (\text{SUMDTT}/\text{CUMDTT}) + 4.0 \end{aligned}$$

ระยะ 5: ระยะที่มีจำนวนหน่อคงที่

$\text{ISTAGE} = 5.0$

ตราจตุกามาลีค่าพื้นที่ไม่มากกว่าร้อยละ 70 หรือน้อย

$$\begin{aligned} \text{SUMDTT} &> \text{P4} \\ \text{XSTAGE} &= 4.5 + (5.5 * \text{SUMDTT})/\text{CUMDTT} \end{aligned}$$

ระยะ 5.1: ระยะแหงช่อดอก (panicle initiation)

$\text{ISTAGE} = 5.0$

แบบจำลองอ้อย ThaiCane 1.0 สามารถคาดการณ์การออกดอกของอ้อยสองสายพันธุ์ที่ทำการทดลองอยู่ได้อย่างน่าพอใจ แต่เนื่องจากคณะผู้วิจัยพบว่าอ้อยพันธุ์ U-Thong 2 และ K 84-200 ที่ทำการทดลองในระหว่างเดือนกุมภาพันธ์ - พฤษภาคม 2538 มีการออกดอกในระหว่างเดือนพฤษภาคม และ ธันวาคม 2538 และ 2539 ตามลำดับ ผู้วิจัยจะดำเนินการให้แบบจำลองอ้อย ThaiCane 1.0 สามารถคาดการณ์การออกดอกของอ้อยพันธุ์ต่างๆ ในประเทศไทย โดยอาจจะแทรกเข้าไปในระหว่างพัฒนาการระยะที่ 5 และ 6 (ตารางที่ 86) โดยใช้ source code ตามตารางที่ 87

ระยะ 5.2: ระยะช่อดอกผล (panicle emergence)

$\text{ISTAGE} = 5.0$

ระยะ 6: ระยะเจริญเติบโต

$\text{ISTAGE} = 6.0$

แบบจำลองอ้อย ThaiCane 1.0 หยุดการคำนวณพัฒนาการของอ้อยเมื่อ $\text{ISTAGE} = 6.0$

กระบวนการการเจริญเติบโตของพืช (crop growth)

การเจริญเติบโตของพืช (crop growth) หมายถึง การเปลี่ยนแปลงขนาด (shape and size) น้ำหนักมวลชีวภาพ (biomass) ของพืช เป็นการเปลี่ยนแปลงที่เพิ่มขึ้นและลดลงได้ โปรแกรมแบบจำลองอ้อย ThaiCane 1.0 มีกระบวนการด้านสรีรวิทยาที่เกี่ยวข้องกับการสร้าง การเพิ่มน้ำหนักส่วนต่างๆ ของอ้อยอยู่หลายกระบวนการ ได้แก่ การสังเคราะห์แสงอาทิตย์ การกระจายสารสังเคราะห์ที่พืชสร้างได้ในแต่ละวันไปยังส่วนต่างๆ ของต้นพืช ในช่วงระยะเวลาพัฒนาการระยะต่างๆ

ตารางที่ 86: Source code สำหรับเพิ่มเติมใน ThaiCane 1.0 เพื่อการคาดการณ์วันออกดอกของข้าวโพดในประเทศไทย

```

C >> ISTAGE = 5.1 Panicle initiation <<
C to accommodate Thai's cane flowering event... (Attachai J.)
C
C       IF (CROP .EQ. 'SC' .AND. TWILEN .GT. P2O) THEN
C           .AND. SIND .LE. 1.0) THEN
C           RATEIN = 1.0/(100.0+P2*(TWILEN-P2O))
C P2O = critical photoperiod, a cultivar specific coeff.
C P22 = thermal time for BVP after stabilized pop. stage was reached
C P2 = slope of the curve b/w TWILEN and DAYL
C
C           RATEIN = 1.0/(P22+P2*(TWILEN-P2O))
C           SIND = SIND + RATEIN
C           IF (SIND .LE. 1.0) THEN
C               RETURN
C           ELSE
C               pause
C               ISTAGE = 10
C               IPRINT = 0
C               STGDOY(istage) = YRDOY
C           ENDIF
C

```

การรับแสง (light interception)

เริ่มต้นด้วยการโดยใช้กฎของ Beer's ในการคำนวนปริมาณพลังงานแสงอาทิตย์ที่ถูกตัดและนำไปใช้เพื่อการผลิตสารcarbonในแต่ละวัน โดยกำหนดให้ความเข้มข้นของก๊าซcarbonไดออกไซด์เป็นค่าคงที่ (300 ppm)

$$Li = 1 - \exp(-k LAI)$$

k คือ extinction coefficient ของสมการ และมีค่าเป็น 0.58 เมื่ออยู่เจริญเติบโตมีใบอย่างกว่า 14 ใบ และ k จะมีค่าเป็น 0.85 เมื่ออยู่เจริญเติบโตมีใบมากกว่า 14 ใบ k เป็นสัดส่วนระหว่างพื้นที่ใบอยู่กับแสงและพื้นที่ใบซึ่งหักน้ำหนักในขณะนั้น LAI คือ ตัวชี้พื้นที่ใบ (leaf area index) น้ำหนักของสารcarbonที่สังเคราะห์ได้ต่อวันแบ่งออกเป็นสองส่วน ได้แก่

1. น้ำหนักสารสังเคราะห์ได้ของใบที่ไม่ถูกบังแสง

$$= P_{max} (1-\exp(-\varnothing k(1-0.2) PAR/P_{max}))$$
2. น้ำหนักสารสังเคราะห์ได้ของใบที่ถูกบังแสง

$$= P_{max} (1-\exp(-\varnothing f/P_{max}))$$

\emptyset = ประสิทธิภาพการเปลี่ยนพลังงานแสง (quantum efficiency) มีค่าเท่ากับ 0.065 mol/mol

f = $0.2\text{PAR}(1-\exp(-k \cdot \text{LAI}_h))/\text{LAI}_h$

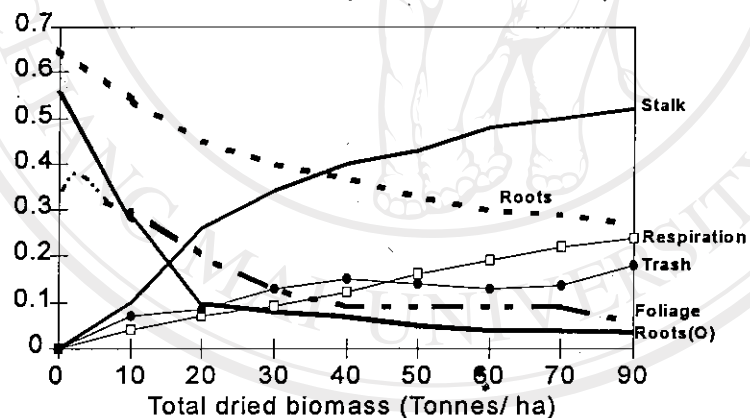
PAR = photosynthesis active radiation = ประมาณ 50% ของ total daily solar radiation ที่ได้โดยเครื่อง UNIDATA

การกระจายสารสังเคราะห์ (assimilate partitioning)

แบบจำลองอ้อย ThaiCane 1.0 แบ่งสารสังเคราะห์ (photosynthate) ที่ได้ในแต่ละวันไปยังส่วนต่างๆ ของกออ้อย ได้แก่ ราก ใบ และกาบใบ ลำต้น และน้ำตาล sucrose ตามระยะเวลาของการของอ้อย (รูปที่ 28) คำสั่งมีในโปรแกรม PARTIT.FOR การกระจายสารสังเคราะห์ในพันธุ์อ้อยของประเทศไทยควรได้รับการศึกษามากขึ้น เพื่อตรวจสอบผังการกระจาย

รูปที่ 28: ผังการกระจายสารสังเคราะห์ (น้ำหนักแห้ง) ในแบบจำลองอ้อย ThaiCane 1.0.

สัดส่วนของน้ำหนักแห้งทั้งหมด (Fraction of total biomass)



กระบวนการพลวัตของน้ำในดิน (soil-crop water balance)

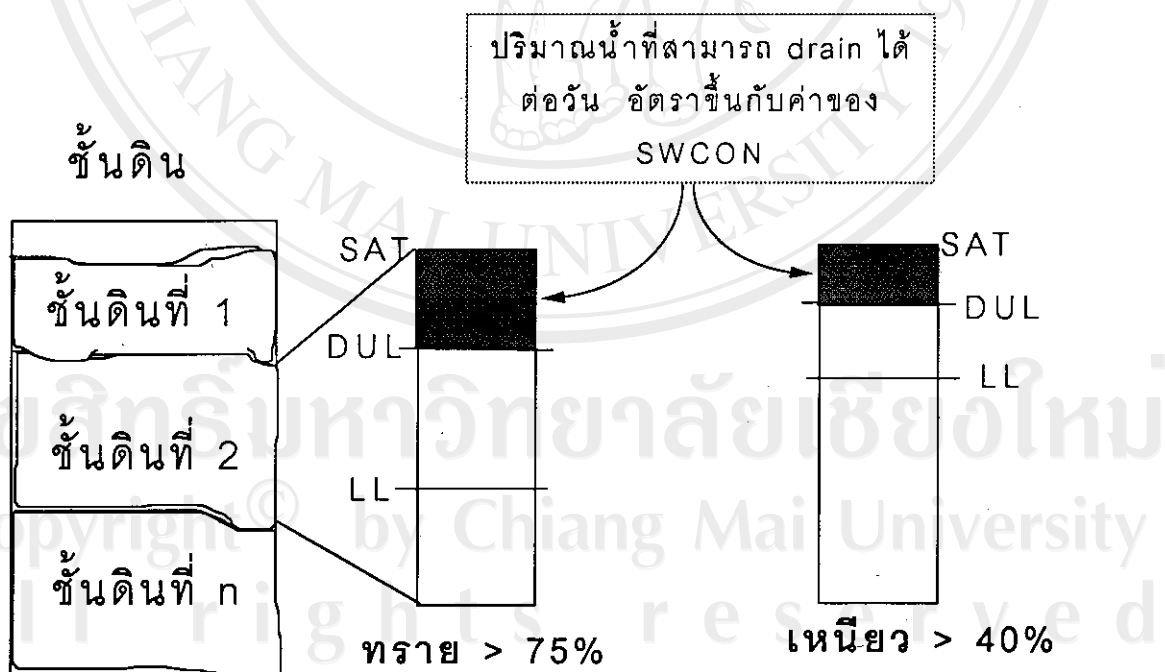
การคำนวณการเปลี่ยนแปลงของน้ำในดินและในพืชที่มีในแบบจำลองอ้อย ThaiCane 1.0 ใช้แบบจำลองน้ำที่มีการเสนอและทดสอบโดย Dr. J.T. Ritchie แห่งมหาวิทยาลัยมิชิแกน ซึ่งได้ทำการศึกษาเพื่อสร้างแบบจำลอง พลวัตของน้ำในดินและในพืชที่สามารถคาดการณ์ในระดับที่ยอมรับได้และมีข้อมูลดินที่สามารถหาได้มาประกอบ การใช้งานแบบจำลองเพื่อจัดการระบบให้น้ำชลประทานพืชอย่างมีประสิทธิภาพ

Ritchie ได้เสนอแนวคิดให้มีการแบ่งชั้นดินในระดับรากพืชออกเป็นชั้นดินที่มีความหนาแน่นอย่างตามคุณสมบัติทางกายภาพของเนื้อดิน ในแบบจำลองอ้อย ThaiCane 1.0 ผู้ใช้งานสามารถกำหนดให้ชั้นดินที่ทำการศึกษามีตัวถึง 15 ชั้นดิน ความชื้นดินในแต่ละชั้นจะได้รับการคำนวณอย่างต่อเนื่องตลอดเวลา Ritchie ได้เสนอแนวคิดเกี่ยวกับการคำนวณความชื้นดินโดยให้เชื่อว่า ปริมาณน้ำที่พืชสามารถดูดไปใช้ได้ (*plant extractable soil water*) ซึ่งสามารถประมาณการได้จาก ET และ DUL ของชั้นดินแต่ละชั้น (รูปที่ 29) ความชื้นของดินชั้นบนที่สุดขึ้นอยู่กับปริมาณน้ำฝน ปริมาณน้ำชลประทาน และระยะ การเริ่มผ่านลงสู่ดินชั้นล่าง และการดูดไปใช้ของรากพืช

การเคลื่อนที่ขึ้นสู่ดินชั้นบนหรือสูญเสียของน้ำในดินเกิดขึ้นได้สองทาง คือ การระเหยในกระบวนการ evaporation และกระบวนการกรดูดน้ำของรากพืช (root absorption) ปริมาณน้ำระเหยสูงสุด (PET) คำนวณโดยใช้สมการ Priestly and Taylor (1972) และ Penman (1981) ส่วนปริมาณน้ำระเหยจริง (AET) คำนวณโดยวิธีการที่เสนอโดย Ritchie (1985)

ปริมาณน้ำที่พืชดูดไปใช้คำนวณโดยพิจารณาจาก ความหนาแน่นของรากพืช (root length density) ปริมาณน้ำในดินที่พืชสามารถนำมารับประทานได้

รูปที่ 29: การจำลองพลดดของน้ำในดินตามวิธีการของ Ritchie



กระบวนการที่ควรพัฒนาเพิ่มเติมใน ThaiCane 1.0

ผลวัตถุของธาตุในต่อเจน (*nitrogen dynamic*)

แบบจำลองอ้อย ThaiCane 1.0 ยังไม่สามารถคำนวณผลวัตถุของธาตุในต่อเจนที่เกี่ยวข้องกับการเจริญเติบโตของอ้อย แต่เนื่องจากธาตุในต่อเจนมีส่วนมากในการเพิ่มผลผลิตอ้อย คณะผู้วิจัยจะดำเนินการเพื่อนำวิธีการเพิ่มโปรแกรมย่อย (*subroutine*) ในส่วนนี้ในโอกาสต่อไป โดยการร่วมมือกับนักวิจัยในกลุ่ม ICASA และนักวิจัยในประเทศไทย

ผลวัตถุของธาตุฟอสฟอรัส (*phosphorus dynamic*)

แบบจำลองอ้อย ThaiCane 1.0 ยังไม่มีผลวัตถุของธาตุฟอสฟอรัสที่เกี่ยวข้องกับการเจริญเติบโตของอ้อย คณะผู้วิจัยจะดำเนินการเพื่อนำวิธีการเพิ่มโปรแกรมย่อย (*subroutine*) ในส่วนนี้ในโอกาสต่อไป รวมทั้งธาตุอาหารอื่นด้วยหากมีความสำคัญต่อการคาดการณ์ผลผลิตอ้อย

ข้อมูลพันธุกรรมที่ต้องการ

แบบจำลองอ้อยมีข้อมูลพันธุกรรมที่ใช้ในการเปรียบเทียบระหว่างพันธุ์มีเฉพาะความแตกต่างของพัฒนาการของใบ จำเป็นต้องพัฒนาความเข้าใจด้านลักษณะการแตกกอ การให้ตอ การตอบสนองต่อสารอาหารในดิน ซึ่งอาจจะสามารถหาได้โดยวิธีการพันธุวิศวกรรมตามที่ได้มีการศึกษาเบื้องต้นแล้วโดย วัลลา และชีรดา (ส่วนที่ 1 ของรายงานฉบับนี้)

ส่วนที่ 2

การทำแผนที่ปัญกอ้อยโดยใช้ข้อมูลดาวเทียม

- แนวคิดและหลักการ (principles & concepts)
- วิธีการวิจัย (research methodology)
- กรณีศึกษาของน้ำพอง จังหวัดขอนแก่น
- กรณีศึกษาของอุ่หอง จังหวัดสุพรรณบุรี
- ระบบการผลิตอ้อยในตำบลโนนท่อน

ลิขสิทธิ์มหาวิทยาลัยเชียงใหม่

Copyright[©] by Chiang Mai University

All rights reserved

ส่วนที่ 2 การทำแผนที่ปัญกอ้อยโดยใช้ข้อมูลดาวเทียม

แนวคิดและหลักการ (principles & concepts)

ภาคร อ่อนประไฟ และ อรรถชัย จินดาเวช

ลิขสิทธิ์มหาวิทยาลัยเชียงใหม่
Copyright[©] by Chiang Mai University
All rights reserved

โครงการ พทอ. ทำการศึกษาเพื่อพัฒนาและประยุกต์ใช้เทคโนโลยีสารสนเทศ ประกอบการพัฒนาวิธีการทำแผนที่พื้นที่ป่าดงอ้อยอย่างเหมาะสมให้มีความถูกต้องตามเกณฑ์ที่เชื่อถือได้ เพื่อใช้ประกอบการประเมินผลผลิตของอ้อยในพื้นที่ขนาดใหญ่ เทคโนโลยีสารสนเทศที่นำมาประยุกต์ใช้ได้แก่ เทคนิคข้อมูลระยะใกล้ด้วยภาพจากดาวเทียม (RS) และเทคนิคการกำหนดตำแหน่งพิกัดบนพื้นผิวโลกด้วยดาวเทียม (GPS) ซึ่งเป็นเทคโนโลยี-สารสนเทศที่มีบทบาทมากในการตัดสินใจเพื่อการผลิตทางเกษตรทั้งในยุคปัจจุบันและอนาคต

ขั้นตอนแรกเป็นการพัฒนาวิธีการทำแผนที่พื้นที่ป่าดงอ้อยจากข้อมูลดาวเทียม โดยต้องมีความถูกต้องอยู่ในเกณฑ์ที่น่าเชื่อถือได้ ซึ่งหมายถึงความถูกต้องในเชิงตำแหน่ง (positional accuracy) และความถูกต้องในเชิงคุณสมบัติ (attribute accuracy) ของข้อมูลพื้นที่ป่าดงอ้อย โดยให้วิธีการประเมินค่าความถูกต้องด้วยหลักการทางคณิตศาสตร์ และเป็นวิธีการที่ต้องสามารถถ่ายทอดให้แก่ผู้ที่เกี่ยวข้องสามารถนำไปปฏิบัติงานได้อย่างเหมาะสมต่อไป

ขั้นตอนที่สองเป็นการพัฒนาแผนที่พื้นที่ป่าดงอ้อยให้อยู่ในรูปฐานข้อมูลเชิงพื้นที่เพื่อการเชื่อมโยงเข้ากับระบบสนับสนุนการตัดสินใจเพื่อการผลิตอ้อย ThaiSIS 1.0 (อรรถรัชย์ จันทะเวช และ Thornton, 2540) สำหรับการประเมินผลผลิตของอ้อยในพื้นที่ขนาดใหญ่โดยใช้แบบจำลองการเจริญเติบโตอ้อย ThaiCane 1.0 แผนที่การป่าดงอ้อยที่ผลิตได้ในกิจกรรมที่สองนี้จะใช้ร่วมกับข้อมูลเชิงพื้นที่อื่น เช่น แผนที่ดิน แผนที่สภาพอากาศ ฯลฯ โดยใช้เทคนิคของระบบสารสนเทศทางภูมิศาสตร์ (GIS)

ชนิดข้อมูลภาพจากดาวเทียม

ดาวเทียมสำรวจทรัพยากรโลกที่ถูกส่งขึ้นไปโคจรรอบโลกมีอยู่หลายระบบและได้รับการติดตั้งระบบบันทึกข้อมูล (sensor) ระดับการสะท้อนของพลังงานคลื่นแม่เหล็กไฟฟ้าของวัตถุต่าง ๆ บนผิวโลก ที่มีสมรรถนะต่างกัน เช่น ดาวเทียม LANDSAT 5 ของประเทศไทยเมริการ มีการติดตั้งระบบบันทึกข้อมูล TM สามารถบันทึกรายละเอียดข้อมูลการสะท้อนได้เจ็ดช่วงคลื่น และระบบดาวเทียม SPOT ของประเทศไทยซึ่งสามารถมีการติดตั้งระบบบันทึกข้อมูล HRV สามารถบันทึกรายละเอียดข้อมูลได้สามช่วงคลื่น เป็นต้น ระบบดาวเทียมสำรวจทรัพยากรโลกโดยทั่วไปจะโครงการในลักษณะสัมพันธ์กับดวงอาทิตย์ (sun-synchronous orbit) เมื่อจากดาวเทียมใช้แสงอาทิตย์เป็นแหล่งพลังงานส่วนหนึ่ง และจะโครงการในแนวเหนือ-ใต้ แคลกระดับมาเข้าพื้นที่เดิมตามกำหนดของดาวเทียมแต่ละครั้ง ทำให้มีข้อมูลการสะท้อนแสงเป็นระยะเวลาต่าง ๆ ซึ่งเมื่อนำมาใช้เคราะห์ทางหลักการจะทำให้ทราบการเปลี่ยนแปลงของวัตถุต่าง ๆ บนผิวโลกได้ ในกรณีนี้คือการเปลี่ยนแปลงของพื้นที่ป่าดงอ้อย

โครงการ พทอ. ทำการศึกษาเพื่อพัฒนาวิธีการทำแผนที่พื้นที่ป่าดงอ้อยด้วยข้อมูลภาพจากดาวเทียม LANDSAT 5 ระบบ TM ขนาดรายละเอียด (resolution) 25 เมตร ซึ่งใช้พื้นที่ศึกษาครอบคลุมขบวนเนินประมาณ 27 X 27 ตร.กม. ตามขนาดข้อมูลภาพดาวเทียมชนิด subscene geocode ทั้งนี้เพื่อสะดวกแก่การจัดเตรียมข้อมูลเชิงพื้นที่อื่น ๆ ที่เกี่ยวข้องด้วย ข้อมูลมีขนาดหน้างานกว้าง ของแผนที่ภูมิประเทศ มาตราส่วน 1:50,000 ของกรมแผนที่ทหาร โดยข้อมูลจะถูกเก็บไว้ในรูปแบบข้อมูลเชิงตัวเลข (digital format) ด้วยเทปแบบ CCT ขนาด 9 tracks หรือ เทป exabyte ขนาด 8 มม.

หลักการวิเคราะห์ข้อมูลภาพจากดาวเทียม

ขั้นตอนการวิเคราะห์ข้อมูลภาพจากดาวเทียมเพื่อการสร้างฐานข้อมูลเชิงพื้นที่ของพื้นที่ป่าถูกอ้อย มีทั้งหมดหกขั้นตอน ดังนี้ 1) การแก้ไขความถูกต้องในเชิงตำแหน่งของข้อมูล (image rectification) 2) การปรับปรุงคุณภาพของข้อมูลภาพดาวเทียม (image enhancement) 3) การสร้างภาพสีผสมของข้อมูล (color composite) 4) การตรวจสอบภาคสนาม (field checking) 5) การจำแนกรายละเอียดข้อมูลภาพดาวเทียม (image classification) และ 6) การประเมินค่าความถูกต้องของการจำแนกข้อมูล (classification accuracy assessment) รายละเอียดของแต่ละขั้นตอนมีใน วิธีการวิจัยส่วนที่ 2

การเลือกใช้ข้อมูลภาพจากดาวเทียม

การเลือกขันดับข้อมูลภาพจากดาวเทียมเพื่อการจำแนกพื้นที่การปลูกอ้อย หรือการใช้ประโยชน์ที่ดินอื่น ๆ สามารถพิจารณาได้จากคุณสมบัติข้อมูลภาพจากดาวเทียม ดังนี้

คุณสมบัติทางด้านคลื่นแสง (spectral characteristic)

เป็นคุณสมบัติที่แสดงรายละเอียดด้วยค่าของการสะท้อนพลังงานคลื่นแม่เหล็กไฟฟ้าของพื้นที่ป่าถูกอ้อยและการใช้ประโยชน์ที่ดินต่าง ๆ ด้วยค่าข้อมูลเชิงตัวเลข (digital number) ในแต่ละช่วงคลื่น ดาวเทียมแต่ละดวงมีระบบการบันทึกข้อมูลที่แตกต่างกัน เช่น ระบบ TM ของดาวเทียม LANDSAT-5 เก็บข้อมูลไว้ในเจ็ดช่วงคลื่น หรือระบบ HRV ของดาวเทียม SPOT เก็บบันทึกข้อมูลไว้ในสามช่วงคลื่น เป็นต้น คุณสมบัติทางด้านคลื่นแสงช่วยผู้วิเคราะห์จำแนกรายละเอียดพื้นที่การปลูกอ้อยออกจากพื้นที่พืชริ่มน้ำ การเกษตร และการใช้ประโยชน์ที่ดินอื่น ๆ ด้วยลักษณะของสี (color) ระดับสี (tone) เงา (shadow) และความตัดขัด (contrast)

คุณสมบัติทางด้านพื้นที่ (spatial characteristic)

เป็นคุณสมบัติที่แสดงขนาดรายละเอียดในการเก็บบันทึกข้อมูลในแต่ละจุดภาพ (pixel) โดยทั่วไปพิจารณาเลือกภาพที่มีขนาดรายละเอียด (resolution) ต่ำสุดที่ข้อมูลจากดาวเทียมจะแสดงได้ เช่น ระบบ MSS และระบบ TM ของดาวเทียม LANDSAT 5 มีขนาดของจุดภาพเป็น 80 และ 25 เมตร ตามลำดับ ระบบ HRV panchromatic และ multispectral มีขนาดของจุดภาพเป็น 10 และ 20 เมตร เป็นต้น คุณสมบัติทางด้านพื้นที่ช่วยผู้วิเคราะห์จำแนกรายละเอียดพื้นที่การปลูกอ้อยออกจากพื้นที่พืชริ่มน้ำ การเกษตร และการใช้ประโยชน์ที่ดินอื่น ๆ ด้วยลักษณะทางด้านขนาด (size) รูปร่าง (shape) รูปแบบ (pattern) และความหมาย lokale (texture) ของข้อมูล

คุณสมบัติทางด้านเวลา (temporal characteristic)

เป็นคุณสมบัติของดาวเทียมแต่ละดวงในการให้จรวจโลกและเก็บบันทึกข้อมูลดาวเทียมสำหรับพยากรณ์อากาศ ให้การในลักษณะสัมพันธ์กับความอาทิตย์ในแนวเหนือ-ใต้ ลักษณะดังกล่าวทำให้เกิดคุณสมบัติทางด้านเวลา ก่อรากคือมีการให้จรวจลับนาบันทึกข้าวที่เดินตามระยะเวลาที่กำหนด ดาวเทียม LANDSAT 5 และ ดาวเทียม SPOT มีวงโคจร เป็น 16 และ 26 วัน ตามลำดับ การจำแนกพื้นที่การปลูกอ้อยออกจากพื้นที่พืชไร่ การเกษตร และการใช้ประโยชน์ที่ดินอื่น ๆ อาศัยคุณสมบัตินี้เข้ากันช่วงเวลาการเจริญเติบโตของอ้อย ช่วยในการเลือกข้อมูลที่เหมาะสมที่สุด

หลักการระบบดาวเทียมเพื่อกำหนดตำแหน่งพิกัดบนพื้นโลก (GPS)

ระบบดาวเทียมเพื่อกำหนดตำแหน่งบนพื้นผิวโลกแบบใหม่นี้ได้รับการติดตั้งเมื่อปี คศ. 1973 ด้วยการพัฒนาที่ต่อเนื่องมาจากการบูรณาการระบบดาวเทียม Transit โดยแนวความคิดและหลักการ NAVSTAR ของกระทรวงกลาโหมสหรัฐอเมริกา (DoD) ในความคุ้มครองและรับผิดชอบของ สำนักงานแผนงานร่วม (JPO) ระบบดาวเทียมเพื่อกำหนดตำแหน่งบนพื้นผิวโลกแบบใหม่นี้เรียกว่า Global Positioning System หรือ GPS (กรมแผนที่ทหาร, 2533)

GPS เป็นระบบดาวเทียมที่ใช้คลื่นวิทยุในการกำหนดตำแหน่งนำร่องและเวลาได้ทุกสภาพอากาศ มีขีดความสามารถสูงสามารถใช้กับผู้ใช้ได้อย่างไม่จำกัดจำนวน ในระยะเวลาระยะวัน และเป็นการเบิดระบบให้ผู้ใช้ได้อย่างเสรี ไม่มีจำกัดสิทธิ์ ตลอดจนระบบพิกัดที่ใช้มีระบบที่เข้ากันอย่างเชิง ใช้กันอย่างแพร่หลายทั่วโลก

ในการรับส่งสัญญาณระหว่างผู้ใช้และกลุ่มดาวเทียม GPS ดาวเทียม GPS จะปล่อยสัญญาณท้องฟ้าอย่างต่อเนื่องที่ความถี่คงคล่อง เนื่องจากไม่ว่าจะเป็นส่วนไหนของพื้นผิวโลก ดาวเทียม GPS จะส่งข้อมูลมาอย่างต่อเนื่อง ความถี่ที่ส่ง ช่วงคลื่น คือ L1 และ L2 ความถี่ยังคง L1 จะมีค่า 1575.42 MHz และ L2 มีค่า 1227.60 MHz การรับวัดทั้งสองความถี่นี้จะช่วยให้ผู้ใช้สามารถแก้ความล่าช้าของภาพพร้อมกันในบรรยายกาศชั้นไฮโอดิจิทัลได้ คลื่นสัญญาณทั้งสองความถี่จะถูกปรับคลื่น (modulate) ออกมารูปสี่เหลี่ยมที่ 1) P code ที่ให้การรับวัดอย่างคงที่และเรียบ 2) C/A code (Coarse /Acquisition) ซึ่งสามารถรับวัดได้ง่ายและส่งผ่านไปยัง P code รหัสทั้งสองสร้างขึ้นบนความที่ยอมโดยอาศัย Pseudo Random Noise P code เป็นรหัสสายวัสดุคลื่น 10.23 เมกะบิทต่อวินาที (MBS) และข้ามทุก 267 วัน แต่ผู้ใช้ก็เข้าถึงรหัสนี้ได้ยาก C/A code เป็นรหัสสั้นปรับคลื่น 1.023 เมกะบิทต่อวินาที (MBS) และข้ามทุก ๆ 1/1,000 วินาที แต่ให้การรับวัดที่หมายกว่า P code สัญญาณ L1 จะปรับคลื่นทั้ง P code และ C/A code ขณะที่สัญญาณ L2 ปรับคลื่นเฉพาะ P code ทั้งสัญญาณ L1 และ L2 จะปรับคลื่นอย่างต่อเนื่องเป็นกรวยและข้อมูลการนำวิถีด้วยอัตรา 50 บิตต่อวินาที (BPS) ผู้ใช้สามารถหาระยะทาง (pseudorange) ไปยังดาวเทียมได้โดยการหาความสัมพันธ์ระหว่างสัญญาณที่เครื่องรับกับสัญญาณจากดาวเทียมที่รับได้ระบบ GPS ในทางปฏิบัติแล้วจะให้บริการข้อมูลการนำร่องสองประเภท คือ ประเภทแรกคือประเภท ความถี่อยู่ต่ำกว่าต้องสูง (PPS) ซึ่งสัญญาณของ PPS เป็นชนิด P code และจะให้บริการแก่นิวยังทางการทางของหน่วยความจำ ประเภทที่สองคือประเภทที่มีความต้องการสูง คือ หน่วยความจำขนาดใหญ่ เช่นหน่วยความจำขนาด 16GB หรือมากกว่า

อาจใช้บริการ PPS "ได้หากเพื่อเป็นการพิทักษ์ผลประโยชน์ของชาติ โดยจะต้องมีระบบการรักษาความปลอดภัยที่ดีพอ และไม่สามารถจัดหาเครื่องมือที่มีความละเอียดถูกต้องทั้งหัดเทียมกันมาทัดแทนได้ ประเภทที่สอง คือ ประเภทที่มีระดับความละเอียดถูกต้องน้อยกว่า ซึ่งเปิดบริการให้แก่ผู้ใช้ C/A code โดยทั่วไป การบริการนี้เรียกว่า SPS

ระบบดาวเทียมเพื่อกำหนดตำแหน่งพื้นผิวโลกແນือกเป็นสามส่วนหลัก ๆ ได้แก่ (Trimble Navigation, 1992; Kennedy, 1996)

ส่วนปฏิบัติงานในวงกลม (space segment) ประกอบด้วยกลุ่มดาวเทียม NAVSTAR มีวงโคจรที่ระดับความสูงประมาณ 20,200 กม. มีทั้งหมด 24 ดวง แบ่งออกเป็นนาทูๆ ละ สี่ดวง แต่ละดวงโดยรอบอยู่ในระนาบเดียวกัน แต่ละระนาบวงโคจรทำมุม 55 องศา กับเส้นศูนย์สูตร ดาวเทียมแต่ละดวงโดยรอบโลก 12 ชั่วโมง. ต่อ หนึ่งรอบ และทำมุม 120 องศาซึ่งกันและกัน ดาวเทียมแต่ละดวงทำหน้าที่ให้ข้อมูลที่เกี่ยวกับตำแหน่งและเวลาที่ถูกต้อง (ฐาน cesium ใช้กับนาฬิการะบบ atomic clock ทำให้ระบบเวลาของ GPS มีความละเอียดถูกต้องสูง ในอนาคต จะมีการใช้ถ่าน hydrogen maser แทนฐาน cesium ซึ่งจะทำให้ระบบเวลาของ GPS มีความละเอียดถูกต้องสูงยิ่งขึ้น) ด้วยสัญญาณคลื่นวิทยุด้วยรหัสเลขpare ระยะห่างของดาวเทียม (phasing) จากกระบวนการนี้ไปยังอีกวนรอบหนึ่งทำมุม 40 องศา ตัวอย่างเช่น ดาวเทียมดวงหนึ่งบนวนรอบหนึ่งจะอยู่ข้างหน้าของดาวเทียมอีกดวงหนึ่งบนวนรอบข้างเคียง ซึ่งอยู่ทางทิศตะวันตกด้วยมุม 40 องศา โดยดาวเทียมโดยจากที่ศูนย์กลางให้ไปที่ศูนย์กลาง

ส่วนควบคุม (control segment) ประกอบด้วยสถานีควบคุมหลัก MCS หนึ่งสถานี สถานีรับส่งสัญญาณภาคพื้นดิน (upload station) สามสถานี และสถานีโครงข่ายรับสัญญาณ (monitor station) ตั้งกระจายอยู่ทั่วประเทศหรือแม้กระทั่งห้าสถานี คือที่ Kwajalein, Diego Garcia, Ascension, Honolulu และที่ฐานทัพอากาศ Falcon มรดก Colorado แต่ละสถานีโครงข่ายรับสัญญาณจะมีเครื่องรับสัญญาณดาวเทียม GPS แต่ละดวง และสถานีเหล่านี้ได้ทำการสำรวจหาค่าพิกัดอย่างละเอียดโดยหน่วยงานแผนที่สหรัฐอเมริกา (DMA) แต่ละสถานีจะทำการรวมข้อมูลการรังวัดระยะแบบ pseudorange (หมายถึง ระยะทางระหว่างจุดรังวัดกับดาวเทียม) ข้อมูลชั้นบรรยากาศ Ionosphere ข้อมูลสภาพอากาศ เพื่อนำมาคำนวณหาตำแหน่งที่แน่นอนของแต่ละสถานีทุกๆ 15 นาที แต่ละสถานีโครงข่ายจะส่งข้อมูลไปยังสถานีควบคุมหลัก MCS ซึ่งตั้งอยู่ที่ CSOS ในฐานทัพอากาศ Falcon สถานีควบคุมหลักทำการประมวลผลข้อมูลการรังวัดจากทุก ๆ สถานีโครงข่าย เพื่อหาค่าคงคล่องและทำนายเวลาของดาวเทียมแต่ละดวง ซึ่งผลลัพธ์ที่ได้จะถูกส่งกลับไปยังดาวเทียมโดยผ่านทางสถานีรับส่งภาคพื้นดิน (upload station) แห่งใดแห่งหนึ่งในสามสถานีด้วยเครื่องรับสัญญาณ S-Band ในทุก ๆ แปดชั่วโมง ข้อมูลตำแหน่งของดาวเทียมแต่ละดวงในแต่ละวงโคจรที่แม่นยำทำให้การกำหนดตำแหน่งที่พิกัดบนพื้นผิวโลกเป็นไปอย่างมีประสิทธิภาพ

ส่วนผู้ใช้ (user segment) คือส่วนที่เครื่องรับสัญญาณดาวเทียม GPS ประกอบด้วยชุดเสาอากาศ สถานีรับสัญญาณ สถานีประมวลผลข้อมูลและหน่วยควบคุมการแสดงผลซึ่งสามารถให้ได้ทั้งในผืนแผ่นดิน ทางทะเล และทางอากาศ ชุดเครื่องรับสัญญาณจะคำนวณตำแหน่งโดยใช้พื้นหลังฐานอ้างอิง WGS 84 (World Geodetic System.1984) โดยมีจุดศูนย์กลางอยู่ที่กรุงเทพฯ เป็นจุดกำเนิด ซึ่งค่าพิกัดตำแหน่งระบบนี้สามารถแปลงไปเป็นค่าพิกัดบนพื้นหลังฐานท้องถิ่นอื่น ๆ ได้ถึง 46 ระบบ รวมทั้งระบบพิกัด UTM ด้วย

วิธีการกำหนดตำแหน่งด้วยดาวเทียม GPS

การกำหนดตำแหน่งของระบบดาวเทียม GPS สามารถแบ่งออกได้เป็นสองวิธี ดังนี้

การกำหนดตำแหน่งสัมบูรณ์ (absolute positioning)

เป็นการรับวัดค่าพิกัดด้วยเครื่องรับสัญญาณ GPS แบบอิสระๆ ต่อจุด ไม่มีการข้างอิงตำแหน่ง หรือจุดอื่นๆ ขณะรับสัญญาณ เครื่องรับสัญญาณ GPS ในตำแหน่งอิสระดังกล่าวจะรับสัญญาณตามค่าดาวเทียมอย่างน้อยสี่ดวง

การกำหนดตำแหน่งสัมบูรณ์ เป็นการคำนวณเพื่อหาค่าพิกัดในระบบแกนพิกัดของโลก เช่น ระบบพิกัดชาติที่มีจุดศูนย์กำเนิดอยู่ที่จุดศูนย์กลางประเทศไทย โดยแกน z อยู่ในแนวแกนหมุนของโลก แกน x ซึ่งไปยังเมืองเดียนศูนย์ของชา แกน y ตั้งฉากกับแกน x และแกน z บางครั้งเรียกว *single-point positioning* ด้วยเหตุว่า เป็นการเปิดรับสัญญาณจากกลุ่มดาวเทียมอย่างน้อยสี่ดวง เพื่อต้องการทราบค่าพิกัดของจุด ๆ เดียวโดยไม่มีการคำนวณที่เกี่ยวข้องกับตำแหน่งอื่น

การกำหนดตำแหน่งสัมพัทธ์ (relative positioning)

นอกจากนี้เรายังอาจแบ่งการกำหนดตำแหน่งออกเป็นการกำหนดตำแหน่งสถิติ (static) และการกำหนดตำแหน่งเคลื่อน (kinematic) ใน การกำหนดตำแหน่งสถิติยังนั้นเครื่องรับจะถูกวางอยู่กับที่ วิธีนี้ใช้เมื่อต้องการค่าพิกัดที่มีความละเอียดถูกต้องสูง โดยที่ความเร็วของการวัดและการคำนวณตำแหน่งที่มีความสำคัญเป็นอันดับรองลงมา ส่วนการกำหนดตำแหน่งเคลื่อน (kinematic) เครื่องรับอยู่ในภาวะที่กำลังเคลื่อนที่ ในกรณีนี้การคำนวณตำแหน่งให้รู้ได้ในทันที (real time) เป็นเรื่องที่มีความสำคัญมาก การหาตำแหน่งเคลื่อนที่มาปะยูกติให้กับการนำวิธีที่ต้องการค่าพิกัดแบบสมบูรณ์ ด้วยเหตุนี้วิธีการวัดจึงเป็นวิธีรัดแบบ pseudorange ที่วัดระยะจากดาวเทียมสี่ดวง ในขณะเดียวกันในการนำวิธีบวกครั้งมีการคำนวณค่าพิกัดแบบสัมพัทธ์ เนื่องจากงานนี้เป็นการหาตำแหน่งของเครื่องรับเครื่องหนึ่งเปรียบเทียบกับอีกเครื่องหนึ่ง จึงจำเป็นต้องมีคลื่นวิทยุเชื่อมโยงระหว่างเครื่องรับทั้งสองนี้ เพื่อให้สามารถนำข้อมูลที่รับได้มาเปรียบเทียบกับอีกเครื่องหนึ่ง ซึ่งจะเป็นต้องมีคลื่นวิทยุเชื่อมโยงระหว่างเครื่องรับทั้งสองนี้ วิธีการกำหนดตำแหน่งในลักษณะนี้ปะยูกติให้ในภาครุดเจาะหาน้ำมัน และการใช้ในการควบคุมการลากจูงเรือไปตามช่องน้ำ การกำหนดตำแหน่งแบบสัมพัทธ์นี้ บางครั้งเรียกว่าการรังวัดแบบแก้ค่าความต่าง (differential correction)

ในการใช้ระบบดาวเทียม GPS เพื่อช่วยในการจำแนกพื้นที่การปลูกชัยจำเป็นต้องใช้วิธีการรังวัดจากทั้งสองวิธีการ ซึ่งจะได้ก่อ大局ในรายละเอียดต่อไปในวิธีการจัด

ส่วนที่ 2 การทำแผนที่ปัญกอ้อยโดยใช้ข้อมูลดาวเทียม

วิธีการวิจัย (research methodology)

ถ้าร อ่อนประไฟ และ อรรถซั้ย จินตະเวช

ลิขสิทธิ์มหาวิทยาลัยเชียงใหม่

Copyright[©] by Chiang Mai University

All rights reserved

ก) จุกวรมวิจัยส่วนนี้เน้นการพัฒนาวิธีการและขั้นตอนการทำแผนที่ปฐกอ้อยจากข้อมูลภาพจากดาวเทียม LANDSAT 5 TM ขนาดรายละเอียดของจุดภาพ 25 เมตร เพื่อนำมาวิเคราะห์ร่วมกับระบบสนับสนุนการตัดสินใจเพื่อการผลิตอ้อย ThaiSIS 1.0 เพื่อประเมินผลผลิตของอ้อยได้ในพื้นที่ขนาดใหญ่ต่อไป

วัสดุประสงค์

1. เพื่อพัฒนาวิธีการและขั้นตอนการสร้างฐานข้อมูลเชิงพื้นที่ของพื้นที่ปฐกอ้อยจากข้อมูลดาวเทียม
2. เพื่อผลิตแผนที่การปฐกอ้อยสำหรับประกอบการใช้วิเคราะห์ร่วมกับฐานข้อมูลเชิงพื้นที่อื่น ๆ ในการคาดการณ์ระดับผลผลิตอ้อยในพื้นที่ขนาดใหญ่ร่วมกับโปรแกรม ThaiSIS 1.0

อุปกรณ์การวิจัย

Computer hardwares

1. เครื่องคอมพิวเตอร์ Sun workstation LX มีหน่วยความจำ (RAM) 32 MB
2. เครื่องมือรังวัดพิกัดจากดาวเทียม (GPS) จำนวน 2 ชุด (Base Station and Rover Sets)
3. เทปข้อมูลภาพจากดาวเทียม LANDSAT-5 ระบบ TM ระหว่างอำเภอคำพง จังหวัดขอนแก่น และ ละหัวง อำเภอถูทอง จังหวัดสุพรรณบุรี ได้รับความอนุเคราะห์จากสำนักงานคณะกรรมการวิจัยแห่งชาติ ซึ่งเป็นข้อมูลที่ถูกบันทึกเมื่อวันที่ 3 พฤษภาคม 2537 และ วันที่ 10 เมษายน 2538

Computer softwares

1. โปรแกรม ERDAS ใช้ในการวิเคราะห์ข้อมูลดาวเทียม บนระบบ UNIX เครื่องคอมพิวเตอร์ Sun workstation

อุปกรณ์อื่น

1. แผนที่ภูมิประเทศ 1:50,000 ระหว่างอำเภอคำพง จังหวัดขอนแก่น
2. แผนที่ภูมิประเทศ 1:50,000 อำเภอถูทอง จังหวัดสุพรรณบุรี

วิธีการวิจัย

ขั้นตอนแรกเป็นการศึกษาและจำแนกภัยลักษณะอ้อยข้อมูลพื้นที่ภาคปฐกอ้อยและการใช้ประโยชน์ที่ดิน ข้อมูลที่ใช้เป็นข้อมูลภาพจากดาวเทียม LANDSAT-5 TM ขนาดรายละเอียดของจุดภาพ 25 เมตร มีการบันทึกการสะท้อน

คลื่นทั้งหมดเจิดซุ่งคลื่น โดยทำการศึกษาข้อมูลภาพจากดาวเทียมในสองช่วงเวลาบันทึกข้อมูล คือ ข้อมูลภาพเดือนพฤษภาคม 2537 และ ข้อมูลภาพเดือนเมษายน 2538 ภาพทั้งสองช่วงทำให้สามารถศึกษาและจำแนกลักษณะคลื่นแสงของพื้นที่ป่าอ้อยเมื่อเจริญเติบโตเต็มที่ก่อนการตัดเข้าโรงงาน (ภาพเดือนพฤษภาคม 2537) และต้นฤดูการปลูก (โดยประมาณข้อมูลภาพเดือนเมษายน 2538) หลังจากการตัดเข้าโรงงานเพื่อปรับเปลี่ยนกับพืชไร่และการใช้ปะไบชน์ที่ดินอื่น ๆ และเลือกพื้นที่ศึกษาสองแห่ง คือ ระหว่างสำเนาหน้าพอง จังหวัดขอนแก่น และระหว่างสำเนาอู่ทอง จังหวัดสุพรรณบุรี ขนาดพื้นที่หนึ่งตาราง 27×27 ตร.กม. รวมข้อมูลที่ใช้รวมวิธีข้อมูลภาพจากดาวเทียมเพื่อจำแนกพื้นที่ป่าอ้อยทั้งหมดสี่ชุด แต่ละชุดใช้วิธีการจำแนกทั้งแบบควบคุม (supervised classification) และแบบไม่ควบคุม (unsupervised classification) เทคโนโลยีเชิงพื้นที่ดังกล่าวมีความสามารถในการต้องของพื้นที่ป่าอ้อยในเชิงคุณสมบัติ (attribute accuracy)

เทคโนโลยีข้อมูลเชิงพื้นที่อีกชนิดหนึ่งซึ่งสามารถนำมาประยุกต์ใช้เพื่อควบคุมความถูกต้องของพื้นที่ป่าอ้อยในเชิงตำแหน่ง (position accuracy) คือ ระบบการกำหนดตำแหน่งพิกัดบนพื้นโลก โดยใช้สำรวจหาและกำหนดตำแหน่งพื้นที่ตัวอย่าง (training area) ของข้อมูลพื้นที่ป่าอ้อยและการใช้ปะไบชน์ที่ดินอื่น ๆ ภายในระหว่างข้อมูลทั้งสอง ด้วยวิธีการรังวัดแบบสัมบูรณ์ (absolute positioning) และใช้กำหนดจุดควบคุมในการปรับแก้ค่าความคลาดเคลื่อนของข้อมูลภาพจากดาวเทียม (image rectification) และการทำแผนที่พื้นที่ป่าอ้อยในระดับตำบล ด้วยวิธีการรังวัดแบบสัมพัทธ์ (relative positioning) ซึ่งสามารถควบคุมความถูกต้องของแผนที่แสดงพื้นที่การป่าอ้อยให้ให้อยู่ในเกณฑ์ได้ถึง ± 5 เมตร ด้วยวิธีการปรับแก้ค่าความต่าง (differential correction) จากหมุดหลักฐานการรังวัด GPS ขั้นที่หนึ่งของกรมแผนที่ทหาร โดยใช้เป็น base station ของการสำรวจเพื่อการทำแผนที่พื้นที่ป่าอ้อย

ขั้นตอนการวิเคราะห์ข้อมูลดาวเทียม

การดำเนินกรรมวิธีวิเคราะห์ข้อมูลภาพจากดาวเทียมเพื่อทำแผนที่พื้นที่การป่าอ้อย เป็นการศึกษาลักษณะค่า-การสะท้อนพลังงานคลื่นแม่เหล็กไฟฟ้าของพื้นที่อ้อยกับพื้นที่การใช้ปะไบชน์ที่ดินอื่น ๆ โดยเฉพาะพื้นที่การเกษตรที่มีฤดูกาลป่าอ้อยและลักษณะค่าการสะท้อนพลังงานคลื่นแม่เหล็กไฟฟ้าใกล้เคียงกัน เช่น พื้นที่ป่าพืชไร่ต่าง ๆ และพื้นที่นาข้าว เป็นต้น ผลการศึกษาและวิเคราะห์ข้อมูลภาพจากดาวเทียมจะทำให้สามารถจำแนกรายละเอียดของพื้นที่ป่าอ้อยออกจากพื้นที่ศึกษาได้

ขั้นตอนกรรมวิธีวิเคราะห์ข้อมูลภาพจากดาวเทียมเพื่อทำแผนที่พื้นที่การป่าอ้อย สามารถแบ่งออกได้成หนึ่งขั้นตอน และมีรายละเอียดดังต่อไปนี้

การแก้ไขความถูกต้องในเชิงตำแหน่งของข้อมูล (image rectification)

การแก้ไขค่าความคลาดเคลื่อนในเชิงตำแหน่งของภาพดาวเทียม คือกระบวนการภาพปรับข้อมูลภาพให้มีความถูกต้อง ตรงตามตำแหน่งแท้จริงบนพื้นที่ผิวโลก หมายถึง การเพิ่มค่าความถูกต้องของจุดภาพให้ใกล้เคียงกับความเป็นจริงมากที่สุด เนื่องจากข้อมูลภาพที่ได้จากการเทียนทำให้จุดภาพแต่ละจุดมีสภาพเหมือนกับแบบเป็นระบบเดียวกัน

ทฤษฎีภาพ การแก้ไขเชิงตำแหน่งดำเนินการโดยยึดหลักระบบพิกัดตามมาตรฐานสากล โดยใช้วิธีการอ้างอิงจุดพิกัด (map coordinates) จากแผนที่สภาพภูมิประเทศ มาตราส่วน 1:50,000 ของกรมแผนที่ทหาร เป็นมาตรฐานในการสร้างจุดควบคุม (GCPs) เพื่อการปรับแก้ให้พื้นที่ในข้อมูลภาพดาวเทียมมีความถูกต้องทางตำแหน่งโดยหลักการ georeferencing เป็นวิธีการที่นำค่าพิกัดของจุดในแผนภูมิ (x, y coordinates) ของแต่ละจุดควบคุม ในข้อมูลภาพจากดาวเทียมและแผนที่ภูมิประเทศ มาตราส่วน 1:50,000 ด้วยวิธี Least Mean Square Regression ผลการคำนวณได้ค่าสมประสิทธิ์ จากนั้นผู้วิเคราะห์สามารถนำค่าสมประสิทธิ์ประกอบการคำนวณค่า RMS Error โดยสมการโพลีโนเมียล (polynomial equation) ค่า RMS Error เป็นค่าที่บ่งชี้ความถูกต้องของข้อมูล ในเชิงตำแหน่ง โดยทั่วไปคราวได้ค่า RMS Error ค่าน้อยที่สุดและไม่เกินขนาดรายละเอียด (resolution) ของภาพ จากการเทียบ ในการนี้ของภาพของ LANDSAT 5 TM ใช้ค่า RMS Error น้อยกว่า 25 เมตร

การปรับปรุงคุณภาพของข้อมูลภาพดาวเทียม (*image enhancement*)

การปรับปรุงคุณภาพของข้อมูลภาพดาวเทียมมีวัตถุประสงค์เพื่อปรับความคมชัดของข้อมูลภาพให้เหมาะสมแก่การจำแนกในขั้นต้นด้วยสายตาเพื่อประกอบการวิเคราะห์ด้วยคอมพิวเตอร์ ข้อมูลภาพจากดาวเทียมเป็นค่าข้อมูลตัวเลข ซึ่งมีค่าระหว่าง 0-255 ในแต่ละช่วงคลื่นทั้งหมดเจ็ดช่วงคลื่น ภาพที่ได้จากข้อมูลเหล่านี้สร้างขึ้นเป็นภาพขาว-ดำที่มีรายละเอียดของข้อมูลภาพตามค่าของข้อมูลในแต่ละจุดภาพซึ่งเรียกว่าค่าระดับสีเทา (grey level) โดยปกติค่าระดับสีเทาที่ได้รับมาจากสัญญาณดาวเทียมและนำมารังสรรคเป็นภาพจะยังไม่สามารถให้ความคมชัดเท่าที่ควร ซึ่งอาจเกิดมาจากการเสื่อมถอยประการ เช่น ปฏิกิริยาของบอร์ยากรที่มีต่อพัฒนาการคลื่นแม่เหล็กไฟฟ้า หรือความบกพร่องของเครื่องมือบันทึกข้อมูล (detector) วิธีปรับความคมชัดกระทำได้หลายวิธี โดยพิจารณาจากลักษณะค่าความถี่ต่ำของข้อมูลทั้งภาพว่าเป็นอย่างไร และขึ้นอยู่กับวัตถุประสงค์ว่าต้องการเน้นความคมชัดของข้อมูลในลักษณะใด วิธีการปรับปรุงคุณภาพของข้อมูลภาพดาวเทียมมีหลายวิธี เช่น การใช้-สมการเส้นตรงและเส้นโค้งในการยืดค่าข้อมูลให้เกิดความแตกต่างมากขึ้น (linear and non-linear contrast stretching) การทำภาพ ration band การทำภาพ principal component analysis การทำภาพ vegetation index หรือ การปรับคุณภาพของภาพข้อมูลโดยใช้การปรับเชิง-พื้นที่ (spatial filtering) เช่น low-frequency filtering หรือ high-frequency filtering เป็นต้น (Jensen, 1986)

การสร้างภาพสีผสมของข้อมูล (color composite)

การสร้างภาพสีผสมของข้อมูลภาพจากดาวเทียมเป็นวิธีการปรับปรุงคุณภาพของภาพเพื่อสะท้อนต่อผู้ศึกษาในการทำความเข้าใจลักษณะของข้อมูลภาพดาวเทียมได้ชัดเจนยิ่งขึ้นกว่าการใช้ภาพขาว-ดำ การสร้างภาพสีผสม ดำเนินการด้วยวิธีผสมข้อมูลภาพดาวเทียมของช่วงคลื่นที่ต้องการศึกษาผ่านเข้ากับแม่สีหลัก (สีแดง สีเขียว และสีน้ำเงิน) ของทั้งสามช่วงคลื่น ภาพที่ได้จะเกิดเป็นภาพสีที่เน้นความชัดเจนของรายละเอียดข้อมูลให้มากกว่า ภาพขาว-ดำของในแต่ละช่วงคลื่น ทั้งนี้เพื่อเป็นพื้นฐานในการนำไปเป็นข้อมูลเพื่อจำแนกหรือวิเคราะห์ด้วยคอมพิวเตอร์ต่อไป

สำหรับการศึกษาข้อมูลพื้นที่ป่าอ้อยของทั้งสองร่อง ผู้วิจัยได้ทำการสร้างภาพสีผสมในหลายลักษณะ เช่น ภาพสีผสมจริง (true color composite) ภาพสีผสมเท็จ (false color composite) และภาพสีผสมเท็จที่ไกส์-เคียงความจริง (pseudocolor composite) โดยได้ผสมช่วงคลื่นต่าง ๆ ที่สามารถบันทึกข้อมูลพืชพรรณต่าง ๆ เข้ามาผสมกัน ซึ่งทำให้ผู้วิจัยสามารถศึกษาแนวทางในการจำแนกพื้นที่ป่าอ้อยออกจากพื้นที่เกษตรกรรมอื่น ๆ ได้ดีพอสมควร นอกจากนี้ทำให้ผู้วิจัยมีแนวทางจำแนกพืชพรรณออกจากกันแล้ว ยังสามารถใช้ประโยชน์ในการตรวจสอบทางภาคสนาม ทำให้การเปรียบเทียบข้อมูลภาพและสภาพจริงดำเนินการได้อย่างมีประสิทธิภาพ

การตรวจสอบภาคสนาม (field checking)

การตรวจสอบภาคสนามมีความจำเป็นอย่างยิ่งในการศึกษาข้อมูลเชิงพื้นที่ (รูปที่ 30) โดยใช้เทคนิคข้อมูลระยะไกล (RS) และระบบดาวเทียมกำหนดตำแหน่งบนพื้นผิวโลก (GPS) มีประโยชน์สองทางคือ เพื่อเก็บข้อมูลใน-สนามและเพื่อการตรวจสอบความถูกต้องของการแปลภาพ นอกจากนี้ยังสามารถประกอบการตรวจสอบความถูกต้องของภาระผลผลิตอ้อยในพื้นที่ขนาดใหญ่ได้ โดยเฉพาะผลผลิตที่ได้จากแบบจำลองอ้อยที่ผ่านการ validate แล้ว (Monteith, 1994)

คณะผู้วิจัยได้ทำการตรวจสอบภาคสนามบริเวณพื้นที่ที่มีการปลูกอ้อยและพื้นที่การใช้ประโยชน์ที่ดิน ประเภทอื่นที่คาดว่าจะมีค่าคุณสมบัติการสะท้อนคลื่นแสง (spectral reflectance) ใกล้เคียงและอาจผสมผสาน กับค่าการสะท้อนคลื่นแสงของพื้นที่ป่าอ้อยอย่างละเอียด โดยทำการรังวัดพิกัดของจุดตรวจสอบตัวอย่าง (checking area) ในพื้นที่การเกษตรต่าง ๆ ด้วยเครื่องมือ GPS และนำค่าพิกัดของตำแหน่งตรวจสอบเหล่านั้นมา กำหนดลงในข้อมูลภาพดาวเทียม เพื่อสร้างเป็นพื้นที่ตัวอย่าง (training site) ของแต่ละกิจกรรม อนึ่งการตรวจ-สอบภาคสนามยังเป็นการตรวจสอบความถูกต้องของข้อมูลภาพดาวเทียมในการปรับแก้เชิงตำแหน่ง (image rectification) อีกด้วยหนึ่งด้วยหลังจากที่การปรับแก้เชิงตำแหน่งได้ปฏิบัติในสำนักงาน และควบคุมความถูกต้อง ด้วยค่า transformation matrix

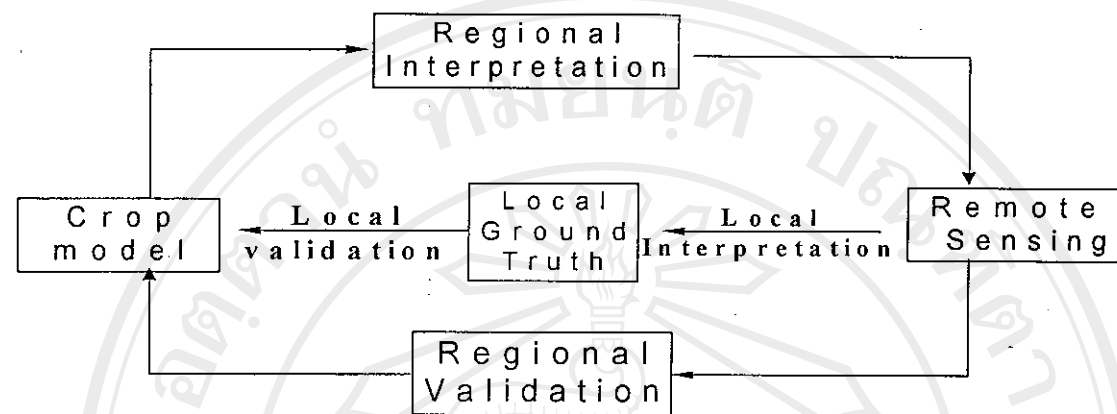
รูปที่ 31 แสดงขั้นตอนการดำเนินงานสำรวจพื้นที่ป่าอ้อยโดยใช้ GPS (อ่านเรื่องแนวคิดและหลักการ ของระบบ GPS ได้ใน ภาระ อ่อนประไฟ และอรรถศัย จิตตะเวช ในเอกสารฉบับนี้)

การจำแนกรายละเอียดข้อมูลภาพดาวเทียม (image classification)

หมายถึงการจัดจำแนกจุดภาพภายในระหว่างภาพดาวเทียมออกเป็นประเภทที่ดิน (land use type) หรือ เป็นข้อมูลร่องคุณที่ดิน (land cover) ชนิดต่าง ๆ โดยใช้หลักการทางสถิติกับข้อมูลทุกช่วงคลื่นที่ถูกบันทึกเก็บ ให้เป็นข้อมูลเชิงตัวเลขของภาพดาวเทียม สามารถแบ่งออกเป็นวิธีการจำแนกรายละเอียดข้อมูลภาพดาวเทียมได้ เป็นสองวิธีการ คือ การจำแนกแบบควบคุม และการจำแนกแบบไม่ควบคุม

การจำแนกแบบควบคุม (supervised classification) ใช้ข้อมูลจากภาคสนาม แผนที่ ภาพถ่ายทางอากาศหรือ ข้อมูลอื่น ๆ ที่ทราบตำแหน่งและคุณลักษณะของพื้นที่แน่นอน รวมในการคำนวณค่าสถิติของจุดภาพในพื้นที่ตัว-

รูปที่ 30: ความสมมั่นใจของการตรวจสอบภาคสนามกับงานข้อมูลเชิงพื้นที่ (Monteith, 1994)



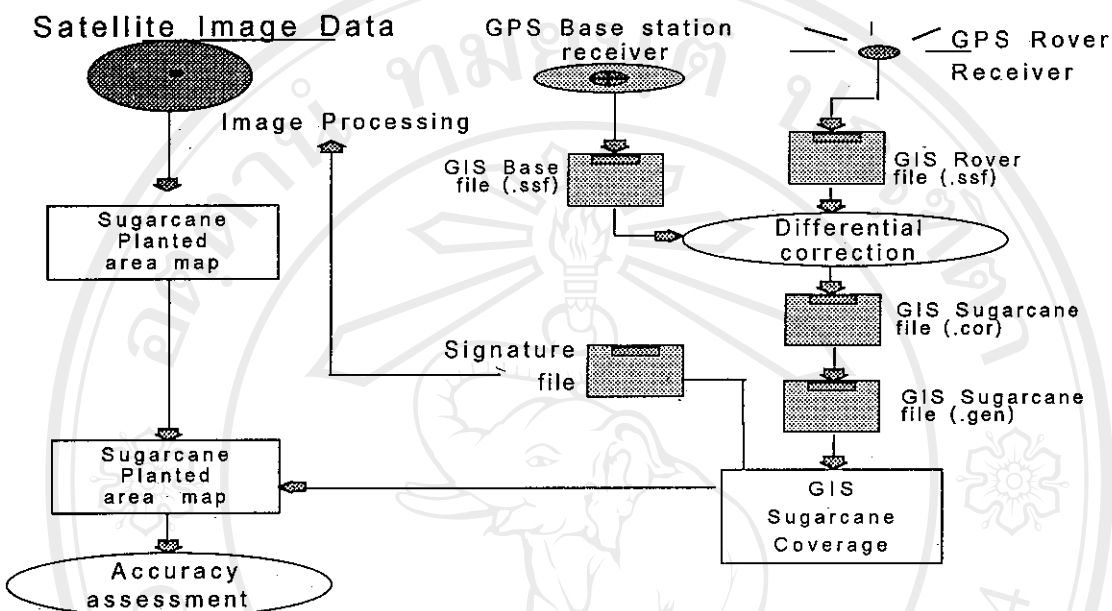
อย่าง (training area) โดยนำมาสร้างเป็นข้อมูลการสะท้อนแสง (signature file) ของพื้นที่ปลูกอ้อยและพื้นที่การใช้ประโยชน์ที่ดินอื่น ๆ โดยเฉพาะพื้นที่การปลูกพืชไร่อื่น ๆ ที่ข้างเคียงกับพื้นที่ปลูกอ้อย ซึ่งมีวัตถุประสงค์เพื่อการทำแท่งข้อมูล สำหรับลักษณะการสะท้อนแสงของพื้นที่เหล่านั้น ทั้งนี้เพื่อนำไปใช้สำหรับการจำแนกภาระเบียดข้อมูลภาพจากดาวเทียมทั้งระหว่างตัววิธีแบบควบคุม ค่าการสะท้อนแสงของข้อมูลในแต่ละจุดภาพ (pixel) ของข้อมูลภาพจากดาวเทียมจะถูกคำนวณโดยมีค่าข้อมูลของ training area เป็นต้นแบบ และข้อมูลของทุก ๆ pixel จะถูกตัดสินด้วยวิธีการทางสถิติว่าควรเป็นข้อมูลที่ตกอยู่ในลักษณะพื้นที่ หรือการใช้ที่ดินประเภทใด (รูปที่ 32)

การจำแนกแบบไม่ควบคุม (unsupervised classification) ใช้หลักการจำแนกค่าการสะท้อนแสงของวัตถุเป็นหลัก (spectral classes) โดยไม่ใช้ค่าข้อมูลตัวอย่าง (training data) ในการกำหนดประเภทของการใช้ที่ดิน (รูปที่ 32) นั้นคือใช้ลักษณะการจับกลุ่มของข้อมูลที่มีค่าการสะท้อนของคลื่นแสงที่ใกล้เคียงกันให้อยู่ในชุดเดียวกัน และจากนั้นทำการเปรียบเทียบหรือให้ความหมาย (identify) ค่าข้อมูลที่ถูกจัดให้อยู่ในกลุ่มเดียวกันตามข้อมูล ตัวๆ ที่มีอยู่ เช่น ข้อมูลภาคสนาม แผนที่และภาพถ่ายทางอากาศ และข้อมูลภาพดาวเทียมที่มีการจำแนกไว้ในเกณฑ์มาตรฐานที่เชื่อถือได้ (Lillesand and Kieffer, 1994a) ในทางปฏิบัติการจำแนกแบบนี้เรียกว่า การจัดกลุ่ม (clustering) ซึ่งกันยังหนึ่งเป็นการจัดกลุ่มของพื้นที่ด้วยข้อมูลค่าการสะท้อนคลื่นแสงของวัตถุที่ต้องการที่ภาษาซึ่งมีสองวิธี คือ 1) isodata clustering และ 2) RGB clustering คณบัญชีจัยเลือกวิธีการจัดกลุ่มข้อมูลแบบแรกสำหรับการจำแนกพื้นที่ปลูกอ้อยหรือพื้นที่

การจัดกลุ่มค่าเหมือนกัน (isodata clustering) เป็นเทคนิคการวิเคราะห์ข้อมูลที่มีการวิเคราะห์ข้าด้วยค่าข้อมูลเดิมตั้งแต่ขั้นตอนการจำแนกข้อมูลถึงขั้นตอนการคำนวณทางสถิติ โดยใช้ค่า spectral distance ที่น้อยที่สุดในการกำหนดกลุ่มของข้อมูลแต่ละชุด โดยเริ่มจากค่าเฉลี่ยของกลุ่มข้อมูลที่ระบุให้ และคำนวณขั้นตอนทั้งค่าเฉลี่ยของกลุ่มข้อมูลต่าง ๆ เหล่านั้น เปลี่ยนค่าเป็นค่าเฉลี่ยของกลุ่มข้อมูลในทั้งชุดของภาพ (ERDAS, 1994a)

รูปที่ 31:

ขั้นตอนการดำเนินงานสำรวจพื้นที่ปลูกอ้อยโดยใช้ GPS

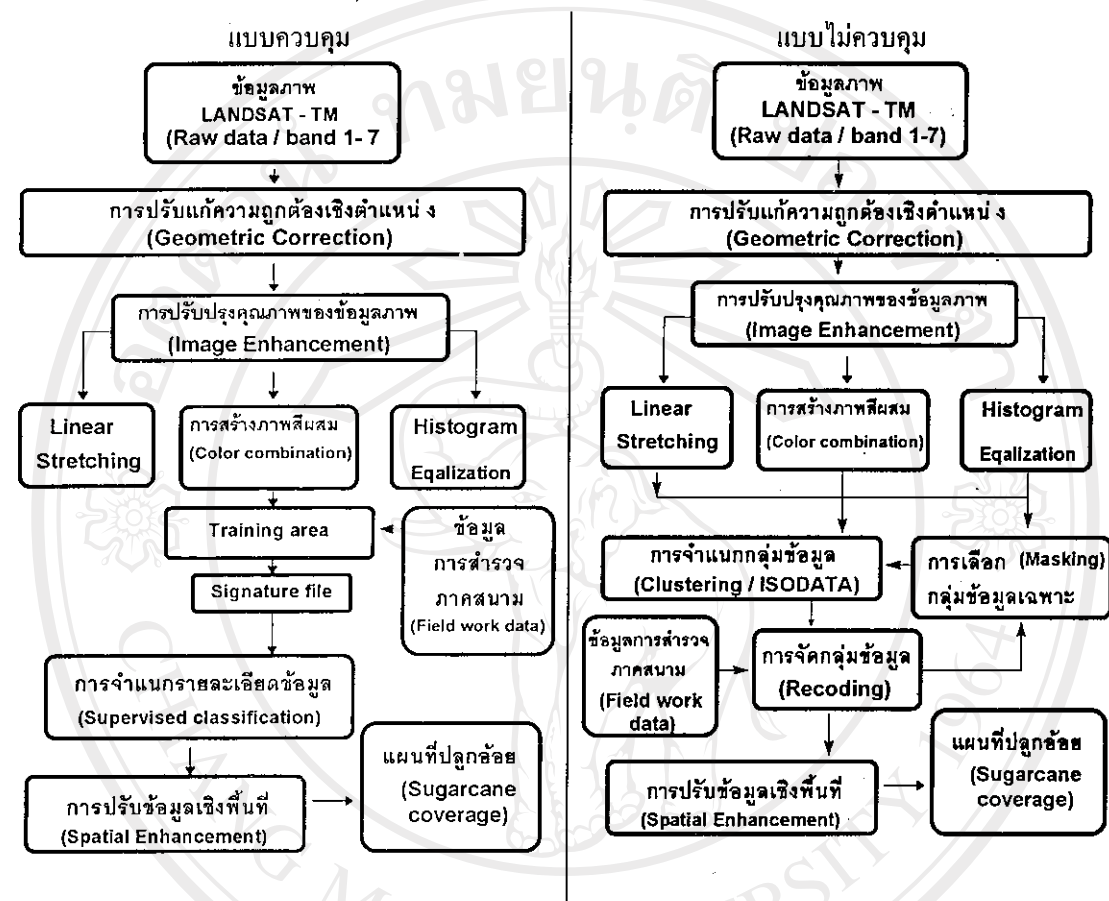


การประเมินค่าความถูกต้อง (classification accuracy assessment)

การประเมินค่าความถูกต้องของการจำแนกค่าข้อมูลภาพจากดาวเทียมทั้งแบบควบคุมและไม่ควบคุมการจำแนก เป็นกิจกรรมที่มีความสำคัญและจำเป็นมาก คณบดีวิจัยได้ดำเนินการประเมินความถูกต้องสองวิธีการ ได้แก่ error matrix และ KHAT statistic (Congalton, 1991; Carstensen, 1987; และ Foody, 1992). วิธีการแรกเป็นตารางแสดงจำนวนจุด (pixel) ที่กำหนดให้เป็นการใช้ที่ดินชนิดใดชนิดหนึ่งตามสภาพการใช้ที่ดินที่มีการตรวจสอบในสนาม (reference data) การสร้างตารางโดยทั่วไปกำหนดให้แนวตั้ง (columns) และแนวนอน (rows) แสดงจำนวนจุดที่มีตรงกับค่าที่ได้จากสนาม และในแนวนอน (row) และแนวนอนจุดที่ได้จากการแปลงภาพ ในกรณีที่การประเมินมีความถูกต้องสูงมากจะได้ตารางที่มีจำนวนจุดในแนวนอนมุ่งของตารางเป็นจำนวนมาก นอกเหนือจากการสร้างตาราง error matrix ยังทำให้คำนวณดัชนีความถูกต้องได้ 3 ค่าดือ ดัชนีกำหนด (producer accuracy) ดัชนีจริง (user accuracy) และดัชนีรวม (overall accuracy)

ดัชนีกำหนด (producer accuracy) คำนวณตามแนวตั้งเป็นสัดส่วนระหว่างจำนวนจุดกำหนดที่ตรงกับการใช้ที่ดินประเภทนั้นในสภาพจริงตามกำหนดในสนามและจำนวนจุดกำหนดที่รวมของจุดประเภทต่าง ๆ ที่ตกอยู่ในสภาพการใช้ที่ดินประเภทนั้น ๆ ดัชนีจริง (user accuracy) คำนวณตามแนวอนเป็นสัดส่วนระหว่างจำนวนจุดกำหนดที่ตรงกับการใช้ที่ดินประเภทนั้นในสภาพจริงตามกำหนดในสนามและจำนวนรวมของจุดสภาพจริงประเภทนั้น ๆ ที่ตกอยู่ในค่ากำหนดของสภาพจริงประเภทอื่น ๆ ดัชนีรวม (overall accuracy) คำนวณตาม

รูปที่ 32: ขั้นตอนการจำแนกพื้นที่ปลูกอ้อยด้วยวิธีแบบควบคุม (supervised classification) และวิธีแบบไม่ควบคุม (unsupervised classification)



แนวทางแยกมุมของตารางเป็นสัดส่วนระหว่างผลรวมของค่าที่สภาพกำหนดตรงกับสภาพจริงและผลรวมของจุดทึ้งหมดในตาราง (Congalton, 1991) KHAT สามารถคำนวณได้สองลักษณะคือ KHAT รวม และ KHAT เฉพาะประเภทการใช้ที่ดิน Congalton (1991) "ได้เสนอสมการที่ใช้ในการคำนวณ KHAT ดังนี้"

$$K = \frac{N \sum_{i=1}^r x_{ii} - \sum_{i=1}^r (x_{ii} + * x_{+i})}{N^2 - \sum_{i=1}^r (x_{ii} + * x_{+i})}$$

โดยที่ r จำนวนแผลในตาราง matrix

x_{ii} จำนวนข้อมูลที่วัดในແກ້ໄຂ i គົມກົງທີ່

x_{+i} และ x_{+i} จำนวนรวมที่ແກ້ໄຂ i และສດມກົງທີ່ ຕາມລຳດັບ

N จำนวนรวมของข้อมูลที่วัดทั้งหมด

ส่วนที่ 2 การทำแผนที่ปููกอ้อยโดยใช้ข้อมูลดาวเทียม

กรณีศึกษาระวางน้ำพอง จังหวัดขอนแก่น

ภาคร อ่อนประไฟ อรรถชัย jinตะเวช
ศักดิ์ดา จงแก้ววัฒนา พินกร กลมสอด และ¹
สุวิทย์ เลานศิริวงศ์²

อิชิกิรินมหาวิทยาลัยเชียงใหม่
Copyright[©] by Chiang Mai University
All rights reserved

การจำแนกพื้นที่ป่าลูกอ้ออยด้วยข้อมูลภาพจากดาวเทียม กรณีศึกษาระหว่างอำเภอ้น้ำพอง จังหวัดขอนแก่น ได้ใช้วิธีการศึกษาและกรรมวิธีข้อมูล ดังที่ได้กล่าวแล้วในวิธีการวิจัย เป็นข้อมูลภาพเดือนพฤษจิกายน 2537 (ภาพที่ 7 และ 8) และข้อมูลภาพเดือนเมษายน 2538 และใช้วิธีการจำแนกแบบควบคุม และแบบไม่ควบคุม พื้นที่ระหว่างอำเภอ้น้ำพองมีกิจกรรมการเกษตรหลายประเภทผสมผสานกัน (ภาพที่ 9 และ 10) ลักษณะคลื่นแสงของพื้นที่เกษตรกรรมหลัก ได้แก่ ข้าว อ้อย ข้าวโพด ปอ และมันสำปะหลัง นอกจากนี้ยังมีลักษณะคลื่นแสงของพื้นที่พืชพรรณอื่น เช่น ปาไม้ สาบป่าลูก (ยุคอาลิตตัศ) และสวนมะม่วง ลักษณะการใช้พื้นที่ดังกล่าวทำให้เกิดการผสมผสานกัน ของภาคคลื่นแสงภายในระหว่าง

ผลการศึกษา

การจำแนกพื้นที่ป่าลูกอ้ออยจากเทคนิคข้อมูลระยะใกล้ด้วยวิธีแบบควบคุม (supervised classification) และแบบไม่ควบคุม (unsupervised classification) ในพื้นที่ระหว่างอำเภอ้น้ำพอง จังหวัดขอนแก่น (ตารางที่ 87) พบว่าการจำแนกแบบควบคุมประมีพื้นที่ป่าลูกอ้ออยได้มากกว่าพื้นที่ป่าลูกอ้ออยจริง เนื่องจากการจำแนกแบบควบคุมใช้ค่าจุดสูมตัวอย่างพื้นที่อ้อยและการสะท้อนแสงของพื้นที่ป่าลูกอ้ออยเป็นค่าสถิติในการจำแนก ซึ่งการศึกษาพบว่าค่าจุดสูมตัวอย่างพื้นที่อ้อยมีการซ้ำซ้อนของค่าข้อมูลการใช้พื้นที่ดินประเภทอื่น ๆ ในระหว่างน้ำพองรวมอยู่ในค่าจุดสูมตัวอย่างพื้นที่ป่าลูกอ้ออย นอกจากนี้พื้นที่ที่ดำเนินการศึกษาเป็นบริเวณที่กว้างมาก (ประมาณ 455,625 ไร่) การหาจุดสูมตัวอย่างสำหรับการจำแนกแบบควบคุมอาจจะยังไม่ทั่วถึงทุก ๆ ประเภทของลักษณะการใช้ที่ดิน อาจเป็นสาเหตุทำให้เกิดความซ้ำซ้อนของค่าการสะท้อนแสงลงในประกาศ geleide

สำหรับการจำแนกแบบไม่ควบคุมนั้น (ภาพที่ 11 และ 12) ประมีพื้นที่ป่าลูกอ้ออยได้ต่ำกว่าพื้นที่ป่าลูกอ้ออยจริง เนื่องจากวิธีการจำแนกแบบไม่ควบคุมนี้สามารถใช้ค่าสถิติของข้อมูลทุก ๆ จุดภาพ แบ่งกลุ่มข้อมูลออกได้ภายในภาพเอง แต่จะมีปัญหาที่สำคัญ คือ ในกรณีนี้ยังไม่สามารถระบุพื้นที่ที่ตัดอ้อย (ข้อมูลภาพเดือนพฤษจิกายน 2537) พื้นที่เตรียมดินเพื่อจะป่าในใหม่ (ข้อมูลภาพเดือนพฤษจิกายน 2537) และพื้นที่ที่อ้อยยังมีขนาดเล็ก (ข้อมูลภาพเดือนเมษายน 2538) ได้ เนื่องจากลักษณะค่าการสะท้อนแสง

ตารางที่ 87: ผลการจำแนกพื้นที่ป่าลูกอ้ออยของระหว่างอำเภอ้น้ำพอง จังหวัดขอนแก่น

| พื้นที่การป่าลูกอ้ออย (ไร่) | | |
|--|--|---|
| ข้อมูลภาพดาวเทียม LANDSAT-5 TM บันทึกข้อมูลเมื่อ | การจำแนกแบบควบคุม (supervised classification) | การจำแนกแบบไม่ควบคุม (unsupervised classification) |
| 3 พ.ย. 2537 | 65,662.5 | 40,101.8 |
| 10 เม.ย. 2538 | 72,192.5 | 80,199.3 |

ของพื้นที่เหล่านี้ ส่วนใหญ่จะรวมอยู่ในพื้นที่ว่างเปล่า (bare soil) เช่นบริเวณสนามโรงเรียน ลานดักแม่น้ำป่า หลัง และที่กรรังงบางพื้นที่ อีกทั้งไม่สามารถระบุได้ว่าพื้นที่ที่เกษตรกรกำลังเตรียมดินอยู่นั้นจะใช้ปลูกพืชชนิดใด

การประเมินค่าความถูกต้อง ระหว่างสำเนาอน้ำพอง

การประเมินค่าความถูกต้องของการวิเคราะห์ข้อมูลดาวเทียมระหว่างสำเนาอน้ำพอง พบว่ามีค่าความถูกต้องอยู่ในระดับใกล้เคียงกันมาก (ตารางที่ 89) ค่าดัชนีความถูกต้องรวมและค่า Kappa statistics รวมของทั้งสองวิธีการแปลสภาพดาวเทียมมีค่าอยู่ในช่วงร้อยละ 73-79 และ 69-75 ตามลำดับ ซึ่งเป็นค่าที่น่าพอใจสามารถนำไปประยุกต์ใช้งานต่อไปได้ โดยเฉพาะการจำแนกข้อมูลภาพเดือนเมษายน 2538 ด้วยวิธีการแบบไม่ควบคุม นอกจากนี้ค่าดัชนีความถูกต้องรวมของวิธีการดังกล่าวอยู่มีค่าสูงที่สุด อย่างไรก็ตาม ค่า Kappa statistics ของพื้นที่ข้อมูลซึ่งมีการจำแนกแบบไม่ควบคุมของข้อมูลทั้งสองช่วงมีค่าใกล้เคียงกัน ซึ่งให้เห็นว่าในพื้นที่บริเวณศึกษา น้ำพองที่ใช้ข้อมูลภาพเดือนพฤษภาคม 2537 และทำการจำแนกรายละเอียดแบบไม่ควบคุม (unsupervised classification) จะให้ผลการจำแนกที่ถูกต้องมากที่สุด

การสำรวจพื้นที่ปลูกอ้อยในขอบเขตระดับตำบล

ในพื้นที่ระดับตำบล คณบัญชีจัดได้ดำเนินการสำรวจพื้นที่ปลูกอ้อยด้วยเทคนิค ระบบดาวเทียมกำหนดตำแหน่งบนพื้นผิวโลก (GPS) ของพื้นที่ตำบลในท่อน สำเนาอน้ำพอง จังหวัดขอนแก่น ในระหว่างเดือนกรกฎาคม พ.ศ. 2538 หลังจากที่ได้ทำการแปลสภาพถ่ายดาวเทียมของพื้นที่ดังกล่าว เพื่อเป็นการเก็บข้อมูลภาคสนาม ประกอบการศึกษาวิธีการทำแผนที่ปลูกอ้อยจากภาพถ่ายดาวเทียม รวมทั้งเป็นการเก็บข้อมูลช่วยในการสำรวจพิกัดตำแหน่งของพื้นที่ตัวอย่างการปลูกอ้อย (training area) ในการสร้างข้อมูลค่าการสะท้อนแสง (signature file) ของพื้นที่ปลูกอ้อย และพื้นที่การใช้ประโยชน์ที่ดินอื่น ๆ เพื่อใช้ในการจำแนกรายละเอียดแบบควบคุม (supervised classification) ตลอดจนถึงการใช้ GPS ใน การสำรวจขอบเขตและพื้นที่ปลูกอ้อยภายในพื้นที่สูงต่ำอย่าง 1 ตำบล เพื่อเปรียบเทียบพื้นที่ปลูกอ้อยจริงกับพื้นที่ปลูกอ้อยที่ได้จากการจำแนกรายละเอียดด้วยข้อมูลภาพจากดาวเทียม ขั้นตอนการดำเนินงานโดยใช้ GPS ได้แสดงไว้ในรูปที่ 31

การสำรวจพื้นที่ปลูกอ้อยภายในขอบเขตพื้นที่ตำบลสูงต่ำอย่าง ได้ใช้วิธีการเดินสำรวจขอบเขต และรังวัดรอบทุก ๆ แปลงสำรวจโดยเครื่องมือ GPS การรังวัดจำเป็นต้องใช้ค่าความถูกต้องที่สูง สำหรับการคำนวณตำแหน่ง และพื้นที่ของพื้นที่ปลูกอ้อยทุก ๆ แปลง จึงใช้วิธีรังวัดแบบแทรกค่าความต่าง โดยดาวเทียม GPS จะทำการคำนวณค่าความแตกต่างระหว่างจุดที่รักพิกัดที่แน่นอนแล้ว (base station) กับจุดที่กำลังคำนวณค่าพิกัดให้ (rover) และทำการปรับเข้า (โดยเปรียบเทียบกับจุดที่รักค่า) ให้มีค่าความถูกต้องมากที่สุด (ภายในรัศมี 5 เมตร) การปฏิบัติงานรังวัดทั้งหมดนี้ เรียกว่า differential correction (Trimble Navigation; 1992) ซึ่งอาศัยค่าพิกัดจากหมุดหลักฐานดาวเทียม GPS ขั้นที่ 1 ของกรมแผนที่ทหารในบริเวณใกล้เคียง เป็น base station ในการปฏิบัติ-

ตารางที่ 89: ตัวนีความถูกต้อง และ Kappa statistics ที่ได้จากการจำแนกข้อมูลภาพดาวเทียมสองวิธี การของข้อมูลจากดาวเทียมทั้งสองช่วง ระหว่างน้ำพอง จังหวัดขอนแก่น

| | ตัวนีความถูกต้อง | | | Kappa statistics | |
|--------------------|------------------|------|------|------------------|------|
| | Producer | User | รวม | ข้อย | รวม |
| ควบคุม พย. 37 | 75.7 | 63.6 | 73.8 | 57.5 | 68.8 |
| ไม่ควบคุม พย. 37 | 71.9 | 85.2 | 78.9 | 83.1 | 74.6 |
| ควบคุม เม.ย. 38 | 75.0 | 61.2 | 75.0 | 54.1 | 70.1 |
| ไม่ควบคุม เม.ย. 38 | 78.3 | 85.2 | 78.9 | 82.6 | 74.9 |

งาน ข้อมูลพื้นที่ปูกรอ้อยของบีเวณพื้นที่ศึกษา ได้ถูกนำมาสร้างเป็นไฟล์ข้อมูลพื้นที่ปูกรอ้อยจริงภายในขอบเขต ตำบล และถูกผนวกเข้ากับข้อมูลลักษณะค่าการสะท้อนแสง (signature file) ของพื้นที่ปูกรอ้อย เพื่อใช้ในการจำแนกรายละเอียดแบบ supervised classification อีกด้วย (ตารางที่ 90)

ตารางที่ 90: เมริยนเทียนพื้นที่การปูกรอ้อยในตำบลโนนห่อน อำเภอโนนพอง จังหวัดขอนแก่น จากการแปลภาพด้วยดาวเทียม

| วิธีการ | ใหม่ | เก่า |
|---|-------------------------|-------------------------|
| | พื้นที่ปูกรอ้อย (ไร) | พื้นที่ปูกรอ้อย (ไร) |
| การแปลภาพแบบควบคุม ภาพเดือน พย. 2537 | 4,388 | 3,900 |
| การแปลภาพแบบไม่ควบคุมภาพเดือน พย. 2537 | 4,278 | 4,813 |
| การแปลภาพแบบควบคุม ภาพเดือน เม.ย. 2538 | 6,298 | 11,400 |
| การแปลภาพแบบไม่ควบคุมภาพเดือน เม.ย 2538 | 3,638 | 8,356 |
| ผลการสำรวจนโดย GPS | 1,344 | 1,244 |
| การสอนตามเกณฑ์การในภาคสนาม | 2,842 | 2,842 |

ส่วนที่ 2 การทำแผนที่ปัญกอ้อยโดยใช้ข้อมูลดาวเทียม

กรณีศึกษาระวางอุ่่ทอง จังหวัดสุพรรณบุรี

ถาวร อ่อนประไฟ อรรถชัย จินตະเวช
ศักดีดา จงแก้ววัฒนา ทินกร กลมสอดاد
ปรีชา พราหมณีย์ และ เฉลิมพล ไหลรุ่งเรือง

ลิขสิทธิ์มหาวิทยาลัยเชียงใหม่
Copyright © by Chiang Mai University
All rights reserved

การจำแนกพื้นที่ป่าอุตุนิยมวิทยาโดยใช้ข้อมูลภาพจากดาวเทียม ระหว่างอำเภอท่องเที่ยว จังหวัดสุพรรณบุรี ใช้วิธีการศึกษาและกรรมวิธีข้อมูลเช่นเดียวกับระหว่างอำเภอท่องเที่ยว จังหวัดชลบุรี เป็นข้อมูลภาพเดือนพฤษภาคม 2537 (ภาพที่ 13) และข้อมูลภาพเดือนเมษายน 2538 (ภาพที่ 14)

ผลการศึกษา

พบว่าการจำแนกพื้นที่ป่าอุตุนิยมวิทยาโดยใช้ข้อมูลระดับภูมิภาค แบบคุณภาพ (ภาพที่ 15-18) ในพื้นที่ระหว่างอุตุนิยมวิทยา จังหวัดสุพรรณบุรี ของข้อมูลแต่ละเดือนมีผลใกล้เคียงกัน (ตารางที่ 91) ผลการจำแนกพื้นที่ป่าอุตุนิยมวิทยาโดยใช้ข้อมูลเดือนพฤษภาคม 2537 มีมากกว่าพื้นที่ป่าอุตุนิยมวิทยาเดือนเมษายน 2538

ตารางที่ 91: ผลการจำแนกพื้นที่ป่าอุตุนิยมวิทยาของระหว่างอุตุนิยมวิทยา จังหวัดสุพรรณบุรี

| บันทึกข้อมูลเมื่อ | พื้นที่การป่าอุตุนิยมวิทยา (ไร่) | |
|-------------------|----------------------------------|----------------------|
| | การจำแนกแบบคุณภาพ | การจำแนกแบบไม่คุณภาพ |
| 3 พ.ย. 2537 | 129,125.0 | 121,528.7 |
| 10 เม.ย. 2538 | 75,892.5 | 81,641.2 |

การประเมินค่าความถูกต้อง ระหว่างอุตุนิยมวิทยา

พบว่ามีค่าความถูกต้องอยู่ในระดับที่ค่อนข้างสูงและมีค่าใกล้เคียงกัน (ตารางที่ 92) ค่าดัชนีรวมอยู่ในช่วงร้อยละ 82-87 ของทั้งสองวิธีการจำแนกข้อมูลดาวเทียม และมีค่า Kappa statistics อยู่ในช่วงร้อยละ 77-84 ซึ่งจัดเป็นค่าความถูกต้องในระดับที่พอใช้ได้ถึงระดับค่อนข้างดี ยกเว้นการจำแนกข้อมูลดาวเทียมของเดือนเมษายน 2538 ด้วยวิธีการแบบคุณภาพที่ค่อนข้างคลาดเคลื่อนเล็กน้อย อย่างไรก็ตาม ผลการเปรียบเทียบค่าดัชนีเฉพาะพื้นที่ข้อมูลค่า Kappa statistics ของการประเมินค่าความถูกต้อง ขึ้นให้เห็นว่าในพื้นที่ที่ทำการศึกษานี้การใช้ข้อมูลภาพเดือนพฤษภาคม 2537 และทำการจำแนกรายละเอียดแบบคุณภาพ (supervised classification) ให้ผลการจำแนกที่ถูกต้องมากกว่าการใช้ข้อมูลจากดาวเทียมในเดือนเมษายน 2538 และใช้วิธีการจำแนกแบบไม่คุณภาพ (unsupervised classification)

ตารางที่ 92: ดัชนีความถูกต้อง และ Kappa statistics ระหว่างอุตุนิยมวิทยา จังหวัดสุพรรณบุรี

| | ดัชนีความถูกต้อง | | | Kappa Statistics | |
|--------------------|------------------|------|------|------------------|------|
| | Producer | User | รวม | ช้อย | รวม |
| คุณภาพ พ.ย. 37 | 90.0 | 85.7 | 87.1 | 81.3 | 84.0 |
| ไม่คุณภาพ พ.ย. 37 | 92.9 | 82.8 | 84.3 | 77.8 | 81.0 |
| คุณภาพ เม.ย. 38 | 87.8 | 85.7 | 82.0 | 82.9 | 77.7 |
| ไม่คุณภาพ เม.ย. 38 | 82.2 | 80.4 | 83.5 | 76.2 | 80.1 |

สรุปและวิเคราะณ์ผลการศึกษา

โครงการ พท.อำเภอ ได้ใช้เทคโนโลยีสารสนเทศทางประภากลาง (RS) ระบบสารสนเทศทางภูมิศาสตร์ (GIS) และแบบจำลองการเจริญเติบโตของอ้อย เพื่อพัฒนาและหาวิธีการประเมินผลผลิตของอ้อยให้ได้อย่างถูกต้องและนำไปใช้คือมากที่สุด เทคโนโลยีสารสนเทศสองอย่างแรกเป็นเทคโนโลยีที่สามารถจัดการข้อมูลเชิงพื้นที่ได้ การใช้เทคโนโลยีข้อมูลเชิงพื้นที่นี้ ได้นำการพัฒนาวิธีการจำแนกรายละเอียดแบบใช้ลักษณะค่าการสะท้อนแสงของพืชพรรณภายในพื้นที่ตัวอย่าง (training area) เป็นหลักในการจำแนก (supervised classification) คือ คำนวนการตัดสินจุดภาพของข้อมูลภาพดาวเทียมจากค่าสถิติของพื้นที่ตัวอย่าง และนำมาจัดจำแนกเป็นข้อมูล-การใช้ประโยชน์ในพื้นที่ และทำการจำแนกด้วยวิธีแบบไม่ควบคุม (unsupervised classification) เพื่อ-เปรียบเทียบวิธีการและผลการจำแนก

กรณีระหว่างอำเภอ น้ำพอง จังหวัดขอนแก่น

ผลการจำแนกด้วยวิธีแบบควบคุมยังไม่ได้ผลดีมากนัก เนื่องจากหลังจากการจำแนกแล้วยังมีค่าการสะท้อนแสงของพืชพรรณ (spectral reflectance) บางชนิด เช่นมันล้มปะหลัง ที่ปะปนอยู่กับค่าการสะท้อนแสงของพื้นที่การปลูกอ้อย สำหรับการจำแนกรายละเอียดข้อมูล โดยเน้นวิธีการเฉพาะทางสถิติใช้ร่วมกับข้อมูลภาพสนาน หรือแบบ-ไม่ควบคุม จากรายละเอียดผลการประเมินค่าความถูกต้อง ให้ผลที่น่าจะใกล้เคียงมากกว่า

ปัญหาที่สำคัญอีกประการหนึ่งในการจำแนกพื้นที่ปลูกอ้อย คือลักษณะความขับข้องของแปลงปลูกที่มีขนาดเล็ก และปลูกพืชไร่อื่นหมุนเวียนทำให้ยากแก่การจำแนกด้วยวิธีดังกล่าว Keig et al (1991) ได้พยายามใช้ข้อมูลจากภาพดาวเทียม LANDSAT TM และ SPOT ที่มีขนาดรายละเอียดสูง จำแนกพื้นที่ปลูกอ้อยในประเทศไทย ออกสเตติสติกและเชื่อมโยงเข้ากับ GIS และระบบการจัดการฐานข้อมูลการปลูกอ้อย PROSPER ซึ่งยังมีปัญหาเช่นเดียวกัน คือ ความขับข้องของข้อมูลที่มีรายละเอียดเล็กเกินไป และขณะนี้ยังคงมีความพยายามในการวิเคราะห์ศักยภาพ ของค่าคุณสมบัติการสะท้อนแสงของอ้อยและพืชอื่น ๆ ต่อไป

จากการประเมินค่าความถูกต้องของการจำแนกรายละเอียด วิธีการจำแนกแบบไม่ควบคุมเป็นวิธีการที่ให้ค่าตัดชั้นความถูกต้องทั้งสามค่าและค่า KHAT สูงกว่า 0.9 วิธีการแปลงภาพแบบควบคุมของข้อมูลดาวเทียมเดือนพฤษภาคม 2537 และเดือนเมษายน 2538 เนื่องจากมีความแตกต่างกันในด้านเทคนิคบางประการที่ใช้ในการจำแนกรายละเอียดจากห้องส่องวิชี วิธีการจำแนกแบบควบคุมใช้การแบ่งประเภทรายละเอียดตาม signature file ที่ได้จาก training area ของสภาพการเกษตรกรรมและสภาพการใช้ที่ดินแต่ละประเภทจากภาคสนาม ในทางปฏิบัติผู้วิเคราะห์สามารถที่จะเลือกด้วยตนเองของสภาพการใช้ที่ดินแต่ละประเภท ให้มีค่าการสะท้อนแสง (spectral reflectance) ของกิจกรรมนั้น ๆ ที่เป็นเอกภาพ (unique) มากที่สุด คือไม่ให้มีลักษณะการใช้ที่ดินอื่น ๆ ผสมผสาน หรือมีແต้น้อยที่สุด เพื่อเป็นค่า signature file ที่สมบูรณ์ที่สุดเท่าที่จะเป็นได้ แต่ในทางความเป็นจริง มีความเป็นไปได้เช่นกันที่ค่าการสะท้อนแสงของกิจกรรมอื่น ๆ ในพื้นที่ที่กว้างใหญ่ที่ผู้วิเคราะห์ไม่สามารถกำหนดจุด training area ครอบคลุมถึง จะมีการปะปน หรือมีค่าใกล้เคียงกับค่า training area ที่ได้เลือกให้สำหรับการใช้

ที่ดินแต่ละประเภท จำนวน training area และการรู้จักลักษณะกิจกรรมทางการเกษตรและการใช้ประโยชน์ที่ดิน จากภาคสนามและจากข้อมูลอื่น ๆ ของพื้นที่สิ่งมีความสำคัญอย่างยิ่งสำหรับวิธีการนี้ ซึ่งจะเห็นได้ว่ายังขาด พื้นที่มีความใหญ่มากขึ้นเท่าใด ความยากลำบากในการกำหนด training area เพื่อการสร้าง signature file ก็จะ ยังยากขึ้นตามลำดับ สำหรับการจำแนกรายละเอียดแบบไม่ควบคุม ในทางปฏิบัติไม่มีการเลือก training area เพื่อการสร้าง signature file ของแต่ละประเภทการใช้ที่ดิน ภาระแบ่งจำแนกประเภทการใช้ที่ดินด้วยวิธีแบบ-ไม่ควบคุมนี้ใช้ค่าสถิติของข้อมูลที่เป็นค่าการสะท้อนแสงของลักษณะการใช้ประโยชน์ที่ดินแต่ละประเภทเป็นตัว-กำหนดชั้นของประเภทข้อมูล และข้อมูลภาคสนามหรือข้อมูลเชิงพื้นที่อื่น ๆ เป็นตัวช่วยระบุชนิดของการใช้ ประโยชน์ที่ดิน ซึ่งสามารถแบ่งให้ละเอียดได้มากที่ค่าข้อมูลจะจำแนกได้ การจำแนกด้วยวิธีนี้ลักษณะค่าการ-สะท้อนแสงของการใช้ประโยชน์ที่ดินจึงเป็นตัวกำหนดชั้นของข้อมูลเอง โดยค่าลักษณะการสะท้อนแสงของ กิจกรรมแต่ละอย่างจะถูกแบ่งออกเป็นชั้น ๆ เป็นประเภทของข้อมูลที่จำแนกได้อย่างชัดเจน อีกทั้งยังสามารถทำการแยกชนิดข้อมูลที่ผู้วิเคราะห์ไม่ต้องการออกจากจำแนกได้

อย่างไรก็ตาม ความถูกต้องของห้องสมอวิธี มีส่วนเกี่ยวข้องกับขนาดพื้นที่ที่ทำการจำแนก จำนวนชั้นประเภทของข้อมูลที่ต้องการจำแนก และความพร้อมในการปฏิบัติงานของผู้วิเคราะห์ กล่าวคือ หากเป็นพื้นที่ขนาดเล็ก มีความแอปปวนและความซับซ้อนทางข้อมูลน้อย ผู้วิเคราะห์สามารถเก็บข้อมูล training area ได้อย่างละเอียดถี่ถ้วน การจำแนกแบบควบคุมจะให้ค่าความถูกต้องของข้อมูลที่ถูกจำแนกได้ดีกว่า ในขณะที่หากเป็นพื้นที่ขนาดใหญ่ ผู้วิเคราะห์ไม่สามารถที่จะสำรวจและหา training area ได้อย่างครอบคลุมทั่วทุกพื้นที่ การจำแนกแบบไม่ควบคุมน่าจะเหมาะสมและให้ค่าความถูกต้องในการจำแนกรายละเอียดข้อมูลได้ดีกว่า และเนื่องจาก พื้นที่ในกรณีศึกษานี้มีขนาดพื้นที่ที่ใหญ่ ด้วยเหตุผลดังกล่าวนี้ ค่าความถูกต้องของการจำแนกแบบไม่ควบคุมจึง ให้ค่าที่ดีกว่าการจำแนกแบบควบคุม

กรณีระหว่างอำเภอท่อง จังหวัดสุพรรณบุรี

ผลการจำแนกพื้นที่ป่าถูกต้องของระหว่างอำเภอท่อง จังหวัดสุพรรณบุรี ให้ผลการจำแนกด้วยวิธีแบบควบคุม และ แบบไม่ควบคุมที่ได้ผลค่อนข้างดี เมื่อจากพื้นที่เกษตรกรรมในระหว่างมีรูปแบบและความต่อเนื่องที่ชัดเจน ทำให้ ค่าลักษณะการสะท้อนแสงของข้อมูลมีความรับข้อมูลน้อยกว่าค่าข้อมูลของระหว่างอำเภอท่อง

การประเมินค่าความถูกต้องของการจำแนกรายละเอียด ของระหว่างอำเภอท่อง จังหวัดสุพรรณบุรี พบว่า มีค่าความถูกต้องที่ค่อนข้างสูงและอยู่ในระดับใกล้เคียงกันมาก คือมีค่าตัวชี้วัดอยู่ในช่วงร้อยละ 82-87 ของทั้ง สิ่งที่จำแนก แปลภาพดาวเทียม ในขณะที่ค่า KHAT รวมที่ค่านวนได้มีค่าอยู่ในช่วงร้อยละ 77-84 ซึ่งเป็นค่าความ-ถูกต้องในระดับที่ค่อนข้างดี สำหรับการแปลภาพดาวเทียมของเดือนเมษายน 2538 ด้วยวิธีการแบบควบคุมค่อน-ข้างคลาดเคลื่อนเล็กน้อย อย่างไรก็ตามจากการเปรียบเทียบค่าตัวชี้วัดพื้นที่ชี้อุบัติค่า Kappa statistics ของการประเมินค่าความถูกต้องแล้ว ชี้ให้เห็นว่าในพื้นที่บริเวณศึกษา 2 การใช้ข้อมูลภาพเดือน พฤษภาคม และทำการจำแนกรายละเอียดแบบควบคุมจะให้ผลการจำแนกที่ถูกต้องมากที่สุด

การแปลภาพพื้นาทีเพื่อผลิตแผนที่ปูกรถยนต์เชิงตัวเลขมีประโยชน์สองส่วน ส่วนแรกเป็นการพัฒนาวิธีการที่เหมาะสมในทางปฏิบัติเพื่อการแปลงข้อมูลที่ได้จากดาวเทียมเพื่อแสดงตำแหน่งที่แท้จริงของพื้นที่การปูกรถยนต์ วิธีการที่ได้จากการกิจกรรมการวิจัยนี้จะทำให้ผู้ปฏิบัติงานในส่วนราชการและส่วนเอกชนสามารถผลิตและประเมินพื้นที่การปูกรถยนต์ได้ใกล้เคียงกับพื้นที่ผลิตจริงมากขึ้นกว่าเดิม ข้อมูลที่ได้จากการเที่ยมมีปริมาณมาก และมีข้อมูลใหม่ทุก 16 วันตามรอบของดาวเทียมที่มีกำหนดผ่านพื้นที่ประเทศไทย ประโยชน์นี้ในส่วนที่สองได้แก่ ความสามารถในการนำแผนที่การปูกรถยนต์ที่ได้จากการแปลงข้อมูลดาวเทียมไปเชื่อมโยงเข้ากับระบบสนับสนุนการตัดสินใจเพื่อการผลิตข้อมูล ThaiSiS 1.0 ซึ่งเป็นโปรแกรมคอมพิวเตอร์ที่เชื่อมให้ผู้ใช้งานสามารถเชื่อมข้อมูลเชิงพื้นที่ทุกด้านในระบบ รวมทั้งแบบจำลองการเจริญเติบโตของข้อมูล ThaiCane 1.0 เป็นระบบที่ผู้ใช้งานสามารถประเมินการผลผลิตอ้อยในพื้นที่ขนาดใหญ่ได้ ในกรณีศึกษาที่คณะผู้วิจัยได้เลือกทำการศึกษานี้สามารถคาดการณ์ผลผลิตข้อมูลเชิงพื้นที่ขนาด 27×27 ตารางกิโลเมตร ในทางปฏิบัติการผลิตแผนที่การปูกรถยนต์ในระดับขาว-ดำมีขนาดเดียวกับพื้นที่ที่ผู้วิจัยเลือกทำการศึกษาเป็นอย่างมาก ในระดับใบอนุญาตอาชญากรรมความต้องการแผนที่การปูกรถยนต์ที่มีขนาดใหญ่กว่าพื้นที่ตัวอย่างมากและในทางปฏิบัติแล้ววิธีการที่ผู้วิจัยได้พัฒนาขึ้นนี้สามารถขยายได้ตามความต้องการของผู้ใช้งาน แต่อาจจะต้องการขนาดข้อมูลดาวเทียมใหญ่ขึ้นและต้องการเครื่องคอมพิวเตอร์ขนาดใหญ่ขึ้นเพื่อความรวดเร็วในการวิเคราะห์ข้อมูล

การเตรียมข้อมูลเชิงพื้นที่บนเครื่องคอมพิวเตอร์แบบ PC

การแปลภาพถ่ายดาวเทียม (image processing) เป็นขั้นตอนหนึ่งของการเตรียมข้อมูลที่มีผลลัพธ์ที่สำคัญต่อการประเมินพื้นที่การผลิตอ้อยโดยใช้เทคโนโลยีสารสนเทศนั่นคือ แผนที่การปูกรถยนต์เชิงตัวเลข (digital sugarcane map)

ตั้งแต่เริ่มโครงการวิจัยนี้ คณะผู้วิจัยได้ดำเนินการแปลภาพถ่ายจากดาวเทียมโดยใช้เครื่องคอมพิวเตอร์ในระดับ workstation ผลิตโดยบริษัท SUN เป็นเครื่องคอมพิวเตอร์ระดับกลาง มีระบบจัดการเครื่องแบบ UNIX และใช้โปรแกรมแปลภาพพื้นาที ERDAS

ในระยะ 5 ปี ที่ผ่านมาการพัฒนาเครื่องคอมพิวเตอร์แบบ PC มีอัตราสูงมาก และมีเทคโนโลยีด้าน hardware ออกมาหลายรุ่นที่มีความสามารถประมวลผลข้อมูลตัวเลขในระดับสูง รวมทั้งมีโปรแกรมคอมพิวเตอร์ซึ่งผู้ใช้งานเครื่องคอมพิวเตอร์แบบ PC สามารถใช้แปลงข้อมูลจากดาวเทียมได้ (ตารางที่ 93)

การขยายผลการศึกษา

หมายถึงการวิจัยเพื่อศึกษาโอกาสและความเป็นไปได้เพื่อใช้วิธีการจำแนกข้อมูลดาวเทียมของพื้นที่ของพื้นที่ที่ใช้ในการจำแนกข้อมูลหลายระหว่างที่ครอบคลุมพื้นที่ระดับจังหวัดและเขตการผลิตอ้อย การศึกษาลักษณะคลื่นแสงของข้อมูลภาพจากดาวเทียมเพื่อทำแผนที่แสดงพื้นที่การปูกรถยนต์ที่ผ่านมาเนื่องจากการพัฒนา ได้ใช้กรณีศึกษา

ตารางที่ 93: ข้อเปรียบเทียบด้าน hardware software และ การฝึกอบรม ของเครื่องคอมพิวเตอร์แบบ PC และ SUN

| ระบบ | PC | SUN workstation |
|------------------------|---|---|
| Hardware: | | |
| ● operating system | MS-DOS | Solaris 2.3 |
| ● hard disk space | 10 MB | 250 MB |
| ● swap space | | 90 MB |
| ● memory on main board | at least 8 MB | 32 MB (64 MB when using a 24-bit display) |
| ● window manager | Windows 3.1 and 95 | Open Windows 3.2 |
| Software: | | |
| ● ชื่อ | IDRISI 1.0 for Windows | ERDAS 8.2 |
| ● ราคารวม | 80,000 บาท | 1,200,000 บาท |
| ● ประสิทธิภาพ | มีคำสั่งและทางเลือกในการปฏิบัติงานพอสมควรเหมาะสมต่องานที่ต้องการรายละเอียดในการจำแนกภาพถ่ายในระดับการจำแนกปานกลาง | มีคำสั่งและทางเลือกในการปฏิบัติงานมากกว่า เหมาะต่องานที่ต้องการรายละเอียดในการจำแนกภาพถ่ายในระดับการจำแนกสูงถึงสูงมาก |
| การฝึกอบรม: | | |
| SUN | ใช้อุปกรณ์ งบประมาณและระยะเวลาในการฝึกอบรมน้อยกว่าเครื่อง PC | ใช้อุปกรณ์ งบประมาณและระยะเวลาในการฝึกอบรมมากกว่าเครื่อง PC |

เป็นเฉพาะวงตัวอย่าง ที่มีขนาดพื้นที่ sub-fullscene ของเทปข้อมูลภาพดาวเทียม ซึ่งเท่ากับขนาด 1 ระหว่างของแผนที่สภาพภูมิประเทศ มาตราส่วน 1 : 50,000 ของกรมแผนที่ทหาร (27x27 ตร.กม.) ซึ่งลักษณะคลื่นแสงของข้อมูลการให้ประโยชน์ที่ din มีการผสานผลลัพธ์ และมีค่าเฉพาะภายในข้อมูลของระหว่างนั้น ๆ โดยการ พทอ. ได้คาดหวังว่างานจำแนกข้อมูลพื้นที่การปลูกอ้อยที่ควรจะได้ทดลองศึกษา คือ

- หากทำการจำแนกข้อมูลในพื้นที่ระดับจังหวัด หรือภูมิภาคที่ขนาดมากกว่า 1 path การគิจกรรมของดาวเทียม โดยใช้ค่าของ signature file ที่เกิดจากพื้นที่ตัวอย่าง (training area) ภายใน 1 ระหว่าง หรือ 1 path จะสามารถกระทำได้หรือไม่

- ชี้ถ้าสามารถกระทำได้ ก็จะเป็นประโยชน์ต่องานจำแนกพื้นที่การปลูกอ้อยเป็นอย่างมาก เนื่องจาก จะเป็นการประยุกต์เวลา และกำลังในการหาพื้นที่และสร้าง signature file ข้อมูลสำหรับพื้นที่ใหญ่ ๆ ดังกล่าว แต่อย่างไรก็ตาม หากไม่สามารถกระทำได้สำเร็จ กรรมวิธีข้อมูลด้วยเทคนิคต่าง ๆ ก็จะยัง สามารถช่วยงานจำแนกข้อมูลในพื้นที่ขนาดใหญ่ได้ แต่ประเด็นปัญหาที่สำคัญน่าจะอยู่ที่ประสิทธิภาพของ hardware และการจัดการข้อมูลจำนวนมากจะมีวิธีการอย่างไรที่จะสามารถดำเนินการรวมวิธี ข้อมูลเหล่านั้นให้ได้แผนที่แสดงพื้นที่การปลูกอ้อยได้ทันเวลาตามที่ต้องการ

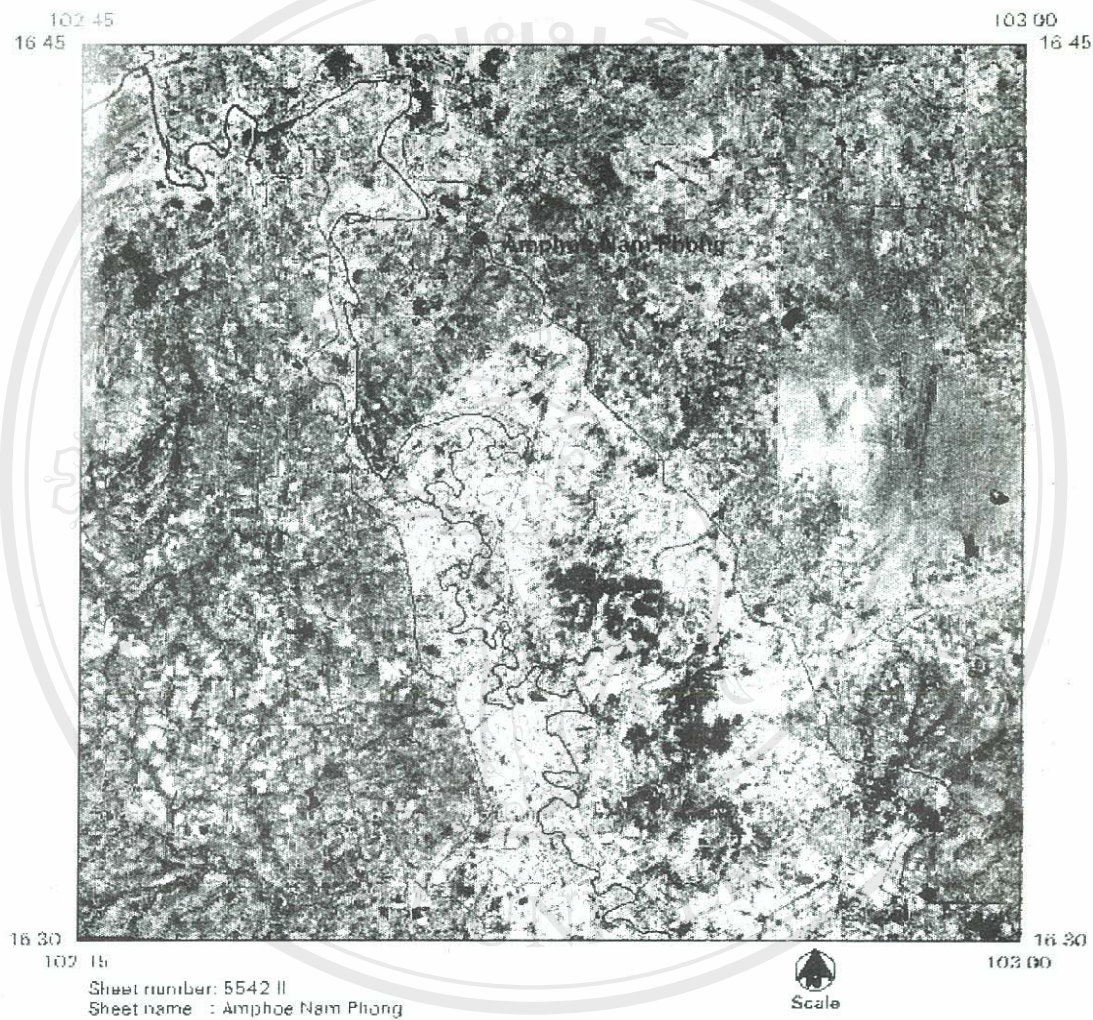
การจำแนกพื้นที่ปลูกอ้อยโดยใช้ข้อมูลดาวเทียมในช่วงคลื่น Microwave

ปัญหาที่สำคัญอีกประการหนึ่งคือ ข้อมูลภาพจากดาวเทียมที่สามารถแสดงพื้นที่ปลูกอ้อยที่สมบูรณ์จริง ๆ จะอยู่ ในช่วงป้ายๆ บน ชิ้นข้อมูลพื้นที่ส่วนใหญ่มีปัญหาเรื่องข้อมูลเมฆบดบังรายละเอียด และข้อมูลปกติในช่วงคลื่น visible และ infrared ของดาวเทียม LANDSAT และดาวเทียมอื่น ๆ ในช่วงคลื่นเดียวกันไม่สามารถระบุผ่านได้

ข้อมูลระยะไกลในช่วงคลื่น microwave ถูกเก็บบันทึกด้วยแบบพลังงานคลื่นแม่เหล็กไฟฟ้าที่มีความยาว ช่วงคลื่นประมาณ 1 มิลลิเมตร ถึง 1 เมตร ซึ่งมีความยาวกว่าแบบช่วงคลื่นที่สั้นที่สุดถึง 2,500,000 เท่า ระบบบันทึกข้อมูลในช่วงคลื่นนี้เรียกว่า RADAR ซึ่งถือเป็นแบบ active remote sensing คือสามารถผลิตสัญญาณขึ้น ได้เองโดยส่งสัญญาณจากพานะบันทึกข้อมูลไปยังพื้นที่เป้าหมาย จากนั้นสัญญาณจะสะท้อนกลับสู่ระบบ บันทึกข้อมูลนั้นอีกรั้งหนึ่ง ระบบ active remote sensing จึงสามารถบันทึกข้อมูลได้ทั้งกลางวันและกลางคืน คุณสมบัติของระบบบันทึกข้อมูลแบบ RADAR ในช่วงคลื่น microwave คือ (Lillesand and Kiefer, 1994a&b)

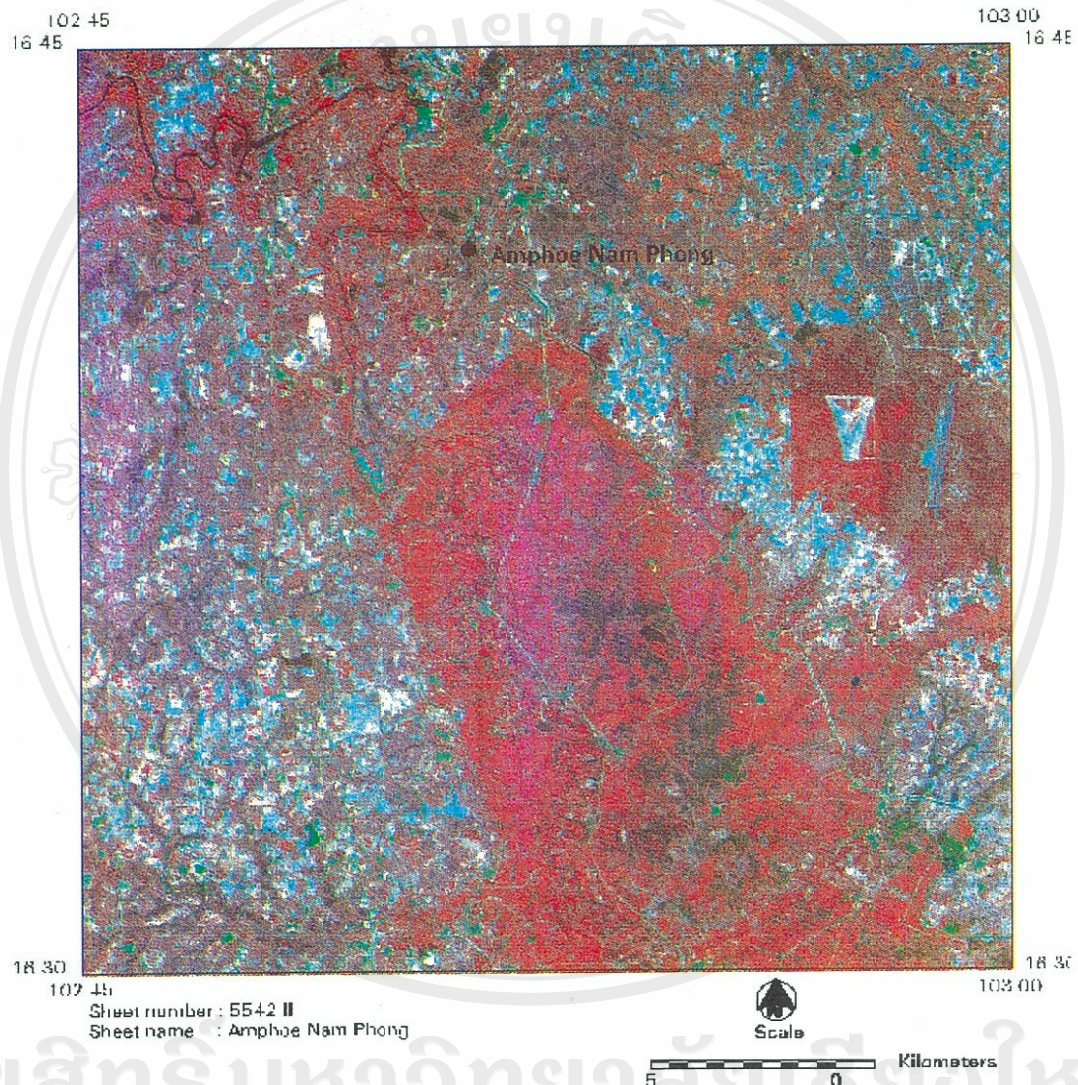
- สามารถผ่านห gelebur ทางอากาศได้เกือบทุกสภาพ เช่น เมฆ หมอก หมอกಡด หิมะ ฝน และควัน เป็นต้น
- ลักษณะการสะท้อนช่วงคลื่น microwave ของข้อมูลบางชนิดบนพื้นโลกจะแตกต่างกับการสะท้อนใน ช่วงคลื่น visible เช่นลักษณะพื้นผิวที่ปรากฏในช่วงคลื่น visible เป็นพื้นผิวที่ขรุขระอาจปรากฏใน ช่วงคลื่น microwave เป็นพื้นผิวที่ราบรื่นได้ ทั้งนี้เกิดจากข้อมูลที่เป็นการสะท้อนแสงหรือผังสี พลังงานความร้อนในช่วงคลื่น microwave นี้ ทำให้เห็นลักษณะพื้นผิวที่ต่างจากช่วงคลื่น visible โดย ลักษณะการส่งผ่านสัญญาณข้อมูล RADAR เป็นแบบช่วงคลื่น (wavelength) และแบบส่งโดยตัวรับ (polarization) ข้อมูลระยะไกลที่ประยุกต์ใช้ช่วงคลื่น microwave นี้ สามารถแบ่งออกได้ 2 ลักษณะ ตามประเภทภายนอกในกระบวนการเก็บข้อมูล คือข้อมูล RADAR ที่ได้จากการเครื่องบิน (airborne) และดาวเทียม (spaceborne) ในการเก็บบันทึกข้อมูล ช่วงระบบ SAR ทำงานโดยกำหนดช่วงคลื่นออกตั้งแต่ K-band ที่ความยาว 0.75-1.1 ซม. จนถึง P-band ที่ความยาว 30-100 ซม.

ภาพที่ 7 ข้อมูลภาพจากดาวเทียม LANDSAT ระบบ TM แผ่นด์ 4 ระหว่าง อำเภอคำน้ำพอง จังหวัดเชียงใหม่ แก่น
ปั้นทึกข้อมูลเมื่อ พ.ย. 2537



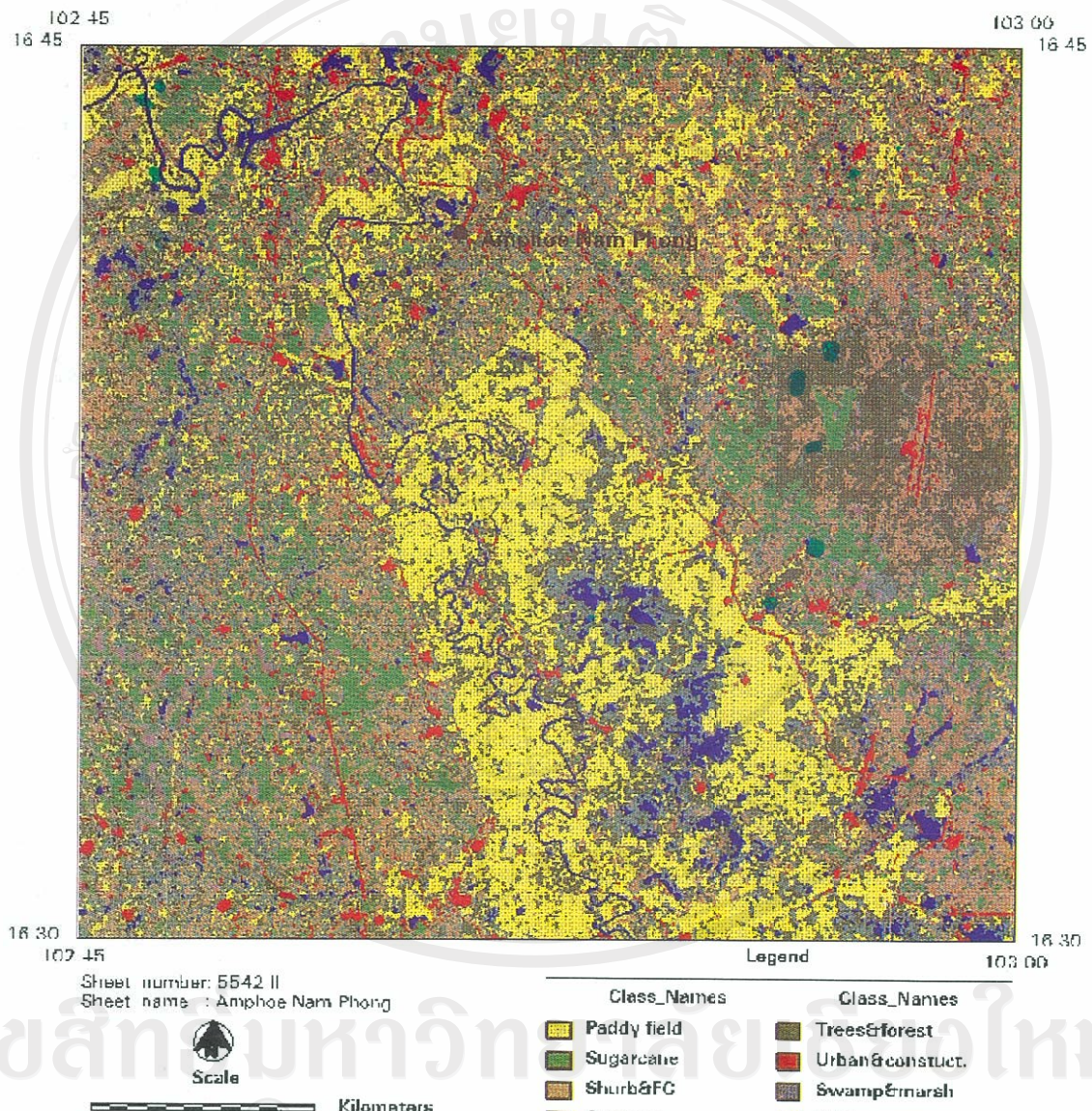
ลิขสิทธิ์มหาวิทยาลัยเชียงใหม่
Copyright © by Chiang Mai University
All rights reserved

ภาพที่ 8: ข้อมูลภาพสีผสม แบบ 5,4,3/RGB จากดาวเทียม LANDSAT ระบบ TM ระหว่าง อำเภอ น้ำพอง จังหวัดขอนแก่น บันทึกข้อมูลเมื่อ พ.ย. 2537



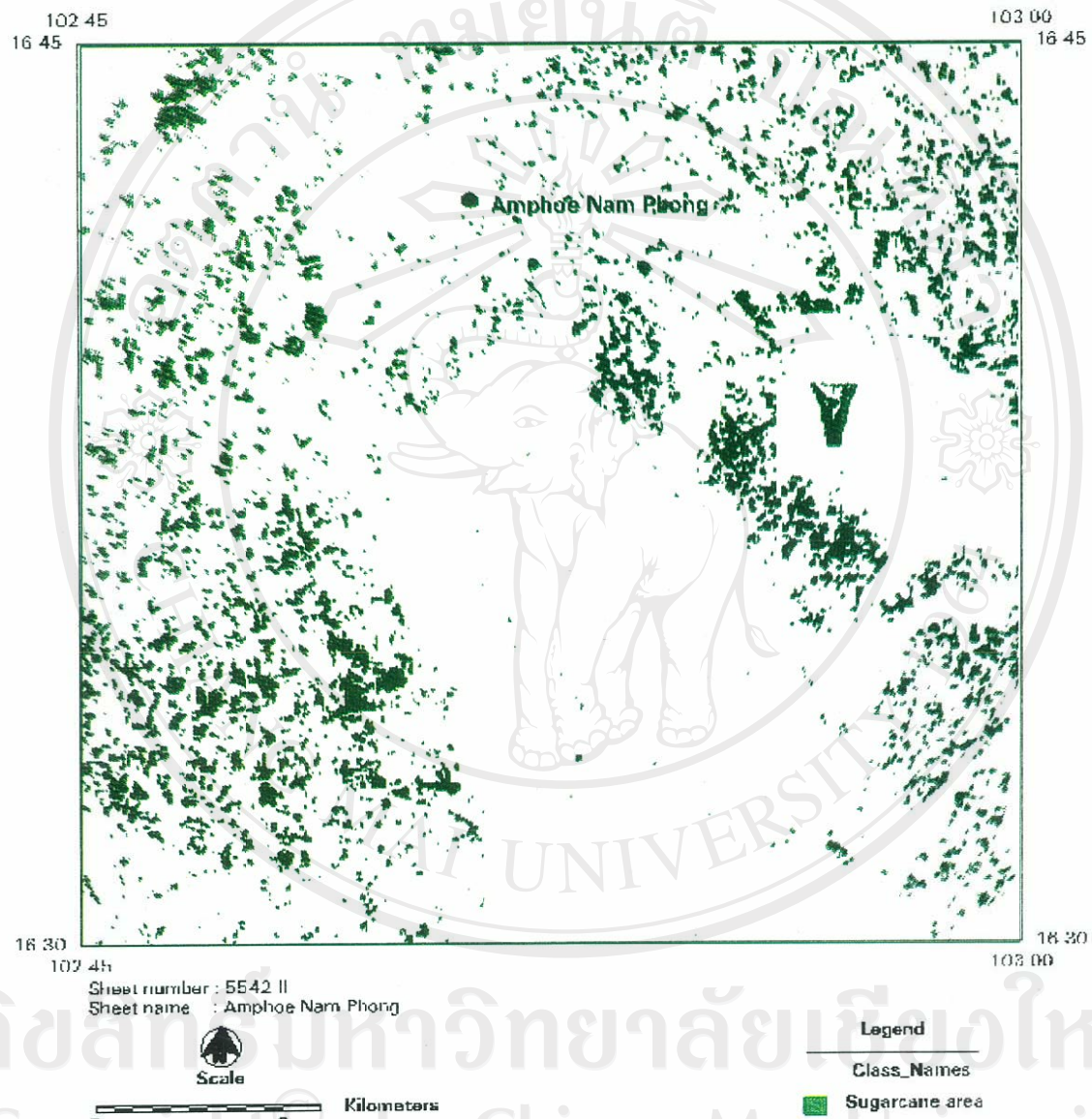
ลิขสิทธิ์มหาวิทยาลัยเชียงใหม่
Copyright © by Chiang Mai University
All rights reserved

ภาพที่ 9: การใช้ปาร์โซนที่ดินระหว่าง อำเภอคำน้ำพอง จังหวัดขอนแก่น จำแนกด้วยวิธีแบบไม่ควบคุม (unsupervised classification) ข้อมูล LANDSAT/TM บันทึกข้อมูลเมื่อ พ.ย. 2537



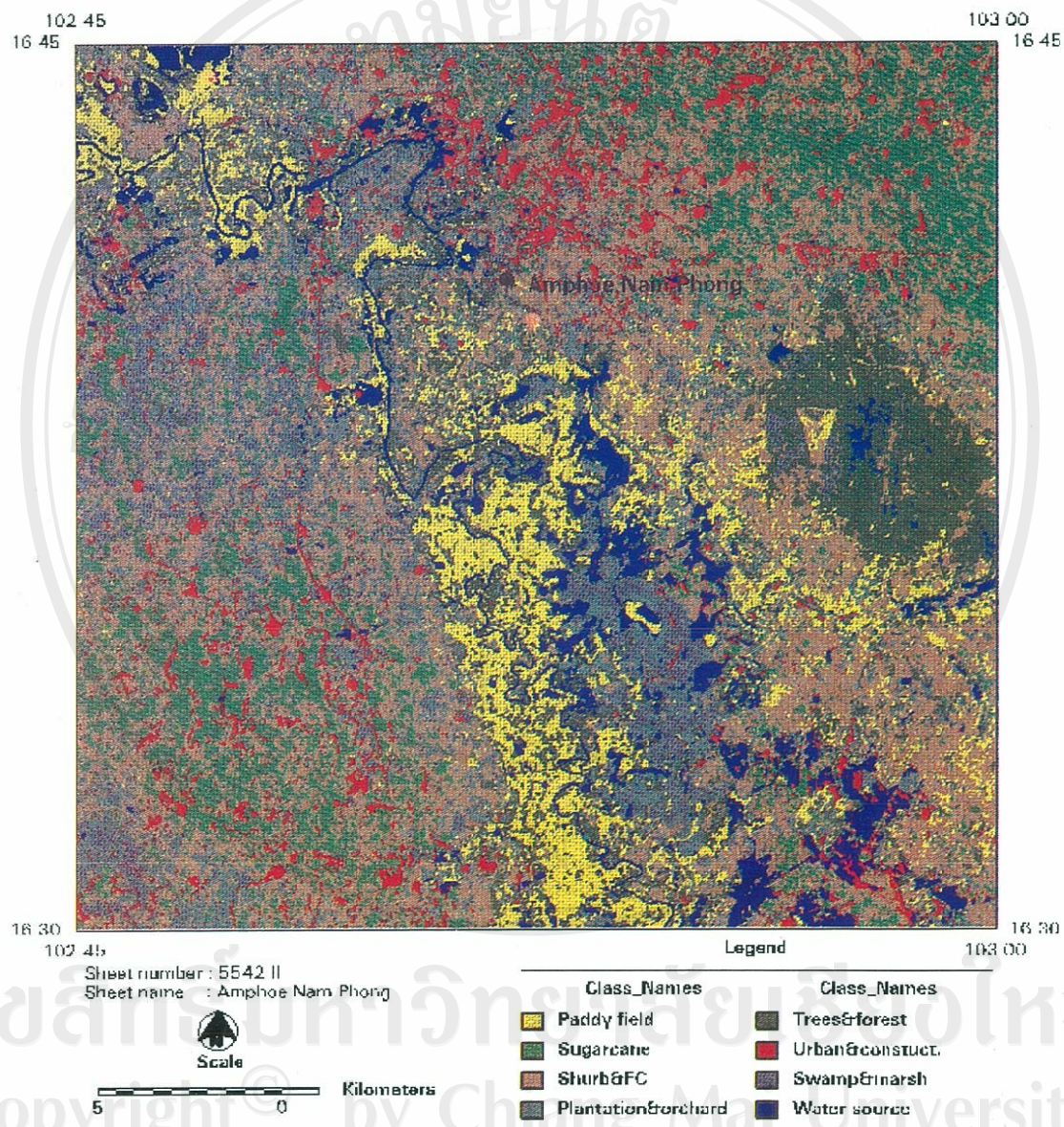
Copyright © by Chiang Mai University
All rights reserved.

ภาพที่ 10: พื้นที่ป่า กอ ข้อ อยระหว่าง อำเภอ น้ำพอง จังหวัดขอนแก่น จำแนกด้วยวิธีแบบไม่ควบคุม (unsupervised classification) ข้อมูล LANDSAT/TM บันทึกข้อมูลเมื่อ พ.ย. 2537



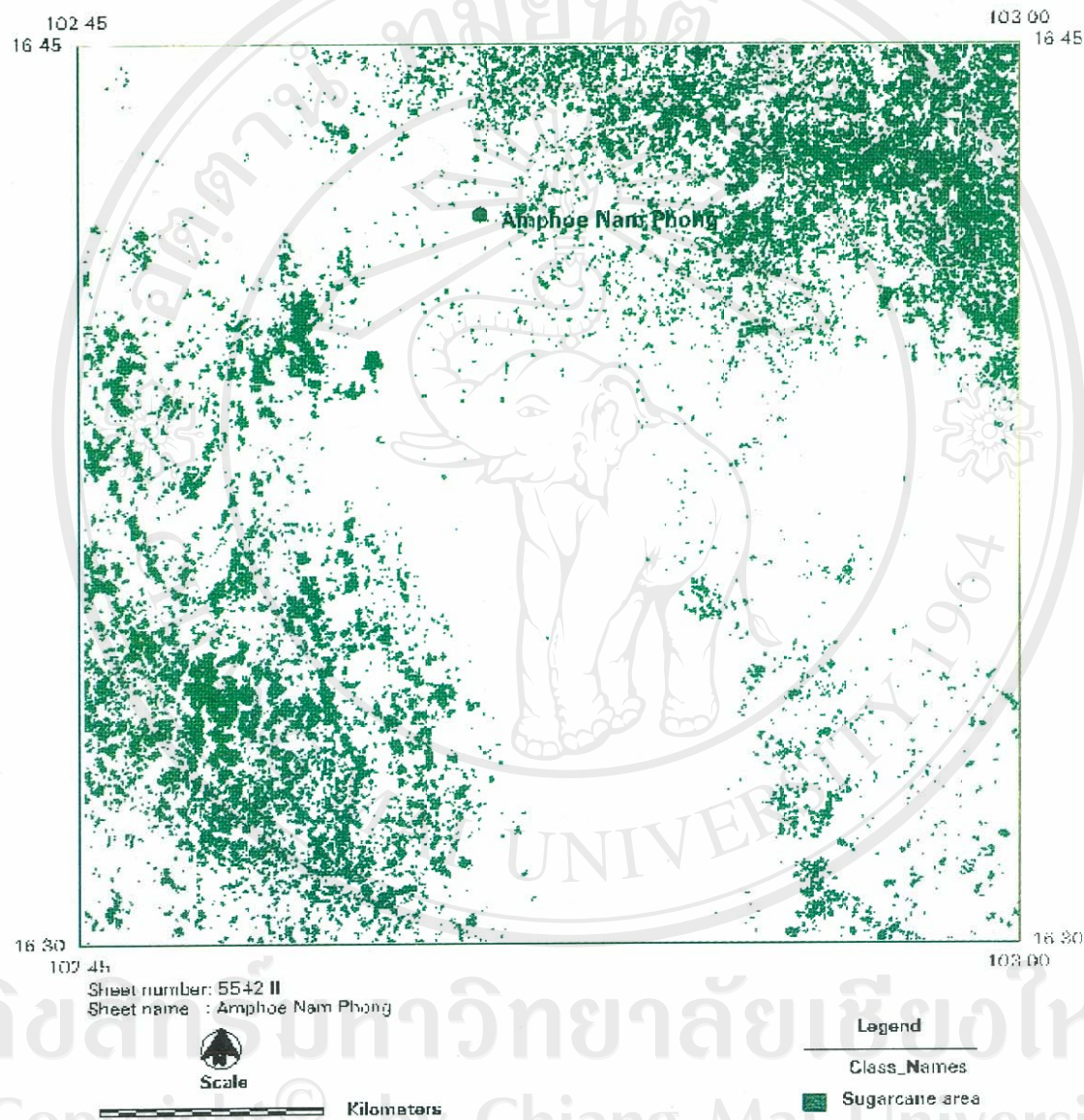
Copyright by Chiang Mai University
All rights reserved

ກາພທ 11: ກາຍໃຊ້ປະໂຍບນີ້ດິນຮວາງ ອໍາເກອນນ້ຳພອງ ຈັງຫວັດຂອນແກ່ນ ຈໍາແນກດ້ວຍວິທີແບບໄມ່ຄວບຄຸມ
(unsupervised classification) ຂໍ້ມູນ LANDSAT/TM ບັນທຶກຂໍ້ມູນເມື່ອ ພ.ຍ. 2538



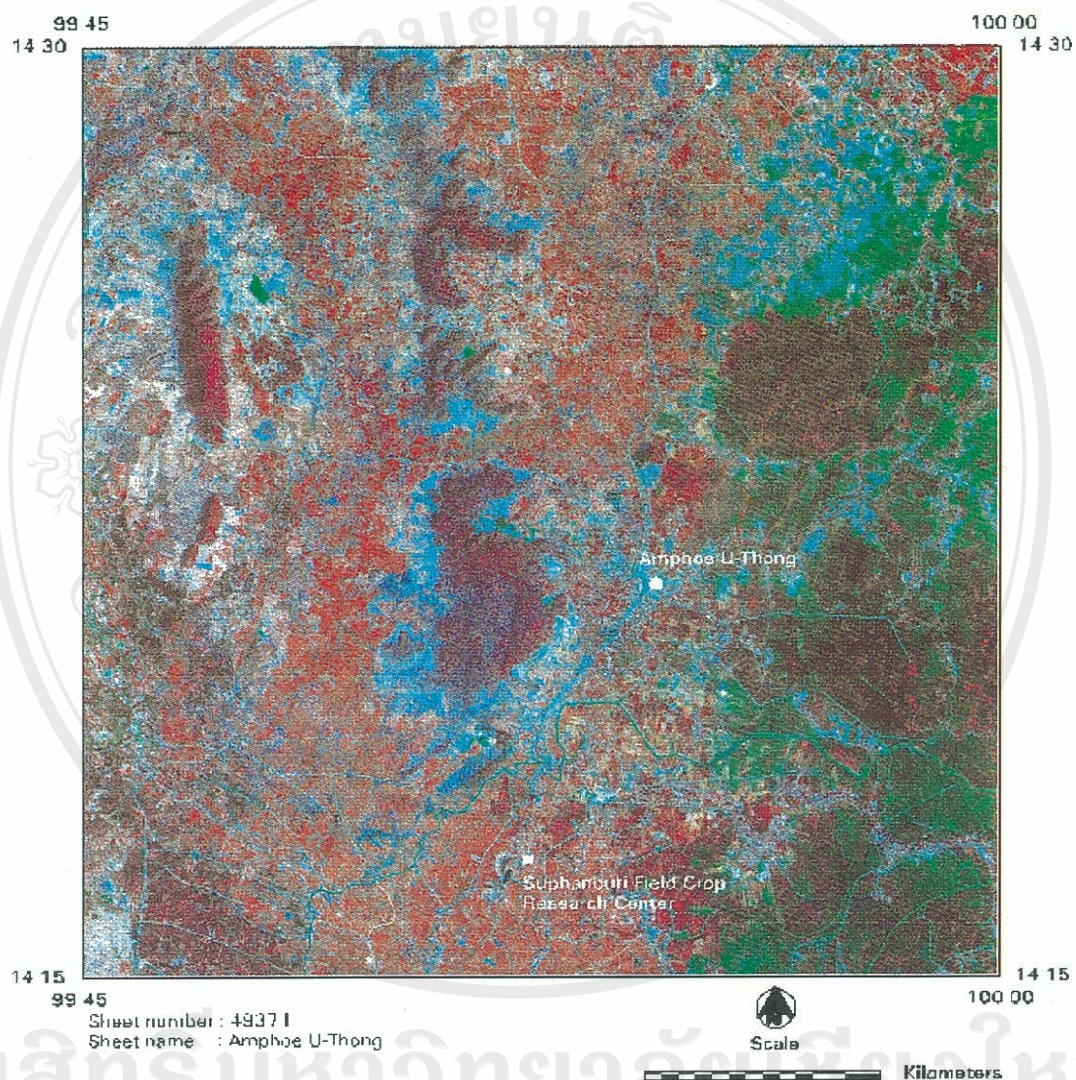
â€¢ ດ້ວຍສັນຕິພາບ ຖະໜາດ ທະນາຖາວອນ ຕະຫຼາມ ວຽງຈັນ
Copyright © by Chang Mai University
All rights reserved

ภาพที่ 12: พื้นที่ปลูกอ้อยระหว่าง อำเภอ้น้ำพอง จังหวัดขอนแก่น จำแนกด้วยวิธีแบบไม่ควบคุม (unsupervised classification) ข้อมูล LANDSAT/TM บันทึกข้อมูลเมื่อ เม.ย. 2538



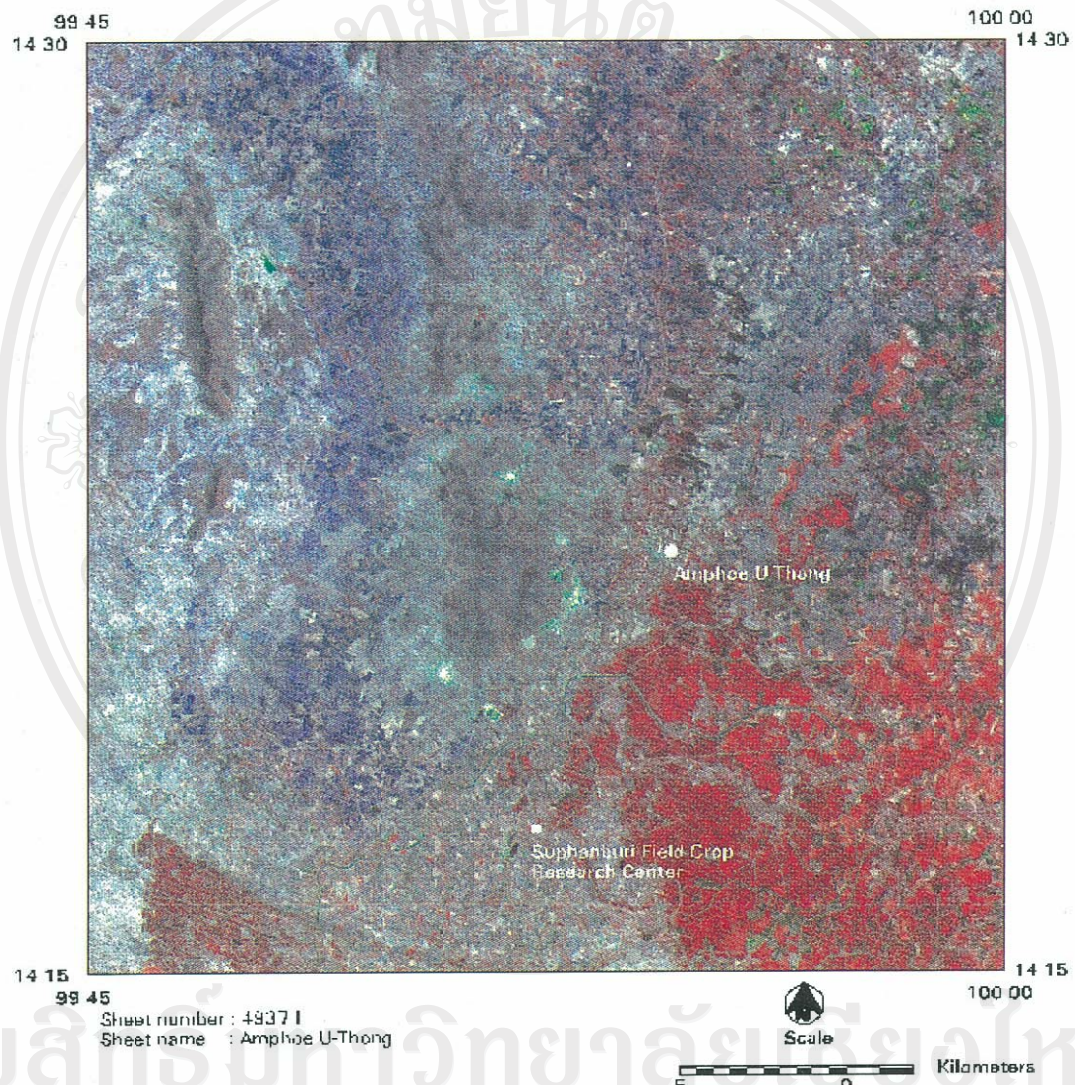
จัดทำโดย ภาควิชาจัลไดร์ฟ
Copyright © by Chiang Mai University
All rights reserved

ภาพที่ 13: ข้อมูลภาพสีผสม แบบ 4,3,6/RGB จากดาวเทียม LANDSAT ระบบ TM ระหว่าง อำเภอถู่หอง
จังหวัดสุพรรณบุรี บันทึกข้อมูลเมื่อ พ.ย. 2537



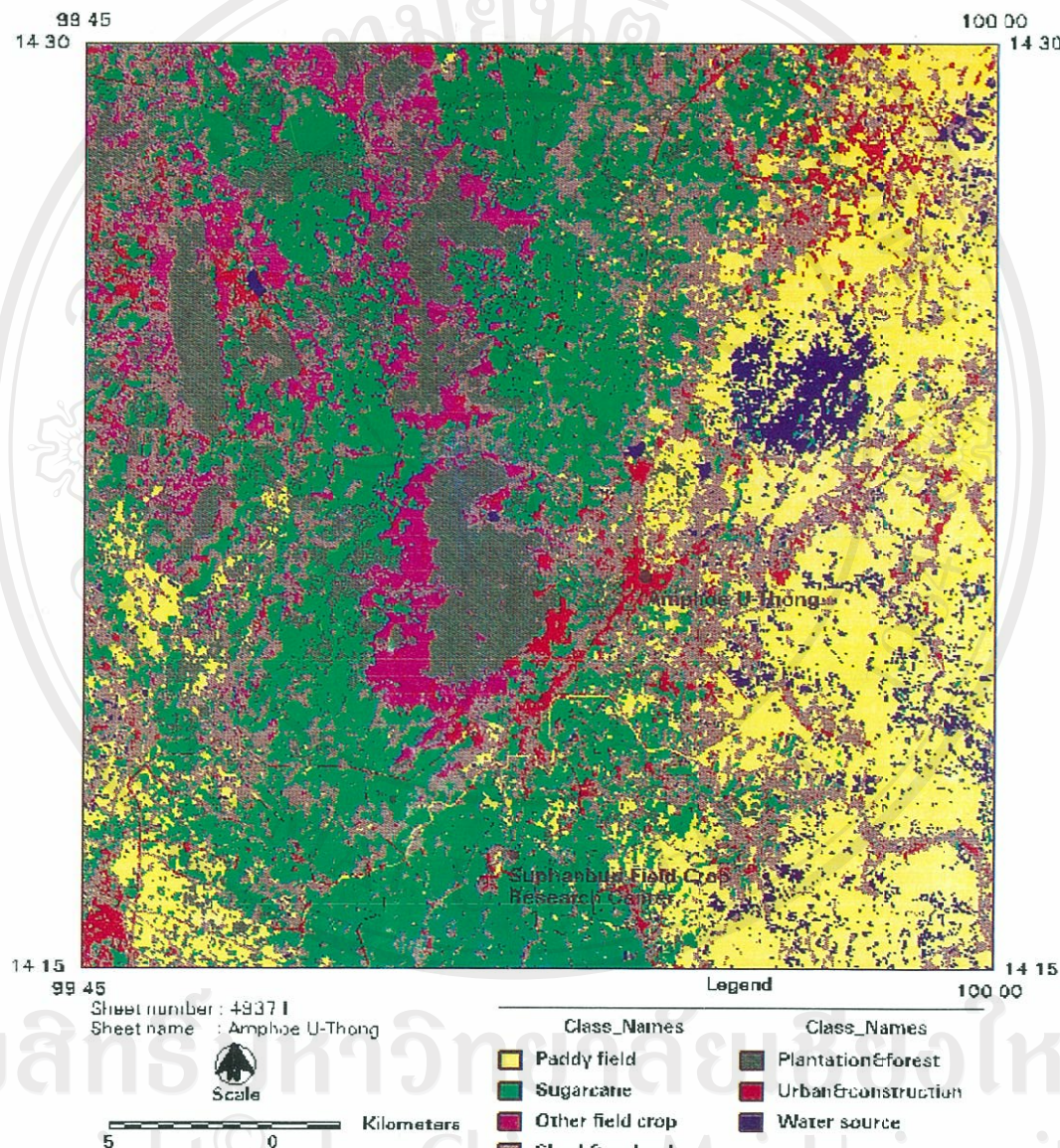
â€¢
Copyright© by Chiang Mai University
All rights reserved

ภาพที่ 14: ข้อมูลภาพสีผสม แบบ 4,3,6/RGB จากดาวเทียม LANDSAT ระบบ TM ระหว่าง อุ่นหอง จังหวัดสุพรรณบุรี บันทึกข้อมูลเมื่อ เม.ย. 2538



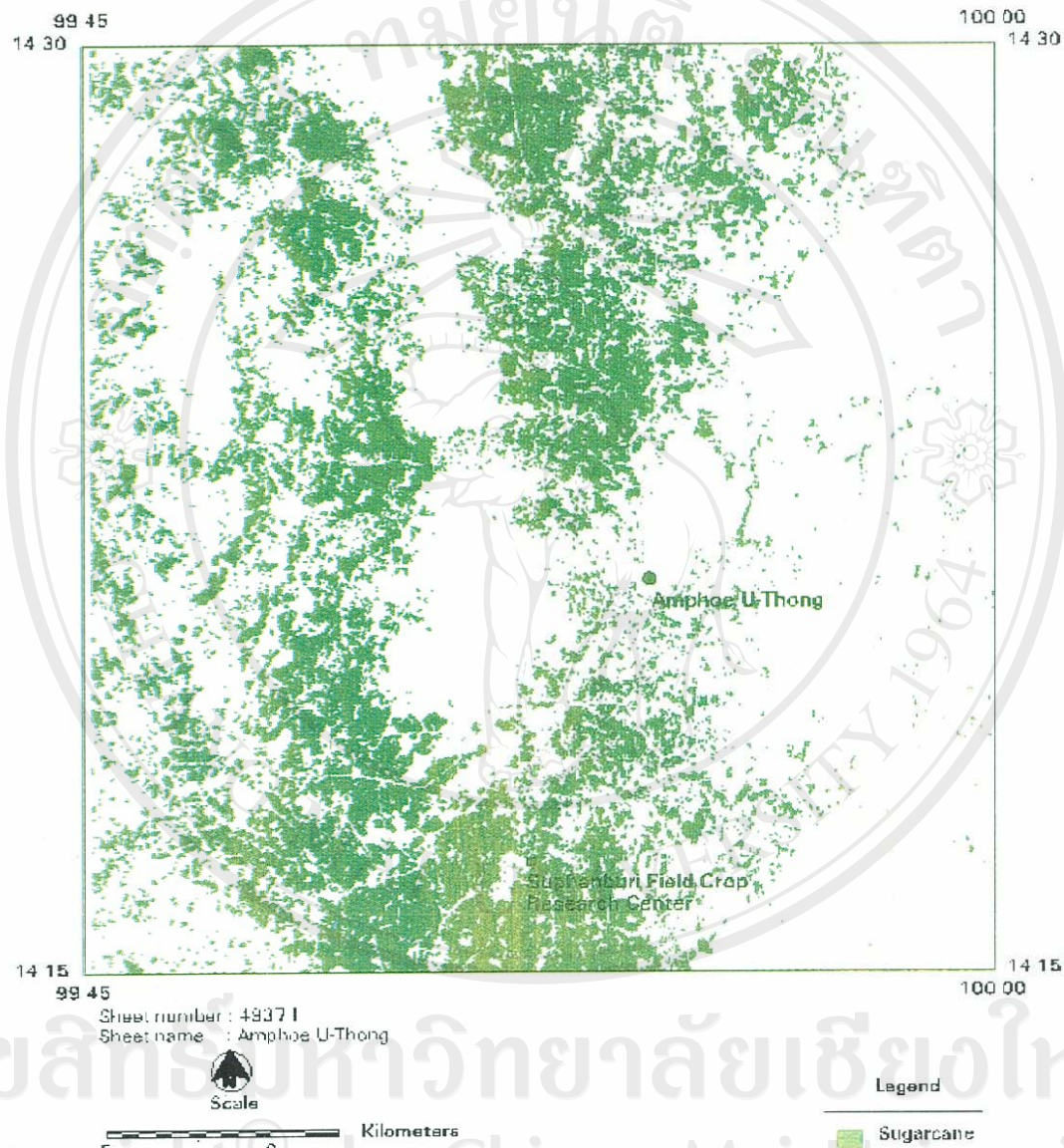
Copyright © by Chiang Mai University
All rights reserved

ภาพที่ 15: การใช้ประโยชน์ที่ดินระหว่าง อำเภออู่ทอง จังหวัดสุพรรณบุรี จำแนกด้วยวิธีแบบควบคุม (supervised classification) จากดาวเทียม LANDSAT ระบบ TM บันทึกข้อมูลเมื่อ พ.ย. 2537

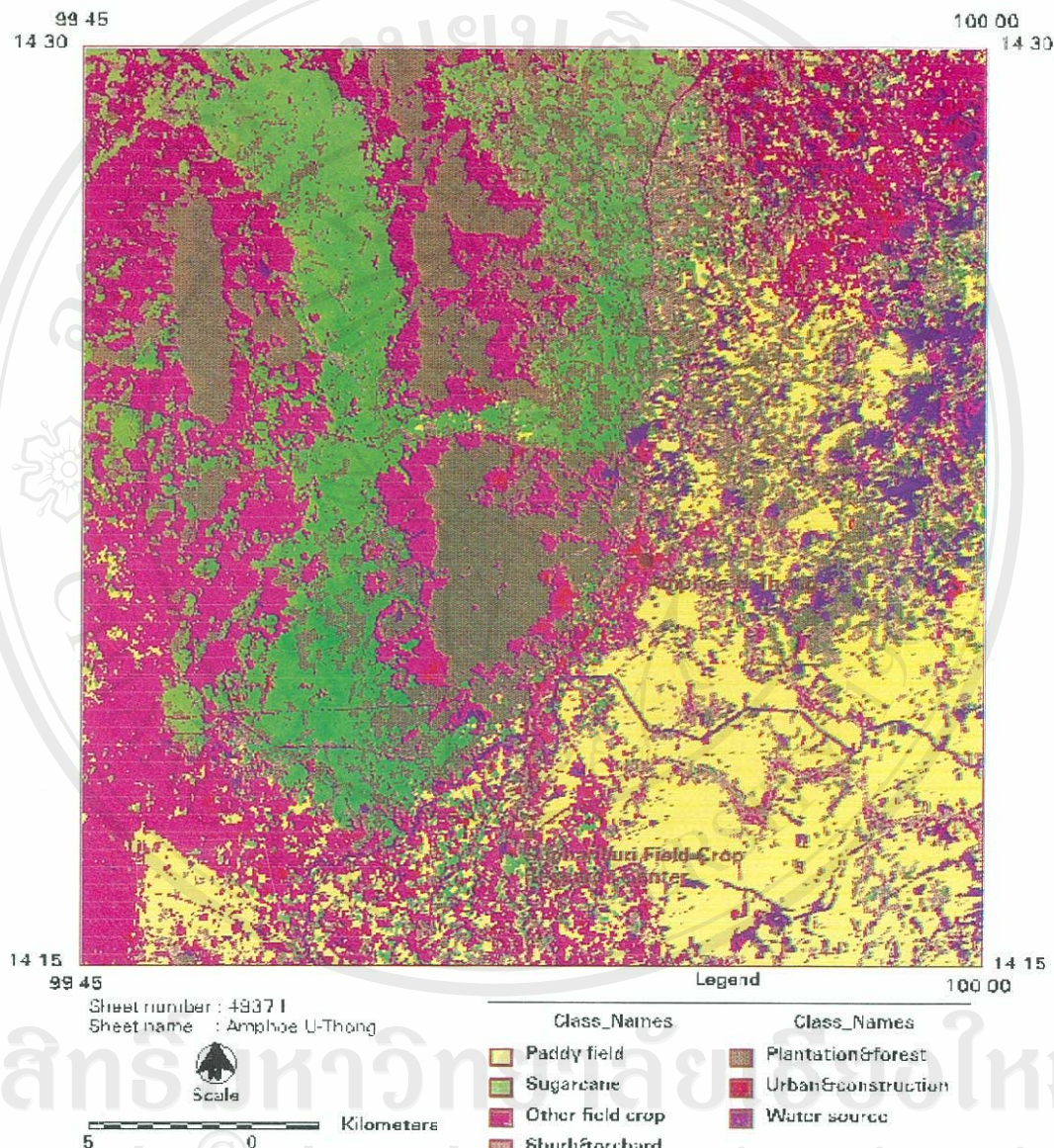


â€¢ ขอสงวนสิทธิ์ห้ามถ่ายทำและนำไปเผยแพร่
Copyright © by Chang Mai University
All rights reserved

ภาพที่ 16: พื้นที่ป่าลูกอ้อยะร่วง อำเภออุ่่ก่อง จังหวัดสุพรรณบุรี จำแนกด้วยวิธีแบบควบคุม (supervised classification) จากดาวเทียม LANDSAT ระบบ TM ปัจจุบันที่ก้ามุมเมื่อ พ.ย. 2537

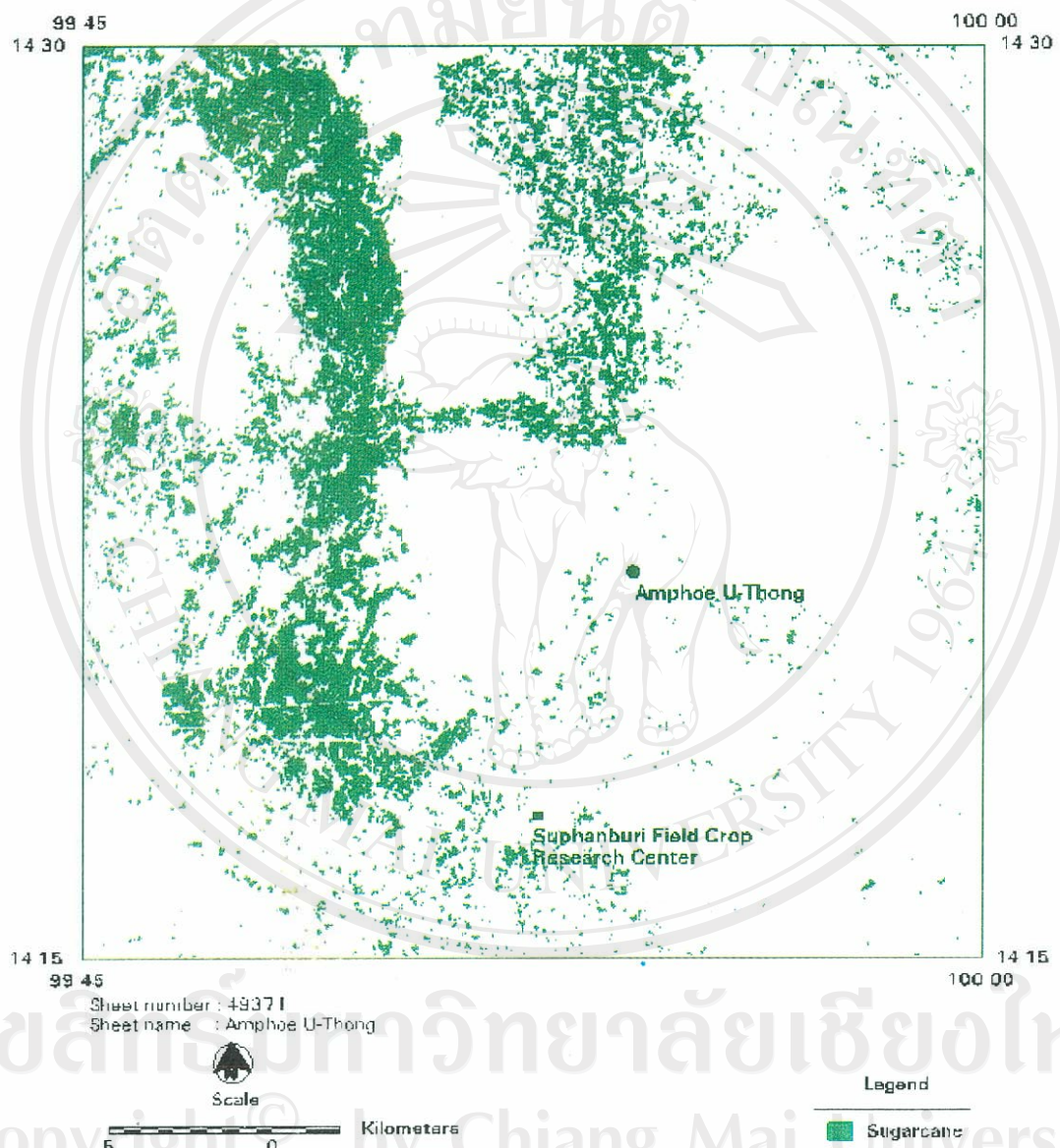


ภาพที่ 17: การใช้ปัจจัยที่ดินระหว่าง อำเภออู่ทอง จังหวัดสุพรรณบุรี จำแนกด้วยวิธีแบบควบคุม (supervised classification) จากดาวเทียม LANDSAT ระบบ TM บันทึกข้อมูลเมื่อ เม.ย. 2538



â€¢
Copyright © by Chiang Mai University
All rights reserved

ภาพที่ 18: พื้นที่ปลูกอ้อยระหว่าง อำเภออุ่น จังหวัดสุพรรณบุรี จำแนกด้วยวิธีแบบควบคุม (supervised classification) จากดาวเทียม LANDSAT ระบบ TM บันทึกข้อมูลเมื่อ เม.ย. 2538



ลิขสิทธิ์ของมหาวิทยาลัยเชียงใหม่
Copyright by Chiang Mai University
All rights reserved

โครงการ พทอ. คาดว่าหากมีการนำข้อมูลจากดาวเทียมในช่วงคลื่น microwave หรือที่เรียกโดยทั่วไปว่า ข้อมูล RADAR มาใช้ควบคู่กับข้อมูล TM ของดาวเทียม LANDSAT แล้วจะทำให้การจำแนกข้อมูลภาพจากดาวเทียมเพื่อการทำแผนที่แสดงพื้นที่ป่าอุดมสมบูรณ์และไม่ป่าอุดมสมบูรณ์ได้ดีขึ้น โดยจะไม่ต้องติดเงื่อนไขในการที่จะได้รับข้อมูลภาพในวันเวลาที่เหมาะสมอีกด้วย ซึ่งควรได้รับการศึกษาวิจัยเพิ่มเติมเพื่อให้เข้าใจเงื่อนไขและวิธีการปฏิบัติที่มีประสิทธิภาพโดยเฉพาะเพื่อการนำไปใช้งานจริง



ลิขสิทธิ์มหาวิทยาลัยเชียงใหม่
Copyright © by Chiang Mai University
All rights reserved

ส่วนที่ 2 การทำแผนที่ปลูกอ้อยโดยใช้ข้อมูลดาวเทียม

ระบบการผลิตอ้อยใน ตำบลโนนห่อน อำเภอเมือง จังหวัดชลบุรี

พินกร กลมสอดาด สุวิทย์ เลานศิริวงศ์ และ อรรถชัย จินตะเวช

ลิขสิทธิ์มหาวิทยาลัยเชียงใหม่
Copyright © by Chiang Mai University
All rights reserved

ความเข้าใจระบบการผลิตอ้อยของเกษตรกรเป็นสิ่งที่จำเป็นต่อการพัฒนา และ/หรือ การปรับปรุงประสิทธิภาพระบบการผลิต ความเข้าใจนี้อาจจะเป็นความเข้าใจเชิงบรรยายหรือเชิงปริมาณ ซึ่งสามารถชี้ปัจจัยเด่น ปัญหาและอุปสรรคในการผลิตรวมทั้งโอกาสของการปรับปรุงด้านต่าง ๆ เช่น ด้านปัจจัยภายนอก ชีวภาพ และ สังคมเศรษฐกิจ เป็นต้น ความเข้าใจที่ได้อาจจะชี้แนะนำองค์กรสำคัญของการแก้ปัญหานั้นจะดับต่าง ๆ ของระบบ การผลิต เช่น ระดับไนโตรเจน ระดับองค์กรเกษตรกร และระดับ โรงงานอ้อย เป็นต้น

จุดประสงค์ของการสำรวจอีกประการหนึ่งคือการสำรวจหัวข้อมูลพื้นที่ปลูกอ้อยจริงโดยใช้เครื่องตรวจวัด-พิกัด GPS เพื่อเป็นข้อมูลพื้นฐานในการเบรี่ยงเทียบกับผลการแปลสภาพถ่ายดาวเทียมหัวข้อมูลเดือนพฤษจิกายน 2537 และเดือนเมษายน 2538

วิธีการสำรวจ

ใช้วิธีการสัมภาษณ์เกษตรกรในตำบลในท่อนที่ผลิตอ้อยทุกราย โดยใช้แบบสอบถามประเภทคำน้ำเสียงปิดและการสัมภาษณ์แบบกึ่งโครงสร้าง semi-structured (สุกานันธ์ สุวิชร, 2528)

ผลการสำรวจ

ประเภทเกษตรกร

เกษตรกรผู้ปลูกอ้อยต้องได้รับอนุญาตตามระบบโควต้าจากโรงงานน้ำตาลในสังกัดจึงจะปลูกอ้อยได้ เจ้าหน้าที่ฝ่ายไร่ของโรงงานน้ำตาลเป็นผู้ดำเนินการตรวจสอบสภาพพื้นที่และกำหนดโควต้า ระบบการผลิตอ้อยในตำบล-ในนั้นท่อนมีการจัดการหลักด้วยระดับตามขนาดพื้นที่ปลูก การสำรวจเกษตรกรผลิตอ้อยจำนวน 24 ราย (ตารางที่ 94) สามารถแบ่งตามขนาดพื้นที่ปลูกได้เป็นสองกลุ่มคือ

1. เกษตรกรที่มีพื้นที่ปลูกอ้อยน้อยกว่า 100 ไร่
2. เกษตรกรที่มีพื้นที่ปลูกอ้อยมากกว่า 100 ไร่

เกษตรกรปลูกอ้อยส่วนใหญ่มีฐานะเป็นหัวหน้าครอบครัว มีอายุตั้งแต่ 35-62 ปี การศึกษาชั้นป्रograms ศึกษาปีที่ 4 ถึงมัธยมปลายปีที่ 5 และแรงงานในตัวรับเรื่องมีตั้งแต่ 1-5 คน (ตารางที่ 95) เงินทุนที่เกษตรกรใช้ในการผลิตอ้อยส่วนใหญ่เป็นเงินของตัวเอง และโรงงานน้ำตาล สำหรับเกษตรกรทั้งสองกลุ่มและมีเกษตรกรบางรายได้เงินทุนมาจากสหกรณ์ รถส. ญาติและเพื่อนบ้าน

ระบบการผลิตอ้อยของเกษตรกร

เกษตรกรปลูกอ้อยโดยใช้น้ำฝนเป็นหลัก และส่วนใหญ่ปลูกอ้อยข้ามแล้ง คือปลูกอ้อยระหว่างเดือนพฤษจิกายน-เดือนมกราคม เกษตรกรบางส่วนปลูกอ้อยต้นฝนคือปลูกอ้อยในระหว่างเดือนพฤษภาคมถึงเดือนมิถุนายน การ

ตารางที่ 94: ข้อมูลเบื้องต้นของเกษตรกรผู้ปลูกอ้อยในเขตตำบลโนนห่อน อำเภอเมือง จังหวัดชลบุรี ณ ปี พ.ศ. 2538

| รายชื่อเกษตรกร | ที่อยู่ | พ.ท.ปลูกอ้อย (ไร่) |
|----------------|--------------------|--------------------|
| กลุ่มที่ 1 | | |
| โนนห่อน 01 | 1 บ้านโนน | 80 |
| โนนห่อน 02 | 1 บ้านห่อน | 27 |
| โนนห่อน 03 | 2 บ้านห่อน | 21 |
| โนนห่อน 04 | 3 บ้านห่อน | 26 |
| โนนห่อน 05 | 4 บ้านห่อน | 69 |
| โนนห่อน 06 | 5 บ้านห่อน | 45 |
| โนนห่อน 07 | 6 บ้านห่อน | 25 |
| โนนห่อน 08 | 7 บ้านห่อน | 70 |
| โนนห่อน 09 | 1 บ้านหนองเพ็ญ | 60 |
| โนนห่อน 10 | 2 บ้านหนองเพ็ญ | 10 |
| โนนห่อน 11 | 3 บ้านหนองเพ็ญ | 26 |
| โนนห่อน 12 | 4 บ้านหนองเพ็ญ | 35 |
| โนนห่อน 13 | 5 บ้านหนองเพ็ญ | 19 |
| โนนห่อน 14 | 6 บ้านหนองเพ็ญ | 10 |
| โนนห่อน 15 | 7 บ้านหนองเพ็ญ | 15 |
| โนนห่อน 16 | 7 บ้านห่อน | 11 |
| กลุ่มที่ 2 | | |
| โนนห่อน 17 | 2 บ้านโนน | 110 |
| โนนห่อน 18 | 3 บ้านโนน | 100 |
| โนนห่อน 19 | 4 บ้านโนน | 100 |
| โนนห่อน 20 | 8 บ้านห่อน | 600 |
| โนนห่อน 21 | 9 บ้านห่อน | 200 |
| โนนห่อน 22 | 10 บ้านห่อน | 100 |
| โนนห่อน 23 | 1 บ้านหนองค้า | 300 |
| โนนห่อน 24 | 1 บ้าน 50 กิโลเมตร | 400 |
| โนนห่อน 25 | 11 บ้านห่อน | 250 |
| โนนห่อน 26 | 8 บ้านหนองเพ็ญ | 150 |

ตารางที่ 95: สภาพเศรษฐกิจและสังคมของเกษตรกรผู้ปลูกข้าวในเขตตำบลในท่อน อำเภอเมือง จังหวัด
ขอนแก่น 2538

| รายชื่อเกษตรกร | พื้น ที่ ปลูก ข้าว(ไร่) | ฐานะใน ครอบ ครัว | อายุ | การ- ศึกษา | แรงงานใน เรือน | | แหล่งเงิน | | | |
|----------------|----------------------------------|------------------------|------|---------------|-------------------|--------|-----------|--------|-----|------|
| | | | | | ครัว | ตัวเอง | โรงงาน | ธนาคาร | กส. | ญาติ |
| กลุ่มที่ 1 | | | | | | | | | | |
| ในนห่อน 01 | 80 | หัวหน้า | 50 | ป.4 | 4 | | / | / | / | |
| ในนห่อน 02 | 27 | หัวหน้า | 58 | ป.4 | 2 | | / | | | |
| ในนห่อน 03 | 21 | หัวหน้า | 47 | มศ.3 | 2 | / | | | | |
| ในนห่อน 04 | 26 | หัวหน้า | 43 | ป.4 | 2 | / | | | | |
| ในนห่อน 05 | 69 | หัวหน้า | 35 | มศ.5 | 2 | / | / | / | / | |
| ในนห่อน 06 | 45 | หัวหน้า | | | | | | | | |
| ในนห่อน 07 | 25 | หัวหน้า | 35 | มศ.3 | 2 | | / | | | |
| ในนห่อน 08 | 70 | หัวหน้า | 56 | ป.4 | 3 | / | / | | | / |
| ในนห่อน 09 | 60 | หัวหน้า | 45 | ป.4 | 1 | / | / | | | |
| ในนห่อน 10 | 10 | หัวหน้า | 49 | ป.4 | 1 | / | | | | |
| ในนห่อน 11 | 26 | ภรรยา | 52 | ป.4 | 4 | / | | | | / |
| ในนห่อน 12 | 35 | ภรรยา | 58 | ป.4 | 2 | / | | | | |
| ในนห่อน 13 | 19 | หัวหน้า | 45 | ป.4 | 3 | | | | | |
| ในนห่อน 14 | 10 | ภรรยา | 62 | ป.4 | 2 | / | | | | |
| ในนห่อน 15 | 15 | หัวหน้า | 58 | ป.4 | 5 | / | | | | |
| ในนห่อน 16 | 11 | หัวหน้า | 39 | ป.4 | 3 | / | | | | |
| กลุ่มที่ 2 | | | | | | | | | | |
| ในนห่อน 17 | 110 | หัวหน้า | 57 | ป.4 | 4 | / | / | / | | |
| ในนห่อน 18 | 100 | หัวหน้า | 51 | ป.4 | 2 | | / | / | | |
| ในนห่อน 19 | 100 | ภรรยา | 48 | ป.4 | 2 | | / | / | | |
| ในนห่อน 20 | 600 | หัวหน้า | 59 | ป.4 | 1 | / | / | / | | |
| ในนห่อน 21 | 100 | หัวหน้า | 43 | ป.4 | 2 | | / | / | | |
| ในนห่อน 22 | 100 | ภรรยา | 38 | ป.4 | 2 | | / | / | | |
| ในนห่อน 23 | 300 | หัวหน้า | 60 | ป.4 | 3 | / | / | / | | |
| ในนห่อน 24 | 400 | หัวหน้า | 47 | ป.4 | 2 | / | | | | |
| ในนห่อน 25 | 250 | ภรรยา | 58 | ป.4 | 2 | / | | | | |
| ในนห่อน 26 | 150 | หัวหน้า | 49 | ป.4 | 3 | | / | / | | |

ปลูกข้ออ่อนฝันมีปัญหาเกี่ยวกับการจัดการมากเนื่องจากมีจำนวนภัยที่ฝันมากเป็นจำนวนมาก มีปัญหาปริมาณ ภัยพืชมาก อย่างไรก็ตาม เกษตรกรบางรายปลูกข้ออ่อนทุกฝันเพื่อนำไปใช้เป็นท่อนพันธุ์ในการปลูกข้ามฤดูแล้ว โดย ให้ความเห็นว่าการปลูกข้ออ่อนข้ามแล้วให้ผลผลิตสูงกว่าการปลูกข้ออ่อนฝัน

พันธุ์ข้ออ่อนที่เกษตรกรใช้ เกษตรกรใช้อ้อยหลาพันธุ์ ได้แก่ ไตรัตน มาร์กอฟ F145 F154 F156 H38 K83 Co อีก และอู่ทอง 1 (ตารางที่ 96) เกษตรกรนิยมใช้พันธุ์มาร์กอฟและอู่ทอง 1 เมื่อจากข้ออ่อนหักสองพันธุ์ให้ผลผลิตสูงกว่าข้ออ่อนอื่น เกษตรกรซื้อห่อนพันธุ์ข้ออ่อนแก่ในพื้นที่อำเภอหน้าพอง อำเภอแม่สาย ฯ และอำเภอเชียงกลาง บางส่วนซึ่งจากแปลงปลูกของโรงงานน้ำตาล แปลงขยายพันธุ์ของศูนย์วิจัยพืชไว้ แล้วแปลงขยายพันธุ์ของศูนย์วิจัยอ้อยและน้ำตาล ในราคากล่องละ 4,000-7,000 บาท

วิธีการปลูกข้ออ่อน หลังจากการเตรียมดินปลูก เกษตรกรทำการปีดร่องปลูก โดยการวางห่อนพันธุ์ข้ออ่อนบนลง กับพื้นร่อง เกษตรกรบางรายปลูกหักสำหรับไม่มีการลอกกาบใบออกจากลำต้น เกษตรกรใช้มีดสับห่อนพันธุ์เป็นห่อน ๆ โดยให้ห่อนอ้อยแต่ละห่อนมีตาข้อติดต่อ 3-5 ตา วางโคนห่อนพันธุ์ข้ออ่อนตับตันกับปลาย และรอยต่อ ของแต่ละห่อนจะวางเกยต์กันประมาณ 50-70 ซม. แล้วจึงทำการกลบห่อนพันธุ์ที่วางในร่องแล้วโดยใช้ขอบเกลี่ย ดินกลบ

ในระหว่างการปลูก เกษตรกรใส่ปุ๋ยเคมีรองพื้น ปุ๋ยที่ใช้เป็นปุ๋ยผสมสูตร 15-15-15, 13-13-21, 16-20-0, 16-16-8 และ 16-16-16 เกษตรกรส่วนใหญ่ใส่ปุ๋ยเคมีดังกล่าวในอัตรา 50 กิโลกรัมต่อบริเวณ จังหวัดขอนแก่น บางรายได้สินเชื่อปุ๋ยเคมีจากโรงงานน้ำตาล หลังจากนั้น เกษตรกรทำการกลบห่อนพันธุ์และปุ๋ยเคมีโดยใช้แรงงานคนหรือใช้แรงงานควายไถกลบ

หลังการปลูกแล้ว เกษตรกรทำการใส่ปุ๋ยครั้งที่ 2 โดยใช้ปุ๋ยสูตรต่าง ๆ ดังที่ได้กล่าวมาแล้ว ในอัตรา 50 กิโลกรัมต่อบริเวณ

การดูแลรักษษาข้ออ่อนหลังปลูก เมื่ออายุได้ 3-6 เดือน เกษตรกรทำการกำจัดวัชพืชโดยใช้แรงงานคนหรือ แรงงานควาย หลังจากกำจัดวัชพืชเสร็จแล้ว และเมื่ออายุได้ 7-8 เดือน เกษตรกรทำการฉีดพ่นยากำจัดวัชพืช หลังจากนั้นก็จะปล่อยแปลงข้ออ่อนให้พร้อมเก็บเกี่ยว

การจ้างแรงงาน เกษตรกรในกลุ่มนี้ที่เน้นทำการจ้างในทุกช่วงของกระบวนการผลิตข้ออ่อน ซึ่งได้แก่การเตรียมดิน การปลูก การใส่ปุ๋ย และการกำจัดวัชพืช ซึ่งโดยมีต้นทุนรวมอยู่ในช่วง 2,095 - 5,787 บาทต่อบริเวณ ในการขายผลผลิตข้ออ่อนเมื่อคิดเพียงน้ำหนักข้ออ่อนอย่างเดียวเกษตรกรจะได้รับความไม่ทักค่าใช้จ่ายอยู่ในช่วงระหว่าง 2,000 - 8,300 บาทต่อบริเวณ ส่วนเกษตรกรในกลุ่มนี้ที่สองมีการจัดการคล้ายกับกลุ่มนี้ที่เน้น มีเกษตรกรบางรายนิยมนำมาปลูก และดูแลรักษากา แต่มีต้นทุนในการผลิตประมาณ 2,431-4,648 บาทต่อบริเวณ มีรายได้จากการขายผลผลิตเฉพาะน้ำหนักข้ออ่อนอย่างเดียวประมาณ 3,900-6,900 บาทต่อบริเวณ (ตารางที่ 98) นอกจากนี้พบว่าต้นทุนการผลิตข้ออ่อนของเกษตรกรในกลุ่มนี้ที่เน้นที่มีค่าต่ำเนื่องจากเกษตรกรนั้นจะใช้แรงงานในครัวเรือนเป็นหลัก รวมทั้งมีการเอาแรงกัน

ตารางที่ 96: พื้นที่ปูกระเบื้องปูกระเบื้องและพื้นที่อื่นๆที่เกย์ตระการให้

| รายชื่อเนินหมอก | พ.พ.ปูกระเบื้อง | กระเบื้องปูกระเบื้อง | | พื้นที่อื่นๆ | | | | | |
|-----------------|-----------------|----------------------|---------|--------------|-----|---------|--------|-----|----|
| | | พค.-กค. | พย.-กพ. | โคลั่น | H38 | ลีเหียง | อุทัยฯ | K83 | Co |

กลุ่มที่ 1

| | | | | | | | | | |
|------------|----|---|---|---|---|---|---|--|--|
| ในนห่อน 01 | 80 | / | | | | | | | |
| ในนห่อน 02 | 27 | / | | | | | | | |
| ในนห่อน 03 | 21 | / | | | | | | | |
| ในนห่อน 04 | 26 | / | | / | | | | | |
| ในนห่อน 05 | 69 | / | / | | | | / | | |
| ในนห่อน 06 | 45 | | | | | | | | |
| ในนห่อน 07 | 25 | / | / | / | / | / | | | |
| ในนห่อน 08 | 70 | / | / | | | | / | | |
| ในนห่อน 09 | 60 | / | / | / | | | | | |
| ในนห่อน 10 | 10 | / | / | / | | | | | |
| ในนห่อน 11 | 26 | / | / | / | | | | | |
| ในนห่อน 12 | 35 | / | / | / | | | | | |
| ในนห่อน 13 | 19 | / | / | | | | | | |
| ในนห่อน 14 | 10 | / | | | | | | | |
| ในนห่อน 15 | 15 | / | | | | | | | |
| ในนห่อน 16 | 11 | / | | | | | | | |

กลุ่มที่ 2

| | | | | | | | | | |
|------------|-----|---|---|---|---|---|---|---|---|
| ในนห่อน 17 | 110 | / | / | / | / | / | | | |
| ในนห่อน 18 | 200 | / | / | / | / | / | | | |
| ในนห่อน 19 | 200 | / | / | / | / | / | | | |
| ในนห่อน 20 | 600 | | / | | / | / | | | |
| ในนห่อน 21 | 200 | / | / | / | / | / | | | |
| ในนห่อน 22 | 200 | / | / | / | / | / | | | |
| ในนห่อน 23 | 300 | / | / | / | / | / | | | |
| ในนห่อน 24 | 400 | / | / | | | | / | / | / |
| ในนห่อน 25 | 250 | | / | | / | | | | |
| ในนห่อน 26 | 150 | | / | | | | | | |

Copyright © by Chiang Mai University
All rights reserved

ในหมู่เพื่อนเกษตรกรผู้ปลูกอ้อยด้วยกัน และในเกษตรกรรายที่มีต้นทุนในการผลิตที่สูงนั้นจะมีการนำร่องรักษาอ้อยเป็นอย่างดี ทำให้รายรับที่ได้จากการขายอ้อยสูงไปด้วย ในขณะที่เกษตรในกลุ่มที่สองนั้นมีต้นทุนและรายรับจาก การขายอ้อยพอประมาณ แต่เกษตรกรในกลุ่มนี้จะมีความต้องการซื้อขายจำนวนมาก เกษตรกรในกลุ่มนี้มีรายได้สามส่วน ส่วนแรกจากค่าหัวตันอ้อย ส่วนที่สองเป็นส่วนแบ่งจากการขายน้ำตาล และส่วนที่สามจากการขายห่อนพันธุ์อ้อย การสำรวจพบว่าร้อยละ 20-57 ของต้นทุนในการผลิตอ้อยเป็นค่าใช้จ่ายในการเก็บเกี่ยวอ้อย (ตารางที่ 97)

ปัญหาในการผลิต

การสำรวจเพื่อทราบระบบการผลิตอ้อยของเกษตรกรในพื้นที่ ต.โนนห่อน อ.เมือง จ.ขอนแก่น สามารถสรุปปัญหาของเกษตรกรได้ดังนี้

ปัญหาด้านกายภาพ

1. การผลิตส่วนใหญ่ผลิตบนดินชุดน้ำพอง ซึ่งเป็นดินที่มีลักษณะเป็นดินทราย และมีระดับความชุ่มชื้นต่ำ
2. การผลิตอาศัยน้ำฝนเป็นหลัก เกษตรกรไม่สามารถควบคุมเวลาและปริมาณของน้ำตามความต้องการของพืช

ปัญหาด้านชีวภาพ

1. พันธุ์อ้อยที่ใช้อยู่คิดว่ายังไม่ดีพอ อย่างเปลี่ยนพันธุ์ถ้ามีพันธุ์ที่ดีกว่า และเกษตรกรอยากรู้ว่าในดินแต่ละที่ ควรจะใช้พันธุ์อะไรปลูกก็จะดี
2. เกษตรกรมีปัญหาในการกำจัดวัชพืชในการปลูกต้นทุกฝัน ยังไม่มีความรู้ที่ดีพอเกี่ยวกับการใช้สารเคมีป้องกัน กำจัดวัชพืชที่เหมาะสม
3. ไม่มีการนำร่องอ้อยทดลองที่ดีพอ ทำให้ผลผลิตของอ้อยลดลง
4. ปัญหาในเรื่องของโรคใบขาว และโรคแสเดำ
5. อ้อยตายแล้ง ขาดแหล่งน้ำ มีการระบายน้ำของหนองนกและปลากัดปะทะกันอย่างรุนแรง

ปัญหาด้านสังคมเศรษฐกิจ

1. การผลิตอ้อยใช้เงินทุนค่อนข้างสูง เกษตรกรขาดแหล่งเงินทุนที่มีดอกเบี้ยต่ำ เนื่องจากแหล่งเงินทุนที่เกษตรกร ได้รับส่วนใหญ่คิดดอกเบี้ยในอัตราสูงมากประมาณร้อยละ 18 นาทต่อปี ส่วนใหญ่ได้รับจากโรงงานน้ำตาล
2. ปัญมีราคาสูงมาก และราคาปูยไม่แน่นอนในแต่ละปี
3. ราคาก็ไม่แน่นอน
4. คิดว่าตัวชั้งของโรงงานไม่ได้มารฐาน การซ้ายเข็คล่วงหน้าของโรงงาน ทำให้ถูกหักเงินเมื่อนำเข็คไปรื้นเงิน
5. ปัญหาในเรื่องของแรงงานมีภาระแพะและหาได้ยาก ทำให้เกษตรกรบางรายคิดอย่างเลิกปลูกอ้อย

ตารางที่ 97: ต้นทุนและรายได้จากการผลิตข้ออย ในเขตตำบลในนท่อน อ.เมือง จ.เชียงใหม่ ข้อมูล

| รายชื่อ เกษตรกร | ค่าใช้จ่าย | | | | | | | ค่ากำจัดวัชพืช | | | ค่าเก็บ- เก็บ | | | | |
|------------------------|------------------------|-------|-------|---------|--------|-----|-------|----------------|-----|---------|------------------|-------|--------|----------|----------------|
| | เช่า ^{ที่ดิน} | เดือน | ผ่อน | อุปกรณ์ | แรงงาน | น้ำ | ไฟฟ้า | กัน | ควร | สารเคมี | ตัด | ถอน | ลังทุน | ลังทุน | รายได้ |
| | บาทต่อ (ม.ว) | | | | | | | | | | | | % | ม.ว | |
| ----- กลุ่มที่ 1 ----- | | | | | | | | | | | | | | | |
| ในนท่อน 01 | 300 | 390 | 894 | | 431 | 270 | | 80 | 85 | 500 | 1,135 | 4,065 | 39 | 8,300 | |
| ในนท่อน 02 | | 340 | 500 | | 104 | 300 | | 89 | | 233 | | | | | |
| ในนท่อน 03 | | 340 | 127 | | 251 | 396 | 107 | 190 | 80 | | 460 | 1,143 | 3,114 | 52 | 4,190 |
| ในนท่อน 04 | | 310 | 115 | | 280 | 393 | 80 | 185 | 133 | 180 | 300 | 570 | 2,551 | 34 | 2,708 |
| ในนท่อน 05 | 200 | 350 | 204 | | 194 | 553 | 15 | 186 | 80 | 164 | 275 | 600 | 2,821 | 31 | 4,580 |
| ในนท่อน 06 | | | | | | | | | | | | | | | |
| ในนท่อน 07 | | 450 | 1,088 | | 200 | 360 | 60 | | | | 408 | 899 | 3,465 | 38 | 4,080 |
| ในนท่อน 08 | | | | | | | | | | | | | | | |
| ในนท่อน 09 | | 360 | 1,300 | | 500 | 700 | 184 | 150 | | | 110 | 750 | 1,733 | 5787 | 43 8,267 |
| ในนท่อน 10 | | 330 | 839 | | | 660 | | | | | 51 | 550 | 1,210 | 3,640 | 48 7,150 |
| ในนท่อน 11 | | 340 | 269 | | | 254 | | | | | 40 | 692 | 500 | 2,095 | 57 2,000 |
| ในนท่อน 12 | | 330 | 811 | | | 340 | | | | | 148 | 457 | 1,006 | 3,092 | 47 4,846 |
| ในนท่อน 13 | 200 | 330 | 714 | | 95 | 540 | | | | | 38 | 11 | | | |
| ในนท่อน 14 | | 450 | 1,258 | | 280 | 265 | | | | | 70 | 156 | | | |
| ในนท่อน 15 | | 380 | 650 | | 350 | 700 | 80 | 160 | | | 240 | 400 | 1,100 | 4,060 | 37 6,000 |
| ในนท่อน 16 | | 390 | 545 | | 182 | 273 | | 500 | | | | | | | |
| ----- กลุ่มที่ 2 ----- | | | | | | | | | | | | | | | |
| ในนท่อน 17 | | 360 | 182 | | 300 | 299 | 100 | 300 | | | 156 | 316 | 580 | 2,593 | 35 3,295 |
| ในนท่อน 18 | | 400 | 340 | 58 | | 300 | 442 | 80 | 300 | 80 | 166 | 375 | 975 | 3,516 | 38 4,500 |
| ในนท่อน 19 | | 400 | 340 | 58 | | 300 | 442 | 80 | 300 | 80 | 166 | 375 | 975 | 3,516 | 38 4,500 |
| ในนท่อน 20 | | 390 | | 650 | | 450 | | | | | | 400 | 1,200 | 3,090 | 52 4,800 |
| ในนท่อน 21 | | 380 | 750 | 600 | | 330 | | | | | | 575 | 2,013 | 4,648 | 56 6,900 |
| ในนท่อน 22 | | 380 | 750 | 600 | | 330 | | | | | | 575 | 2,013 | 4,648 | 56 6,900 |
| ในนท่อน 23 | 250 | 370 | 450 | | 350 | 606 | 90 | 250 | 70 | 176 | 457 | 1,050 | 4,119 | 36 5,479 | |
| ในนท่อน 24 | | 390 | | 600 | | 480 | | | | | | 375 | 938 | 2,783 | 47 4,200 |
| ในนท่อน 25 | | 360 | 700 | | 500 | 680 | 125 | | | | | 70 | 216 | 211 | 464 3,326 |
| ในนท่อน 26 | | 480 | | | 154 | 513 | 66 | | | | 50 | 128 | 325 | 715 | 2,431 43 3,900 |

Copyright © Chiang Mai University
All rights reserved

6. เกษตรกรบางรายที่เริ่มการผลิตข้อสอบขาดความเข้าใจระบบการตลาดข้อสอบเป็นอย่างมาก ทำให้ประสบสภาพวิชาดทุน และเนื่องจากความไม่เข้าใจวิธีการขายข้อสอบ

ความช่วยเหลือที่เกษตรกรต้องการ

ความต้องการในระดับรายเกษตรกร และกลุ่มเกษตรกร

1. เพิ่มผลผลิตข้อสอบ โดยการเปลี่ยนพันธุ์ข้อสอบ
2. การจดอบรมเกษตรกรผู้ปลูกข้อสอบ เพื่อให้ได้ความรู้ที่ถูกต้องในการผลิตข้อสอบ
3. ต้องการแหล่งเงินทุนที่มีดอกเบี้ยต่ำ เพื่อนำมาใช้ในการผลิตข้อสอบ
4. ต้องการคุ้ยเครื่องมืออาชีวะ

ความต้องการในระดับไตรภานี (เกษตรกร-โรงงาน-รัฐ)

1. ต้องการมีค่าวิเคราะห์ข้อสอบลด
2. ประกันราคายieldที่แน่นอนในแต่ละปี คิดว่าราคาไม่ควรต่ำกว่าต้นละ 520 บาท โดยที่ยังไม่รวมค่าความหวาน

สรุป

การผลิตข้อสอบในเขตตำบลโนนท่องเป็นการผลิตที่ใช้เทคโนโลยีทางเกษตรในระดับต่ำ พื้นที่พื้นที่ภูมิภาคชุมชนชาวไทย เป็นอย่างมาก ทำให้เกษตรกรมีโอกาสสนับสนุนในการควบคุมปัจจัยการผลิต ประสิทธิภาพของระบบการผลิตต่ำ ปัญหาของการผลิตด้านภัยภาพคือดินเป็นดินทรายมีความอุดมสมบูรณ์ต่ำ ปัญหาในด้านเชื้อราคือโรคราดในฤดูฝน ปัญหาในด้านสังคมเศรษฐกิจคือการขาดระบบสนับสนุนเชื้อที่เป็นธรรม ความต้องการในระดับครัวเรือนและกลุ่มเกษตรกรคือการให้ความรู้ที่ถูกต้องในการผลิตข้อสอบ และความต้องการในระดับหนองคายคือราคายieldที่เป็นธรรม

ส่วนที่ 3

การประมาณผลผลิตอ้อยในพื้นที่ขนาดใหญ่
โดยใช้โปรแกรมเชื่อมโยง ThaiSIS 1.0

- แนวคิดและหลักการ (principles & concepts)
- ระบบฐานข้อมูลเชิงพื้นที่และเชิงօรรถ

ลิขสิทธิ์มหาวิทยาลัยเชียงใหม่
Copyright[©] by Chiang Mai University
All rights reserved

ส่วนที่ 3 การประมาณผลผลิตอ้อยในพื้นที่ขนาดใหญ่โดยใช้
โปรแกรมเชื่อมโยง ThaiSIS 1.0

แนวคิดและหลักการ (principles & concepts)

อรรถชัย จินตะเวช สุวิทย์ เลาหศิริวงศ์ และ¹
เฉลิมพล ไอลรุ่งเรือง²

ลิขสิทธิ์มหาวิทยาลัยเชียงใหม่
Copyright[©] by Chiang Mai University
All rights reserved

การประมาณผลผลิตอ้อยในพื้นที่ขนาดใหญ่ ระดับอำเภอ จังหวัด และเขตการผลิตอ้อยเป็นกิจกรรมที่มีความสำคัญต่อการกำหนดราคาอ้อยขั้นต้นของประเทศไทย เป็นกิจกรรมที่ดำเนินการอย่างต่อเนื่องในหลายองค์กรทั้งของภาครัฐและของภาคเอกชน วิธีการที่ใช้ส่วนใหญ่มีพื้นฐานจากการสำรวจภาคสนามและจากข้อมูลการผลิตในปีที่ผ่านมา เป็นวิธีการที่ยังไม่สอดคล้องต่อการแผนกวิจัยด้านสภาพภูมิอากาศเกษตรฯ ลักษณะทางกรรมพันธุ์ของอ้อยความชื้นดิน ระดับความอุดมสมบูรณ์ของดิน พัฒนาการและการเจริญเติบโตของอ้อยแต่ละพันธุ์ในระดับการจัดการที่แตกต่างกันตามสภาพสังคมและเศรษฐกิจของเกษตรกร ซึ่งปัจจัยเหล่านี้เป็นปัจจัยที่มีความสำคัญต่อการให้ผลผลิตของอ้อยเป็นอย่างมาก

โครงการ พทอ. ทำการวิจัยเพื่อพัฒนาและทดสอบแบบจำลองพัฒนาการและการเจริญเติบโตของอ้อยซึ่งสามารถนำปัจจัยดังกล่าวประมวลกันอย่างเป็นระบบในรูปของแบบจำลองอ้อย เมื่อแบบจำลองอ้อยได้รับการทดสอบกับข้อมูลในประเทศไทยอย่างเพียงพอ ผู้ใช้งานสามารถนำแบบจำลอง-ข้อมูลร่วมในการประมาณผลผลิตอ้อย ร่วมกับเทคโนโลยีสารสนเทศทางภูมิศาสตร์ และเทคโนโลยี-ข้อมูลระยะใกล้ ทำให้การคาดการณ์การเปลี่ยนแปลงในระดับกระบวนการทำให้อายุร่วมมีประสิทธิภาพ อย่างไรก็ตามหลักการสำคัญประการหนึ่งในการใช้แบบจำลองร่วมกับเทคโนโลยีสารสนเทศคือ คือการที่ผู้ใช้งานทั่วไปที่ไม่ต้องมีความเชี่ยวชาญและการฝึกอบรมอย่างหนัก ก็สามารถใช้เครื่องมือเหล่านี้ในการศึกษา ประเมินผลของระบบการผลิตอ้อย และผลลัพธ์ของระบบการผลิตในพื้นที่ต่าง ๆ

โปรแกรมเชื่อมโยง ThaiGIS 1.0 พัฒนาขึ้นเพื่อให้ผู้ใช้งานประมาณผลผลิตอ้อยในพื้นที่ขนาดใหญ่ได้ โดยผู้ใช้งานต้องมีข้อมูลเชิงพื้นที่และเชิงอรรถที่เหมาะสม ประการสำคัญในการใช้งานโปรแกรมคือความเชี่ยวชาญเกี่ยวกับการขยายผลการคาดการณ์ที่ได้จากการใช้แบบจำลองข้อมูล ThaiCane ร่วมกับฐานข้อมูลห้องทดลองฐาน

การขยายผล (scaling from field to regional level)

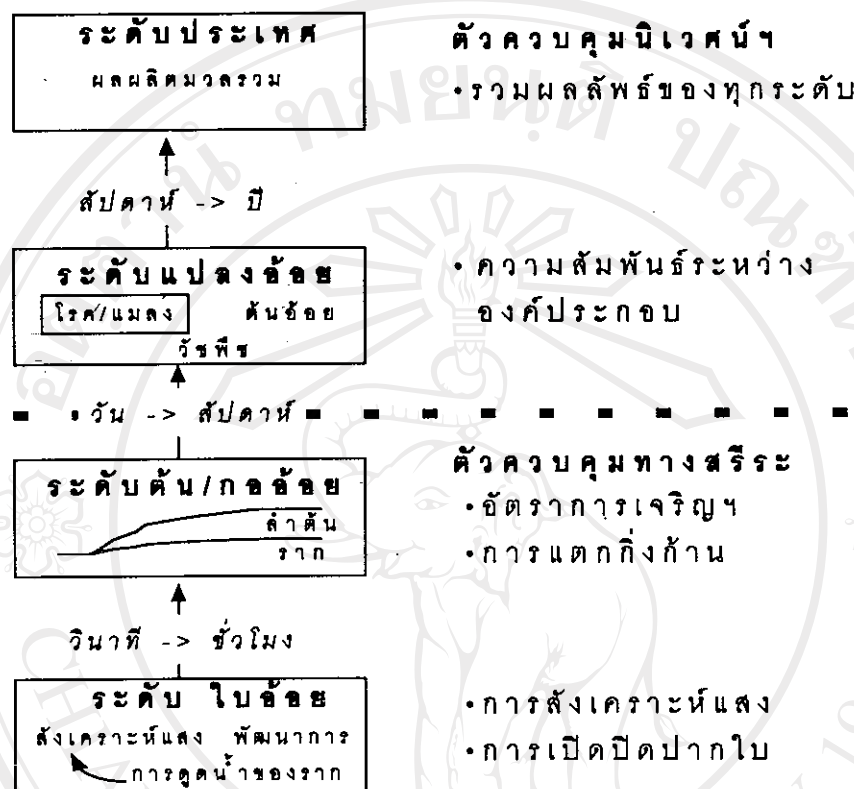
นักวิชาการเกษตรในสาขาวิชา ปรับปรุงพันธุ์พืช ปฐพิวทยา กีฏวิทยา โรคพืช วิศวเกษตร และอื่น ๆ อีกมาก many มีความมุ่งหวังที่จะเห็นการขยายผลงานวิจัยในสถานีทดลองไปสู่เกษตรกร เพื่อการพัฒนาและปรับปรุงประสิทธิภาพการผลิตทางพืชและทางสัตว์ เพื่อความมั่นคงในการผลิตอาหาร ปัญหาที่สำคัญมากคือ การวิเคราะห์โครงสร้างของระบบเกษตร และการคาดการณ์ผลลัพธ์ของระบบเกษตรในพื้นที่ขนาดใหญ่ (regional level) ในญี่ปุ่นมาก กว่าแปลงทดลอง (field level) ที่นักวิชาการเกษตรคุ้นเคยในสถานีทดลอง เป็นปัญหาที่ทำให้ขาดความสามารถ และเป็นปัญหาที่มีความซับซ้อนมาก เนื่องจากระบบเกษตรซึ่งเป็นส่วนหนึ่งของระบบเศรษฐกิจด้านเมือง ประกอบมาก แต่ละองค์ประกอบมีหน้าที่ บทบาท ในระบบแตกต่างกัน เป็นความต่างกันในด้านเวลา (temporal) และสถานที่ (spatial)

การขยายผล (scaling up) และการย่อส่วนของผล (scaling down) งานวิจัยทางเกษตรเป็นการขยายผลกระบวนการทางชีวภาพและทางกายภาพจากระดับไปสู่ระดับประเทศไทย (ญี่ปุ่นที่ 33) การเปลี่ยนแปลงระดับการสังเคราะห์แสงของใบอ้อยส่งผลกระทบต่อการสะสมน้ำหนักของอ้อยทั้งน้ำหนักตัวและน้ำหนัก

รูปที่ 33:

กรอบการขยายผลจากระดับในอ้อยถึงระดับประเทศไทย

in temporal scale only NEEDED spatial scale



ราก และเม็ดโดยตรงต่อผลผลิตน้ำตาล การที่อ้อยมีอัตราการเจริญเติบโตลดลงส่งผลกระทบต่อความสามารถในการสังเคราะห์แสงเนื่องจากการสร้างใบใหม่มีน้อยลง ดังนั้นการขยายผลงานวิจัยในระดับกออ้อยขึ้นสู่ระดับแปลงอ้อยและในที่สุดระดับประเทศไทยต้องเข้าใจว่าอิทธิพลของปัจจัยทางชีวภาพและภายนอกมีผลอย่างไร ขนาดเท่าใด ต่อกระบวนการในระดับที่เล็กที่สุดที่จะทำได้ ในที่นี้คือระดับใบอ้อย ต้องเข้าใจอิทธิพลทั้งทางตรงและทางอ้อมของปัจจัยเหล่านั้น

หลักการที่สำคัญประการหนึ่งของการขยายผลงานวิจัยในระดับเล็กสู่ระดับใหญ่ คือ ระยะในการตอบสนอง (time scale) ของกระบวนการที่มีต่อการเปลี่ยนแปลงสภาพแวดล้อมหรือระดับการจัดการ หมายถึงการเปลี่ยนแปลงอัตราการใช้ปุ๋ยเคมีขึ้นต่ำๆ ในอ้อยแต่ละพันธุ์ ในระดับใบอ้อยการลดลงของระดับความชื้นในดินเมื่อผลทันทีต่อการเปิดปิดของปากใบ และในทางตรงส่งผลกระทบต่อกระบวนการสังเคราะห์ในเวลาเพียงไม่กี่นาที และส่งผลกระทบถึงการสะสมน้ำหนักของกออ้อยในทางตรง เช่น กันแต่อ้าจะให้เกลาเป็นวันถึงจะเห็นผลขึ้น

การพัฒนาแบบจำลองส่วนใหญ่เน้นการพัฒนาแบบจำลองเพื่อบรรยายกระบวนการของพืช-ดิน (process) เพื่อทราบสถานะภาพและพฤติกรรมของพืช-ดิน (behavior) และเพื่อทราบผลลัพธ์ของการจัดการพืช-ดิน (performance) ทั้งสามคำมีความหมายต่างกัน ลองพิจารณาตัวอย่างต่อไปนี้ การระบายน้ำออกจากดิน การ-

สังเคราะห์แสงเป็นกระบวนการฯ ดินแห้งมีพฤติกรรมคล้ายกับสปริงมีความแข็ง ในขณะที่ดินชื้นมีพฤติกรรมคล้ายกับฟองน้ำมีความนุ่ม ดินอิ่มน้ำมีพฤติกรรมคล้ายกับของเหลว สวนผลลัพธ์เห็นได้ชัดว่าดินที่มีการระบายน้ำดี หมายความต่อการปูถูกข้าวโพด มากกว่าการปูถูกข้าวนาดำ หรือพืชที่มีกระบวนการสังเคราะห์แสงเป็น C4 จะมีผลลัพธ์ดีกว่าในสภาพอากาศร้อน การขยายผลของกระบวนการฯ ในระดับเล็กสู่พื้นที่ขนาดใหญ่โดยใช้แบบจำลองพืช ในที่นี้คือแบบ-จำลองอ้อย ThaiCane 1.0 ทำให้ผู้ใช้งานมีความมั่นใจมากกว่าอิทธิพลวิธีการอื่นๆ ของ-จากได้ประเมินความเข้าใจในระดับกระบวนการฯ พฤติกรรมของพืช-ดิน และผลลัพธ์ของการจัดการพืชดินให้ในแบบจำลองแล้ว คุณสมบัติเฉพาะของดิน-พืชในเวลาและพื้นที่ต่าง ๆ แตกต่างกันไป และมีผลโดยตรงต่อกระบวนการฯ พฤติกรรมของพืช-ดิน และผลลัพธ์คุณสมบัติเฉพาะของดิน-พืช

เนื่องจากระบบเกษตรมีความซับซ้อน การที่จะขยายผลงานวิจัยได้อย่างมีประสิทธิภาพจำเป็นต้องมีข้อ-มูลสภาพภูมิภาคเกษตร ข้อมูลดิน ข้อมูลระบบจัดการผลิตพืช เพื่อประกอบการคาด-การณ์ผลผลิตพืชในพื้นที่ต่าง ๆ รวมทั้งระดับการจัดการต่าง ๆ ของเกษตรกรจำนวนมากได้อย่างเหมาะสม แท้ที่จริงแล้วประเทศไทยเป็นประเทศที่มีข้อมูลทางเกษตรเป็นจำนวนมากเปรียบเทียบกับประเทศในโลก กระจัดกระจาดอยู่ตามหน่วยงานที่รับผิดชอบทั้งในระดับกรม และระดับกระทรวง หลักการสำคัญประการหนึ่งในการขยายผลงานวิจัยทางเกษตรโดยใช้แบบ-จำลองพืชและระบบสารสนเทศทางภูมิศาสตร์คือการจัดฐานข้อมูลเชิงพื้นที่และฐานข้อมูลเชิงอรรถให้มีมาตรฐานเดียวกัน สามารถແກ່เปลี่ยนกันได้ และสามารถตรวจสอบและปรับปรุงให้ทันสมัยได้ตลอดเวลา

สรุป

การคาดการณ์ผลผลิตอ้อยในพื้นที่ขนาดใหญ่เป็นกิจกรรมที่มีความซับซ้อนมาเนื่องจากมีกระบวนการทางชีวภาพ และกายภาพที่สำคัญหลายกระบวนการฯ รวมทั้งมีปัจจัยเกี่ยวข้องมากมาย หลักการสำคัญที่ควรคำนึงในการขยายผลงานวิจัยจากการดับกลอกอ้อยถึงระดับประเทศไทยต้องทำความเข้าใจอิทธิพลของปัจจัยต่าง ๆ ต่อกระบวนการฯ ในระดับที่สนใจ และต้องพิจารณาถึงระยะเวลาที่กระบวนการฯ ในระดับต่าง ๆ ใช้ในการตอบสนองต่อการเปลี่ยนแปลงของระดับปัจจัยด้วย ประการสำคัญในกระบวนการวิจัยคือระบบฐานข้อมูลมาตรฐานที่สามารถແກ່เปลี่ยน ตรวจสอบ และปรับปรุงได้

ฐานข้อมูลที่ดี น่าเชื่อถือ เป็นผลลัพธ์ส่วนหนึ่งของการดำเนินงานวิจัยตามแนว modeling & system simulation ปัจจุบันมีหน่วยงานที่ปฏิบัติงานจัดเก็บข้อมูลอยู่มากมาย มีองค์ประกอบของข้อมูลตามภาระกิจของหน่วยงาน ที่น่าจะเป็นไปได้ในประเทศไทยคือฐานข้อมูลมาตรฐาน หรือแบบมาตรฐานของข้อมูลที่ผู้เก็บรักษาข้อมูลแต่ละหน่วยทำความตกลงและใช้ร่วมกันเพื่อประโยชน์ของการใช้ข้อมูลในการตัดสินใจทางเกษตร เช่น ใช้ร่วมกับแบบจำลองอ้อยในการคาดการณ์ผลผลิตอ้อยในพื้นที่ขนาดใหญ่ เป็นต้น

ส่วนที่ 3 การประมาณผลผลิตอ้อยในพื้นที่ขนาดใหญ่โดยใช้
โปรแกรมเชื่อมโยง ThaiSIS 1.0

ระบบฐานข้อมูล ThaiSIS 1.0

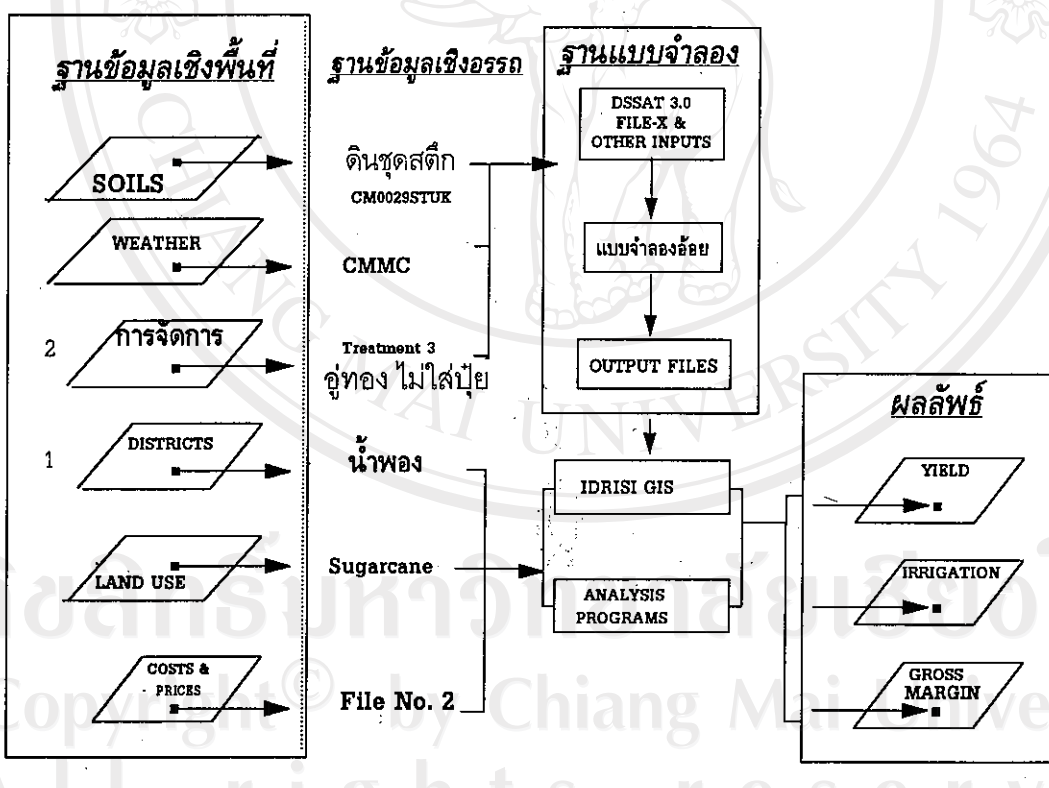
อรรถชัย จินตะเวช และ Phillip K. Thornton

ลิขสิทธิ์มหาวิทยาลัยเชียงใหม่
Copyright © by Chiang Mai University
All rights reserved

การเสนอให้มีฐานข้อมูลทางเกษตรที่ผู้ใช้งานสามารถเข้าถึง เรียกใช้ ปรับปรุงให้ทันสมัย เป็นเรื่องที่มีมาตั้งนานทั้งในระดับนานาชาติ (Nix, 1984; Tsuji et al, 1994) และระดับชาติ (พนมศักดิ์ พรมบุราณ์ และ เมธี เอกสิงห์ และ, 2539)

โครงการ พทอ. ดำเนินการวิจัยเพื่อพัฒนาและทดสอบแบบจำลองพัฒนาการและการเจริญเติบโตของข้อยที่เหมาะสมในประเทศไทย โดยคำนึงถึงปัจจัยที่เกี่ยวข้องกับกระบวนการสำคัญในภาคพื้นดิน แบบจำลองข้อยที่พัฒนาได้จะนำไปประยุกต์การคาดการณ์ผลผลิตอ้อยในพื้นที่ขนาดใหญ่โดยการเชื่อมโยงของโปรแกรม ThaiSIS 1.0 ภายใต้ระบบฐานข้อมูลมาตรฐานซึ่งสามารถนำปัจจัยดังกล่าวประมวลกันอย่างเป็นระบบ ผู้ใช้งานโปรแกรม ThaiSIS 1.0 ต้องมีฐานข้อมูลเชิงพื้นที่ (spatial database) และฐานข้อมูลเชิง�性 (attribute database) ขั้นต่ำ (รูปที่ 34) เพื่อใช้โปรแกรมในการคาดการณ์ผลผลิตอ้อยในพื้นที่ขนาดใหญ่

รูปที่ 34: ฐานข้อมูล ThaiSIS เพื่อการขยายผลจากการดับต้นอ้อยถึงระดับประเทศ



ฐานข้อมูลเชิงพื้นที่

เป็นฐานข้อมูลแสดงคุณสมบัติทางภูมิศาสตร์ของวัตถุ และ/หรือ สิ่งของบนพื้นผิวโลก แสดงลักษณะทั้งในด้านรูปร่าง ขนาด ขอบเขต (shape) และตำแหน่งทางภูมิศาสตร์ (position) เป็นข้อมูลที่มี 2 dimensions ขึ้นไป เช่น

แสดงความสมมั่นใจว่างข้อมูลนั้น ๆ กับระยะเวลา เป็นข้อมูลที่ผู้ใช้งานต้องทราบจุดพิกัดของแต่ละตำแหน่ง ของข้อมูล เช่น ข้อมูลแสดงขอบเขตของคณะเกษตรศาสตร์ มหาวิทยาลัยเชียงใหม่ ข้อมูลแสดงขอบเขตชุมชนในแปลงทดลองของสถานีวิจัยและฝึกอบรมแม่เตียะของคณะเกษตรศาสตร์ มหาวิทยาลัยเชียงใหม่ หรือ ข้อมูลแสดงขอบเขตราคาก่อสร้างในเขตตำบลสุเทพ อำเภอเมือง จังหวัดเชียงใหม่ เป็นต้น ปัญหาหลักของข้อมูลเชิงพื้นที่คือรูปแบบของการจัดเก็บของแต่ละหน่วยงาน มีความหลากหลายตามโปรแกรมและระบบที่ใช้ในหน่วยงาน มีความหลากหลายในด้านมาตรฐาน projection ระหว่างสถาบันการจัดเก็บ ลักษณะของข้อมูลในรูปแบบของ raster และ vector

ในการนี้ของโปรแกรม ThaiSIS 1.0 ต้องการข้อมูลเชิงพื้นที่ที่สามารถใช้งานร่วมกันทั้งสิ้นประกอบ (ตารางที่ 98) เป็นข้อมูลประเภท image file ของโปรแกรม IDRISI รุ่นที่สามารถปฏิบัติงานได้บนระบบจัดการ DOS เครื่องคอมพิวเตอร์แบบ PC ข้อมูลเหล่านี้มีที่มาจากหลายแหล่ง เช่น แผนที่เดินของกรมพัฒนาที่ดิน แผนที่สภาพภูมิประเทศของกรมแผนที่ทหาร แผนที่ได้จากการแปลงข้อมูลดาวเทียม การสำรวจภาคสนาม และภาพถ่ายทางอากาศ ผู้ใช้งานสามารถพัฒนาและสืบทอดได้จากหน่วยงานต่าง ๆ โดยทั่วไปสามารถนำเข้าข้อมูลเหล่านี้ได้โดยการ digitize, scanning, image processing, direct data entry, data transfer technologies

ข้อมูลแสดงขอบเขตการปกคล้องหรือเขตการผลิตอ้อย

เป็นแผนที่แสดงขอบเขตตำบล และ/หรือ ขอบเขตอำเภอ และ/หรือ เขตการผลิตอ้อย และ/หรือ ขอบเขตอื่น ๆ ที่ผู้ใช้งานระบบกำหนด ใช้กำหนดขนาดและที่ตั้งของหน่วยต่าง ๆ ที่กล่าวมาแล้ว โปรแกรม ThaiSIS 1.0 ใช้ขอบเขต ให้ขอบเขตหนึ่งในการจำกัดขนาดของข้อมูลเชิงกราฟในการคาดการณ์ผลผลิตอ้อย ผู้ใช้งานสามารถนำเข้าแผนที่เหล่านี้โดยใช้ตัวนำเข้าข้อมูล (digitizer)

ตารางที่ 98: ข้อมูลในระบบ ThaiSIS 1.0

| ชนิดข้อมูล | ที่มา | วิธีการนำเข้าคอมพิวเตอร์ |
|--------------------------|------------------|--------------------------|
| ขอบเขตภูมิภาค | กรมอุตุนิยมวิทยา | digitize |
| ขอบเขตดิน | กรมพัฒนาที่ดิน | digitize |
| ขอบเขตการปกคล้อง | กรมการปกคล้อง | digitize |
| ขอบเขตราคาก่อสร้าง | สอ. | Digitize |
| ขอบเขตด้านทุนการผลิตอ้อย | สอ. | Digitize |
| ขอบเขตพื้นที่ปลูกอ้อย | ข้อมูลดาวเทียม | แปลงข้อมูลดาวเทียม |

ข้อมูลแสดงขอบเขตภูมิอากาศเกษตรฯ

เป็นแผนที่แสดงขอบเขตสภาพอากาศเกษตรรายปี แสดงว่าในพื้นที่นี้ ๆ มีสภาพภูมิอากาศเกษตรเป็นลักษณะใด ครอบคลุมพื้นที่ในลักษณะไหน โปรแกรม ThaiSIS 1.0 ใช้ข้อมูลนี้ในการเรียกข้อมูลเชิงอุตสาหกรรม ที่มีผลต่อการเกษตรได้แก่ พลังงานแสงอาทิตย์ อุณหภูมิอากาศสูง-ต่ำ และปริมาณน้ำฝนรายวัน เพื่อใช้วิเคราะห์แบบจำลองอ้อย ThaiCane ในการคาดการณ์ผลผลิตอ้อย ผู้ใช้งานสามารถนำเข้าแผนที่แสดงขอบเขตภูมิอากาศเกษตรฯโดยให้ตัวนำเข้าข้อมูล (digitizer)

ข้อมูลแสดงขอบเขตชุดดิน

เป็นแผนที่แสดงขอบเขตชุดดิน หรือกลุ่มชุดดินในพื้นที่นี้ ๆ ตามคุณสมบัติทางกายภาพและเคมีที่มีผลต่อการจัดการเพื่อผลิตอ้อย ห้องทางเกษตรและสิ่งแวดล้อม โปรแกรม ThaiSIS 1.0 ใช้ข้อมูลนี้ในการเรียกข้อมูลเชิงอุตสาหกรรม ที่มีผลต่อการจัดการเพื่อผลิตอ้อย ความหนาแน่นรวม %sand %silt %ทรายหยาบ ความเป็นกรดเป็นด่าง ระดับชาตุในตรางาน ระดับชาตุฟอสฟอรัส ระดับชาตุโพแทสเซียม เพื่อใช้วิเคราะห์แบบจำลองอ้อย ThaiCane ใน การคาดการณ์ผลผลิตอ้อย ผู้ใช้งานสามารถนำเข้าแผนที่แสดงขอบเขตชุดดิน หรือ กลุ่มชุดดินได้โดยให้ตัวนำเข้าข้อมูล (digitizer)

ข้อมูลแสดงขอบเขตการจัดการ

เป็นแผนที่แสดงขอบเขตระบบการจัดการผลิตอ้อย ตามสภาพสังคมและสภาพเศรษฐกิจของชาวไร่ และระบบการสนับสนุนของโรงงานน้ำตาล โปรแกรม ThaiSIS 1.0 ใช้ข้อมูลนี้ในการเรียกข้อมูลเชิงอุตสาหกรรมที่เก็บในแฟ้มข้อมูล EX (Tsuji et al, 1994) เพื่อใช้วิเคราะห์แบบจำลองอ้อย ThaiCane 1.0 ใน การคาดการณ์ผลผลิตอ้อย แผนที่นี้สามารถนำเข้าในระบบโดยใช้ตัวนำเข้าข้อมูล (digitizer)

ข้อมูลแสดงขอบเขตของต้นทุนการผลิตและราคาอ้อย

เป็นแผนที่แสดงขอบเขตของต้นทุนการผลิตอ้อยและราคาอ้อยตามระบบการซื้อขายของโรงงาน โปรแกรม ThaiSIS 1.0 ใช้ข้อมูลนี้ในการเรียกข้อมูลเชิงอุตสาหกรรมที่เก็บในแฟ้มข้อมูล PRICE (Tsuji et al, 1994) เพื่อใช้ในคำนวณรายจ่าย-รายได้จากการผลิตอ้อย

ข้อมูลแสดงขอบเขตพื้นที่ปลูกอ้อย

เป็นแผนที่แสดงขอบเขตแปลงปลูกอ้อยที่มีในพื้นที่จริง โปรแกรม ThaiSIS 1.0 ใช้ข้อมูลนี้ในการซ่อนทับกับขอบเขตสภาพอากาศเกษตรฯ และขอบเขตชุดดิน เพื่อกำหนดข้อมูลเชิงอุตสาหกรรมที่จำเป็นในการปฏิบัติงานของแบบจำลอง ThaiCane 1.0 ซึ่งจะทำการคาดการณ์ผลผลิตอ้อยเฉพาะในพื้นที่ปลูกอ้อยเท่านั้น ผู้ใช้งานสามารถนำเข้า

แผนที่แสดงขอบเขตพื้นที่การปลูกชัยอ้อยได้โดยการแปลงข้อมูลดาวเทียมซึ่งได้มีการวิจัยและแสดงผลการศึกษาโดยถาวร ชื่นประไพ และคณะ ในรายงานฉบับนี้

ฐานข้อมูลเชิงอรรถ

ThaiSIS 1.0 ใช้ระบบฐานข้อมูลเชิงอรรถ (attribute database) เช่นเดียวกันกับระบบฐานข้อมูล DSSAT 3.0 (Tsuji et al, 1994) ฐานข้อมูลเชิงอรรถเป็นข้อมูลแสดงคุณสมบัติของสิ่งของ และทรัพยากรดู เช่น ข้อมูลแสดงระดับความสูงจากน้ำท่าเฉลี่านอกกลางของคนงานเกษตรศาสตร์ มหาวิทยาลัยเชียงใหม่ ข้อมูลแสดงชื่อชุดดินในแปลงทดลองของสถานวิจัยและฝึกอบรมแม่เที่ยงของคนงานเกษตรศาสตร์ มหาวิทยาลัยเชียงใหม่ หรือ ข้อมูลภาคที่ดินในเขตตำบลสุเทพ อำเภอเมือง จังหวัดเชียงใหม่ เป็นต้น

ในระบบโปรแกรม ThaiSIS 1.0 ต้องการข้อมูลเชิงอรรถสี่ประเภท (ตารางที่ 99) เป็นข้อมูลที่เก็บในรูปแบบ ASCII ของเครื่องคอมพิวเตอร์แบบ PC ข้อมูลเหล่านี้มีที่มาจากการถ่ายแหล่ง เช่น ข้อมูลดินจากการพัฒนาที่ดิน ข้อมูลสภาพอากาศจากกรมอุตุนิยมวิทยา ข้อมูลการจัดการพืช-ดิน ผู้ใช้งานสามารถพัฒนาและสืบทอดได้จากหน่วยงานต่าง ๆ โดยทั่วไปผู้ใช้ต้องนำเข้าข้อมูลเหล่านี้ได้โดยการ key board input

ตารางที่ 99: ข้อมูลเชิงอรรถในระบบ ThaiSIS 1.0

| ชนิดข้อมูล | ที่มา | วิธีการนำเข้าในคอมพิวเตอร์ |
|----------------------------|--|--|
| สภาพอากาศเกษตรรายวัน | <ul style="list-style-type: none"> สถานีตรวจอากาศ กรมอุตุนิยม โดย keyboard ในแฟ้มข้อมูลที่มีนามสกุล *.WTH. ศูนย์วิจัยพืชไร่และสถานีทดลอง พืชไร่ กรมวิชาการเกษตร กรมชลประทาน กรมป่าไม้ มหาวิทยาลัย | |
| คุณสมบัติทางกายภาพ/เคมีดิน | กรมพัฒนาที่ดิน | นำเข้าโดยโปรแกรม DLDSIS ในแฟ้ม SOIL.SOL |
| ลักษณะเฉพาะพืชพันธุ์ | กรมวิชาการเกษตร | นำเข้าโดย keyboard ในแฟ้ม ข้อมูลที่มีนามสกุล *.CUL |
| การจัดการผลิตอ้อย | ผู้ใช้งานโปรแกรม ThaiSIS 1.0 | นำเข้าโดย keyboard ในแฟ้ม FILEX |

ส่วนที่ 4

การขยายหลักการ

- หลักการของอักษรสมพันธ์และสนธิ
- สนธิ CANEFOPEDIA
- โครงสร้างการฝึกอบรม ThaiSIS 1.0

ลิขสิทธิ์มหาวิทยาลัยเชียงใหม่

Copyright[©] by Chiang Mai University
All rights reserved

ส่วนที่ 4: การขยายหลักการ

หลักการของอักษรสมพันธ์และรหัสอื่นๆ

ศักดิ์ด้า จงแก้ววัฒนา และ อรรถาชัย จินตะเวช

อิทธิพลมหาวิทยาลัยเชียงใหม่
Copyright[©] by Chiang Mai University
All rights reserved

การขยายหลักการในที่นี้หมายถึงกิจกรรมที่กำหนดขึ้นและดำเนินการเพื่อยายหลัก การและแนววิจัยโดยใช้ modeling and simulation technique ในวงกว้างเช่นเดียวกับที่มีการดำเนินการเพื่อยายหลัก โดยจะดำเนินการให้เกิดผลในทางปฏิบัติหลายทาง เช่น การใช้สื่อ และ การฝึกอบรมหลักการและการใช้งานแบบจำลองของ ThaiCane 1.0 การใช้โปรแกรมเชื่อมโยง ThaiSiS 1.0 และ การทำงานทดลองจริงเพื่อให้เกิดความเข้าใจและเกิดเป็นกลุ่มวิจัยในประเทศไทยในอีก 3-5 ปี ข้างหน้า ในบทนี้กล่าวถึงหลักการสำคัญของเทคโนโลยีสารสนเทศ อักษรสมพันธ์และสื่อ

อักษรสมพันธ์ (hypertext) และ สื่อ (multimedia) เป็นเทคโนโลยีสารสนเทศที่เอื้อให้มีการสอดประสาน การใช้งานข้อมูลในรูปแบบต่าง ๆ (complex information management systems) เป็นไปอย่างมีความสะดวกและมีประสิทธิภาพ ผู้พัฒนาเทคโนโลยีสามารถสร้าง เชื่อมโยง และแคลเปลี่ยนข้อมูลที่อยู่ในรูปตัวอักษร (text) ภาพนิ่ง (graphics) เสียง (audio) ภาพเคลื่อนไหว (video) ภาพการจำลองเหตุการณ์ (animation) และ โปรแกรมคอมพิวเตอร์ (programs) ทั้งสื่อและอักษรสมพันธ์สนับสนุนให้ผู้ใช้งานเข้าถึง (access) ข้อมูลช่วงเวลาแบบไม่เป็นเส้นตรง (non-linear) หรือแบบไม่ตามลำดับได้ (non-sequential) ซึ่งทำให้ผู้ใช้งานข้อมูลและเทคโนโลยีสารสนเทศประเภทนี้สามารถตัดสินใจเพื่อประกอบกิจกรรมด้านต่าง ๆ ได้อย่างมีประสิทธิภาพและประสิทธิผลมากกว่าวิธีการเดิม เช่น การค้นคว้าจากหนังสือและตำรา หรือฐานข้อมูลทั่วไป ผู้ใช้งานสามารถจะเรียนรู้และสืบเสาะองค์ความรู้ตามความเหมาะสมและความถนัดของแต่ละคนโดยไม่จำเป็นต้องเดินตามกระบวนการดังเดิม

งานวิจัยส่วนหนึ่งของโครงการ พทอ. คือการวิจัยเพื่อนำผลงานวิจัยไปสู่ผู้ใช้งานของผลวิจัยน้อย่างแพร่หลายในทุกชุมชน และให้เป็นประโยชน์ต่อผู้ใช้งานทุกระดับ โครงการได้กำหนดรูปแบบของการเผยแพร่ผลงานวิจัยให้ 3 รูปแบบ คือ 1) การฝึกอบรมเพื่อให้ผู้สนใจสามารถใช้โปรแกรมเชื่อมโยง ThaiSiS ในภาคตากลางและภาคตะวันออกเฉียงเหนือ 2) การพิมพ์เอกสารเผยแพร่ผลงานวิจัยในสิ่งพิมพ์สาธารณะรูปแบบต่าง ๆ และ 3) การพัฒนา อักษรสมพันธ์ และ สื่อ ที่เกี่ยวข้องกับอ้อย เช่น สื่อ CANEFOPEDIA ซึ่งรวมรวมเรื่องราวเกี่ยวกับพันธุ์อ้อย การจัดการแปลงอ้อย แบบจำลองพัฒนาการและการเจริญเติบโตของอ้อย และการใช้งานโปรแกรม ThaiSiS 1.0 เป็นต้น

หลักการของอักษรสมพันธ์และสื่อ (hypertext and multimedia principles)

อักษรสมพันธ์ (hypertext หรือ non-linear text) หมายถึง แนวทางหนึ่งในการรวบรวมข้อมูล digital ซึ่งส่วนใหญ่เป็นตัวอักษร (text) และ/หรือ รูปภาพ (graphic) ให้อยู่ในสภาพที่เหมาะสม (node) สามารถเชื่อมโยง (link) กันได้ ประการสำคัญอักษรสมพันธ์เป็นแนวคิด เป็นหลักการและเป็นวิธีการ แต่ไม่ได้เป็นผลผลิต หรือ ผลิตภัณฑ์ (product) ของเทคโนโลยีสารสนเทศ ผลผลิตที่เกิดจากแนวคิดนี้ในวงการเทคโนโลยีสารสนเทศ เช่น สื่อในรูปแบบของแผ่นดีดีรอม (CD-ROM) และ นำ้ยเชื่อมโยงโลกกว้าง (WWW) เป็นต้น

สนับสนุนหมายถึง ผลิตภัณฑ์ (product) ของเทคโนโลยีสารสนเทศซึ่งรวมความและเรื่องของข้อมูล digital ของสื่อแต่ละชนิดเข้าด้วยกันอย่างเหมาะสมต่อการใช้งาน สนับสนุนนี้ ๆ อาจจะประกอบไปด้วยข้อมูลที่เป็นตัวอักษร (text) ภาพนิ่ง (graphics or picture) ภาพของจริงเคลื่อนไหว (video) ภาพจำลองเหตุการณ์เคลื่อนไหว (animation) และเสียง (sound) สนับสนุนมีลักษณะเฉพาะดังต่อไปนี้

1. เป็น Graphic User Interface ที่ช่วยให้ผู้ใช้งานสามารถเข้าถึงข้อมูลที่ต้องการโดยการเรื่องของข้อมูลจากสารในกลุ่มเดียวกัน (รูปที่ 35) และสามารถย่อ ทำความเข้าใจและพิมพ์ข้อมูลเหล่านั้นได้
2. เป็นโปรแกรมช่วยในการสร้างการเรื่องของข้อมูลและปูทางแบบข้อมูลข่าวสารให้อยู่ในรูปแบบที่เรื่องของกันได้โดยวิธี digital
3. เป็นเทคโนโลยีสารสนเทศที่ให้ความสำคัญแก่ผู้ใช้งาน

ผลลัพธ์ของงานวิจัยโดยใช้หลักการอักษรสมัยพัฒนา

ในโครงการ พทอ. ผลลัพธ์หรือผลผลิตของการวิจัยโดยใช้แนวคิดและหลักการอักษรสมัยพัฒนาคือเทคโนโลยีสารสนเทศที่เรียกว่า สนับสนุนฐานความรู้ CANEFOPEDIA ซึ่งคาดว่าจะสามารถนำเผยแพร่ต่อผู้ใช้งานในระยะเวลาอันใกล้นี้ ทำให้สามารถเข้าถึงข้อมูลเกี่ยวกับข้อมูลได้อย่างอิสระ

ข้อดีของเทคโนโลยี

1. ผู้พัฒนาสนับสนุนและอักษรสมัยพัฒนาสามารถเก็บข้อมูลในรูปแบบ digital ได้มากกว่าการเก็บรูปหนังสือ ทำให้การเรื่องของข้อมูลที่สมัพน์กันเป็นไปอย่างสมบูรณ์
2. ผู้พัฒนาและผู้ใช้งานสามารถปรับปรุงเนื้อหาหรือข้อมูลได้ในระยะเวลาอันสั้น
3. ผู้ใช้งานสามารถสืบค้นข้อมูลได้อย่างรวดเร็ว เมื่อการจัดเก็บในรูปแบบ digital มีระบบจัดเก็บที่มีประสิทธิภาพสูงกว่า
4. ผู้ใช้งานสามารถนำข้อมูลที่สืบค้นได้ไปใช้งานทันทีในรูป digital

สรุป

การผลิตสนับสนุนสิ่งสำคัญคือองค์ความรู้ในเรื่องนั้น ๆ (knowledge bases) ถูกประเมินสนับสนุนการผลิตสนับสนุนและบุคลากรที่มีความชำนาญในการใช้โปรแกรม

ในด้านองค์ความรู้นั้นคุณภาพผู้วิจัยฯ จะเริ่มต้นดำเนินการประ深加工กับกรมวิชาการเกษตร กระทรวงเกษตรและสหกรณ์ สำนักงานข้อมูลและน้ำดalem กระทรวงอุดสาหกรรม และเกษตรกรผู้ชำนาญงาน เพื่อรวบรวมเอกสารวิชาการและสถิติเกี่ยวกับเรื่องห้องเรียน โดยจะเริ่มจากเรื่องที่มีความอิมตัวแล้วในเชิงวิชาการและเป็นประเด็นสำคัญในการผลิตห้องเรียน ไม่ซับซ้อนมากเกินไปในการพัฒนาสนับสนุนมาก กลยุทธ์แรกคือการรวมความเอกสารเหล่า

นั้นให้อยู่ในสถานที่เดียวกัน อยู่ในรูปแบบที่สามารถสังเคราะห์ให้เป็นองค์ความรู้ (real knowledge base) ที่บุคคลทั่วไปสามารถนำไปใช้งานได้ก่อน

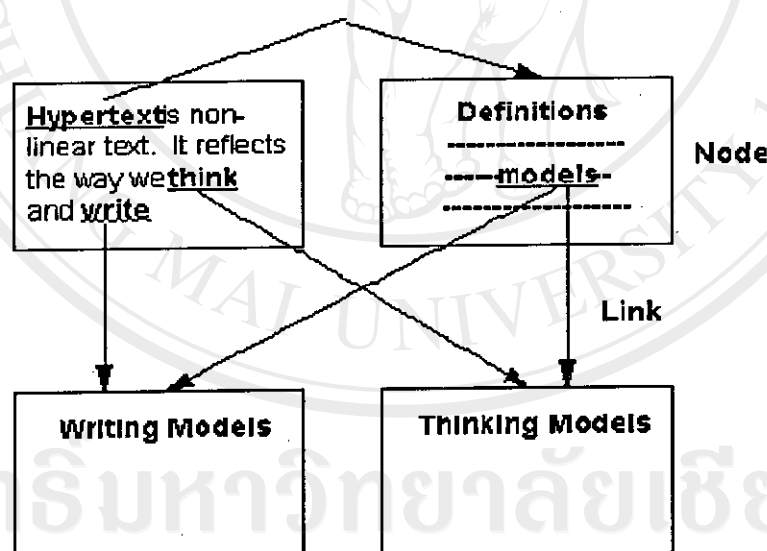
ในด้านอุปกรณ์การผลิตสื่อนั้น เมื่อจากต้องการ software ที่เขียนข้อมูลนี้เป็น authoring tool (AUTHORWARE, DIRECTOR, etc) hypertext software, sound edit, image processing เป็นต้น คณะผู้วิจัยจะดำเนินการประสานงานกับกลุ่มวิจัยอื่นทั้งในและต่างประเทศที่ได้พัฒนาความชำนาญและมีประสบการณ์ในการใช้โปรแกรมผลิตสื่อแล้ว เช่น โครงการวิจัยของ อ. ดร. วสันต์ จันทรารัตน์ ภาควิชาจุลทรรศวิทยาคณวิทยา คณะเทคโนโลยีการแพทย์ และโครงการวิจัยของ อ.ดร.เมธี เอกะสิงห์ ศูนย์วิจัยเพื่อเพิ่มผลผลิตทางเกษตรฯ มหาวิทยาลัยเชียงใหม่ ที่กำลังพัฒนาเอกสารโครงการวิจัย เป็นต้น

ในด้านบุคลากรสำหรับผลิตสื่อ คณะผู้วิจัยฯ จะดำเนินการขยายจำนวนผู้วิจัยทั้งในและนอกมหาวิทยาลัย รวมทั้งการเพิ่มจำนวนนักศึกษาปริญญาตรีและโทช่วยวิจัย

รูปที่ 35:

ตัวอย่างของแฟ้มข้อมูลในรูปแบบของอักษรสมัยนิยม (hypertext)

(Balasubramanian, V., 1997)



ส่วนที่ 4 การขยายหลักการ

สนใจสารานุกรมอ้อย CANEFOPEDIA

ศักดิ์ดา จงแก้ววัฒนา อรรถชัย จินตะเวช
เฉลิมพล ไหหลรุ่งเรือง นิพนธ์ เอี่ยมสุภาณิต
ปรีชา พราหมณีย์ อัปสร เปเลียนสินไชย และ^๑
อ้อยทิน จันทร์เมือง

ลิขสิทธิ์มหาวิทยาลัยเชียงใหม่

Copyright[©] by Chiang Mai University

All rights reserved

ในสาขาวิชาต่าง ๆ โดยเฉพาะสาขาวิชาทางเกษตร นักวิชาการส่วนใหญ่จะได้รับคำダメหกจากหลายจากเกษตรกรโดยตรง หรือเป็นคำダメที่ถูกตั้งขึ้นจากนักวิชาการด้วยกันเอง แต่นักวิชาการคนหนึ่ง ๆ นั้นอาจจะมีความรู้ความสามารถเฉพาะเรื่อง เช่นวิชานี้ หรือ โรคพืช เป็นต้น ดังนั้นการที่จะตัดหน้าคำตอบในทุก ๆ เรื่องจากนักวิชาการท่านหนึ่งท่านใดคงเป็นไปได้ยาก อย่างไรก็ตามการค้นหาคำตอบจากเอกสารวิชาการก็เป็นหนทางเดียว วิชาการท่านหนึ่งท่านใดคงเป็นไปได้ยาก อย่างไรก็ตามการค้นหาคำตอบจากเอกสารต่าง ๆ เหล่านี้อาจจะอยู่กรอบจำกัดของภาษา เช่น เดียวกับการกระจาบของนักวิชาการที่มีความรู้เฉพาะเรื่อง นอกจานั้นการเสนอข้อมูลในเอกสารวิชาการอาจไม่ชัดเจนนัก ดังนั้นถ้าหากว่าเราสามารถนำความรู้จากนักวิชาการผู้เชี่ยวชาญในแต่ละสาขา และรวมความรู้จากเอกสารวิชาการแล้วสามารถเสนอความรู้ที่รวมรวมมาอย่างมีระบบ และง่ายต่อการค้นหา ถึงนี้จะเป็นประโยชน์อย่างยิ่งไม่เฉพาะในวงการศึกษา หรืองานวิชาการ แต่จะมีประโยชน์ต่อผู้ปฏิบัติโดยเฉพาะอย่างยิ่งการใช้ข้อมูลที่ได้ เพื่อช่วยสนับสนุนการตัดสินใจในเรื่องใดเรื่องหนึ่ง

ปัจจุบันเทคโนโลยีทางคอมพิวเตอร์ที่สามารถใช้ในการเก็บรวบรวมข้อมูลและเสนอผลในรูปแบบที่ชัดเจน และเป็นที่เข้าใจง่ายได้แก่ สมาร์ทโฟน หรือ multimedia ซึ่งสมาร์ทโฟนเครื่องมือที่รวมรวมความรู้ในเรื่องหนึ่งเรื่องใดในรูปแบบของตัวอักษร (text) รูปภาพ เสียง ภาพเคลื่อนที่ และการจำลองแนวการณ์ (animation) แล้วถ่ายทอดความรู้ในรูปแบบต่าง ๆ เหล่านี้โดยอาศัยคอมพิวเตอร์ ทั้งนี้การเสนอความรู้โดยอาศัยสื่อดิจิตัล ที่กล่าวมาแล้วนั้น จะเป็นการถ่ายทอดอย่างมีระบบ เพื่อที่จะให้ผู้ใช้เข้าใจในเรื่องราวดี ๆ นั้นได้ง่าย ปัจจุบันเทคโนโลยีการพัฒนา สมาร์ทโฟนที่แพร่หลายเช่นสมาร์ทโฟนแสดงพรรณไม้ในสวนหลวง ร.๙ (นิรนาม, 2536) สมาร์ทโฟนสารานุกรม MULTIMEDIA ENCYCLOPEDIA (Anon., 1992) สมาร์ทโฟนเรื่องราวด้วยภาษาไทยและระบบสุริยะ BEYOND PLANET EARTH (Anon., 1993) และสมาร์ทโฟนข้อมูลการพัฒนาของพืช HOW THINGS GROW (Anon., 1994) เป็นต้น สมาร์ทโฟนเหล่านี้ถูกพัฒนาให้อยู่ในรูปแบบของโปรแกรมคอมพิวเตอร์ที่ง่ายต่อการใช้ รวดเร็วต่อการค้นหาเรื่องที่ผู้ใช้ต้องการรู้ และแสดงผลเป็นที่เข้าใจง่ายและชัดเจน ปกติแล้วสมาร์ทโฟนที่ถูกพัฒนาขึ้นเพื่อเผยแพร่จะถูกเก็บไว้ในรูปแบบของ CD-ROM

การพัฒนาสื่อในวงการวิชาการอ้อยมน นับว่าเป็นสิ่งที่จำเป็นอย่างยิ่งโดยเฉพาะในภาคตะวันออกเฉียงเหนือที่นี่ เพราะปัญหาที่เกิดขึ้นในการเพาะปลูกอ้อย ไม่ว่าเรื่องโรค แมลง พันธุ์ มักจะเกิดขึ้นเสมอ และเป็นปัญหาที่ไม่ซ้ำกัน ดังนั้นการที่จะติดตามการแก้ปัญหาต่าง ๆ เหล่านี้จะต้องมีข้อมูลหรือแหล่งความรู้เฉพาะเรื่องนั้น ๆ อยู่ประจำไม่ว่าจะเป็นที่ศูนย์บริจัยพืช หรือแม้แต่ในมหาวิทยาลัยองค์ความ นอกจากนั้นการคาดหวังว่าจะสามารถพับผู้เชี่ยวชาญเหล่านี้ยอมเน้นไปได้ยาก ดังนั้นถ้าหากว่าเราสามารถรวมความรู้จากการศึกษา หรือจากผู้เชี่ยวชาญในแต่ละด้านเข้าเป็นระบบและสามารถเสนอผลได้อย่างชัดเจน และพัฒนาเป็นสื่อแล้ว โอกาสการแก้ปัญหาที่เกิดขึ้นจะเป็นไปได้อย่างรวดเร็ว โดยเฉพาะปัญหาซึ่งต้องนำมาซึ่งการตัดสินใจ

เหตุผลที่สำคัญประการหนึ่งซึ่งจะสนับสนุนการพัฒนาสื่อ เพื่อช่วยในการสนับสนุนการตัดสินใจ หรือการศักดิ์ดา จงแก้ววัฒนา และ คณะ การศักดิ์ดา จงแก้ววัฒนา และ คณะ ได้แก้การที่อุปกรณ์คอมพิวเตอร์โดยเฉพาะส่วนที่เป็น hardware นั้นมีราคาไม่แพงดังเช่น ในอดีตที่ผ่านมา ปัจจุบันชุดคอมพิวเตอร์ที่ใช้ CPU Pentium พร้อมอุปกรณ์ที่สามารถใช้งานกับระบบสื่อ (CD-ROM, Sound Card) มีราคาที่ไม่แพง ดังนั้น ถ้าหากเราสามารถพัฒนาสื่อความรู้ทางอ้อยได้แล้ว การเผยแพร่

สนธิสือเหล่านี้เปิดตามสถานที่ต่าง ๆ ไม่ว่าจะเป็นศูนย์วิจัยพืชไร่ เกษตรรำเกา โรงงานน้ำตาล ฯลฯ ก็เปรียบเสมือนการนำผู้เชี่ยวชาญในทุกสาขาไปประจำในสถานที่นั้น ๆ ที่พร้อมที่จะให้บริการการค้นคว้าหาความรู้ต่าง ๆ ที่จะเป็นข้อมูลสำคัญในการใช้ในงานวิจัย หรือการผลิตอยู่อย่างต่อไป

กิจกรรมการวิจัยในส่วนสนธิสือสารานุกรมอ้อย CANEFOPEDIA เป็นผลลัพธ์ของการพัฒนาระบบฐานข้อมูลเอกสารวิชาการอ้อยให้อยู่ในรูปของสนธิสือ ทั้งนี้โดยเป็นการรวบรวมความรู้ และข้อมูลในด้านต่าง ๆ เช่น ลักษณะทางพฤติศาสตร์และพันธุ์อ้อย โรคและแมลงศัตรูอ้อย และการจัดการการเพาะปลูกอ้อย เป็นต้น อย่างเป็นระบบ และมีความชัดเจนง่ายต่อการศึกษาหรือค้นหาความรู้ในเรื่องต่าง ๆ ที่ต้องการ

การพัฒนาสนธิสือ

การพัฒนาสนธิสือนั้นเป็นการทำงานที่ต้องอาศัยทีมงานร่วมประกอบไปด้วย ผู้เชี่ยวชาญในสาขาต่าง ๆ (Vaughan, 1994) คือ

- ผู้จัดการโครงการ (project manager) ซึ่งเป็นผู้ประสานความการพัฒนาระบบสนธิสือทั้งหมด
- ผู้เขียนบท (writer) ซึ่งเป็นผู้ที่ออกแบบรูปแบบการเสนอความรู้ในด้านตัวอักษร
- ผู้เชี่ยวชาญทางวีดีโອ (video specialist) จะเป็นผู้ที่สร้าง และตัดต่อความรู้ที่จะเสนอในรูปแบบของการถ่ายทอดภาพเคลื่อนไหว
- ผู้เชี่ยวชาญทางการบันทึกและถ่ายทอดเสียง (audio specialist) จะเป็นผู้ที่จะบันทึก และตัดต่อเสียง โดยจะนำเสนอความรู้ในรูปแบบของเสียง
- ผู้เขียนโปรแกรม เป็นบุคคลสำคัญคนหนึ่งในทีมงานพัฒนาสนธิสือ เพราะจะเป็นผู้ควบรวมความรู้ต่าง ๆ ที่ได้จากผู้เขียนบท ผู้เชี่ยวชาญทางวีดีโอด และผู้เชี่ยวชาญทางการบันทึกและถ่ายทอดเสียง กับทั้งนำเสนอความคิดของผู้จัดการโครงการมาถ่ายทอดในรูปลักษณะของโปรแกรมคอมพิวเตอร์ ซึ่งจะต้องเป็นโปรแกรมที่ง่ายต่อการใช้งาน

โครงสร้างและเนื้อหาของ CANEFOPEDIA

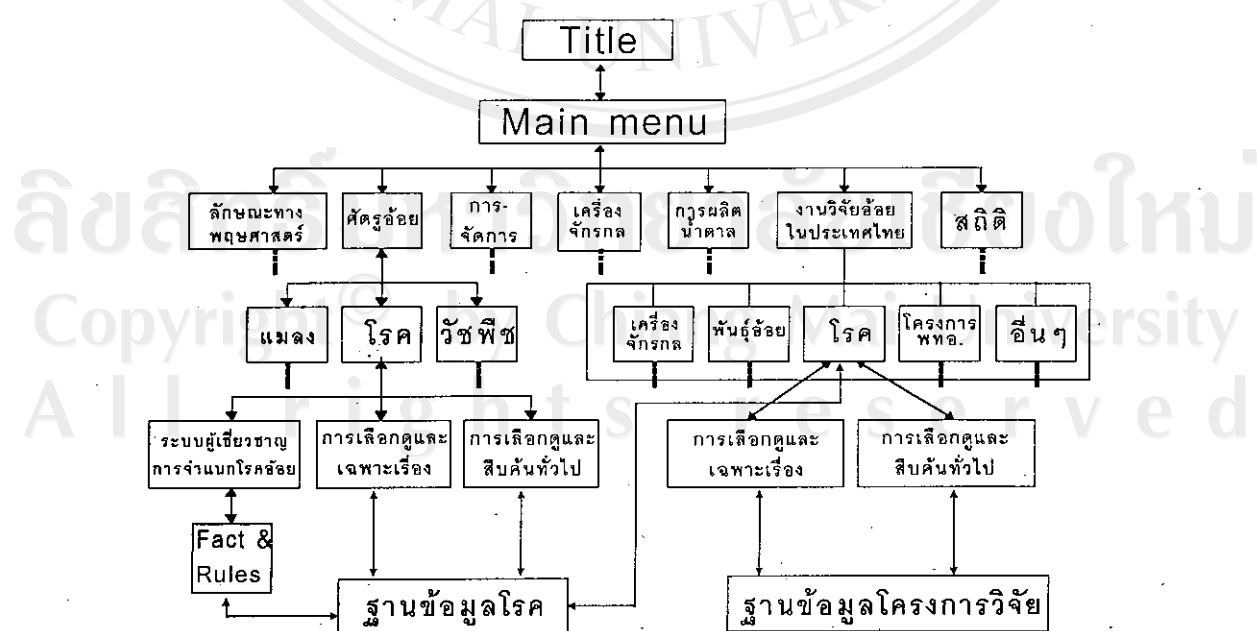
โครงสร้างของ CANEFOPEDIA จะมีลักษณะเป็นลำดับชั้นของเนื้อหา (hierarchical structure) นี้โดยแบ่งเนื้อหาออกเป็นหัวข้อหลัก ๆ ให้ได้แก่ ลักษณะทางพฤติศาสตร์และพันธุ์ การจัดการการเพาะปลูก เครื่องจักรกล ศัตรูอ้อย ผลงานวิจัยอ้อยในประเทศไทย การผลิตน้ำตาล และสถิติ (ภาพที่ 19) ในแต่ละหัวข้อหลักก็จะแบ่งย่อยออกเป็นหัวข้อรอง (ภาพที่ 36)

ในการแสดงข้อมูลของ CANEFOPEDIA นั้นโดยทั่วไปจะแสดงในลักษณะ hypertext ซึ่งหมายถึงผู้ใช้สามารถเลือกหรือค้นหาเรื่องที่สนใจศึกษาได้โดยไม่ต้องเรียงตามลำดับหัวข้อ ทั้งนี้โดยอาศัย pointer device เช่น mouse ในการเลือกค้นสิ่งที่ต้องการ สำหรับในส่วนของพันธุ์อ้อย โรคอ้อย วัชพืชในไร่อ้อย และ แมลงศัตรูอ้อยจะแบ่งออกเป็นสองส่วนคือส่วนที่ให้ผู้ใช้สามารถค้นหาความรู้ได้เกี่ยวกับเรื่องต่าง ๆ เหล่านี้ในลักษณะที่เป็น

ภาพที่ 19: โครงสร้างหลักของ CANEFOPEDIA 1.0



รูปที่ 35: หัวข้ออย่างในภายใต้โครงสร้างของ CANEFOPEDIA 1.0



hypertext และส่วนที่เป็นระบบผู้เชี่ยวชาญหรือ expert system ซึ่งจะช่วยทำให้ผู้ใช้สามารถวินิจฉัยชนิดประเภทของพันธุ์ โรค วัชพืช และแมลงได้ โดยอาศัยตัวอย่างที่นำมา ทั้งนี้โครงสร้างระบบผู้เชี่ยวชาญที่กล่าวถึงจะอาศัยต้นแบบจากโปรแกรม WIX (ศักดิ์ดา จันแก้ววัฒนา และ ชาญชัย แสงชัยสวัสดิ์, 2536)

โปรแกรมคอมพิวเตอร์ใช้ในการพัฒนา CANEFOPEDIA

การสร้าง CANEFOPEDIA ต้องใช้โปรแกรมสองประเภท 1) โปรแกรมสร้างสหสื่อ (multimedia authorizing software) และ 2) โปรแกรมใช้งานขั้นพื้นฐาน โปรแกรมประเภทแรกจะมีผู้จัดทำได้เลือกใช้โปรแกรม Authorware Professional (Authorware Professional เป็นชื่อการค้าของ Macromedia ตั้งอยู่ที่ 600 Townsend, Suite 310W, San Francisco, CA 94107) ซึ่งได้รับการออกแบบให้ผู้ใช้งานสามารถควบรวมข้อมูลหลายรูปแบบเข้าด้วยกัน เช่น ข้อความ (text) ภาพนิ่ง (graphics) ภาพวิดีโอ (video) ภาพการจำลองระบบ (animations) และเสียง (sound) เข้าด้วยกัน

สำหรับโปรแกรมใช้งานพื้นฐานนั้นได้แก่ โปรแกรมที่จะสร้างภาพ หรือตัวอักษรรวมทั้งโปรแกรมที่ใช้สำหรับตัดต่อภาพวิดีโอ และเสียง ซึ่งหลายโปรแกรมได้แก่

- โปรแกรมสำหรับการวาดภาพ เช่น Fractal Design Planter
- โปรแกรมสำหรับสร้างภาพสามมิติและการจำลองเหตุการณ์ เช่น Ray's Dream Studio
- โปรแกรมสำหรับตัดแต่งภาพ เช่น PhotoStyler
- โปรแกรมสำหรับสร้าง Text เช่น Microsoft-Word
- โปรแกรมสำหรับตัดแต่งเสียง เช่น WaveEdit
- โปรแกรมสำหรับตัดต่อภาพวิดีโอ เช่น VideoSpigot

ตัวอย่างของฐานข้อมูลที่จะบรรจุใน CANEFOPEDIA

แมลง

CANEFOPEDIA 1.0 มีข้อมูลเกี่ยวกับแมลงศัตรูอ้อยที่สำคัญ (ตารางที่ 101) ซึ่งพบการแพร่กระจายและมีระดับการทำลายถึงขั้นสูญเสียผลผลิตในประเทศไทยรวม 18 ชนิด ได้แก่ ตัวงวงอ้อย (*Sepiomus sp.*) ตัวงหนาดยะรา ตักแตนโลกสตา (*Locusta migratoria manilensis Megen*) ตักแตนไฮโกรลฟัส (*Hieroglyphus banian Fabricius*) ปลวก (*Odontotermes takensis Ahmad*) เพลี้ยกระโดดดำ (*Callitettix versicolor Fabricius*) เพลี้ยแป้งเชิงพุ (*Saccharicoccus sacchari Cockerell*) เพลี้ยดำตี (Oregma sp.) เพลี้ยหอยอ้อย (*Aulacaspis tegalensis Zehntner*) ดาวอ้อย (*Phaenacantha saccharicida Karsch*) แมลงนูนหลวง (*Lepidiota stigma Farbrius*) แมลงหวีขาวอ้อย (*Aleurolobus barodensis Muskei*) หนอนกอสายจุดเล็ก

(*Chilo infuscatellus* Snellen), หนอนกอลายจุดใหญ่ (*Chilo tumidicostalis* Hampson.) หนอนกอลายใหญ่ (*Chilo sacchariphagus* Bojer.) หนอนกอสีขาว (*Scirpophaga excerptalis* Walker) หนอนกอสีเข้มพู (*Sesamia inferens* Walker) หนอนบุ้ง (*Eupterote testacea* Walker)

โครงสร้างฐานข้อมูล ที่เกี่ยวกับแมลงแต่ละชนิดประกอบด้วย รูปร่าง ขนาด ลักษณะ และชีวประวัติ ลักษณะการทำลาย ถูกกาลและเขตการระบาด และ การป้องกันกำจัดหน้ายิธี

โรค

CANEFOPEDIA 1.0 มีข้อมูลเกี่ยวกับโรคอ้อยที่สำคัญ ซึ่งพบการระบาดมีระดับการทำลายถึงขั้นสูญเสียผลผลิต ในประเทศไทยรวม 14 โรค ได้แก่กลินสับปวด (*Ceratocystis paradoxa*) กอตะไคร้ (*Mycoplasma*) เน่าคอก อ้อย (*Erwinia sp.*) ในขา ใบขี้ดแดงและยอด嫩 (*Xanthomonas rubrilineans*) ใบจุดเหลือง (*Mycovellosiella koepkii*) พิจ รากรโนนเน่า (*Marasmieillus sp.*) รากรเน่าเกิดจากเชื้อราก *Pythium sp.* ราสนิม (*Puccinia melanocephala*) ลำต้นเน่า (*Fusarium moniliforme*) ลำต้นเน่าแดง แสเดำ (*Ustilago scitaminea*) เนี่ยวเน่าแดง (*Colletotrichum falcatum*) และ (*Fusarium moniliforme*)

โครงสร้างของฐานข้อมูลโรคอ้อยประกอบด้วย ชนิดโรคที่สำคัญของอ้อย เชือสาเหตุ ลักษณะอาการของโรคแต่ละชนิด การป้องกันและกำจัด พื้นที่การแพร่กระจายของโรคในเขตเพาะปลูกอ้อยของประเทศไทย พันธุ์ อ้อยที่ด้านหน้าต่อโรค และ โรคที่เกิดกับอ้อยพันธุ์ที่ปลูกเป็นการค้าและพันธุ์ที่นำสนใจในประเทศไทย

ฐานข้อมูลทางพุษศาสตร์ พันธุกรรม การจัดการการเพาะปลูก และอื่น ๆ

ข้อมูลทางพุษศาสตร์ และพันธุกรรมของอ้อยแบ่งออกเป็นส่วนหลัก ๆ คือ การจำแนกชนิดพันธุ์อ้อย แหล่ง กำเนิด การแพร่กระจายของพันธุ์อ้อย ประวัติและลักษณะของอ้อยแต่ละชนิด ลักษณะทางพุษศาสตร์ และ ขั้นตอนการเจริญเติบโต

ข้อมูลการจัดการประกอบด้วย สภาพแวดล้อมที่เหมาะสมสำหรับการปลูกอ้อย การจัดการดินและปุ๋ย การจัดการการให้น้ำ การควบคุมและป้องกันกำจัดศัตรูอ้อย และ การเก็บเกี่ยว

ข้อมูลอื่น ๆ ได้แก่ ความสำคัญทางเศรษฐกิจ โรงงานน้ำตาลและขนาดการผลิตน้ำตาล การใช้ ประโยชน์และผลผลิต ได้จากการผลิตน้ำตาล สรุปและการควบรวมผลงานวิจัยอ้อยในประเทศไทย

ส่วนที่ 4 การขยายหลักการ

โครงสร้างการฝึกอบรม

อรรถชัย จินตะเวช สุวิทย์ เลาหศิริวงศ์
เฉลิมพล ไหลรุ่งเรือง ศักดิ์ดา จงแก้ววัฒนา¹
ถาวร อ่อนประไฟ นิพนธ์ เอี่ยมสุภाषิต
ปริชา พราหมณี² และ อัปสร เปเลียนสินไชย

ลิขสิทธิ์มหาวิทยาลัยเชียงใหม่

Copyright[©] by Chiang Mai University

All rights reserved

การนำผลการวิจัยของโครงการ พทอ. ไปเผยแพร่ยังผู้ใช้งานในระดับต่าง ๆ จัดว่าเป็นกิจกรรมสำคัญประจำหนึ่งของโครงการวิจัย ซึ่งส่วนใหญ่เป็นกิจกรรมที่ไม่ค่อยไปพบเห็นมากนักโดยเฉพาะในวงการเกษตรฯ ทั้งนี้คุณผู้วิจัยให้ความสนใจที่จะพัฒนาหลักสูตรการฝึกอบรมเพื่อสนับสนุนการใช้งานเทคโนโลยีสารสนเทศทางเกษตรฯ ซึ่งเป็นผลลัพธ์ของโครงการ พทอ. เช่น ระบบสนับสนุนการตัดสินใจ ThaiSIS 1.0 แบบจำลองข้อเสนอ ThaiCane 1.0 และการใช้ประโยชน์จากข้อมูลระยะใกล้เพื่อการประมาณการผลผลิตข้อเสนอในพื้นที่ขนาดใหญ่ เป็นต้น

บทนี้ถูกสร้างเพื่อการฝึกอบรมเจ้าหน้าที่ของรัฐและภาคเอกชนเพื่อให้เกิดความเข้าใจและสามารถประยุกต์ใช้โปรแกรม ThaiSIS 1.0, ThaiCane 1.0 และ CANEOPEDIA 1.0 ไปประกอบการใช้งาน สภาพจริง

โครงสร้างการฝึกอบรม

การฝึกอบรมนี้ออกแบบสำหรับ 14-15 เดือน เป็นกิจกรรมหนึ่งที่คุณวิจัยเชื่อว่าจะเป็นการเผยแพร่ความรู้ความเข้าใจในเรื่องที่ใหม่ โดยจะจัดในรูปแบบของการฝึกอบรมปฏิบัติการ (workshop) ร่วมกับปฏิบัติการจริงในสนาม (field work) สำหรับนักวิชาการและผู้เกี่ยวข้องในการผลิตข้อเสนอของประเทศไทย โดยแบ่งเป็นภาคหลักการ และภาคสนาม มีรายละเอียดดังต่อไปนี้

ภาคหลักการ (5 วัน)

กิจกรรมในภาคหลักการเน้นการสอนแนวคิดและแนวปฏิบัติ ตามวิธีการ modeling & simulation และ เปิดโอกาสให้ผู้เข้าร่วมกิจกรรมได้เสนอโครงการวิจัยเพื่อนำวิธีการไปประยุกต์ใช้ในหน่วยงานต้นสังกัด (ตารางที่ 100)

ภาคสนาม (ประมาณ 14 เดือน)

กิจกรรมภาคสนาม (ตารางที่ 101) เพื่อสนับสนุนการเผยแพร่แนวคิดและวิธีการ modeling & simulation ในประเทศไทยให้ลึกซึ้งและกว้างขึ้น ให้ผู้เข้าร่วมกิจกรรมและคุณวิจัยได้มีโอกาสร่วมงานกันมากขึ้น และสองให้โอกาสแก่ทั้งสองฝ่ายในการปรับปรุงวิธีการวิจัยให้เหมาะสมและสามารถประยุกต์ใช้แนวคิดได้อย่างกลมกลืนกับงานเดิม

สือที่คาดว่าจะใช้และต้องพัฒนาสำหรับการฝึกอบรม

1. ภาระ DSSAT 3.1T, ThaiCane 1.0, และ ThaiSIS 1.0
2. สนับสนุน CANEOPEDIA 1.0

ตารางที่ 100: กำหนดการฝึกอบรมเพื่อย้ายแนวความคิดและหลักการการวิจัยตามแนว modeling & simulation in agriculture ภาคบรรยายนและหลักการ

| วัน | 9:00-12:00 | 13:00-16:30 | หมายเหตุ |
|-----|--|---|----------------------------|
| 1 | การใช้คอมพิวเตอร์กับการวิจัย-ส่งเสริม-พัฒนาการเกษตร (เมธี เอกะสิงห์) แนวคิด/หลักการระบบสนับสนุนการตัดสินใจทางเกษตร (อรรถชัย จินดาเวช) โครงสร้างระบบ DSSAT, I/O structure และ กลุ่มข้อมูลพื้นฐาน (MDS) อากาศ-พืช-ดิน (อรรถชัย จินดาเวช) | การติดตั้งระบบ DSSAT โครงสร้าง DSSAT ใน Hard disk ของเครื่อง คอมพิวเตอร์แบบ PC (วิทยากร) (วิทยากร และทีมงาน) | ประชุม มวล แผนวิจัยร่วม |
| 2 | โครงสร้าง FILEX เพื่อกำหนดหน่วยงานทดลองทางเกษตร (ศักดิ์ดา จงแก้ว วัฒนา) | การสร้าง FILEX และการทำงานกับ แบบจำลองอ้อย ThaiCane 1.0 โครงสร้างข้อมูลอากาศ และการนำเข้าข้อมูลจากฟาร์มโปรแกรม DSSAT 3.1 | ประชุม มวล แผนวิจัยร่วม |
| 3 | หลักการของกระบวนการที่สำคัญในดิน พลวัตรของน้ำในดิน | การเรียกข้อมูลดิน DLDSIS จาก DSSAT 3.1 | ประชุม มวล แผนวิจัยร่วม |
| 4 | แนะนำหลักการแบบจำลองการเจริญเติบโตของพืชและแบบจำลองอ้อย | ฝึกการใช้ แบบจำลองอ้อย และ DSSAT 3.1 ในการประเมินทางเดือก แผนวิจัยร่วม | ประชุม มวล |
| 5 | หลักการและการใช้งานแบบจำลองการเจริญเติบโตอ้อย ThaiCane 1.0 (CANEGRO) โครงสร้างโปรแกรม ThaiSIS 1.0 และแนวทํางานการใช้แบบจำลองอ้อย ร่วมกับ ThaiSIS 1.0 ในการประเมินผลผลิต ร่วมกับ ThaiSIS 1.0 ชัยในพื้นที่ขนาดใหญ่ หลักการการแปลงภาพถ่ายดาวเทียมเพื่อการเกษตร ทำแผนที่พื้นที่การปลูกอ้อย | ฝึกการใช้ แบบจำลองอ้อย และ ThaiSIS 1.0 ในการประเมินผลผลิต ร่วมกับ ThaiSIS 1.0 ชัยในพื้นที่ขนาดใหญ่ | สรุปแผนวิจัย |

ตารางที่ 101: กำหนดการฝึกอบรมเพื่อขยายแพร่ความคิดและหลักการการวิจัยตามแนว modeling & simulation in agriculture ภาคสนาม

| เดือน | กิจกรรม | ผลลัพธ์ |
|--------|---------------------------------------|--|
| 1 | ฝึกอบรม ThaiSIS 1.0 งานแผนงานทดลอง | เข้าใจระบบสามารถปฏิบัติงานได้ แผนงานทดลองร่วม |
| 1.5-12 | ดำเนินการทดลอง | แปลงทดลอง/ข้อมูล |
| 13 | เก็บเกี่ยวนำทดลองอ้อย | ข้อมูลที่สมบูรณ์ |
| 14 | ประชุมเสนอผลงาน/แผนงานวิจัยร่วม | รายงานการประชุม/แผนงานวิจัยร่วม |

3. ในระหว่างปี 2539-41 คณะผู้วิจัยฯ คาดว่าจะสามารถผลิตสิ่งที่เพื่อสนับสนุนการเผยแพร่องค์ความรู้ที่ได้
จากโครงการวิจัยหลายเรื่อง เช่น

- สิ่งที่ของการผลิตอ้อยให้มีผลิตภาพ เสถียรภาพ และถาวรภาพอยู่ในระดับสูง
- สิ่งที่ของการใช้ระบบสนับสนุนการตัดสินใจเพื่อการผลิตอ้อย ThaiSIS 1.0 และ DSSAT 3.1T

เอกสารที่ได้พัฒนาแล้ว

โครงการ พทอ. 2540 คู่มืออ้างอิง โปรแกรม ThaiSIS 1.0 หน้า 74-100 ในรายงานความก้าวหน้าโครงการ พทอ.

ระยะที่ 5 ศูนย์วิจัยเพื่อเพิ่มผลผลิตทางเกษตร มหาวิทยาลัยเชียงใหม่

โครงการ พทอ. 2540 ฐานข้อมูลสำหรับ ThaiSIS 1.0 ระหว่างน้ำพอง หน้า 101-124 ในรายงานความก้าวหน้าโครงการ

การ พทอ. ระยะที่ 5 ศูนย์วิจัยเพื่อเพิ่มผลผลิตทางเกษตร มหาวิทยาลัยเชียงใหม่

ศักดิ์ดา จงแก้ววัฒนา 2540 การกำหนดหน่วยงานทดลอง (experimental unit) ในแบบจำลองการเจริญเติบโต-

ของพืช หน้า 148-167 ในรายงานความก้าวหน้าโครงการ พทอ. ระยะที่ 5 ศูนย์วิจัยเพื่อเพิ่มผลผลิตทาง-
เกษตร มหาวิทยาลัยเชียงใหม่

อรรถชัย จินตนาเวช 2539 หลักการของระบบสนับสนุนการตัดสินใจทางเกษตร หน้า 99-107 ในรายงานความ

ก้าวหน้าโครงการ พทอ. ระยะที่ 4 ศูนย์วิจัยเพื่อเพิ่มผลผลิตทางเกษตร มหาวิทยาลัยเชียงใหม่

อรรถชัย จินตนาเวช และทีมศักดิ์ดา เวียรศิลป์ 2540 การเรียกข้อมูลดินจาก DLDSIS หน้า 143-147 ในรายงานความ

ก้าวหน้าโครงการ พทอ. ระยะที่ 5 ศูนย์วิจัยเพื่อเพิ่มผลผลิตทางเกษตร มหาวิทยาลัยเชียงใหม่

อรรถชัย จินตนาเวช และศักดิ์ดา จงแก้ววัฒนา 2540 กลุ่มข้อมูลพื้นฐาน ออกัส-พีช-ดิน เพื่อประกอบการใช้งาน

แบบจำลองอ้อย หน้า 132-137 ในรายงานความก้าวหน้าโครงการ พทอ. ระยะที่ 5 ศูนย์วิจัยเพื่อเพิ่มผล
ผลิตทางเกษตร มหาวิทยาลัยเชียงใหม่

อรรถชัย จินตะเวช และศักดิ์ดา คงแก้ววัฒนา 2540 ฝึกปฏิบัติ: นำเข้าข้อมูลอากาศเกษตรใน shell DSSAT 3.0 หน้า 138-142 ในรายงานความก้าวหน้าโครงการ พทอ. ระยะที่ 5 ศูนย์วิจัยเพื่อเพิ่มผลผลิตทางเกษตร มหาวิทยาลัยเชียงใหม่



ลิขสิทธิ์มหาวิทยาลัยเชียงใหม่
Copyright © by Chiang Mai University
All rights reserved

เอกสารอ้างอิง และบรรณานุกรม

- กรมแผนที่ทหาร 2533. ระบบการกำหนดตำแหน่งพิกัดบนพื้นโลกด้วยดาวเทียม;หลักการและระเบียบปฏิบัติงานส่วน, กองยื่อเดชี กรมแผนที่ทหาร. 48 หน้า.
- กรมวิชาการเกษตร 2528 โศกอ้อย เอกสารวิชาการ เล่มที่ 11 กองแผนงานและวิชาการ กรมวิชาการเกษตร 96 หน้า
- นิรนาม 2536 พรมน้ำในสวนหลวง ร.๙. บริษัท จิตดา อีเลคทรอนิค พับลิชิ่ง จำกัด พนมศักดิ์ พรมบุรุษ และ เมธี เอกสิ่ง 2539 โครงสร้างระบบข้อมูลดิน รายงานวิชาการ #40 ศูนย์วิจัยเพื่อเพิ่มผลผลิตทางเกษตร มหาวิทยาลัยเชียงใหม่ 64 หน้า
- ศักดิ์ดา จงแก้ววัฒนา และ ชาญชัย แสงชัยสวัสดิ์ 2536 วัชพืชในระบบการปลูกถังเหลืองในประเทศไทย: 2. การจัดการฐานข้อมูลและระบบผู้เชี่ยวชาญ เอกสารประกอบการประชุมวิชาการอาจารย์สาขาพืชแห่งชาติ ครั้งที่ 1 20-22 ตุลาคม 2536 ณ โรงแรมรามาการ์เด้นส์ กรุงเทพฯ
- ศูนย์วิจัยพืชไอลูพาร์มนบุรี 2537 เอกสารวิชาการการปลูกพืชไอลูพาร์มนบุรี กองวิชาการเกษตร.
- สุเกตันี สุภารี 2528 การใช้เทคนิคการประเมินสภาพชนบทแบบเร่งด่วน (Rapid Rural Appraisal) ในการศึกษาสภาพพื้นที่ เอกสารเสนอในการประชุม ระบบการทำฟาร์มครั้งที่ 2 มหาวิทยาลัยขอนแก่น จังหวัดขอนแก่น หน้า 77-99
- อรรถาชัย จินตะเวช และ ศักดิ์ดา จงแก้ววัฒนา 2540 แบบจำลองอ้อย ThaiCane 1.0 รายงานความก้าวหน้า-ระยะที่ 5 โครงการ พทอ. ศูนย์วิจัยเพื่อเพิ่มผลผลิตทางเกษตร มหาวิทยาลัยเชียงใหม่ 183 หน้า
- อาร์น็ต พัฒโนทย 2528 บรรยายพิเศษเกี่ยวกับการทำ דיןงานวิจัยและพัฒนาระบบการทำฟาร์ม คำบรรยาย ประกอบสไลด์ชุด Introduction to Farming Systems Research and Extension (FSR/E) เอกสารเสนอในการประชุม ระบบการทำฟาร์มครั้งที่ 2 มหาวิทยาลัยขอนแก่น จังหวัด-ขอนแก่น หน้า 1-28

- Aase, J.K. 1978. Relationship between leaf area and dry matter in winter wheat. Agron. J. 70:563-565.
- Anonymous. 1960. A critique of the heat unit approach to plant response studies. Ecology. 41:785-790.
- Anonymous. 1992. MULTIMEDIA ENCYCLOPEDIA. Online Computer Systems, Inc. USA.
- Anonymous. 1993. BEYOND PLANET EARTH. Discovery Communications, Inc. USA.
- Anonymous. 1994. HOW THINGS GROW. Interactive Publishing Corporation. USA..
- Arnold, C.Y. 1959. The determination and significance of the base temperature in a linear heat unit system. Am. Soc. Hort. Sci. 74: 430-445.
- Baker, J.M. 1996. Use and abuse of crop simulation models. Agron. J. 88: 689.
- Balasubramanian, V., 1997. State of the Art Review on Hypermedia Issues And Applications. Graduate School of Management, Rutgers University, Newark, New Jersey [bala@pegasus.rutgers.edu]
- Bhagsari, A.S., R.H. Brown. 1986. Leaf photosynthesis and its correlation with leaf area. Crop Sci. 26:127-132.
- Bleasdale, J.K.A. 1967. Systematic design for spacing experiment. Exp. Agric. 3:73-85.
- Boote, K.J. 1992. Growth stages of peanut (*Arachis hypogea L.*). Peanut Science. 9:35-40.
- Boote, K.J., J.W. Jones, N.B. Pickering. 1996. Potential uses and limitations of crop models. Agron. J. 88: 704-716.

- Bull, T.A. 1975. Row spacing and potential productivity in sugarcane. *Agron. J.* 67:421-423.
- Cao, W., and D.N. Moss. 1989. Temperature effect on leaf emergence and phyllochron in wheat and barley. *Crop Sci.* 29: 1018-1021.
- Carstensen, L.W., Jr. 1987. A Measure of Similarity for cellular maps. *Amer. Cart.* 14:345-358.
- Congalton, R.G., 1991. A review of assessing the accuracy of classifications of remotely sensed data. *Remote Sens. Environ.* 37:35-46.
- Dax, E., O. Livneh, O. Edelbaum, N. Kedar, N. Gavish, H. Karchi, J. Milo, I. Sela, and H.D. Rabinowitz. 1994. A random amplified polymorphic DNA (RAPD) molecular marker for the TM-2 gene in tomato. *Euphytica* 74: 159-163.
- Dent, J.B., and M.J. Blackie. 1979. Simulation in Agriculture. Applied Sci., Pub., Ltf., London. 180 pp.
- de Wit, C.T. 1982 Simulation of living systems. In F.W.T. Penning de Vries, and H.H. van Laar (eds.) Simulation of plant growth and crop production. Simulation monographs, CABO, Wageningen, p 3-8.
- Egli, D.B. 1994. Mechanism responsible for soybean yield response to equidistant planting pattern. *Agron. J.* 86:1046-1049.
- Ekasingh, M., A. Jintrawet, S. Jongkaewwattana, and S. Buranaviriyakul. 1992. Simulation models in agriculture: Activities at Chiang Mai University. A paper presented in a workshop on "Simulation model in agricultural Development in Thailand", Aug. 21, 1992. Field Crop Research Inst., Bangkok, Thailand.
- ERDAS, Inc., 1991. Classification ERDAS Field Guide. ERDAS Inc., 2801 Buford Highway , NE , Suite 300, Atlanta, Georgia 30329-2137, USA. 225-278 pp.
- ERDAS, Inc., 1994a. Classification ERDAS Field Guide. ERDAS Inc., 2801 Buford Highway , NE , Suite 300, Atlanta, Georgia 30329-2137, USA. 225-278 pp.
- ERDAS, Inc., 1994b. Rectification ERDAS Field Guide. ERDAS Inc., 2801 Buford Highway, NE, Suite 300, Atlanta, Georgia 30329-2137, USA. 279-318 pp.
- Fehr, W.R., C.E. Caviness, D.T. Burmood, and J.S. Pennington. 1971. Stage and development descriptions for soybean (*Glycine max* L.) Merrill. *Crop Sci.* 11:929:931.
- Foody, G.M, 1992. On the Compensation for Change Agreement in Image Classification Accuracy Assessment. *Photog. Eng. & Remote Sens.* 58: 1459-1460.
- Freeman, K.C. 1968. Influence of row spacing on yield and quality of sugarcane in Georgia. *Agron. J.* 60:421-423
- Hadrys, H., M. Black, and B. Schierwater. 1992. Applications of random amplified polymorphic DNA (RAPD) in molecular ecology. *Molecular Ecology.* 1: 55-63.
- Hanway, J.F., 1963. Growth stage of corn (*Zea mays* L.). *Agron.J.* 55: 487-492.
- Hesketh, J.D. and I.J. Warrington. 1989 Corn growth response to temperature: rate and duration of leaf emergence. *81:969-701.*
- Hodges, T., and E.T. Kanemasu. 1977. Modeling daily dry matter production of winter wheat. *Agron. J.* 69:674-678.
- Hunt, L.A., J.W. Jones, J.T. Ritchie, and P.S. Teng. 1989. Genetic coefficients for the IBSNAT crop models. Proc. IBSNAT Sym., held at the 81th Ann. Meeting of ASA, Las Vegas, Nevada, Oct 17, 1989.

- IDRISI, 1995. Installation Guide: IDRISI for Windows1995. Clark labs for Cartographic Technology and Geographic Analysis, Clark University, Worcester, MA 01616-1477, USA.
- Inman-Bamber, N.G. 1991. A growth model for sugarcane based on a simple carbon balance and the CERES-Maize water balance. *S. Afr. J Plant and Soil.* 8:93-99.
- Irvine, J.E. 1967. Photosynthesis in sugarcane varieties under field conditions. *Crop Sci.* 7:297-300.
- James C.P. Chen. 1985. Cane Sugar Handbook-A manual for cane sugar manfactures and their chemists. 11th Edition, John Willey & Sons, London.
- Jensen, J.R. 1986. Image Enhancement: Introductory Digital Image processing, A Remote Sening Perspective. Prentice-Hall, Englewood Cliffs, New Jersey, USA.DT 632, 117-173 pp.
- Jintrawet., A. 1991. A decision support system for rapid appraisal of rice-based agricultural innovations. Ph.D. disser., U. of Hawaii, USA., 167 pp.
- Jongkaewwattana, S. 1995. Systems simulation and modeling. Multiple Cropping Center, Chiang Mai Univ., Chiang Mai, 50200, Thailand., 199. pp.
- Keig Q., J.R. McAlpine, and E.M. Pointing, 1991. Cane-land productivity monitoring and Enhancement-Appropriate use of Information Technology. Proceedings of Australian Society of Sugarcane. Technologist 1991, 138-145 pp.
- Kennedy, M. 1996. The global positioning system and GIS." Ann Arbor Press, Inc., Chelsea, Michigan, USA.,268 pp.
- Klein-Lankhorst, R.M., A.Vermunt, R.Weide, T.Liharska, and P.Zabel. 1991. Isolation of molecular markers for tomato (*L. esculentum*) using ramdon amplified polymorphic DNA (RAPD). *Theo. Appl. Genet.* 83: 108-114.
- Lillesand, T.M., and R.W. Kiefer. 1994a. Image Classification: Digital Image Processing, Remote Sensing and Image Interpretation. Third Edition John Wiley & Sons,Inc. USA, 585-607 pp.
- Lillesand, T.M., and R.W. Kiefer.1994b. Classification Accuracy Assessment: Digital Image Processing. Remote Sensing and Image Interpretation; Third Edition John Wiley & Sons, Inc. USA. 611-618pp.
- Mongelard, J.C., and L. Mimura. 1971. Growth studies on the sugarcane plant. I. Effect of temperature. *Crop Sci.* 11: 795-800.
- Monteith, J.L. 1994. Remote Sensing in Agriculture: Progress and Prospects. International Crop Research Institute for the Semi-Arid Tropics, Patancheru P.O. , Andhra Pradesh 502324 , India , Conference paper No. 1485 ICRISAT. 397-402pp.
- Nelder, J.R. 1962. New kind of systematic design for spacing experiment. *Biometric.* 18:283-307.
- Nelson. Ted., 1965. A File Structure for the Complex, The Changing and The Indeterminate, ACM 20th National Conference, 1965.
- Nix, H. 1984. Minimum data sets for agrotechnology transfer. *In ICRISAT Proc. of the Inter. Sym. on Minimum Data Sets for Agrotechnology Transfer,* 21-26 March, 1983. India.
- O'Toole, J.C., and C.O. Stackle. 1991. Conceptual and simulation modeling in plant breeding. 205- 225 pp. Proceeding of the International Symposium. 26-29 October, 1987 Cordoba, Spain.
- Penning de Vries, F.W.T. 1982. Systems analysis and models of crop growth. *In F.W.T. Penning de Vries, and H.H. van Laar (eds.) Simulation of plant growth and crop production. Simulation monographs, CABO, Wageningen, p 9-19.*

- Penning, de Vries, F.W.T., D.M. Jansen, H.F.M.¹ Berge and A.Bajena. 1989. Simulation of ecophysiological process of growth in several annual crops. Wageningen 271p.
- Silva, J.A. 1989. Sugarcane. p 201-223. In D.L. Plucknett and H.B. Sprague. Detecting mineral nutrient deficiencies in tropical and temperate crops. Westview tropiccal agric. series #7. Colo., USA.
- Silva, J.A.G., M.E. Sorells, W.L. Burnquist, and S.D. Tanksley. 1993. RFLP linkage map genome analysis of *Saccharum spotaneum* L. Genome 36: 782-791.
- Skorupska, H.T., R.C. Shoemaker, A. Warner, E.R. Shipe, and W.C. Bridges. 1993. Restriction fragment length polymorphism in soybean germplasm of the Southern USA. Crop Sci. 33:1169-1176.
- Soil Survey Staff. 1975. Soil Taxonomy, a Basic system of soil classification for Making and Interpretaing soil Surveys. USDA Agric. Handbook No. 436. US. Govt. Print. Off., Washington, D.C.
- Tanimoto, T.T.(1969). Floral differentiation in sugarcane and the subsequent rate of development of the differentiated tissuer. Agron. J.(60): 275-278.
- Tetio-Kagho, F., and F.P Guarduer. 1988. Response of maize to plant density. I. Canopy development, light relationship, and vegetative growth. Agron. J. 80:930-935.
- Tollenaar, M., T.B. Daynard, and R.B. Hunrer. 1979. Effect of temperature on rate of leaf appearance and flowering date in Maize. Crop Sci. 19: 363-366.
- Trimble Navigation, 1992. General Reference, GPS Pathfinder System Trimble Navigation, Ltd. 585 North Mary Ave. P.O.Box 3642 Sunnyvale, CA, 94088 - 3642 USA
- Tsuji, G.Y., S. Balas and G. Uehara. (Eds.) 1994. DSSAT 3.0 user's manual. University of Hawaii, Manoa, Honolulu, HI 96848, USA.
- Vanderlip, R.L. and H.F. Reeves. 1992. Growth Stage of Sorghum (*Sorghum bicolor*, (L.) Moench.). Agron.J. 64: 13-16.
- Vaughan, T. 1994. Multimedia: Make it Work (2nd. Ed.). Osborne McGraw-Hill. 560 p.
- Wahua, T.A.T., and D.A. Miller. 1978. Relative yield totals and yield component of intercropped sorghum and soybeans. Agron. J. 70:287-291.
- Warrington, I.J, and E.T. Kanemasu. 1983. Corn growth response to temperature and photoperiod II. Leaf-initiation and leaf appearance rates. Agron. J. 75:755-761.
- Wilcox, J.R. 1974. Response of three soybean strains to equidistant spacing. Agron J. 66:409-412.
- William Horwitz. 1965. Official Methods of Analysis of the Association of Official Agricultural Chemists. 10th Edition Association of official Agricultural chemists Publishing.
- Williams, J.G.K., A.R. Kubelic, K.J. Livak, J.A. Rafalski, and S.V. Tingey. 1990. DNA polymorphisms amplified by arbitrary primers are useful as genetics markers. Nucleic Acids Research 18: 6531-6535.
- Witty, J.E., and R.W. Arnold, 1987. Soil Taxonomy: An overview. Outlook on Agriculture. 16:8-13.
- Xingming, F. 1995. Grain yield assessment of quality protein maize in different environments using a modeling approach. M.S. Thesis, Grad. Sch, Chiang Mai Univ., Chiang Mai, Thailand, 144 pp.

ภาคผนวก 1

สมการที่ใช้ในการคำนวณงานทดลองรูปแบบพัด

(ຈາກ Bleasdale, 1967)

อัตราการเพิ่มขึ้นของแต่ละจุดในแต่ละແກ້

$$(2N - 2)\log\alpha = \log A_N - \log A_1 \quad \dots \quad (1)$$

$$\alpha = \exp\left[\frac{(\log A_N - \log A_1)}{(2N - 2)}\right] \quad \text{--- (2)}$$

มุ่งหวังแก้ไข สามารถคำนวณได้ดังนี้

$$\theta = \frac{T(\alpha - 1)}{\sqrt{a}} \quad \dots \quad (3)$$

จะมีความสามารถในการคำนวณได้ดังนี้

$$r_0 = \sqrt{\frac{2A_1}{\theta(\alpha^3 - \alpha)}} \quad \dots \quad (4)$$

ระยะห่างต่างๆ สามารถคำนวณได้ดังนี้

$$\mathbf{r}_{N+1} = \alpha^* \mathbf{r}_N, \quad \dots \quad (5)$$

ขนาดของแต่ละพื้นที่ต่อตัน สามารถคำนวณได้ดังนี้

$$A_N = \frac{(r_N)^2 \theta (\alpha^2 - 1)}{2\alpha} \quad \dots \quad (6)$$

ตารางภาคผนวกที่ 1 โภกที่เข้าทำลายในระยะเวลาเจริญเติบโตต่าง ๆ ของอ้อย

| ระยะเวลาเติบโตของอ้อย | ชื่อโรค | อาการโรค |
|-----------------------|--|--|
| ระยะเริ่มปูก | ใบขาว แสงคำ ห่อนพันธุ์เน่า กลิ่นสับปะรด ลำต้นเน่าແং ราน้ำค้าง ใบขาว แสงคำ พิจ ในลวก | ห่อนพันธุ์อกน้อยหรือไม่งอก การไว้ตอไม่ติด |
| ระยะต้นอ่อน | ใบขาว ในลวก เส้นใบແং ราน้ำค้าง ในค่างชีคเหลือง ในชีค ในค่าง ความผิดปกติ ทางพันธุกรรม | ยกเหี้ยฯ ในค่างหรือ จีดทาง สีขาว |
| | พิจ ทดสอบragegran | ยอดบิดเบี้ยว ในหนาสั้นฉีก ขาดสีเขียวเข้ม |
| ระยะย่างปล้อง | ใบขาว ในค่าง ในค่างชีคเหลือง ในชีค ในลวก ในชีคແং โคนเน่า ราน้ำค้าง อาการผิดปกติทางพันธุกรรม ขาด ขาตูนเล็ก ไฟลวก ราชนิม ในฤดูสีเหลือง ในฤดูสี น้ำตาล ในฤดูวงแหวน ในฤดู แมลงใหญ่ ในฤดูรูปตา ในฤดู แมลงช่อน ในฤดูคำ ในฤดู ม่วง ยอดบิด พิจ ในลวก ยอดเน่า เนียวน่า น้ำ ซัง แสงจัด ในขาว แสงคำ ในลวก อ้อยทดสอบragegran โคนเน่า ราน้ำค้าง ในค่างชีคเหลือง พิจ | ใบค่าง หรือ มีชีคเป็นทาง เนื้อใบตาย ในฤดู เนื้อใบตาย ในฤดู รูปร่างใบสั้นบิด ฉีดชาต ในแห้งตาย การเจริญต่ามาก หรือตาย หรือล้าผอม焉า |
| ระยะเติบโตเต็มที่ | ใบขาว ในลวก ในฤดูรูปตา ในฤดู-เหลือง ในลวก ในขาว แสงคำ กลิ่นสับปะรด ลำต้นเน่าແং ราน้ำค้าง ในขาว แสงคำ ทดสอบragegran พิจ ราน้ำค้าง | ใบแห้งตายก่อนแก่ ต้นอ่อนงอกจากด้าวข้าง ลำต้นถูกทำลายหรือตาย กอสูงไม่สม่ำเสมอ |

(ที่มา: กรมวิชาการเกษตร, 2528)

ภาคผนวก 2

การเตรียมอาหารเลี้ยงเชื้อ

สารที่ใช้เตรียม PDA

มันฝรั่ง 200 กรัม, น้ำตาล dextrose 20 กรัม, แคล รุน 17 กรัม

วิธีทำ PDA

ปอกเปลือกมันฝรั่งแล้วนำไปบด ศีบให้ละเอียดแล้วนำไปปัตตมให้สุก โดยใส่น้ำเกลือลงไป 400 มิลลิลิตร เมื่อมันฝรั่งสุกแล้วกรองเอาแต่น้ำ นำน้ำต้มมันฝรั่งที่ได้ผสมกับน้ำตาล dextrose บน hot plate ให้น้ำตาลละลาย นำรุนใส่ในบีเกอร์ขนาด 1,000 มิลลิลิตร เติมน้ำเกลือน 400 มิลลิลิตร คนให้เข้ากัน แล้วนำไปปัตตมที่หม้ออบความดัน (autoclave) ใช้ความดันต่ำ และต้มนาน 10 นาที นำน้ำรุนที่ได้มาผสมกับน้ำต้มมันฝรั่ง แล้วเติมน้ำในหัวรุน 1,000 มิลลิลิตร เทลง flask ขนาด 250 มิลลิลิตร flask ละ 200 มิลลิลิตร นำไปปั่นเชื้อในหม้ออบความดันประมาณ 15-20 นาที แล้วนำมาเทใน plate เพื่อที่จะใช้ต่อไป

สารที่ใช้เตรียม 523

Sucrose 10 gm/lit, Casein enzymatic hydrolyzate 8 gm/lit, Yeast Extract 4 gm/lit, K_2HPO_4 (anhydrous) 2 gm/lit, $MgSO_4 \cdot 7H_2O$ 0.3 gm/lit, Agar 15 gm/lit

วิธีทำ 523

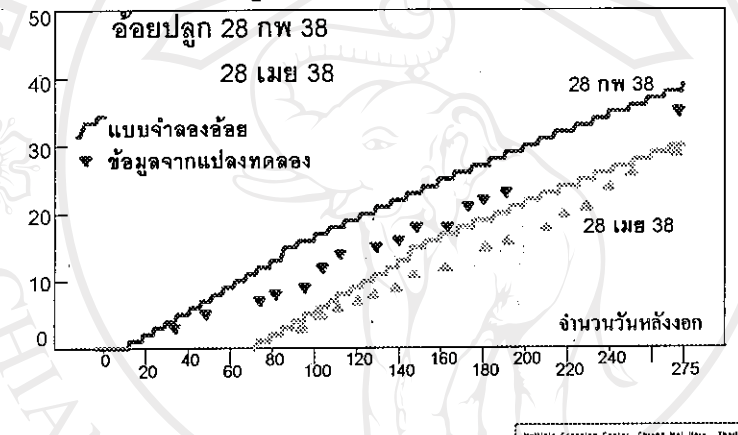
ซึ่งสารตามรายการ แล้วนำมาราบสมกันในบีเกอร์ขนาด 500 มิลลิลิตร เติมน้ำ 400 มิลลิลิตร นำไปปัตตมบน hot plate นำรุนใส่บีเกอร์ขนาด 1,000 มิลลิลิตร แล้วเติมน้ำเกลือน 400 มิลลิลิตร คนให้เข้ากัน นำไปปัตตมที่หม้ออบความดัน (autoclave) ใช้ความดันต่ำ ต้มนาน 10 นาที นำรุนที่ได้มาผสมกับสารละลาย เสร็จแล้วเทลง flask ขนาด 250 มิลลิลิตร flask ละ 200 มิลลิลิตร นำไปปั่นเชื้อในหม้ออบความดัน หลังจากนั้นสามารถนำไปเลี้ยงเชื้อได้

ภาคผนวก 3: เปรียบเทียบการคาดการณ์การปราภูชของใบอ้อย

รุปภาคผนวก 3.1 การปราภูชของใบอ้อยบนสำลักษณ์ระหว่างแบบจำลองอ้อย และข้อมูลในสนาม

1. วันปลูกที่ ม.เชียงใหม่ พัฒนาการอ้อยปลูก ■■■

จำนวนใบบนสำลักษณ์ อุ่นทอง 2

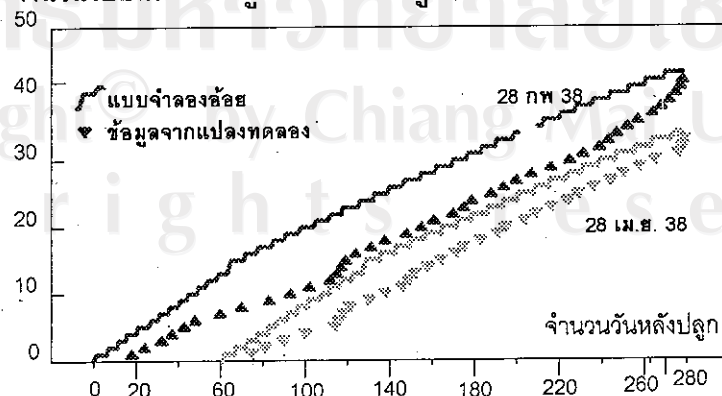


Multiple Cropping Center, Chiang Mai Univ., Thailand

รุปภาคผนวก 3.2 การปราภูชของใบอ้อยบนสำลักษณ์ระหว่างแบบจำลองอ้อย และข้อมูลในสนาม

1. วันปลูกที่ ม. ขอนแก่น ■■■

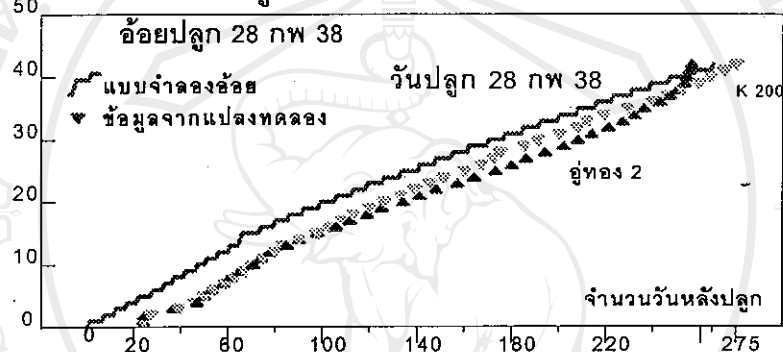
จำนวนใบบนสำลักษณ์ อุ่นทอง 2 อ้อยปลูก 28 กพ 38 & 28 เมย 38



รูปภาคผนวก 3.3 การประยุกต์ใช้อ้อยเป็นสำลักระหว่างแบบจำลองอ้อย และข้อมูลในสนาม

1. วันปลูกที่ ศว.ร. สุพรรณบุรี

จำนวนใบบนสำลัก อุ่sthong 2 และ K84-200



ลิขสิทธิ์มหาวิทยาลัยเชียงใหม่
Copyright © by Chiang Mai University
All rights reserved

ภาคผนวก 4: Julian date (DAY OF YEAR)

*STANDARD YEARS

| MONTH | JAN | FEB | MAR | APR | MAY | JUN | JUL | AUG | SEP | OCT | NOV | DEC |
|-------|-----|-----|-----|-----|-----|-----|-----|-----|-----|-----|-----|-----|
| 1 | 1 | 32 | 60 | 91 | 121 | 152 | 182 | 213 | 244 | 274 | 305 | 335 |
| 2 | 2 | 33 | 61 | 92 | 122 | 153 | 183 | 214 | 245 | 275 | 306 | 336 |
| 3 | 3 | 34 | 62 | 93 | 123 | 154 | 184 | 215 | 246 | 276 | 307 | 337 |
| 4 | 4 | 35 | 63 | 94 | 124 | 155 | 185 | 216 | 247 | 277 | 308 | 338 |
| 5 | 5 | 36 | 64 | 95 | 125 | 156 | 186 | 217 | 248 | 278 | 309 | 339 |
| 6 | 6 | 37 | 65 | 96 | 126 | 157 | 187 | 218 | 249 | 279 | 310 | 340 |
| 7 | 7 | 38 | 66 | 97 | 127 | 158 | 188 | 219 | 250 | 280 | 311 | 341 |
| 8 | 8 | 39 | 67 | 98 | 128 | 159 | 189 | 220 | 251 | 281 | 312 | 342 |
| 9 | 9 | 40 | 68 | 99 | 129 | 160 | 190 | 221 | 252 | 282 | 313 | 343 |
| 10 | 10 | 41 | 69 | 100 | 130 | 161 | 191 | 222 | 253 | 283 | 314 | 344 |
| 11 | 11 | 42 | 70 | 101 | 131 | 162 | 192 | 223 | 254 | 284 | 315 | 345 |
| 12 | 12 | 43 | 71 | 102 | 132 | 163 | 193 | 224 | 255 | 285 | 316 | 346 |
| 13 | 13 | 44 | 72 | 103 | 133 | 164 | 194 | 225 | 256 | 286 | 317 | 347 |
| 14 | 14 | 45 | 73 | 104 | 134 | 165 | 195 | 226 | 257 | 287 | 318 | 348 |
| 15 | 15 | 46 | 74 | 105 | 135 | 166 | 196 | 227 | 258 | 288 | 319 | 349 |
| 16 | 16 | 46 | 75 | 106 | 136 | 167 | 197 | 228 | 259 | 289 | 320 | 350 |
| 17 | 17 | 48 | 76 | 107 | 137 | 168 | 198 | 229 | 260 | 290 | 321 | 351 |
| 18 | 18 | 49 | 77 | 108 | 138 | 169 | 199 | 230 | 261 | 291 | 322 | 352 |
| 19 | 19 | 50 | 78 | 109 | 139 | 170 | 200 | 231 | 262 | 292 | 323 | 353 |
| 20 | 20 | 51 | 79 | 110 | 140 | 171 | 201 | 232 | 263 | 293 | 324 | 354 |
| 21 | 21 | 52 | 80 | 111 | 141 | 172 | 202 | 233 | 264 | 294 | 325 | 355 |
| 22 | 22 | 53 | 81 | 112 | 142 | 173 | 203 | 234 | 265 | 295 | 326 | 356 |
| 23 | 23 | 54 | 82 | 113 | 143 | 174 | 204 | 235 | 266 | 296 | 327 | 357 |
| 24 | 24 | 55 | 83 | 114 | 144 | 175 | 205 | 236 | 267 | 297 | 328 | 358 |
| 25 | 25 | 56 | 84 | 115 | 145 | 176 | 206 | 237 | 268 | 298 | 329 | 359 |
| 26 | 26 | 57 | 85 | 116 | 146 | 177 | 207 | 238 | 269 | 299 | 330 | 360 |
| 27 | 27 | 58 | 86 | 117 | 147 | 178 | 208 | 239 | 270 | 300 | 331 | 361 |
| 28 | 28 | 59 | 87 | 118 | 148 | 179 | 209 | 240 | 271 | 301 | 332 | 362 |
| 29 | 29 | 88 | 119 | 149 | 180 | 210 | 241 | 272 | 302 | 333 | 363 | 29 |
| 30 | 30 | 89 | 120 | 150 | 181 | 211 | 242 | 273 | 303 | 334 | 364 | 30 |
| 31 | 31 | 90 | 151 | | 212 | 243 | | 304 | | 365 | 31 | |

*LEAP YEARS

| MONTH | JAN | FEB | MAR | APR | MAY | JUN | JUL | AUG | SEP | OCT | NOV | DEC |
|-------|-----|-----|-----|-----|-----|-----|-----|-----|-----|-----|-----|-----|
| 1 | 1 | 32 | 61 | 92 | 122 | 153 | 183 | 214 | 245 | 275 | 306 | 336 |
| 2 | 2 | 33 | 62 | 93 | 123 | 154 | 184 | 215 | 246 | 276 | 307 | 337 |
| 3 | 3 | 34 | 63 | 94 | 124 | 155 | 185 | 216 | 247 | 277 | 308 | 338 |
| 4 | 4 | 35 | 64 | 95 | 125 | 156 | 186 | 217 | 248 | 278 | 309 | 339 |
| 5 | 5 | 36 | 65 | 96 | 126 | 157 | 187 | 218 | 249 | 279 | 310 | 340 |
| 6 | 6 | 37 | 66 | 97 | 127 | 158 | 188 | 219 | 250 | 280 | 311 | 341 |
| 7 | 7 | 38 | 67 | 98 | 128 | 159 | 189 | 220 | 251 | 281 | 312 | 342 |
| 8 | 8 | 39 | 68 | 99 | 129 | 160 | 190 | 221 | 252 | 282 | 313 | 343 |
| 9 | 9 | 40 | 69 | 100 | 130 | 161 | 191 | 222 | 253 | 283 | 314 | 344 |
| 10 | 10 | 41 | 70 | 101 | 131 | 162 | 192 | 223 | 254 | 284 | 315 | 345 |
| 11 | 11 | 42 | 71 | 102 | 132 | 163 | 193 | 224 | 255 | 285 | 316 | 346 |
| 12 | 12 | 43 | 72 | 103 | 133 | 164 | 194 | 225 | 256 | 286 | 317 | 347 |
| 13 | 13 | 44 | 73 | 104 | 134 | 165 | 195 | 226 | 257 | 287 | 318 | 348 |
| 14 | 14 | 45 | 74 | 105 | 135 | 166 | 196 | 227 | 258 | 288 | 319 | 349 |
| 15 | 15 | 46 | 75 | 106 | 136 | 167 | 197 | 228 | 259 | 289 | 320 | 350 |
| 16 | 16 | 47 | 76 | 107 | 137 | 168 | 198 | 229 | 260 | 290 | 321 | 351 |
| 17 | 17 | 48 | 77 | 108 | 138 | 169 | 199 | 230 | 261 | 291 | 322 | 352 |
| 18 | 18 | 49 | 78 | 109 | 139 | 170 | 200 | 231 | 262 | 292 | 323 | 353 |
| 19 | 19 | 50 | 79 | 110 | 140 | 171 | 201 | 232 | 263 | 293 | 324 | 354 |
| 20 | 20 | 51 | 80 | 111 | 141 | 172 | 202 | 233 | 264 | 294 | 325 | 355 |
| 21 | 21 | 52 | 81 | 112 | 142 | 173 | 203 | 234 | 265 | 295 | 326 | 356 |
| 22 | 22 | 53 | 82 | 113 | 143 | 174 | 204 | 235 | 266 | 296 | 327 | 357 |
| 23 | 23 | 54 | 83 | 114 | 144 | 175 | 205 | 236 | 267 | 297 | 328 | 358 |
| 24 | 24 | 55 | 84 | 115 | 145 | 176 | 206 | 237 | 268 | 298 | 329 | 359 |
| 25 | 25 | 56 | 85 | 116 | 146 | 177 | 207 | 238 | 269 | 299 | 330 | 360 |
| 26 | 26 | 57 | 86 | 117 | 147 | 178 | 208 | 239 | 270 | 300 | 331 | 361 |
| 27 | 27 | 58 | 87 | 118 | 148 | 179 | 209 | 240 | 271 | 301 | 332 | 362 |
| 28 | 28 | 59 | 88 | 119 | 149 | 180 | 210 | 241 | 272 | 302 | 333 | 363 |
| 29 | 29 | 60 | 89 | 120 | 150 | 181 | 211 | 242 | 273 | 303 | 334 | 364 |
| 30 | 30 | 90 | 121 | 151 | 182 | 212 | 243 | 274 | 304 | 335 | 365 | 30 |
| 31 | 31 | 91 | 152 | | 213 | 244 | | 305 | | 366 | 31 | |